

Ministerul Educației și Învățământului  
Institutul Politehnic „Traian Vuia” Timișoara.  
Facultatea de Mecanică.

Ing. Alexandru Ivancenco.

Studii și cercetări  
asupra încărcarii pieselor cu  
vibrație și aplicații industriale  
ale procedeului.

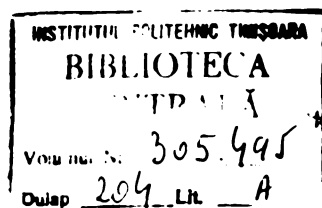
Teză de doctorat.

Vol. I.

BIBLIOTECĂ CENTRALĂ  
UNIVERSITATEA "POLITEHNICA"  
TIMIȘOARA

Conducător științific  
Prof. Dr. Docent ing. Vladimir Popovici.

1974.



## C U P R I N S

=====

### I N T R O D U C E R E

=====

Page 1

9

<u>Cap. 1. Sintesa literaturii tehnice asupra procedeului de încărcare și sudare cu vibroarc . . . . .</u>	1c
1.1. Din istoricul procedeului vibroarc. . . . .	18
1.2. Primele cercetări științifice asupra proce- deului vibroarc. . . . .	19
1.3. Căldura degajată și mersul în goi . . . . .	20
1.4. Stadiul pe plan mondial și unele concluzii asupra procedeului vibroarc. Diferite va- riante apărute. Zona de influență termică etc. . . . .	21
1.5. Teorii și concluzii contradictorii . . . . .	33
<u>Cap. 2. Nivelul actual al cunoștințelor teoretice de bază specifice procedeului vibroarc . . . . .</u>	35
2.1. Prezentare	35
2.2. Esența fizică și particularitățile proce- deului vibroarc . . . . .	35
2.2.1. Rolul vibrației la încărcarea auto- mată . . . . .	38
2.3. Studiu asupra topirii sîrmei-electrod și au- toreglării arcului la sudare la scurtcircui- tările sistematice ale spațiului arcuiui . . .	39
2.4. Caracteristicile de topire ale sîrmei-elec- trod la sudare (încărcare) cu vibroarc . . . .	43
2.5. Arderea elementelor componente din metalul de bază și a celui de adaos la încărcare cu vibroarc . . . . .	51
2.6. Distribuirea temperaturii pe piese încărcate cu procedeul vibroarc . . . . .	56

2.7. Zona de influență termică . . . . .	59
2.8. Rolul caracteristicii externe a sursei de alimentare cu curent la încărcare cu vibroarc . . . . .	60
2.9. Rolul inductanței, a amplitudinii și formei vibrației sîrmei-electrod . . . . .	62
2.10 Reducerea stropirii metalului și stabilitatea procesului de încărcare cu vibroarc . . . . .	65
<u>Cap. 3. Caracteristicile statice în procesul vibroarc.</u>	
<u>Interdependența generală între parametrii procesului la încărcare cu vibroarc . . . . .</u>	67
3.1. Caracteristicile statice ale sistemului de autoreglare a arcului . . . . .	67
3.2. Determinarea caracteristicilor statice ale sistemelor cu autoreglare a procesului de sudare cu vibroarc . . . . .	70
3.3. Caracteristicile statice și rapiditatea acțiunii sistemului de autoreglare la sudare cu arc instabil . . . . .	72
3.4. Menținerea staționară a procesului la sudare cu autoreglare a regimului . . . . .	74
<u>Cap. 4. Parametrii de bază și interdependența generală între parametrii procesului la încărcare cu vibroarc . . . . .</u>	77
4.1. Interdependența generală între parametrii procesului la încărcare cu vibroarc. . . . .	77
4.2. Sistemul de ecuații ce reprezintă interdependența între parametrii de bază al procesului vibroarc . . . . .	80

<u>Cap. 5.</u>	<u>Cercetări și studii asupra stabilității procesului de sudare cu vibroarc</u>	34
5.1.	Stabilitatea de ardere a arcului de sudare, concepții noi . . . . .	34
5.2.	Studiul stabilității procesului de sudare-încărcare cu vibroarc . . . . .	35
5.2.1.	Generalități . . . . .	35
5.2.2.	Continuitatea procesului vibroarc .	36
5.3.	Condiția stabilității procesului de încărcare cu scurte circuitările sistematice ale spațiului arcului . . . . .	39
5.4.	Exprimarea cantitativă a stabilității și stării staționare în procesul de încărcare cu vibroarc . . . . .	42
5.5.	Analiza în ansamblu a stabilității regimului de încărcare cu procedeul vibroarc .	46
5.5.1.	Generalități . . . . .	46
5.5.2.	Studiul condițiilor de stabilitate a procesului vibroarc în baza ecuației diferențiale de mișcare a sistemului . . . . .	50
5.5.3.	Determinarea curbei de variație a vitezei maxime de avans a sârmecii-electrod funcție de inductanță circuitului de sudare . . . . .	57
5.5.4.	Concluzii . . . . .	58
<u>Cap. 6.</u>	<u>Fundamentarea alegerii și realizarea instalației experimentale pentru încărcarea cu vibroarc</u>	112
6.1.	Schemele electrice ale instalațiilor folosite pentru încărcare cu procedeul vibroarc . . . . .	112
6.1.1.	Generalități . . . . .	112
6.1.2.	Schema electrică cu sursă de curent combinat(alternativ+continuu).	113

6.1.3. Schema electrică cu sursa de curent alternativ . . . . .	113
6.1.4. Schema electrică cu sursa de curent continuu . . . . .	114
6.1.5. Schema electrică cu sursa de curent redresat . . . . .	114
6.1.6. Fundamentarea teoretică a alegerii sursei de curent. . . . .	115
6.1.7. Considerații practice asupra alegerii sursei de alimentare cu curent . . . . .	115
6.2. Cîteva condiții ce trebuie să îndeplinească capul automat de încărcare cu vibroarc . . . . .	116
6.2.1. Capul automat al instalației experimentale . . . . .	122
6.2.2. Studiul și cercetările asupra uzuarii diuzelor de ghidare legat de stabilitatea procesului la încărcare cu vibroarc . . . . .	123
6.3. Componența instalației cuprinzind și capul automat pentru încărcare cu vibroarc . . . . .	125
6.3.1. Ansamblurile instalației experimentale fig. 6.18 . . . . .	126
6.4. Caracteristicile tehnice principale ale instalației vibroarc . . . . .	126
6.4.1. Caracteristicile capului automat pentru încărcare tip experimental . .	127
6.5. Descrierea funcționării părții electrice a automatului experimental . . . . .	127
6.5.1. Dulapul de comandă(poz.4,fig.6.10) .	129
6.5.2. Tabloul de comandă(fig.6.19) . . . . .	129
6.5.3. Sursa de alimentare cu curent. . . . .	130

6.5.4. Date tehnice . . . . .	150
6.5.5. Tablou de distribuție (fig.6.10, poz.6) . . . . .	150
6.6. Profilul și posibilitățile tehnice ale automatului experimental. . . . .	151
 <u>Cap. 7. Cercetări cu privire la forma generală a condițiilor de stabilitate ale sistemului sursă de curent-arcul electric, cu aplica- bilitate la procedeul de sudare vibroarc . . .</u>	152
 <u>Cap. 8. Cercetarea influenței vitezelor de avans a sîrmei-electrod și de mișcare a piesei (de încărcare), asupra parametrilor de in- cărcare și calității stratului încărcat. . .</u>	151
8.1. Stabilirea relațiilor de lucru pen- tru $v_p$ , $h$ , $v_e$ , și $n$ , aducerea lor la nivelul cunoștințelor actuale și practic accesibile . . . . .	151
8.2. Dependența grosimii stratului încăr- cat funcție de raportul vitezelor $\frac{v_p}{v_e}$ rezultate experimentale. . . . .	154
8.3. Prelucrarea datelor experimentale prin metoda abaterilor medii pă- ratice, stabilirea ecuațiilor drept- telor de regresie pentru $d_e = 1,2$ ; 1,6 și 2 mm, precum și a formei ge- nerale empirice a ecuației. Construi- rea graficelor $h = f\left(\frac{v_p}{v_e}\right)$ în sistemul dublu logaritmic . . . . .	155
8.3.1. Concluzii asupra cercetărilor efectuate $h = f\left(\frac{v_p}{v_c}\right)$ . . . . .	160
8.4. Calitatea straturilor încărcate. . . . .	170

<u>CAP. 9. Cercetări cu aplicarea statisticii matematice și a mijloacelor automate de calcul ale centru determinarea rapoartelor <math>\frac{U_s}{U_o}</math> și <math>\frac{U_s}{U_a}</math> și interdependența cu alți parametri . . . . .</u>	
9.1. Cercetări pentru determinarea valorii raportului $\frac{U_s}{U_o}$ ce asigură stabilitatea procesului vibroarc . . . . .	174
9.2. Cercetări cu privire la determinarea valorii raportului $\frac{U_s}{U_a}$ ce asigură stabilitatea procesului $^a$ vibroarc . . . . .	177
9.3. Cu privire la frecvența de vibrație a sîrmei-electrod . . . . .	182
9.4. Cercetări prin metoda statisticii matematice și a mijloacelor automate de calcul a interdependenței între raportul $\frac{U_s}{U_a}$ și alți parametri ai procesului vibroarc. . . . .	182
9.5. Nomograma pentru determinarea unor parametrii în vederea stabilirii regimului de încărcare cu vibroarc . . . . .	193
<u>Cap. 10. Probe preliminare încărcate cu vibroarc . . . . .</u>	195
10.1. Aplicarea procedeului de încărcare cu vibroarc pe piesele industriale. . . . .	199
<u>Cap. 11. Rezistența la oboseală ca mijloc de apreciere a influenței cumulate a parametrilor procesului vibroarc . . . . .</u>	201
11.1. Rezistența la oboseală a pieselor după încărcare cu procedeul vibroarc (unelte constatări) . . . . .	201
11.2. Cu privire la aderența între materialul încărcat și cel de bază. . . . .	203

<b>11.3.</b>	<b>Cercetări proprii - condiții . . . . .</b>	<b>264</b>
<b>11.4.</b>	<b>Rezultatele încercărilor și con- cluziile asupra duratăjii stratu- lui încărcat și rezistenței la obosca- lă . . . . .</b>	<b>265</b>
<b>    11.4.1.</b>	<b>Duratăcea straturilor încăr- cate . . . . .</b>	<b>266</b>
<b>    11.4.2.</b>	<b>Încercările la oboseală. . . . .</b>	<b>268</b>
<b>Cap. 12.</b>	<b>Practica folosirii instalației experi- mentale vibroarc, date orientative pen- tru predeterminarea regimului de lucru, pregătirea procesului de încărcare . . . . .</b>	<b>215</b>
<b>    12.1.</b>	<b>Pregătirea suprafeței piesei finalin- te de încărcare . . . . .</b>	<b>215</b>
<b>    12.2.</b>	<b>Sîrma-electrod pentru încărcare cu procedeul vibroarc . . . . .</b>	<b>215</b>
<b>    12.3.</b>	<b>Procedeul de determinare a condițiilor de încărcare conform nomogramei . (fig. 12.1) . . . . .</b>	<b>215</b>
<b>    12.4.</b>	<b>Instalația industrială pentru proce- deul vibroarc . . . . .</b>	<b>217</b>
<b>Cap. 13.</b>	<b>Cu privire la economicitatea aplicării procedeului vibroarc . . . . .</b>	<b>218</b>
<b>Cap. 14.</b>	<b>Concluzii finale, contribuții originale și probleme de viitor . . . . .</b>	<b>221</b>
<b>    14.1.</b>	<b>Concluzii finale . . . . .</b>	<b>221</b>
<b>    14.2.</b>	<b>Contribuții originale. . . . .</b>	<b>221</b>
<b>    14.3.</b>	<b>Probleme de viitor . . . . .</b>	<b>225</b>
	<b>Anexe, figuri și fotografii . . . . .</b>	<b>233</b>
	<b>Bibliografic . . . . .</b>	<b>237</b>



## I N T R O D U C E R E

---

Fără îndoială deceniul al VII-lea va apărea ca o etapă deosebită de însemnată în ce privește dezvoltarea tehnologiilor speciale avansate ale sudării. Aceasta, datorită apariției și perfecționării în această perioadă, a unor procedee de sudare cu totul speciale și de o deosebită importanță, contribuind la rezolvarea problemelor complexe ale industriei, la progresul tehnic general. S-ar putea afirma, că ultimii zece ani se caracterizează printr-o creștere vertiginosă a produselor sudate.-

Printre procedeele noi de sudare, prezintă deosebit interes acela ce folosesc pentru reglarea procesului de sudare variația impulsurilor. În aceste cazuri, variația continuă a unor parametri ai procesului, se transformă într-o variație discontinuă în să periodică.

Utilizarea unor astfel de procedee și metode de sudare, respectiv de încărcare a pieselor, asigură arderea mai stabilită a arcului iar procesul mai ușor de dirijat. Astfel de procedee, sunt în plină dezvoltare și au perspective largi în următorii ani /lo4/.

Unul dintre procedee, ce folosește, respectiv lucrează cu impulsuri, este sudarea și încărcarea pieselor cu arc electric cu electrod vibrator sau arc vibrator.-

Procedeul cu arc vibrator rezolvă și va rezolva cu succes domeniile și gama tot mai mare a problemelor puse de industrie, conform specificului și particularităților ce-l caracterizează și îl așează pe o treaptă bine determinată din scara procedeeelor moderne.-

In anul 1974, se împlinesc aproape 20 de ani, ca la data primei apariții respectiv brevetării procedeului de încărcare pieselor cu arc vibrator, însă precedentul este foarte puțin cunoscut și se consideră a fi un procedeu nou.-

Încărcarea cu arc vibrator reprezintă o variantă a încărcării clasice cu arc electric și este inuzabil, întrucât

-.-

în acest caz procesul de încărcare este însoțit de o serie de procese fizico-chimice și termice caracteristice procedeeelor cărcare cu arc electric. Însă, prin vibrarea electrodului (sau electrod) și folosirea lichidului de răcire (lichidul de lucru), determină deosebiri esențiale atât calitative cât și cantitative în ansamblul acestui procedeu de încărcare față de procedeele clasice.-

Aceste caracteristici și proprietăți deosebite ale precedeului, fac ca încărcarea cu arc vibrator să fie un procedeu de sine stătător și original de încărcare a diferitelor metale pe piese.-

Procedul de încărcare automată cu arc vibrator, fie sub un jet de lichid, fie sub strat de flux sau un gaz protecțional sau o altă formă de protecție (vapori de apă sau electrod cu auto-protectie) de la apariție și pînă acum a primit diferite denumiriri: procedeu cu electrod vibrator, cu arc vibrator, chiar și vibro-contact.-

Bazîndu-ne pe terminologia folosită în documentele Institutului Internațional de Sudură (IIS/IW) /211/, precum și prin traducerea termenului din limba rusă, țara de origine a procedeului, (vibrougovaea naplavca = încărcare prin vibroarc), se consideră cel mai indicat, ca procedeul să fie numit „procedeu vibroarc”, denumire ce va fi folosită de acum în toată lucrarea.-

Procedeele clasice, ca și cele noi apărute de încărcare prin sudare, sînt caracterizate prin unele particularități. Aceste particularități limitează domeniile de aplicare a acestora, determinînd specializarea lor. Astfel, deformările ce apar la încălzirea pieselor, mai ales a celor cu diametre mici sau forme mai complicate, limitează și determină procedeul de aplicat pentru încărcare. Tot astfel, dimensiunile zonei de influență termică, respectiv ale transformărilor structurale, limitează eficacitatea reconditionării pieselor prin procedeele clasice, care de multe ori, necesită un tratament termic ulterior destul de complicat. În acest context, orientarea în domeniul de sudare și încărcare se face către procedeele speciale și specializate.-

La încărcarea obișnuită cu arc electric, grosimea minimă a straturilor încărcate ajunge de obicei la 2-3 mm. În multe cazuri însă, este necesară și suficientă grosimea de numai 0,2 - 1,5 mm, urmînd deci, ca mare parte din metalul frânerat și

fie îndepărtate prin prelucrări mecanice.-

In anii 1951-1952 inginerul G.P.Klekovkin (URSS) a descoperit un procedeu nou de încărcare a pieselor, eliberat (scutit) în mare măsură de neajunsurile amintite mai sus, și a fost numit de autor „încărcare prin vibrocontact”. Procedeul constă în acesta, că piesa se rotea între vîrfurile unui strung și se încărca cu ajutorul unui cap automat special prevăzut cu un tambur cu sîrma-electrod, care asigură avansul, vibrarea și rotirea sîrmei-electrod în jurul axei sale, cu un diametru de 1,2 - 2 mm, iar capul automat, prin deplasarea sa, asigura avansul (pasul de încărcare) deasupra piesei. Piesa și sîrma-electrod se conectau la un generator de joasă tensiune (tensiunea de mers în gol 12 V) și la tensiunea din secundarul unui transformator de 5-12 V.

In zona de încărcare și în apropierea ei, pe piesă s-a trimis, printr-un ajutaj special, lichidul de lucru, reprezentând o soluție din apă cu sodă calcinată și săpun.-

Potrivit concepției ing. Klekovkin, procedeul de încărcare propus, avea un caracter de încărcare prin contact, la care topirea sîrmei-electrod se producea în principal pe seama căldurii Joule-Lenz ce se degaja la locul contactului între sîrma-electrod și piesă, precum și în apropierea acestui contact.-

Ulterior, deoarece procedeul a prezentat un interes deosebit, aceasta a început să fie studiat sub diferitele sale aspecte, punindu-i-se treptat și bazele științifice. Procedeul a fost completat cu studii și cercetări formind contribuții originale, printre care și lucrarea de făgă.-

In ultimul timp, procedeul de încărcare automată cu vibroarc se introduce în mai multe țări, mai ales pentru recondiționarea pieselor uzate. Procedeul folosește ca mediul protector fie: jet de lichid, strat de flux, binoxid de carbon, argon, atmosfera vaporilor de apă, sau cu sîrma cu autoprotecție sau altfel de protecții.-

Cercetările au stabilit, că la încărcarea și sudarea cu vibroarc, trecerea metalului sîrmei-electrod în baia de sudare se efectuează în cantități (portii) mici, în principal în perioada scurta circuitării spațiului arcului. Acest fapt, îmbunătățește formarea straturilor și cusăturilor subțiri, mai ales la încărcare și sudare în poziții dificile (verticale, etc.)

Prinț-o alegere corespunzătoare a frecvenței și amplitudinii de vibrație a sîrmui-electrod, a tensiunii d.c. și a intensității de surse de alimentare cu curent, a rezistenței, respectiv a inducției circuitului, precum și a altor parametri ai încărcării, respectiv sudării, este posibil să fie schimbat în mare măsură caracterul procesului, precum și dimensiunile picăturilor de metal, durata căt ele se află sub influența arcului electric, grauul de saturare al metalului cu gaze și oxidarea unor elemente componente ale aliajelor, adâncimea de topire (pătrunderea) și dimensiunile zonei de influență termică.-

Lichidul de lucru folosit, protejează metalul topit contra influenței azotului și parțial contra oxigenului din aer, contribuind la formarea unor straturi compacte de metal ce se încarcă; astfel, se intensifică deionizarea gazelor formate în timpul descărcărilor arcului și contribuie la stingerea lui.-

In aceste condiții, apăr rolul vibrării sîrmui-electrod ca un factor stabilizator deosebit de eficient. Pe lîngă faptul că vibrarea stabilizează trecerea metalului topit al sîrmui-electrod, asigură periodică deselecție excitări ale arcului în momentele de întrerupere a circuitului de sudare, stabilizând prin acesta procesul în întregul său.-

Datorită acestor particularități, încărcarea cu procedeu vibroarc sub jet de lichid, este un procedeu eficace și economic. Tendința insistentă de mecanizare și automatizare, a proceselor respectiv a procezelor de sudare, precum și a producției sudură în general, această tendință a devenit una dintre importantele direcții de dezvoltare a sudurii.-

Procedeul vibroarc răspunde acestei tendințe generale, deoarece este un procedeu în esență mecanizat cu procesul de încărcare automatizat, cu arc electric pulsator cu o strictă perioditate.-

In ce privește tehnica încărcării pieselor în general, se subliniază că mecanizarea a ajuns la un nivel înalt.-

Trebuie scos în evidență însă, că încărcarea pieselor se folosește cu preponderență în lucrări de reconditionare (reparații) a pieselor, cu toate că există posibilitățile de a o folosi la fabricația pieselor noi, cu suprafete (straturi) cu proprietăți speciale prescrise prin proiecte: rezistențe la uzură, tenacitate

la coroziune, termorezistente etc.-

Rezultatele obținute în cadrul tezei, permit ca proce-  
deul vibroarc, să fie folosit la fabricația pieselor noi, care  
astăzi obțin suprafete cu anumite proprietăți prin ajutorul unor  
procedee tehnologice mai dificile, cum este spre exemplu stili-  
tarea.-

Încărcarea pieselor cu procedeul vibroarc, poate fi fă-  
cută fie pe oțeluri finalt aliante caracterizate printr-o rezisten-  
ță finaltă la uzură, fie pe cele rezistente la coroziune, termore-  
zistente, sau cu alte proprietăți. Procedeul se aplică cu succes  
și la executarea pieselor bimetalice.-

Deseori, este necesar să se încarce grosimi mici de me-  
tal (zecimi de milimetru) sau pe piese de diametru mic 8-10 mm.  
(sub 40-50 mm), în aceste cazuri se recomandă încărcarea pieselor  
cu procedeul vibroarc /98/.-

Procedeul asigură obținerea unor straturi subțiri, uni-  
forme, cu o duritate ridicată (dorită).-

Un avantaj important al procedeului este acela, că zona  
de influență termică este redusă și sunt eliminate complet, sau  
aproape complet, deformările pieselor ce se încarcă. Suprafețele  
ce urmează a fi încărcate nu necesită pregătiri speciale.-

Procedeul de încărcare și sudare cu vibroarc a apărut,  
după cum-s-a amintit, pentru prima dată în URSS, unde este prac-  
ticat în mai multe ramuri industriale, apoi în R.S.Cehoslovacia  
și Japonia și în mai mică măsură se aplică sau în curs de asimi-  
lare în R.P.Polonă, R.P.China, R.P.Ungară, R.D.Germană, Statele  
Unite ale Americii, R.F.Germania.-

Se subliniază faptul, că literatura de specialitate și  
mai ales cea din țările occidentale, nu oglindește sau oglindeș-  
te extrem de puțin rezultatele teoretice și experimentale obțи-  
nute prin aplicarea acestui procedeu.-

O serie de lucrări apărute, prezintă rezultate contra-  
dictorii. În prezent, nu există încă o teorie închegată asupra  
procesului vibroarc. În cadrul tezei, în limitele temei abordate,  
autorul încearcă să facă o sistematizare, lectura și corelarea  
rezultatelor obținute de unii autori cu cercetările proprii.-

Existența teoriilor contradictorii, a ridicat serioase

dificultăți în ce privește utilizarea practică a rezultatelor obținute de alți autori. Numărul factorilor respectiv a parametrilor variabili ce determină procesul vibroarc, este foarte mare, ceea ce a determinat că autorul tezei, să caute mijlocuri de a le reduce, fie comasîndu-le, fie prezentîndu-le în grafice foarte accesibile utilizării practice, iar prin ajutorul numărului important de probe să elimine unele contraziceri existente în literatură.-

Astfel, sistemul de fixare respectiv de predeterminare a parametrilor regimului de lucru cu vibroarc s-a simplificat, devenind mai accesibil.-

Pe drept cuvînt se poate afirma, că lucrarea științifică însotită de partea experimentală efectuată, este rezultanta necesităților practice și nu numai pentru un domeniu restrîns al Intreprinderii de Mașini Grele București, ci pentru mai multe domenii de activitate industrială, în vederea aplicării procedeului vibroarc în general în construcții de mașini.-

Pentru a da oarecare dimensiune volumului de utilizare a procedeului vibroarc, mai jos sînt reproduse cîteva cifre, dintr-un articol apărut recent /69/, (pentru țara noastră se pot face numai programe).-

In întreprinderile de reparații de mașini agricole în URSS, anual se recondiționează 75-80% din piesele întregului parc de tractoare. Aceste întreprinderi, în majoritatea lor au sectoare specializate pentru recondiționarea pieselor prin încărcarea cu procedeul vibroarc sub jet de lichid, în  $\text{CO}_2$  sau în vapori de apă.

Volumul total al lucrărilor de recondiționare, se repartizează pe procedee astfel: procedee mecanizate de încărcare sub strat de flux 47%; încărcare cu procedeul vibroarc sub jet de lichid 10%; idem sub vapori de apă 5%, idem sub  $\text{CO}_2$  1%; încărcarea manuală clasica 37%. Procentele indicate sunt semnificative și pot servi, într-o oarecare măsură, pentru orientare, în ce privește aplicabilitatea și dezvoltarea procedeului vibroarc la noi în țară.-

Primele începuturi de studii, cercetări și experimentări cu procedeul vibroarc, la noi în țară, au fost executate de autorul tezei, în anii 1963-1964 la Întreprinderea „23 August” din București. Apoi, rezultări și cercetări teoretice publicate în 1965 /43, 44/.

Tot în anul 1965, au fost prezentate rezultatulie ale cercetări /189/ în cadrul comunicărilor celei de a - V -a Conferințe de Sudură și încercări de metale, de către un col. civ. de la Institutul de Cercetări pentru mecanizarea agriculturii din București.-

In prezent, urmarea studiilor și cercetărilor efectuate de autor, proceadeul este pe calc de aplicare industrială la întreprinderea de Mașini Grele din București și în curs de analizare a rezultatelor obținute, în vederea introducerii procederii la Intreprinderea Mecanică de Material Rulant din Craiova, pentru recondiționarea pieselor pentru locomotive diesel-electrice și electrice.-

Intre timp, autorul tezei a publicat, fiș a depus sub formă de studii și cercetări la Catedra de Utilajul și tehnologia sudării lucrările /46,47,48,49,50 și 51/.-

Autorul a folosit în mare parte, pentru stabilirea unor relații și a dependenței între parametrii procesului vibrație, drept mijloc de lucru metodele statisticii matematice.-

Legăturile corelaționale între o serie de parametrii menționați în text, au fost stabilite pe baza relațiilor statisticii matematice prin aplicarea metodelor celor mai mici pătrate. Având în vedere numărul mare al corelațiilor și al datelor măsurătorilor experimentale, calculul pentru determinarea analitică a acestor legături a fost efectuat automat, cu ajutorul calculatorului electronic.-

In acest scop, a fost conceput și realizat un algoritm și un program de calcul, scris în limbaj FORTRAN IV, aplicabil pentru calculatorul I.B.M. 360 (de la Academia de Științe Economice București), precum și pentru calculatorul PELLA C 256 (de la Institutul Politehnic București).-

Calculele mai complexe ce au la bază relații mai complicate, au fost efectuate cu un mini-calculator electronic marca HEWLETT-PACKARD tip HP-35, ceea ce a ușurat mult calculurile.-

Au fost studiate articole și lucrări publicate în perioadice, în publicațiile institutelor de cercetări și de învățămînt superior, culegeri de referate ale simpozioanelor și congreselor naționale și internaționale, a conferințelor pe teme de specialitate și.a.m.d.-

Bibliografia anexată prezintă 215 titluri de lucrări de referință.

De subliniat, că majoritatea articolelor prezintă rezultatele aplicării practice ale procedeului vibroarc, fără considerări teoretice.-

In ce privește partea teoretică, științifică a procedeului, ea este tratată într-un număr foarte restrâns de articole publicate, iar o monografie care să sistematizeze întregul material teoretic și experimental apărut și să stabilească o legătură între ele, nu există la această dată. Monografia apărută în 1958 „Vibrodegovaea naplavca”, de I.R.Patchevici, este singura lucrare de sinteză care oglindește nivelul cunoștințelor, la acea dată, asupra procedeului vibroarc, adică la începutul apariției procedeului.-

Partea experimentală a cercetărilor, este executată pe o instalație la origine de construcție cehoslovacă tip MV-350 cu un redresor de curent tip KV-200, reconstruită și adaptată noilor condiții și cerințe dictate de rezultatele ultimelor cercetări publicate în literatura de specialitate, sau constatătate ca necesare în urma propriilor cercetări.-

Teza de doctorat, prin tematica sa, urmărește rezolvarea unor probleme teoretice, legate direct de rezolvarea unor probleme practice cu aplicabilitate imediată.-

Drept urmare, firul roșu conducător al autorului, a fost ca rezultatele cercetărilor științifice-teoretice, atât cele existente însă necorelate sau cu concluzii contradictorii, cât și cele obținute de autor după o rezolvare corespunzătoare, să îmbogățească baza științifică a procedeului vibroarc și să le proprie cît mai mult formeи accesibile, devenind un mijloc în vederea aplicării lor directe în practică.-

Tema tezei de doctorat este urmăre și în strînsă legătură, cu tema din planul tehnic al Intreprinderii de Mașini Grele din București, Capitolul A, poz. 20, cu titlul „Sudarea cu vibroarc a pieselor în loc de stelitare”, fază actuală „Studii și experimentări în vederea aplicăriilor industriale”.-

Având în vedere că produsul principal al întreprinderii căreia i se va aplica procedeul vibroarc este turbina cu abur de 330 MW, ce se fabrică în baza licenței de la firma Rateau din

Franța, modificări de tehnologie se vor putea face numai după ce primele turbine vor fi omologate. În consecință, experimentările pe piese concrete pentru turbine cu abur ca: tijă ventil, supape și altele se vor face în etapa următoare.-

Autorul a procedat însă la recondiționarea unor piese de locomotive diesel-electrice, ce lucrează în condiții grele, care sunt în curs de experimentare la Intreprinderea Mecanică de Material Rulant din Craiova.-

Au fost executate peste 145 de epruvete, în diverse condiții de încărcare, putând în baza acestui material experimental obținut, să tragă concluzii corespunzătoare.-

Prin tematica sa, și prin rezultatele obținute, teza se înscrise în indicațiile prevăzute în Raportul la Conferința Națională a Partidului Comunist Român din 19 - 21 iulie 1972, prezentat de Tovarășul Nicolae Ceaușescu, Secretar General al Partidului Comunist Român, în care spune: „Este necesar ca cercetarea științifică să sprijine în mai mare măsură eforturile de reducere a consumurilor materiale, elaborarea de noi tehnologii de fabricație, introducerea în circuitul economic a înlocuitorilor materialelor scumpe și deficitare”, precum și în Documentele aprobatute în preajma Congresului al XI-lea al P.C.R.-

Rezultatele obținute acoperă aceste indicații.

Prin cercetările, studiile și experimentările efectuate au fost obținute o serie de rezultate, contribuții originale redată sintetic în Capitolul 14. În acel capitol sunt enunțate și cîteva probleme considerate încă deschise, putând să formeze subiecte importante de cercetare în viitor.-

Studiile, cercetările și experimentările efectuate, prin rezultatele obținute, întregesc partea științifică teoretică a problemei, punând la îndemâna industriei, totușt de soluționare a unor probleme tehnice, și de aplicare a unui procedeu nou de încărcare respectiv de recondiționare a pieselor, tehnice și superioare prin particularitățile sale pentru o gamă largă de piese și domenii.-

Teza cuprinde în total 14 capitole și o serie de anexă, iar bibliografia de referință 215 titluri.-

Lucrările experimentale au fost executate în cadrul

Intreprinderii de Mașini Grele din București, în laboratorul  
Sectiei de Mecano-Sudură și respectiv în laboratorul de Fizică  
și metalografie a întreprinderii.-

In încheiere, doresc să exprim cele mai sincere mulțumiiri  
conducătorului științific al tezei Profesor Doctor Vasile  
Ing. Vladimir Popovici, care a știut într-o manieră deosebită  
să-mi acorde sprijinul și îndrumările în rezolvarea unor pro-  
bleme dificile.-

Mulțumesc colaboratorilor de la Întreprinderea de Ma-  
șini Grele - București, care m-au ajutat la executarea probelor  
și încercărilor de laborator, în primul rînd celor de la Secția  
Mecano-Sudură și de la Laboratorul Fizic și de Metalografie.-

!

Figurile și tablouri fizice și metalografice

Vol.I.

CAP. I - SINTEZA LITERATURII TEHNICE ASUPRA PROCEDUROU

DE INCARCARE SI SUDARE CU VIBROARC

1.1. Din istoricul procedeului vibroarc, idei si constante.

Prima lucrare publicată asupra procedeului de încărcare cu vibroarc a apărut în anul 1954, sub forma unei fei volante, cu articolul „Avtomaticesca holodnaca vibrocontactnaa nopl vek mettalov”, autorul Ing.G.P. Klekovkin, cel ce a elaborat pentru prima dată acest procedeu, în varianta sa inițială. În același an apoi în 1956 au apărut două articole despre încărcare cu vibroarc a pieselor, în vederea recondiționării lor /97,98/-

Analizând cele trei lucrări publicate de descoptorul procedeului, respectiv în colaborare cu alții, constatăm că înainte elaboratorul procedeului, în timp scurt, a adus modificări importante în sensul perfecționării procedeului său.-

De fapt, ing. G.P.Klekovkin a elaborat procedeul de încărcare cu vibroarc în anii 1951-1952, însă a publicat rezultatele pentru prima dată în anul 1954 /97,98/-

Procedeul, în varianta sa inițială, a constat în aceea că piesa ce se rotea, fiind prinsă între chernere ale unui strung și se încarcă cu ajutorul unui cap special construit, care lucra avansul pe piesă a sîrmei-electrod vibrată și rotită în jurul axei sale, cu un diametru de 1,2 - 2 mm. (fig.1.1.). Piese și sîrma-electrod erau puse sub tensiune electrică de la un generator de joasă tensiune. Generatorul avea tensiunea de mers în gal de 12 V și era legat în serie cu ajutorul unui transformator cu tensiunea în secundar de 5 - 12 V, adică schema electrică, respectiv instalația, funcționa cu curent combinat. În zona de încărcare și pe piesă se trimitea lichidul de lucru, care dintr-o soluție de apă cu sodă calcinată și săpun. Astfel, se realizează automatizarea procesului de încărcare cu vibroarc /97/-

G.P.Klekovkin pornind de la părerea despre încărcarea

- // -



cu vibroarc ca pe un proces ce decurge prin contact, la care compierea sîrmei-electrod se produce în principal datorită căldurii Joule-Lenz, care se degaja în locul de contact între sîrmei-electrod și piesă și în preajma contactului, ceea ce ulterior se dovedește ca nefondat.-

Pentru usurarea desprinderii picăturilor de metal topit de pe sîrma-electrod, a fost introdusă rotirea sîrmei-electrod în jurul axei sale. Procedoul descris (în acastă variantă), avea importanță neajunsuri: procesul era insuficient de stabil, grosimea straturilor depuse în multe cazuri, era insuficientă, schema electrică foarte complicată.-

### 1.2. Primele cercetări științifice asupra procedeului vibrare

Dezvoltarea în continuare a procedeului de încărcare cu vibroarc, în mare măsură este legată de cercetările științifice execute asupra procedeului elaborat de G.P.Klekovkin.-

Între timp și mai ales în ultimii circa 10-15 ani, procedeul a fost supus unui sir de perfecționări esențiale.-

Perfecționările s-au referit în primul rînd la construcția capului automat. A fost eliminată rotirea sîrmei-electrod, au fost introduse rolele rotite de motoare electrice pentru avansul sîrmei-electrod, s-a stabilit științific poziția locului de aducere a sîrmei electrod la piesă. În multe cazuri vibratoarele electromagnetice au fost înlocuite cu cele mecanice, s-a studiat științific esența fizică a procedeului, au fost aduse importante modificări în schemă electrică și în regimul de încărcare.-

În fig. 1.2, sănătate oscilogramele tensiunii (I), și a intensității de curent (II), în cazul încărcării cu vibroarc alimentat cu: curent continuu (a), curent alternativ (b) și curent combinat (c). Din oscilogramele prezentate se observă, că în decursul unei perioade de vibrație a sîrmei-electrod apar: perioadă de scurt circuit  $t_k$ , perioada de descărcare electrică  $t$  și perioada de mers în gol  $t_o$ , durata ciclului  $t_c$ . Asupra acestor oscilograme se va reveni în text.-

Fig. 1.3, reprezintă oscilogramele ridicate pentru tensiunea (I) și intensitatea de curent (II) la o frecvență de vibrație a sîrmei-electrod de 100 Hz (a) și respectiv 50 Hz (b). Aceste

oscilograme se consideră drept tip pentru intensitatea curent și tensiunea între sîrma-electrod și piese. În acest caz, căldura ce se degajă în perioada descărcărilor electrice este de cca. 50-99,5 % /98/.-

### 1.3. Căldura degajată și mersul în gol.

In procesul de încărcare cu vibroarc se observă o alternare a descărcărilor electrice și de scurte circuituri a circuitului de sudare la formarea contactului între sîrma-electrod și piesă, adică are loc acțiunea a două surse de căldură. Intr-o serie de lucrări /63, 65, și altele/ se exprimă părerea asupra rolului de prim ordin în procesul de încărcare a căldurii Joule-Lenz ce se dezvoltă în locul contactului.- În alte lucrări se remarcă, că rolul principal îl au descărcările electrice /97,98/.-

Cercetări asupra bilanțului termic al procesului de încărcare cu vibroarc executate în anii 1954 - 1955 /97/, au arătat, că existența intervalelor de mers în gol în fiecare perioadă de vibrație a sîrmei-electrod, înrăutățește alierea metalelor de ados cu celde bază. În aceste intervale de timp, căldura nu se degajă, ci numai se transmite prin conductivitate, îndepărțindu-se de la locul de încercare și dela capătul sîrmei-electrod. "Azultă", că pînă la momentul de trecere a metalului sîrmei-electrod pe locul de încercare, piesa poate să nu fie suficient de căldă, pentru a asigura o bună aliere. Se poate deci trage concluzia, că pentru îmbunătățirea alierii este necesar a se reduce sau să fie cu totul eliminate intervalele de mers în gol și să fie mărite intervalele sau durata de ardere a arcului (care însă are inconvenientul arderii unor elemente de aliere).-

In ce privește rolul inductantei, aceasta rezultă în special din lucrările /98, 117, 121, 199/, precizîndu-se că rolul inductantei este dublu. În primul rînd, inductanta circuitului trebuie să fie mai mare decît o anume valoare minimă, care să asigure eliminarea din fiecare ciclu a pericodelor de mers în gol. Pe de altă parte, existența inductantei influențează în sens negativ asupra procesului de autoreglare, înînfîndu-l. În general este de dorit ca inductanta circuitului să fie cît posibil mai mică /121/ .-

In paralel, se studiau și se perfecționau urmărele necesare: cap automat de încărcare, sursele de alimentare, curent, bobinele de inductanță, etc. iar gama picelor cu care încarcă cu acest procedeu a crescut mult /7, 34, 120, 124, 125/.

1.4. Stadiul pe plan mondial și unele concluzii privind utilizarea lui vibroarc. Diferite variante apărute. Funcționarea și dezvoltarea

Admitem anul 1965 ca un an de etapă, întrucât pînă la sfîrșitul acestui an se poate face, după datele din literatura de specialitate, un nomenclator al diferitelor variante apărute în lume ale procedeului de sudare cu vibroarc, după cum urmează:

- Încărcarea cu vibroarc cu jetul de lichid deviat /61/;
- Încărcarea cu vibroarc sub jet de lichid de rîcire/97, 98, 120 și altele/;
- Încărcarea cu vibroarc cu electrod bandă /153/;
- Încărcarea cu vibroarc în atmosferă vaporilor de apă/102, 110/;
- Încărcarea cu vibroarc sub strat de flux /177, 178, 185, 176, 186/;
- Încărcarea cu vibroarc în mediu de  $\text{CO}_2$  /61, 62, 63, 193/;
- Încărcarea cu vibroarc cu două sîrme-electrod /160/;
- Încărcarea cu vibroarc cu două sîrme-electrod și cu vibrarea suplimentară a băii topite prin ajutorul ultrasunetelor, precum și alte variante despre care nu se amintește aici, deoarece ele în esență se abat de la procedeul propriu-zis.-

Pînă aici, se poate trage concluzia că:

- procesul ce se petrece la încărcarea și sudarea cu procedeul vibroarc, este unul din procesele cu impulsuri;

- arderea cu impulsuri a arcului și schimbularea puterii sub formă de impulsuri sunt asigurate prin scurtcircuitele între sîrmei-electrod și piesă, urmate de descărcările arcului, ce se realizează prin ajutorul vibrației capătului sîrmei-electrod;

- vibrarea sîrmei-electrod permite reglarea proceselor, legate de topirea și trecerea metalului sîrmei-electrod pe piesă. Vibrarea sîrmei-electrod îmbunătățește sensibil stabilitatea regimului de încărcare respectiv sudare.-

Încărcarea cu procedeul vibroarc, poate fi realizată într-un jet de lichid, sub flux, sub protecția unor gaze sau fo-

losind sîrma-electrod cu protecția internă. Utilizarea mulților protectoare se corelează cu nevoia de reglare a stării termice în funcție de piesele ce se încarcă acționînd eventual căldura jetului de lichid folosit pentru răcire.-

S-au făcut cercetări și respectiv experimentări pentru determinarea cantitativă a influenței vibrării sîrmei-electrod asupra intervalului regimurilor de încărcare /lo4/. Menținînd constanti restul de parametri ai regimului, se determinau vitezele de avans minime și maxime ce asigurau o formare satisfăcătoare a straturilor la încărcarea cu sîrma-electrod vibrată și nevibrată (fig.14.).

Fig. 1.4., arată variația maximă și minimă a vitezelor de avans a sîrmei-electrod, în funcție de tensiunea de măsură în gol a sursei de curent la încărcare:

- a. - cazul cînd sîrma-electrod este din otel '35 și încărcarea în jet de apă;
- b. - cazul cînd sîrma-electrod este din otel H20N 10 G și încărcarea în  $\text{CO}_2$ ;
- I. - fără vibrarea capătului sîrmei-electrod;
- II - cu vibrarea capătului sîrmei-electrod.

După cum se vede din fig. 1.4., intervalul vitezelor de avans a sîrmei-electrod ce săn satisfăcătoare pentru încărcare cu vibroarc, în toate cazurile, este mai mare în raport cu încărcarea fără vibrarea sîrmei-electrod și crește cu ridicarea tensiunii de mers în gol a sursei de curent precum și cu scăderea rezistenței circuitului ( cu creșterea rigidității caracteristicii externe a sursei de curent).-

Dintr-un șir de lucrări publicate /53,lo4,120, 154/ cînd urmare a cercetărilor și al aplicațiilor practice, rezultă că încărcarea cu vibroarc sub jet de lichid, are și unele neajunsuri. Cele mai importante din ele sunt: saturarea cu hidrogen a metanului depus, formarea crăpăturilor în el și ca urmare micorarea rezistenței la obosalea a pieselor încărcate, care duc în unele cazuri la ruperea lor.-

Deficiențele amintite limitează domeniile a. lichidi în încărcării cu vibroarc în jet de lichid. Acest procedeu se recomandă

- 28 -

dă pentru recondiționarea pieselor ce sunt supuse fizică  
uzurii și au suficientă rezervă din punct de vedere al  
tenței.-

Pentru a ridica cu mult rezistență la oscile  
selor încărcate în cazurile amintite mai sus, se recomandă  
rificarea mecanică sau termică a suprafețelor încărcate /147/.

In ultimii ani, concomitent cu încărcarea folosindu-se  
de lichid, se aplică încărcarea cu vibrație sub flux, în sângere  
de carbon, în azot (încărcarea bronzului pe oțel) /11, 101, 33,  
177, 178, 185/ în atmosferă de vapori de apă.-

Ca mediu protector, în cazul încărcării cu vibrație,  
se folosește cu succes, gaz de bioxid de carbon, care permite  
lărgirea nomenclaturii mărcilor de oțel pentru fabricarea arbori-  
lor-electrod. Straturile încărcate obținute, sunt compozite și fără  
crăpături. Metalul depus are proprietăți mecanice mai bune.  
Viteză de avans a sârmelui-electrod în acest caz este mai mare  
/68, 189, 193, 207/. Prin acest procedeu se recondiționează în  
special piesele, ce lucrează în medii corozive. Lucrarea /160/ re-  
comandă acest procedeu pentru recondiționarea arborilor cotiți  
uzati /170, 206/.-

Pentru oțeluri aliate de tip sovietic st.40, 40K, 45 și  
altele, se recomandă preîncărcarea pieselor pînă la 300-350°C  
/61, 62/.-

In unele cazuri, cînd lipsește CO<sub>2</sub> și flux, se poate  
folosi la încărcarea pieselor, mediu de vapori de apă. Prin  
cest procedeu se asigură un regim termic favorabil menținării cric-  
talizarea metalului, iar formarea crăpăturilor este mult mai re-  
dusă în comparație cu procedeul de încărcare sub jet de lichid  
/102/.-

In comparație cu încărcarea sub jet de lichid, recondi-  
erea în mediu de vapori, asigură o mai bună stabilitate a rezervelor  
lui, permitînd folosirea sârmelui-electrod mai bogat în carbon.  
Se obține și o neînsemnată reducere a grosimii stratului de me-  
tal încărcat /102/. Acest procedeu nu este încă suficient studiat  
/149, 68/.-

Ca mediu protector, la încărcare cu vibrație se foloseș-  
te și gazul argon sau amestecuri de gaze /68, 206/, fiecare din



aceste medii și are avantajele sale.-

O variantă a procedeului vibroarc este cînd se folosește în loc de lichid, de lucru un jet de aer /39, 170/. Aici constată că fisurătia a fost mai redusă.-

Se consideră a fi de mare perspectivă, folosirea unei încărcare cu vibroarc a sîrmăi-electrod cu culbere (producătorul internă). Astfel de sîrmăi-electrod, exclude necesitatea unui protector din afară. În acest caz se simplifică capul statorului, precum și tehnica încărcării, se îmbunătățește calitatea metu lui depus /68, 104/-.

Alte încercări și variante ce au apărut într-o liniă, aplicînd procedeul sudării cu vibroarc, dovedesc largi posibilități de aplicare a acestui principiu nou, pentru care astăzi nu descoperă noi și noi posibilități de aplicare, în măsură în care și partea științifică pătrunde și descoperă aspecte necunoscute pînă acum, eliminînd tot ce n-are bază teoretică și experimentala verificată.-

Astfel, procedeul de încărcare cu vibroarc folosind electrod bandă recent încercat, se dovedește /158, 205/ a fi de mare perspectivă.-

Se dovedește posibilitatea încărcării cu vibroarc a bronzului pe oțel, mai ales în cazurile unde este necesară dejună straturi subțiri de bronz pe piesele din oțel /101/-

Prin acest procedeu de încărcare se asigură o dimensiune minimă a metalului încărcat în cel de bază, și practic nu se mai produce arderea Si și a Mn.-

Încărcarea cu vibroarc a bronzului pe oțel s-a dovedit a fi mai eficace la executarea pistoanelor și a tijelor de piston bimetalice /11, 114/, adică piesele supuse la frecare.-

Un număr important de lucrări avîrute, ca urmare a unor cercetări științifice, a unor aplicări în cazuri concrete de încărcare cu vibroarc /12, 28, 29, 35, 36, 37, 52, 54, 60, 65, 68, 125, 153, 157/ dovedesc obținerea unor rezultate bune la recondiționarea pieselor cu acest procedeu.-

S-a constatat, că timpul necesar recondiționării pie-

selor cu procedeul de încărcare cu vibroarcă, este mult mai mare în comparație cu procedeul de încărcare manuală cu același efort, și anume pînă la de 2 - 2,6 ori/98/.-

Cînd diametrul sîrmei-electrod este de 3-4 mm. și pînă la 10 mm., deci cînd este vorba de diametrele sîrmei-electrod considerate ca normale (pînă la 2 mm.), productivitatea încărcării crește mult. Astfel, pentru sîrma-electrod de 4 mm. diametru, productivitatea este aproape de 3 ori mai mare decît productivitatea încărcării cu sîrma-electrod de 2 mm. diametru, avînd pierderi de metal mai mici.-

Pentru o încărcare cu vibroarcă în mediu de cca. de suntem calitate, cu sîrma-electrod de mare diametru, importanță esențială o are schema de aducerea sîrmei-electrod deasupra piesei. Această schemă, trebuie să asigure un astfel de raport între forțele care acționează asupra picăturilor de metal în baia topită, încît să nu inunde spațiul arcului și în același timp, nu trebuie să-l expulzeze din baie în sens invers, cum arată fig. 1.5., altfel ar forma pe suprafață încărcată niște solzi. Pierderile sunt de cca. 4-5 %.-

In lucrările /97, 98, 121, 161/ se arată acțiunile forțelor ce se nasc, în procesul de vibrare a sîrmei-electrod, asupra masei de metal Q ce se transportă de pe electrod pe piesă. Se stabilește o relație între masa de metal Q ce se transportă de pe sîrma-electrod vibrată într-o secundă și frecvența vibrării, adică:

$$Q = M_1 \cdot \nu \cdot \frac{b + c\omega^2}{1 + n^2 \omega^2}$$

în care  $M_1$  - masa picăturii de metal topit;  $\omega$  - frecvența circulară a oscilațiilor;  $n^2$  - raportul între amplitudinea oscilației și accelerarea gravitației;  $\nu$ , b și c - coeficienți numeric experimentali.

Productivitatea maximă de trecere a metalului de pe sîrma-electrod pe piesă se constată a fi la frecvență de vibrare egală cu 50 Hz.-

Evaluarea matematică a forței de inerție, ce se formează asupra picăturilor de metal, ce se formează la capătul sîrmei-electrod în vibratie, la o amplitudine de 0,14 cm. și frecvență de

vibrăție de 100, respectiv 150 Hz, dă valori corespunzătoare și de 120 ori mai mari decât greutatea picăturii de mătăse.

Amplitudinea și forma vibrăției, la fel, în mod similar, influențează asupra stabilității procesului de încărcare vibroarc /12/. Scăderea amplitudinii vibrăției, legată de variația inductantei, poate să ducă la un scurtcircuit de durată, sau la o oprire a atingerii de către sîrma-electrod a piesei și acela la o stingere a arcului.-

In concluzie, se poate spune, că fiecărui regim de încărcare prin vibroarc, îi corespunde amplitudinea și forma vibrăției optime.-

In ce privește lichidul de răcire sau lichidul de lucru, literatura prezintă multitudine de rețete. Astfel, în lucrarea /104/ se arată că soluția folosită se compune din apă cu 3-4% sodă calcinată, sau cu 10-20% glicerină; în lucrarea /63/ soluția folosită este la 10 litri apă 100 g. sodă calcinată plus 10 g. glicerină tehnică, în lucrarea /12/ acestă soluție este compusă din 6 % sodă calcinată.-

Lucrarea /21/ arată, că s-a folosit lichidul de răcire compus din 20% glicerină și 80% apă distilată, ridicând concentrația glicerină pînă la 30% răcirea piesei poate fi redusă, iar în lucrarea /37/ lichidul de răcire este compus din 100 g de  $\text{Na}_2\text{CO}_3$  și 50 cm<sup>3</sup> glicerină pentru 10 l. apă.-

Lucrarea /135/ prevede o soluție de apă cu 10-20% glicerină tehnică. O altă lucrare /144/, folosește pentru răcire soluția de apă cu 12% glicerină și 2%  $\text{Na}_2\text{CO}_3$ , iar lucrarea /145/ o soluție de apă cu 20% glicerină. La uzina de automobile din Praga /1/ soluția folosită este apă cu 3-4%  $\text{Na}_2\text{CO}_3$  cu un adăos de ulei și apă cu 20-30% glicerina.-

După cum se observă, soluțiile folosite pentru răcire diferă destul de mult între ele. Cunoșterea influență a acestora asupra calității încărcării și a apariției fisurilor etc, care desigur depinde și de felul materialului de bază, de debitul jetului de răcire, precum și de alți factori, reprezintă un vast domeniu de cercetare.-

In literatura de specialitate, se evidențiază compara-

studierii posibilităților de aliere a metalului încu procedeul vibroarc. Astfel, în lucrarea /3c/ se arată că procedeul mai eficace, simplu și care nu necesită echipamente este introducerea elementelor de aliere prin sîrma-electrod, înciată în mod corespunzător. Năcîjunsul acestui procedeu, într-o ardere puternică a unor elemente de aliere. În ceea ce privește elementelor, asupra stabilirii cauzelor de ardere a componentelor oțelului, în cazul încărcării cu arc pulsator /5/, s-a stabilit că arderea C depinde în principal de durata de ardere a arcului, cu cît perioada lui de ardere este mai mare, cu atât sînt mai mari pierderile de C, la trecerea metalului prin spațiul urmărit. Arderea Mn și a Si în principal depinde de suma timpilor ciclidelor de ardere a arcului și a mersului în gol. La creșterea acestui timp, arderea Mn și Si crește. Se presupune că, cauză majorării arderii componentelor, în cazurile arcului cu întrerupere este existența procesului de trecere în timpul aprinderii și stingerii arcului.-

Pentru păstrarea componentelor sîrmei-electrod în arcul încărcat, trebuie să se tindă ca perioada de ardere a arcului să fie cît mai redusă și să fie eliminată perioada mersului în gol. Aceleasi rezultate și concluzii sunt stabilite și în lucrarea /17/. S-a determinat coeficientul de trecere al elementelor din sîrma-electrod în funcție de regimul de încărcare /204/.-

In literatură, se acordă atenția deosebită disperziunii temperaturii pe piesă, în cazul aplicării procesului de încărcare cu vibroarc /2, 76, 100, 177, 178/.

Articolul din /2/ prezintă rezultatele cercetărilor de epruvete ce aveau dimensiuni apropiate pieselor ce se încărcau prin vibroarc, iar dimensiunile lor se apropiau de dimensiuni medii ale pieselor de tractoare. Pieseile aveau forma unor trunchiuri cu diametrul exterior 65 mm., cel interior 40 mm. și lungimea de

rezultatele măsurătorilor și a calculelor ciclului termic, sunt prezentate sub formă de distribuție a temperaturii în lungul unei drepte paralele cu axa de translacție a arcului pe o distanță de 0,5 cm. de la axul cusăturii.-

In fig. 1.6, este reprezentată accastre cu trei temperaturii în lungul dreptei, paralele cu axul cu o distanță de 5 mm: 1 - curba calculată; 2 - curba determinată experimental.-

Articolul /76/ expune metode pentru determinarea caracteristicilor cantitative (cu valori modifi) ale surseelor de căldură și calculul proceselor termice la încărcare cu vibroarcă în jet de lichid a pieselor cilindrice. Încrărea stabilește criteriu de rezistență cu  $Bi$  - criteriu fără dimensiuni, care caracterizează intensitatea răcirei, superioară și devină de locul de răcire și de consumul lichidului de răcire. Se deduce, că la ardere se stabilește randamentul efectiv al arcului în măsură depinde de răcirea cu jet de lichid a piesei..-

Lucrarea /100/ studiază zonele de influență termică, curbele de variație, a duratării, în aceste zone: dependențe dimensiunilor zonelor de influență termică în cazul oțelurilor călite și necălite. Figura 1.7 arată dependența dimensiunilor zonii de influență termică la piesele din oțel necălite (1) și călite (2), funcție de energia totală liniară. Se trag următoarele concluzii:

- Dimensiunile zonii de influență termică, la epruvete călite, sunt aproximativ de trei ori mai mari decât la epruvetele necălite. Corespunzător cu aceasta, zona de revenire pe epruvete călite, este aproximativ de două ori mai mare decât zona căliti.-

- In caz general, dimensiunile zonei de influență termică, sunt proporționale cu rădăcina pătrată a energiei liniare efective. La determinarea energiei liniare efective, trebuie să se ia în cont de dependența randamentului efectiv de încălzire a metalului de către arc și de regimurile de încărcare.-

- In intervalul valorilor mai des folosite a energiei liniare (400 - 1200 cal/cm), zona influenței termice la epruvete călite, este de aproximativ 0,6 - 1,3 mm. iar la cele călite - de aproximativ de 1,9 - 3,8 mm.-

Cunoscând, că dimensiunile zonii de influență termică la piesele necălite, în cazul sudării manuale cu arc, sunt de 1-7 mm, iar la sudarea automată sub flux - 1,5 - 5 mm, rezultă că zona de influență termică la încărcare cu vibroarcă, este de cîteva ori mai mică. In aceasta constă un important avantaj al încărcării cu vibrotermică. In aceasta constă un important avantaj al încărcării cu vibrotermică.

arc. Acest-avantaj determină folosirea procedurii de respectiv recondiționarea pieselor tratate termic, cu diametre mici, a pieselor de diametru mici și de formă esențială, care în cazul procedurilor obișnuite de încărcare ar suferi formări importante.-

Studiile publicate /177, 178/ se ocupă de ceea ce proceselor termice la încărcare cu vibroare, a axelor cu și spirală. Cercetând cîmpurile de temperaturi în procese de încărcare după spirală, aceasta a permis stabilirea caracterului de distribuire a temperaturilor în lungul și în secțiunea elementelor cărcătute.-

Fig. 1.8. reprezintă modelul spațial al cîmpului de temperaturi, în cazul încărcării unui ax după o traiectoriă în spirală. Experimentările au concis cu datele calculate teoretice. Modelul spațial al cîmpului de temperaturi din fig. 1.8., este de fapt modelul izotermic al suprafeței axului în timpul încărcării. Cum se vede, cîmpul de temperaturi este simetric în raport cu o longitudinală  $x - x$  (timpul). Pe figura: 1 - epruveta fusăre; 2 - locul sursei de căldură - arcul de sudare.-

Rezultatele cercetării cîmpului de temperaturi au arătat, că în cazul încărcării cu vibroare sub flux, piesa se întărește fără întrerupere. Lipsa unor schimbări brusante de temperatură, în secțiunea epruvei și nivelarea ei în procesul încărcării, contribuie la obținerea unor tensiuni și deformații mici.-

Rezultatul cercetărilor asupra încărcării straturilor de metal de diferite grosimi, sunt prezentate în lucrările /179, 180/.

Experimentările s-au executat pe epruvele din fig. 45 diametre de 30, 60 și 80 mm, depunind straturi de grosimi variabile. În rezultat că: a) cu creșterea diametrului numărul de straturi și raza aderenței stratului încărcat cu metalul epruvei crește, cu creșterea diametrului epruvei scade; b) cu scăderea raportului între viteza de avans a sîrmei-electrod și viteza de rostire a piesei, se înrăutățesc condițiile de topire a metalului - crește raza (epruveta); c) în cazul încărcării cu sîrme-electrod cu diametru  $< 1,4$  mm. raportul vitezelor de avans a sîrmei-electrod și piesei nu poate fi  $> 2$ ; d) în cazul încărcării cu sîrme-electrod cu diametrul  $< 2$  mm. pentru a împărtășa unei aderențe mici și scăzute

între metalul depus și cel de bază, este necesar ca grosul său la încării să fie mai mic de 0,7 - 1,2 din diametrul sîrmei-electrica, iar raportul vitezelor trebuie să fie < 2,5.-

Prin aceste cercetări este stabilită legătura reciprocă între parametrii de bază electrici și cinetici ai încărcării cu vibroarc /39/.-

In lucrările /86, 154, 167/ și în alte lucrări, sunt redatate rezultatele cercetărilor asupra rezistenței la oboseală a diferitelor piese încărcate sau recondiționate cu procedeul vibroarc. Astfel, în cazul arborilor cotiți pentru motoare de automobil, cercetările /154/ au stabilit că procedeul de încărcare cu vibroarc se recomandă numai însotindu-l cu o prelucrare mecanică de durificare (cu rola sau cu bila) a racordărilor fusurilor cu manivele.-

Încărcarea cu vibroarc în  $\text{CO}_2$  a oțelurilor 1 H 18M9 pe piese din oțel cu conținutul mediu de carbon, nu reduce rezistența la oboseală a pieselor ci, din contră, o face să crească.-

In lucrările /89/ și /45/ sunt prezentate rezultatele recondiționării arborilor cotiți din fontă, aplicând procedeul de încărcare în jet de aer, respectiv în jet de oxigen. Sunt două variante de încărcare și obțin succes în eliminarea deficiențelor care apar la încărcarea arborilor cotiți din fontă, dacă încărcarea se face prin sudare manuală cu arc, fie sub strat de flux, fie sub protecția unor gaze sau cu vibroarc în jet de lichid. Metodelor sau procedeele enumerate au dezavantajul, în acest caz, deoarece apar fisuri, pori, iar suprafața obținută este foarte dură ce se prelucrează greu.-

Probele efectuate, au arătat în exploatare, că arborii cotiți recondiționați astfel, asigură încă o funcționare de 50 - 60 mii km, iar costul lucrărilor este de cca. 33% din costul unui arbore nou. După doi ani de exploatare nu s-au constatat ruperi de arbori.-

Un număr important de lucrări, acordă atenție deosebită parametrilor regimului de încărcare, ladiferite piese, precum și perfectionării constructive a utilajelor ce se folosesc pentru încărcare cu vibroarc /15, 58, 72, 49, 60, 73, 77, 116, 202/.-

Din aceste lucrări și altele, nespecificate aici, rezul-

tă că procedeul prezintă interes, a început să capete baze serioase științifice și experimentale.-

O suiată de lucrări teoretice, publicate de autori bine cunoscuți în domeniu, cum sunt cele din /103, 106, 120, 122, 137, 145, 173/ vor fi prezentate în decursul expunerilor la capitolele respective legat de cercetările și contribuțiile proprii.-

In concluzie, rezultă că domeniile de aplicare a sudării și încărcării cu vibroarc se largesc mult și progresiv, patrundând treptat din sfera reparațiilor în sfera pieselor noi bimetalice și a pieselor subțiri sudate. Totuși, încă sunt multe go-luri în ce privește cercetarea unor fenomene ca: stabilitatea procesului și regimului de lucru, problemele rezistenței la oboseală după încărcare cu vibroarc, valorile optime ale parametrilor de lucru, influența mediului protector asupra calității încărcării etc, și mai ales în ce privește utilajul necesar, cum ar fi: capul automat cu vibrator și sursele de curent cele mai potrivite, precum și alte aspecte.-

Un articol de sinteză /127/ ajunge la concluzia că mecanismul pentru avansul sîrmei-electrod în cazul sudării, respectiv încărcării cu vibroarc este recomandabil să fie sub forma crucii de Malta, iar reglarea vitezei de avans a sîrmei-electrod se poate face cu rol de avans conice.-

Ultimele lucrări apărute /158/ acordă atenție, arătând avantajele încărcării cu vibroarc cu două sîrme-electrod. Fazele celor două sîrme-electrod sunt decalate între ele cu  $180^{\circ}$ , alimentarea făcindu-se de la o aceeași sursă de curent. Coeficientul de încărcare în acest daz crește cu 20-25%, iar productivitatea este de două ori mai mare în comparație cu încărcarea cu o singură sîrmă-electrod. Pierderile de metal prin stropire scad cu 1,5 ori. Se fac încercări de introducere în baia topită a ultrasunetelor prin intermediul unei sîrme suplimentare (separat de sîrmă-electrod) care este vibrată prin ultrasunete de la un generator de ultrasunete bazat pe principiul magnetostrictiei. Sîrma ce vibrează baia, are diametru de 1,2 mm. Prin acest procedeu, productivitatea crește față de procedeul cu două sîrme-electrod, cu încă 15%, iar calitatea metalului depus, se îmbunătățește, reducindu-se și stropirea metalului.-

### 1.5. Teorii si concluzii contradictorii.

Din materialul documentar studiat, rezultă că în stadiul actual încă multe teorii și diferite concluzii sunt contradictorii sau încă nedefinitivate. Cîteva din ele se amintesc mai jos.

- Cele mai multe contraziceri se referă la comportarea pieselor, la oboseala după încărcarea lor cu un strat, prin proceșul vibroarc /67, 54, 96, 167 și alții/.-

- Păreri contradictorii și în ce privește comportarea pieselor încărcate cu vibroarc cînd piesele lucrează în condițiile sarcinilor importante de soc /86, 167/.-

- În mai multe lucrări, sunt contraziceri în ce privește valoarea inductanței optime a circuitului de sudare, precum și metodologia de calcularea ei /106, 107 și altele/.-

Datele din literatură, despre influența parametrilor regimului procesului asupra vitezei de topire a sîrmei-electrod, sunt contradictorii. În unele lucrări /105, 113/ se precizează că, cu creșterea tensiunii de lucru se mărește viteză de topire a sîrmei-electrod, iar în altele /53/, se stabilește tocmai invers, că viteză de topire se reduce cu creșterea tensiunii.-

În lucrarea /121/ se justifică ipoteza unei dependențe directe între viteză de topire a sîrmei-electrod și puterea medie a arcului ( $I_s \times U_s$ ).

- Teoriile, relațiile, formulele nu sunt încă corelate între ele și întregul material documentar necesită o sistematizare și un limbaj bine definit.-

× × ×

În concluzie se poate afirma, că există contradicții destul de importante.-

În continuarea tezei, autorul a privit critic contradicțiile în principalele probleme, realizînd sistematizarea și în mare corelarea materialului documentar-bibliografic.-

Sistematizarea și corelarea unor concluzii divergente, a permis alcătuirea unei baze teoretice valabile la nivelul cunoștințelor actuale.-

- 34 -

Această parte teoretică, confirmată și de rezultatele experimentale, intră și face parte din conținutul tezei, formind o contribuție la dezvoltarea și respectiv perfecționarea procesului vibroarc.-

## CAP. 2 - NIVELUL ACTUAL AL CUNOSTINȚELEOR TEORETICE DE BAZĂ

### SPECIFICE PROCEDEULUI VIBROARC

#### 2.1. - Prezentarea

Capitolul doi, înfățișează nivelul unor cunoștințe teoretice și experimentale de bază, specifice procedeului vibroarc, sub forma unui material științific sistematizat și corelat de autorul tezei.-

Este rezultanta cercetării unui material documentar voluminos și disparat, depășind în unele cazuri cu mult documentarea bibliografică de referință.-

Aceste studii, combinate cu cercetări proprii au dat un instrument științific-tehnic în a putea avea o linie de urmat în rezolvarea temei din teza de doctorat.-

#### 2.2. - Esența fizică și particularitățile procesului vibroarc.

Esența procesului de încărcare cu vibroarc, constă în aceea, că metalul de bază și al sîrmei-electrod (de adaos) se încălzește pînă la topire prin căldura care se degajă, ca rezultat al descărcărilor ale arcului electric periodice-sistematice, indică arderea cu întreruperi sistematice ale arcului electric. Stratul încărcat se formează în procesul de cristalizare a metalului de bază și de adaos topit.-

Figura 2.1. reprezintă schema de principiu a unei instalații automate de încărcare cu vibroarc, cu curent redresat, din care rezultă esența procedeului.-

In timpul încărcării, sîrma-electrod 4 este adusă înapîră întrerupere din caseta 5, prin ajutorul rolelor 3 printr-un ajutaj vibrator 9. Acesta transmite capătului sîrmei-electrod 10 oscilații cu o amplitudine ce variază conform relației  $\lambda = (0,75 - 1)$  de.

La aceste vibrații, se produce conectarea și întreruperea circuitului electric de lucru, în locul de contact într-o sîrma-electrod 10, cu piesa ce se încarcă. Vibrațiile se realiză

zează printr-un electromagnet 6 (sau pe cale mecanică) și se ține în locație printr-un arc 7 sau prin variația tensiunii la bobină a magnetului vibratorului în limitele ce pot varia în general între 10 - 36 V printr-un transformator.-

Circuitul de sudare se alimentează cu curent de la sursele 1, printr-o rezistență variabilă 12. Lichidul de răcire din rezervor este trimis în zona de încărcare prin ajutorul unei pompe 3 și furtun 2, după aceea în ajutajul vibratorului 9.-

In timpul contactului la scurtcircuit, densitatea curgărilor este foarte mare (pînă la  $400 \text{ A/mm}^2$ ). Drept urmare, metalul la locul de contact se încălzește cînd la temperatura de topire metalului. Mai departe, capătul sîrmei-electrod se desprinde de piesă cu ajutorul vibratorului, lăsînd pe ea partea metalului despătită de sîrmei-electrod. In acest timp, distanța între vîrful sîrmei electrod. In acest timp, distanța între vîrful sîrmei-electrod și piesă ce se încarcă se mărește, arcul electric se stingă și în urmă perioada de mers în gol (vezi fig.1.2), care cuprinde se va vedea, trebuie să poată fi redus la zero.-

Încălzirea și topirea metalului la acest proces, se produce ca urmare a căldurii provenite din scurtcircuit și căldurii degajate de arcul electric. Din bilanțul general al căldurii, circa 10% din căldură se degajă ca urmare a scurtcircuitelor și 90% la descărcarea arcului electric /98/. Prin urmare, influența trivalențială asupra procesului și calitatea încărcării, o exercită arcul electric.-

La parametrii de lucru specifici procedeului vibroarc, se produce transferul metalului de pe sîrma-electrod și piesă sub forma de picături mici. Cu cît tensiunea arcului este mai mare, cu atât este mai intensă trecerea picăturilor de metal pe piesă și cu atât grosimea stratului încărcat este mai mare.-

Procedeul vibroarc este destinat pentru încărcarea unor straturi în general subțiri de la 0,3 - 1,5 mm (putând reața straturi mult mai groase) a unor piese cu diametre mici de 5-10 (se folosește însă și pentru diametre mult mai mari).-

Procedeul are următoarele avantaje: încărcă straturi subțiri cu adăos de prelucrare mecanică foarte mic, adică rezistența piezelor neînsemnată, duritatea mare a suprafețelor sură și ridată.

încărcate, utilajul necesar simplu, productivitate.

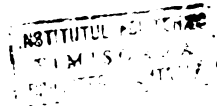
Calculul regimului de încărcare se execută pe de grosimea stratului de încărcare -

Lichidul trimis în zona de încărcare o protejează împotriva oxigenului și azotului din aer și răcește piesa ce se încarcă, ceea ce permite încărcarea pieselor terminate fără ca ele să se oximeze. Un astfel de lichid, este o soluție cu 4-6% sodiu calciu-carbonat.

Lichidul folosit, serveste și pentru deionizarea lor ce se formează în timpul descărcării electrice și arcului. Însă, folosirea lichidului înrăutățește condițiile de rezistență a arcului. Prin vibrarea sîrmci-electrod se reduce influența nefavorabilă a lichidului asupra stabilității precesiunii de ardere a arcului.-

După cum s-a amintit în cap.1, fiecare ciclu de vînturire a sîrmei-electrod, de obicei constă din trei perioade consecutive: scurtcircuit, descărcarea arcului electric și mersul în gol (fig. 1.2). Perioada de scurtcircuit se termină la deschiderea sîrmei-electrod de piesă, ca rezultat intensitatea curentului circuit scade și se naște f.e.m.. de autoinducție, care este de același sens cu tensiunea sursei de curent. Acest lucru crește tensiunea între sîrma-electrod și piesă și crează condiții bune pentru apariția unei scurte descărcări cu o tensiune mult mai mare decât aceea de conectare. Pe parcurs, distanța între electrozi crește, iar intensitatea curentului scade. Apoi, dacă reacția arcului se termină și începe perioada mersului în gol. Înainte de loarea maximă, distanța între electrozi începe să se redată și perioada de mers în gol se termină prin scurtcircuit, după care ciclul se repetă.-

Procesul de încărcare se realizează cu polaritatea inversă: polul pozitiv al sursei de curent continuu (sau reprezentat de leagătura la sîrma-electrod, iar cel negativ la cîști) (fig. 2.1.). În cazul polarității directe, crește mult străpîrarea metalului de la sîrmei-electrod, se înrăutățește pîntrunderea în metalul de la și finețea suprafetei stratului încărcat. La polaritatea inversă sînt condiții favorabile pentru transferarea metalului de la sîrmei-electrod precum și pentru formarea stratului. La aceeași reacție, arcoare sîrma-electrod avansează cu viteză constantă, vîzării că au frecvență --



constantă, ceea ce duce la o frecvență constantă de trageare a căturilor metalului și se îmhnătășesc astfel condițiile de formare a cusăturilor încărcate. Procedeul nu pretinde o prelucrare specială a sîrmei-electrod, asigură o bună aderență între metalul încărcat cu cel de bază și calitatea superioară a metalului încărcat. La o viteză de topire a sîrmei-electrod cu diametru de 2 mm. de 100 m/h, productivitatea procedeului vibroarc este de 2,6 kg/h.

#### 2.2.1. - Rolul vibrației la încărcare automată.

La încărcare normală cu arc electric, dimensiuni mari ale picăturilor de metal și lipsa unor stricte periodicități de formare a lor, fac să fie imposibilă formarea unor straturi subțiri și uniforme de metal încărcat. Cum s-a amintit, la încărcare cu vibroarc sîrma-electrod primește vibrația cu o frecvență și amplitudine constantă.-

Ca rezultat al unor vibrații mari la care este supusă sîrma-electrod, trecerea metalului ce se încarcă pe suprafața piesei, se efectuează sub forma unor picături mici, și astfel straturile încărcate se obțin subțiri și uniforme.-

Prin vibrare se dă posibilitatea realizării unor încărcări de straturi de bună calitate, cu oțeluri carbon și înalt aliante la valori mici ale energiei care se degajă în procesul de ardere a arcului la fiecare ciclu de vibrare și care produce o mică încălzire a piesei. Prin urmare, încărcarea cu vibroarc se caracterizează printr-o adâncime mică de pătrundere, o zonă de influență termică mică și un volum mic al băii demetal topit, în care se produce amestecul între metalul de bază și cel de adiție. Existenta unei frecvențe mari de vibrație, permite variația într-un interval destul de larg, cantitatea de căldură ce se degajă la fiecare ciclu de vibrație, pe calea variațicii puterii arcului și duratei lui de ardere. Prin micșorarea duratei de ardere a arcului (descărcării arcului) brusc se reduce arderea elementelor de alicre a oțelului. Astfel, spre exemplu la încărcare obi-nuită cu un oțel inoxidabil cu titan în mediu de  $\text{CO}_2$ , arderea titanului este circa 60%. La încărcare cu procedeul vibroarc cu același oțel și tot în mediu de  $\text{CO}_2$ , arderea titanului este de numai 30%.-

Că particularitate specifică procesului de ţatul cu vibroarc, este valoarea mai ridicată a intensității de curent și valoarea mai mică a tensiunii arcului în comparație cu procesul de încărcare obișnuit. Accasta, se explică prin acesta, că procesul de încărcare cu vibroarc decurge cu spațiul arcului mult mai mic.

Astfel, după cercetările efectuate de /166/, rezulta următoarele date:

Valori medii ale intensității curentului și tensiunii în cadrul încărcării obișnuite și cu vibroarc.

Sîrma-electrod	Valorile parametrilor încărcării cu vibroarc		Valorile parametrilor încărcării cu metodă obișnuită	
	I <sub>s</sub> în A	U <sub>s</sub> în V	I <sub>s</sub> în A	U <sub>s</sub> în V
1H18N9T	135	16,0	130	16,5
H23N18	150	15,5	130	16,5
2H18 N 9	170	15,0	150	16,0
45	185	14,5	170	16,5
70	200	13,5	180	14,5

Experiențele de încărcare s-au executat în ambele cazuri în mediul de protecție CO<sub>2</sub> cu d<sub>e</sub> = 2 mm; U<sub>0</sub> = 21 V; v<sub>e</sub> = 17,9 m/s (64,4 m/h), frecvența f = 47 Hz; piesa avea v<sub>p</sub> = 0,50 m/min, având longitudinal s = 3 mm/rot. valorile I<sub>s</sub> și U<sub>s</sub> sunt valori medii.-

2.3. Studiul asupra topirii sîrmei-electrod și autoreglării arcului la sudare cu scurtcircuitările sistematice ale sistemului arcului (vibroarc)

Decurgerea procesului de topire a sîrmei-electrod lejer și de autoreglarea arcului nu este tratată în literatura de specialitate, ele reprezentă însă o deosebită importanță. De aceea, mai jos, se face un studiu ce contribuie la rezolvarea acestei probleme.-

O condiție necesară pentru stabilitatea sistemului de autoreglare, cînd lipsesc perturbările, este egalitatea între viteza de avans a sîrmei-electrod (v<sub>e</sub>) și viteza de topire (v<sub>t</sub>) adică:

$$v_e = v_t$$

După cum rezultă din fig. 2.2, în decursul proces de sudare, intensitatea de curent și deci legat de ace viteza de topire a sîrmei-electrod se schimbă continuu și numai la sfîrșitul fiecărui ciclu capătă o anume valoare ( $I_{min}$ ).

Pornim de la faptul, că practic, variația vitezei de topire urmează fără inertie variația intensității curentului /41,92/. În figura 2.3. este o reprezentare grafică a dependenței vitezei de topire a sîrmei-electrod ( $v_t$ ) și a intensității de curent funcție de timp.-

Din acest grafic rezulta, că valoarea stabilizată a curentului nu asigură viteza de topire a sîrmei-electrod cînd aceasta este egală cu viteza de avans a ei. Sursa de curent folosită avea caracteristica externă rigidă, diametrul sîrmei-electrod 2 mm, iar tensiunea arcului 20 V. Valoarea curentului stabilizat este de circa 60 A, iar viteza de topire corespunzătoare este de 0,45 m/min. la o viteză de avans a sîrmei-electrod de 1,7 m/min. Deci, viteza de avans a capătului sîrmei-electrod (cînd piesă) rezultă că este  $v_r = v_s - v_t = 1,7 - 0,45 = 1,25$  m/min. Îndreptate spre micșorarea spațiului arcului ceea ce duce la scurtcircuitarea spațiului arcului, deci la o funcționare anomală.-

La scurtcircuitare se produce acumularea energiei în inductanță circuitului de sudare. Curentul crește și la un moment dat se produce ruperea punții metalice și arcul se excitează din nou. După aceea, începe micșorarea curentului pînă la valoarea stabilizată. Din momentul ruperii punții, se produce schimbarea continuă a spațiului arcului. Pînă la punctul A (fig.2.3) lungimea spațiului arcului crește, întrucît  $v_t > v_e$ . În punctul A avem  $v_t = v_e$ , după punctul A lungimea spațiului arcului scade, întrucît  $v_t < v_e$ .-

Valoarea de vîrf a curentului, în momentul scurtcircuitului depășește valoarea stabilizată de 3-5 ori. În mod corespunzător valoarea la început avitezii de topire depășește viteza de avans a sîrmei-electrod de 5-6 ori /41/-

Viteza de topire a sîrmei-electrod poate fi exprimată prin relația:

$$v_t = v_{ts} - (v_{tmax} - v_{ts}) \cdot e^{-\frac{t}{T}} \quad (2.1)$$

unde:  $v_{ts}$  - valoarea stabilizată a vitezei de topire;

$v_t \text{ max}$  - viteza maximă de topire;  $T$  - constantă de timp a circuitei lui de sudare.-

Dacă admitem că variațiile curentului se produc identice în fiecare ciclu, atunci în limitele fiecărui ciclu viteza medie de topire este egală cu viteza de avans a sîrmei-electrod. Această condiție poate fi exprimată după cum urmează:

$$\frac{\int_{t_k}^{t_c} v_t(t) dt}{t_c} = v_e \quad (2.2)$$

In lucrarea /199/ se constată, că la sudarea cu scurtcircuitări periodice ale spațiului arcului, constanta de timp a circuitului de sudare  $T$  și inductanta  $L$  au mare influență asupra stabilității procesului și asupra stropirii metalului.-

Cu creșterea constantei de timp, viteza medie de topire a sîrmei-electrod pe timpul arderii arcului crește, dar în același timp crește durata scurtcircuitului, adică intervalul de timp, în care nu se produce topirea sîrmei-electrod.-

Viteza medie de topire pe durata întregului ciclu rămâne neschimbată.

Este stabilit /199/, că energia acumulată în inductanță pe timpul scurtcircuitului, este suficientă pentru topirea întregă a sîrmei-electrod în perioada variației curentului, dela valoarea sa maximă pînă la valoarea stabilizată.-

Pentru două valori ale inductantei circuitului de sudare  $L_1 = 0,15 \times 10^{-3} \text{H}$  și  $L_2 = 0,55 \times 10^{-3} \text{H}$  se obțin următoarele cantități acumulate de energie (în inductanță pe timpul scurtcircuitului) și apoi cedate:  $W_1 = 13,4 \text{ W.s}$  și  $W_2 = 13,5 \text{ W.s}$

Pe timpul cedării energiei de către inductanță, cantitatea totală de energie ce se eliberează în spațiul arcului, este corespunzător 29,4 și 58,4 W.s. Se constată deci, că energia cimpului magnetic pentru valorile arătate ale inductantei formează 46 și 32% din totalul energiei. În baza datelor prezentate, se poate trage concluzia că energia acumulată în inductanță, formează o parte importantă a energiei, ce se eliberează în spațiul arcului în perioada scăderii curentului, și în mod sensibil influențează asupra vitezei de topire a sîrmei-electrod. Se subliniază

că la valori mici ale inductantei, influența ei asupra vitezei medii de topire a sîrmei-electrod pe timpul cedării energiei se simte mai puternic.-

După unele aprecieri /41/, pentru topirea sîrmei-electrod se consumă circa 40% din energia ce se dezvoltă în spațiul arcului. În aceste condiții se obțin vitezele medii de topire ale sîrmei-electrod pe durata descărcării inductantei (corespunzător celor două inductante  $L_1$  și  $L_2$ ):

$$v_{t_1} = 3,0 \text{ m/min și } v_{t_2} = 2,25 \text{ m/min.}$$

Cresterea inductantei, în general, reduce valoarea de vîrf a curentului și încetină eliberarea energiei, prin ceea ce previne apariția vîrfurilor mari ale curentului.-

In cazul sudării cu electrod fuzibil, cazul nostru, și dacă se neglijeză oscilațiile băii de sudare putem scrie:

$$\frac{d l}{dt} = v_t - v_e \quad (2.3)$$

unde  $l$  - lungimea spațiului arcului.

Din relațiile (2.1) și 2.3) prin înlocuiri și ... înlocuind obținem:

$$l = (v_{ts} - v_s) t - T(v_{t \max} - v_{ts}) e^{-\frac{t}{T}} + C$$

Constanta de integrare  $C$  se determină din condițiile inițiale: la  $t = 0$ ;  $l = 0$ .

In final obținem:

$$l = T(v_{t \max} - v_{ts}) (1 - e^{-\frac{t}{T}}) - t(v_e - v_{ts}) \quad (2.4)$$

cînd  $\frac{dl}{dt} = 0$ , avem  $v_t = v_s$ , iar lungimea spațiului arcului are valoarea maximă și se determină prin:

$$t = T \cdot l_n \frac{v_{t \max} - v_{ts}}{v_e - v_{ts}}$$

Din relația (2.4) se poate determina timpul de ardere a arcului  $t_a$ . La  $t = t_a$  și  $l = 0$  și ținînd cont de faptul că  $t_a$  este mai mare decît  $T$  (stabilit pe cale experimentală), în final avem:

$$t_a = T \cdot \frac{v_{t \max} - v_{ts}}{v_e - v_{ts}} \quad (2.5)$$

Din această relație rezultă că, cu creșterea lui  $T$

timpul de ardere al arcului crește. În cazul cînd  $v_e = v_{sc}$ , se obține un proces fără scurtcircuitările spațiului arcului, deci ceea ce este caracteristic pentru sudare cu arc lung.-

Procesul de sudare cu arc scurt cu scurtcircuitele sistematice ale spațiului arcului, poate fi considerat ca o acțiune periodică a perturbărilor în lungimea arcului.-

#### 2.4. Caracteristicile de topire ale sîrmei-electrod la încărcare (sudare) cu vibroarc.

Caracterul de topire al sîrmei-electrod și transferul metalului pe piesă, are influență determinată asupra: compoziției și chimice și a proprietăților metalului încărcat, formării cusăturii, apariției defectelor în metalul încărcat etc.

Se știe, că la sudare fără scurtcircuitările spațiului arcului, cum este cazul sudării sub strat de flux sau în  $\text{CO}_2$ , viteza de topire a sîrmei-electrod scade cu micșorarea curgenții de sudare și cu creșterea diametrului sîrmei-electrod și a tensiunii arcului.-

In cazul sudării (încărcării) cu vibroarc, adic. cu scurtcircuitările sistematice ale spațiului arcului (oscilogramă conform fig. 2.1), din literatura de specialitate apărută pînă în această dată, rezultă că încă nu există o concepție științifică unică, privitor la influența parametrilor regimului de lucru, în procesul de sudare (încărcare), asupra vitezei de topire a sîrmei-electrod.-

Astfel, spre exemplu, lucrările /55, 138/ arată că viteza de topire a sîrmei-electrod crește cu creșterea tensiunii circuitului în lucrarea /53/ se arată că această viteză scade cu creșterea tensiunii arcului.-

Luînd în considerare faptul, că schimbarea tensiunii mediei (de lucru) la încărcare cu vibroarc se produce în principiu în contul schimbării duratei relative a descărcărilor arcului, într-o lungime medie aproximativ constantă a spațiului arcului, în lucrarea /121/ se argumentează ipoteza unei dependențe directe vitezei de topire a sîrmei-electrod, funcție de puterea medie arcului ( $P_a = U_s \cdot I_s$ ).-

Topirea sîrmei-electrod, practic se produce numai în perioada de ardere a arcului, iar viteza de topire a sîrmei-electrod la un moment dat (instantaneu) este proporțională cu curentul ce trece prin arc. Viteza medie de topire însă, pe un ciclu, este proporțională cu valoarea medie a curentului și în afară de aceasta, cu timpul de ardere relativă a arcului  $\frac{t_a}{t_c}$  și ca urmare cu tensiunea medie  $U_s$ .-

De aceea se poate considera, că viteza medie de topire a sîrmei-electrod, păstrînd condiții identice de încărcare, este proporțională cu produsul între tensiunea medie și intensitatea medie a curentului, care la  $U_a = \text{const. admisă dinainte, reprezentă puterea medie a arcului.}$  -

Viteza medie de topire a sîrmei-electrod determină variațiile spațiului mediu al arcului. Dacă viteza de topire este mai mare decît viteza de avans a sîrmei-electrod, atunci spațiul arcului se lungeste și invers. -

Astfel, între mărimele de bază ce caracterizează procesul de încărcare prin vibroarc (valorile medii ale tensiunii, intensității curentului, puterii, vitezei de topire, lungimii spațiului arcului și raportul între timpii de ardere a arcului și de scurtcircuit), există o anumită corelație. Schimbarea uneia din ele duce la schimbarea celorlalte /121/. -

Pentru obținerea unei încărcări de calitate este necesar ca procesul să fie staționar, adică aceste mărimi în procesul de încărcare să rămână neschimbate. Dacă regimul de încărcare este stabil, atunci dereglațările întimplătoare ale regimului normal de încărcare suficient de rapid se regleză în procesul de autoreglare. -

Pentru verificarea ipotezei emisă asupra dependenței directe a vitezei de topire a sîrmei-electrod funcție de puterea medie, și pentru obținerea dependenței cantitative între puterea arcului și parametrii regimului procesului vibroarc, au fost executate cercetări încercând epruvele cu diametre de 40-50 mm. cu sîrme de diferite calități. Sursa de curent fiind un redresor, cu caracteristică externă lin coboritoare (intinsă). Diametrul sîrmei-electrod se schimbă în limitele  $d_e = 0,12 - 0,25$  cm, viteza de avans a sîrmei-electrod  $v_e = 1,5 - 9,0$  cm/s, lungimea capătului liber  $l = 1,0 - 2,0$  cm, frecvența de vibrare a capătului sîrmei-electrod  $f = 20 - 100$  Hz, amplitudinea vibrației  $\lambda = 0,1 - 0,3$  cm.

tensiunea de mers în gol  $U_0 = 17,5 - 27,5$  V, rezistența echivalentă a circuitului de lucru și a sursei de alimentare cu curent  $R_c = 0,025 - 0,060$  ohmi, inductanța circuitului  $L = 0,15 - 0,55$  mH.

Incărcarea s-a executat cu polaritatea inversă și directă. Mediul protector folosit a fost apă și  $\text{CO}_2$ . Puterea medie de lucru se determină cu relația  $P = U_s \cdot I_s$ . ( $U_s$  și  $I_s$  sunt tensiunea și respectiv intensitatea de curent medie la încărcare - de lucru).-

Prelucrarea datelor experimentale a permis să se stabilească o formulă pentru determinarea puterii medii a arcului, la încărcare cu polaritate inversă:

$$P = 1000 k_A k_r U_0^{3/4} d_e^{5/3} (k_v + k_c \cdot v_e) \quad (2.6)$$

în care  $k_A$  și  $k_v$  - coeficienți experimentali prin care se ține cont de amplitudinea, lungimea liberă și frecvența vibrației capătului sârmei - electrod;

$k_r$  - coeficientul, prin care se ține cont de influența rezistenței circuitului de sudare;

$k_c$  - coeficientul, ce ține cont de compozitia chimică a sârmei - electrod și de proprietățile ei termice.

Coefficienții  $k_A$ ,  $k_v$  și  $k_r$  se determină cu ajutorul unor formule empirice /105/.

$$\left. \begin{array}{l} k_A = 0,90 + 0,5 \cdot \lambda \\ k_r = 1,20 - 3,55 \cdot R_e \\ k_v = \sqrt{(1,25 - 0,5 \cdot 1) (1,25 - 0,005 \cdot f)} \end{array} \right\} \quad (2.7)$$

Valoarea coeficientului  $k_c$  poate fi luată egală cu 1,45 pentru sârmă-electrod din oțel St 85 oțel echivalent cu Arc 7, și egal cu 1,1 în cazul oțelului H 20 N 10 G 6.-

Cercetările speciale /105,121/ au arătat, că în toate cazurile cercetate încărcarea cu polaritatea inversă satisfac relația  $I_s \cdot U_a \cdot t_a / t_c = N U_0^{3/4}$  unde  $N = 1000 k_A k_r d_e (k_v + k_c v_e)$  este o constantă în condițiile de lucru date. Creșterea lui  $R_e$  duce la o importantă scădere a duratei relative de ardere a arcului  $\frac{t_a}{t_c}$  și la o reducere a puterii.-

Cu creșterea diametrului sîrmei-electrod, cantitatea de metal topit al acestuia în unitatea de timp, creste la un  
moment scăzut durata relativă a descărcării la arcului electric.  
Tocmai de aceea, diametrul sîrmei-electrod în formula (2.6) este cu un exponent al puterii de numai 5/3.-

Analiza cantitativă a influenței diferenților parametrii de lucru, luati separat, asupra mărimiilor puterii arată că folosirea formulei (2.6), în cele mai multe cazuri, poate fi simplificată (în practică), atribuind valori constante coeficienților  $k_A$  și  $k_V$ . Amplitudinea vibrațiilor capătului sîrmei-electrod, de obicei se află în limitele de 0,15 - 0,25 cm, iar capătul liber al sîrmei-electrod este în limitele de 0,8 - 1,5 cm, iar frecvența vibrației este de obicei 47-100 per/s. În aceste condiții se poate adapta  $k_A = 1,0$ , iar  $k_V = 0,7$  pentru frecvența de 100 per/s. și 0,77 la frecvența de 47 per/s.

Rezultatele cercetărilor au arătat o bună corespondență a rezultatelor obținute prin calcul cu cele experimentale, ceea ce confirmă o bună alegere a formulelor empirice și a coeficienților folosiți.-

Eroarea sumară nu depășește valori mai mari de  $\pm 5\%$ , deci normal acceptabilă.-

In cazul polarității directe, stabilirea formulei generale de calcul a puterii arcului, este mai dificilă din cauza schimbării coeficienților ei concomitent cu schimbarea diametru-lui sîrmei-electrod. Necesitatea alegerii, în cazul polarității directe, a unor relații deosebite pentru fiecare diametru a sîrmei-electrod este notată și în lucrarea /31/-

Figura 2.4 reprezintă funcția  $P = f(v_e)$  în baza calculului, precum și puncte determinate experimental ale puterii arcului la încărcarea cu vibroarc cu polaritate inversă, ventru sîrmei-electrod din oțel 85 în jet de lichid. Diametrele sîrmei-electrod: 1 - 0,25; 2 - 0,20; 3 - 0,15; 4 - 0,12 cm;  $U_0 = 25,25$  V.

Figura 2.5, reprezintă dependența puterii medii a arcului în funcție de viteza sîrmei-electrod  $P = f(v_e)$  la încărcare cu vibroarc cu polaritate directă. Sîrme-electrod din oțel 35, în-

cărcarea se face în jet lichid:  $l_1 = 1,5 \text{ cm}$ ;  $f = 70 \text{ Hz}$ ;  
 $\lambda = 0,20 \text{ cm}$ ;  $d_e = 0,20 \text{ cm}$ ;  $U_o = 23,75 \text{ V}$ ;  $2 - d_e = 0,15 \text{ cm}$ ;  $U_o = 23,75 \text{ V}$ ;  
 $3 - d_e = 1,15 \text{ cm}$ ;  $U_o = 15,25 \text{ V}$ ;  $4 - d_e = 0,15 \text{ cm}$ ;  $U_o = 23,75 \text{ V}$ .

După cum se observă și în acest caz, dependența este liniară (ca și la polaritate inversă). Deci, conform /70/ este necesar să se alcătuiască relații pentru fiecare diametru al sîrmei electrod.

Experiența a demonstrat /105/, că influența inductanței circuitului asupra puterii medii a arcului în condițiile cercetate este minimală. Tot astfel, puțin influențează compoziția mediului de protecție în care arde arcul, cu toate că a fost observat că la un consum mai mare de lichid (mai mult de 2 l/min) puterea arcului crește.-

Anterior s-a arătat, că viteza de avans a sîrmei-electrod, în cazul decurgerii stabile a procesului de sudare, este egală cu viteza medie de topire a ei. Dependența directă stabilită a vitezei de topire funcție de puterea arcului, permite să se tragă concluzia, că  $v_e$  se mărește atât la creșterea intensității curentului de lucru  $I_s$  cît și a tensiunii de lucru  $U_s$ .

Dependența cantitativă între  $v_e$ ,  $I_s$  și  $U_s$  se determină dacă relația (2,6), se rezolvă în raport cu  $v_e$  împreună cu relația  $P = I_s \cdot U_s$  și din ecuația caracteristicii externe a sursei de curent

$$U_o = U_s + I_s R_e \quad (2.8)$$

Rezolvînd aceste relații se obține:

$$v_e = \frac{U_s I_s}{1000 k_A k_r k_c (U_s + I_s R_e)^{3/4} d_e^{5/3}} - \frac{k_v}{k_c} \quad (2.9)$$

Dependența coeficientului de topire  $\alpha_t$  funcție de  $d_e$ ,  $I_s$  și  $U_s$  se poate determina în baza formulei cunoscute /105/

$$\alpha_t = \frac{900 \cdot d_e^2 \cdot v_e \cdot g}{I_s} \quad (2.10)$$

înlocuind valoarea lui  $v_e$  din relația (2.9) obținem:

$$\alpha_t = \frac{900 \pi \cdot d_e^2 \cdot g}{k_c} \left[ \frac{U_s}{1000 k_A k_r (U_s + I_s R_e)^{3/4} d_e^{5/3}} - \frac{k_v}{I_s} \right] \quad (2.11)$$

unde  $g$  = densitatea metalului sîrmei-electrod în  $\text{g/cm}^3$ .

Fig. 2.5, reprezintă curbele de dependență a vitezei de topire (a) și a coeficientului de topire (b) a sîrmei-electrod în funcție de intensitatea de curent de lucru (la  $U_s = \text{const.}$ ) și în funcție de tensiunea de lucru (la  $I_s = \text{const.}$ ). Sîrma-electrod, oțel 85, (echivalent Arc 7) încărcare cu vibroarc cu polaritate inversă:  $d_e = 0,2 \text{ cm}$ ;  $l = 1,0 \text{ cm}$ ;  $f = 50 \text{ Hz}$ ;  $\lambda = 0,2 \text{ cm}$ ;  $R_e = 0,03 \text{ ohmi}.$  -

Fără a mai intra în calcule de detaliu, putem folosi rezultatele cercetărilor făcute de /121/ și de autorul tezei /44/ unde se precizează, că stabilitatea procesului de sudare cu vibroarc se asigură numai cînd punctele de funcționare (a sistemului) cad pe ramura urcătoare a curbei de dependență a puterii sursei de curent, funcție de circuitul de sudare ( vezi fig.2.8).-

Relația (2.11), poate servi la determinarea dependenței lui  $\alpha_t$  în funcție de  $U_o$ ,  $r_e$  sau în funcție de unul din parametrii inițiali sau de pornire și regimului de încărcare cum sunt:  $d_e$ ,  $v_e$ ,  $l$ ,  $\lambda$ ,  $f$ .

Figura 2.7, reprezintă valorile experimentale ale lui  $\alpha_t$  și grafice construite în baza calculelor cu relația (2.11) transformată corespunzător, adică înlocuind valorile lui  $I_s$  și  $U_s$  prin ajutorul relațiilor  $P = I_s U_s$  și (2.8). Graficul reprezintă curba  $\alpha_t = f(v_e)$  pentru încărcarea cu vibroarc cu sîrma-electrod din oțel 85 și respectiv din oțel H 20 N 10 G6. La experimentări și în calcule, sunt folosite următoarele date:  $d_e = 0,20 \text{ cm}$ ;  $R_e = 0,03 \text{ ohmi}$ ;  $U_o = 22,75 \text{ V}$ ;  $\lambda = 0,20 \text{ cm}$ ;  $l = 1 \text{ cm}$ . Punctele obținute pe cele experimentale coincid suficient de bine cu cele de pe curbele determinate prin calcul. Curbele (a) sunt în cazul încărcării cu polaritate inversă și curbele din (b) cu polaritate directă: 1 - sîrma-electrod din oțel H 20 N 10 G 6 și 2 - cu sîrma-electrod din oțel 85. Aceste rezultate se vor folosi în cercetările referitoare la determinarea vitezei maxime a sîrmei-electrod funcție de inductanță.-

Condițiile în care s-au executat experiențele, sunt identice la încărcarea cu polaritate inversă ca și la cea directă, afară de lungimea capătului liber care era de 1,5 cm. în cazul polarității directe.-

In concluzie se poate spune:

- La încărcarea cu vibroarc în jet de lichid, viteza de topire a sîrmei-electrod, în gama curentilor ce asigură o formare de bună calitate a cusăturilor încărcate, depinde direct proporțional de puterea ce se produce în arc.-

Concluzia este valabilă și pentru cazul sîrmei-electrod din oțel cu Cr, Ni și Mn cînd mediul de sudare este  $\text{CO}_2 / 10\%$ . Rezultă evident, că coeficientul de topire al sîrmei-electrod în acest caz este sensibil mai mare, în raport cu cel cînd sîrma-electrod este din oțel carbon. În ambele cazuri  $\alpha_t$  este mai mare la polaritatea directă decît la cea inversă.-

- Datele calculate cu formulele stabilite empiric, coincid suficient de bine cu cele experimentale.-

- Pentru încărcarea cu procedeul vibroarc, este caracteristic creșterea coeficientului de topire a sîrmei-electrod cu creșterea intensității de curent și a tensiunii de lucru, afrecvenței de vibrare a sîrmei-electrod, a diametrului și a lungimii capătului liber a sîrmei-electrod, precum și cu scăderea amplitudinii de vibrare.-

- Caracteristicile de topire ale sîrmei-electrod și formulele stabilite au o deosebită importanță la alegerea parametrilor regimului de încărcare cu vibroarc, precum și la cercetarea autoreglării procesului și a stabilității regimului de lucru.-

In lucrarea /79/ se stabilește (ca și de alți autori) că în perioada de scurtcircuit sîrma-electrod se topește numai datorită căldurii Joule-Lenz, cu o viteză ce poate fi calculată ( $v_{ek}$ ).-

Intr-un regim stabilit (fixat) de încărcare, cu scurtcircuitările sistematice ale spațiului arcului, există o valoare medie integrală a vitezei de topire pe un ciclu ( $v_{mek}$ ) și această valoare poate fi calculată. Dar aplicarea practică a acestor relații, prezintă greutăți din lipsa valorilor pentru diferenți coeficienți folosiți, iar acolo unde ele există sunt cu totul orientative cum ar fi în lucrarea /31/. De aceea, nu vom reproduce decît rezultatele unor calcule și cercetări experimentale din acest studiu /79/.-

Relațiile stabilite pentru viteză de topire precum și altele exprimate corect și cu suficientă precizie legătura reciprocă

că între parametrii inițiali (predeterminați), și cei de lucru ai procesului de sudare vibroarc, ceea ce se confirmă prin comparația datelor experimentale cu cele stabilite prin calcul, din relațiile teoretice și prezentate în tabela 2.1.-

TABELA 2.1.

d <sub>e</sub> diametrul sîrmei-e- lectrod mm.	l mm.	I <sub>s</sub> A	U <sub>a</sub> V	v <sub>t</sub> cm/s.	
				Calculată	după datele/156/
0,8	12,7	100	18,0	8,32	8,48
1,2	12,7	120	18,5	3,70	4,24
1,6	12,7	185	19,0	3,15	3,39

Rezultă existența unei relații de dependență neliniară între viteza de topire ( $v_t$ ) a sîrmei-electrod, atât cu intensitatea curentului de sudare (de lucru) și tensiunea arcului, cît și cu puterea, ce consumă sursa de alimentare cu curent a arcului, pentru topirea sîrmei-electrod.-

Este cunoscut ca o influență importantă asupra transformatorului metalului de pe sîrma-electrod pe piesă, în cadrul procedeului cu scurtcircuitările sistematice ale spațiului arcului, o au proprietățile dinamice ale sursei de alimentare cu curent.-

In consecință pentru fiecare procedeu de sudură și dimensiunile sîrmei-electrod, se pot stabili proprietățile dinamice ale sursei de alimentare cu curent cele mai corespunzătoare. La îndeplinirea acestor condiții se obține stropirea minimă a metalului topit și formarea cea mai bună a cusăturii.-

Din acest studiu /79/, autorul tezei trage concluzia, că la sudarea (încărcarea) cu procedeul vibroarc, unde fenomenele decurg conform oscilogramei din fig. 2.1., topirea sîrmei-electrod se produce fără trecerea metalului în intervalele de timp cînd arde arcul, aceastătrecere a metalului se produce în timpul perioadelor de scurtcircuit, cînd sîrma-electrod practic nu se topesc.-

Conform unor studii prezentate de Prof. I.Ia.Rabinovici

/141/, rezultă că procesul de formare a picăturii la capătul sîrmei-electrod, poate provoca o oarecare lungire a spațiului arcului, însă acest fenomen numai foarte puțin reduce viteza de avans rezultată a sîrmei-electrod, care în cazul nostru totdeauna este mai mare decît viteza de lungire a spațiului arcului. Schimbarea regimului de încărcare, are caracter tranzitoriu ciclic ce se repetă.-

Deoarece nu există o dependență directă între viteza de topire a sîrmei-electrod și viteza de lungire a spațiului-arcului în cazul procedeului vibroarc, fenomenul de autoreglare sub forma lui pură nu există.-

Totuși, dacă se analizează un ciclu al procesului de topire și de trecere a metalului în ansamblu, se poate aplica noțiunea de autoreglare integrală, la care viteza medie de topire și de trecere a metalului în cazul unui proces staționar ce se repetă (cu regularitate) este egală cu viteza de avans a sîrmei-electrod.-

Prin cele de mai sus se stabilește un principiu fundamental pe care se bazează construcția capetelor automate moderne de încărcare cu vibroarc ce realizează  $v_e = v_t$  (viteza de avans a sîrmei-electrod egală cu viteza de topire a ei).-

#### 2.5. Arderea elementelor componente din metalul de bază și a celui de adaos la încărcarea cu vibroarc.

După cum rezultă din unele lucrări /44,19/ la încărcarea cu procedeul vibroarc pînă la circa 50% din carbon și mangan arde în timpul procesului de încărcare. Prea puține studii și cercetări au apărut în această problemă. Este o temă deschisă.

O lucrare ce rezolvă această problemă, în mare măsură, a apărut în 1965 /17/, care va servi pentru a putea trage unele concluzii în ce privește arderea unor elemente componente ale oțelului la încărcare cu vibroarc.-

Diferite metode de prevenire contra arderii compusilor metalului de adaos, se bazează fie pe limitarea accesului oxigenului în zona spațiului arcului și deci reducerea corespunzătoare a oxidării compusilor oțelului, fie pe limitarea intensității de ardere a lor prin conducerea procesului prin întreruperea in-

termittență a arealului.-

De altfel, cel de-al doilea procedeul nu este mai puțin efectiv decât primul, ceea ce se poate vedea din tabela ce urmează /17, 100, 19/ (tabela 2.2).

# Efficacitatea ferestrejării contra aerierii compusilor simnei-electrod

TABELA 2.2.

Obiectul cercetării	C			In			Componente în %		
	C <sub>1</sub>	C <sub>2</sub>	C <sub>3</sub>	In <sub>1</sub>	In <sub>2</sub>	In <sub>3</sub>	Ca <sub>1</sub>	Ca <sub>2</sub>	Ca <sub>3</sub>
Sfera - electrod	0,2	0,33	0,25	-	-	-	-	-	-
Incarcare cu probă deschisă înainte de ardere	0,08	0,21	0,023	-	-	-	-	-	-
Sfera - electrod	0,72	1,6	0,31	-	2,73	-	9,2	5,4	0,24
Incarcare sub flux ArI = 30°	0,42	1,46	0,25	-	2,65	-	9,22	4,7	0,32
Incarcare sub flux ArI = 20°	0,37	0,94	0,65	-	2,44	-	8,6	4,7	0,30
Incarcare sub flux ArI = 22°	0,33	2,35	0,52	-	1,26	-	6,65	3,9	0,28
Incarcare sub flux ArI = 10°	0,25	0,44	0,34	-	2,18	-	7,16	4,2	0,25
Sferă - electrod	0,70	1,5	0,32	-	2,95	-	10,6	5,4	0,49
Incarcare în mediul de argon tehnic	0,56	1,41	0,31	-	2,91	-	10,3	5,3	0,49
Incarcare cu CO <sub>2</sub>	0,20	0,96	0,23	-	2,76	-	17,0	10,2	0,20
Sferă - electrod	0,57	0,37	-	-	-	-	-	-	-
Incarcare cu CO <sub>2</sub> în atmosferă	0,25	0,25	-	-	-	-	-	-	-
Argon - electrod	0,13	0,35	-	-	-	-	-	-	-
Incarcare cu CO <sub>2</sub> în atmosferă	0,57	0,10	-	-	-	-	-	-	-
Argon - CO <sub>2</sub>	0,59	0,6	0,75	-	-	-	-	-	-
Argon - CO <sub>2</sub> + argon	0,52	0,75	0,75	-	-	-	-	-	-

Autorii lucrării /17/ au efectuat o serie de cercetări experimentale pentru a scoate în evidență cauzele arderii elementelor componente ale otelului, în cazul încărcării cu procedeul vibroarc și determinarea posibilităților în perspectiva de îmbunătățire calitativă a trecerii metalului.-

Rezultatele cele mai caracteristice ale experimentărilor efectuate, sunt prezentate în tabela 2.3(ce urmărează).

Epruvetele aveau diametrul 25 mm, iar sursa de curent un redresor cu o bobină de inductanță. Încărcarea se făcea în jet de lichid la distanță de 10 mm. de sîrmei-electrod. Capătul liber al sîrmei-electrod 8-10 mm.-

Analizînd datele din tabela 2.3 rezultă că eficacitatea protejării contra arderii compușilor otelului în principal depinde de  $t_1$  și  $t_2$ . Această concluzie însă, în contrazicere cu o serie de alte lucrări care susțin, că la încărcarea cu vibroarc și jet de lichid acesta protejează metalul încărcat de aerul înconjurator.-

De exemplu, încărcarea nr.4 s-a executat fără lichid de lucru, iar compoziția încărcării nu a suferit pierderi mari. Acest fapt contrazice părerii că jetul de lichid parțial închide zona arcului, influențează asupra compoziției gazului în arc, precum și caracterul acțiunii reciproce în sistemul metal-gaz. Încărcarea nr.8 s-a executat fără vibrarea sîrmei-electrod, iar arderea compușilor sîrmei-electrod în comparație cu o încărcare analoagă nr.7 executată cu vibrarea sîrmei-electrod, nu s-a schimbat. Astfel, se poate considera că îmbunătățirea caracterului de trecere a metalului și îmbunătățirea stabilității de ardere a arcului prin vibrarea sîrmei-electrod nu poate forma cauza principală de protejare a metalului de adaos față de oxigenul din aer.-

Considerentele de mai sus, precum și altele, expuse în lucrarea/17/ se cer să fie confirmate. Problema ar putea să formeze un studiu separat.-

Ceea ce trebuie de subliniat, că fiind foarte important, este că autorii demonstrează experimental, că toate rezultatele obținute pentru procedeul vibroarc în întregime este valabil și în cazul încărcării în mediu de  $\text{CO}_2$  și în mediul de argon tehnic,

Eficacitatem protejárii contra andenii compulsionem summi-electrost.

TABELL 2.3

atunci cînd aceste procese au loc la încărcare cu vibroarc.-

In concluzie, se stabilește că arderea carbonului la încărcare cu vibroarc, în principal depinde de durata relativă de ardere a arcului. Cu cît perioada de ardere a arcului este mai mare, cu atât sunt mai mari pierderile carbonului în timpul trecerii metalului prin spațiul arcului.-

Arderea manganului și a siliciului la încărcare cu vibroarc în principal depinde de durata totală între timpii perioadei de ardere a arcului și a celei de mers în gol (frecvența impulsurilor). La creșterea acestui timp arderea compușilor crește.

Pentru mărirea trecerii compușilor sîrmei-electrod în stratul depus la încărcare cu vibroarc, se recomandă să fie reduse perioada de ardere a arcului și a mersului în gol (să fie mărită frecvența impulsurilor).-

## 2.6. Distribuirea temperaturii pe piese încărcate cu procedeul vibroarc.

Încărcarea cu procedeul vibroarc, se deosebește față de celelalte procedee de încărcare cu arc electric, prin acțiuni termice mai mici ale arcului asupra metalului și prin viteze mari de răcire. Aceste deosebiri contribuie la formarea unei zone de influență termică mai mică, desigur cu modificări structurale specifice.-

La încărcarea prin procedeul vibroarc a piesei, aceasta este supusa încălzirii locale intermitente, printr-o sursă concentrată de căldură, care se mișcă pe suprafața ei. Concomitent, suprafața piesei se răcește printr-un jet de lichid de lucru. Combinarea regimurilor de încălzire și răcire condiționează cinetica cîmpului termic și prin urmare și astfel de fenomene ca modificările structurale și de volum în materialul piesei, deformările elastice și plastice și, în fine creșterea tensiunilor interne și formarea fisurilor.-

Experiența arată, că prin modificarea parametrilor regimului de încărcare și mai ales a locului de aducere precum și a consumului lichidului de răcire, se poate obține la încărcare cu vibroarc ca stratul încărocat să aibă durități diferite cu numărul

de fisuri admisibile sau nu.-

Pentru ca, prin ajutorul calculului să se poată evalua influența parametrilor de bază a regimului de încărcare asupra proceselor termice în piesă, este necesar, în primul rînd, să existe o apreciere cantitativă asupră caracteristicilor termice a surselor de căldură, folosite la încărcare cu vibroarc.-

Literatura de specialitate nu dispune de astfel de date, sau acolo unde ele există sunt cu totul limitate.-

Astfel, valorile randamentului efectiv de încălzire a metalului cu arcul electric pentru cazul încărcării cu vibroarc, sunt obținute pe căi indirecte și sunt aproximative. În afară de aceasta, creșterea numai a valorii lui  $\eta_{in}$  fără a cunoaște și intensitatea răciri nu este suficientă /76/. Pentru calculele approximative pot fi luate valorile  $\eta_{in} = 0,45 - 0,6 /100/-$

In lucrarea /2/ sunt arătate rezultatele cercetărilor asupra măsurării temperaturii în piesa ce se încarcă și sunt făcute comparațiile cu calculele efectuate în cazul proceselor de sudare și încărcare cu arc electric.-

Epruvetele sunt din oțel 40 (norma sovietică) sub formă de cilindru găurit lung de 80 mm. și cu diametru de 65/40 mm. Dimensiunile epruvetei au fost alese astfel, că să corespundă în medie dimensiunilor pieselor reale ce sunt recondiționate prin procedeul vibroarc (tactoare, automobile). Încărcarea se execută cu un cap automat și sîrma-electrod cu conținut final de carbon, cu diametrul de 1,5 mm. Tensiunea și intensitatea de curent, au variat în limitele de 16 - 18 V și 140 - 160 A. Viteza de avans a sîrmei-electrod 1,35 m/min. numărul de rotații al piesei 3 rot/min., grosimea stratului încărcat (pe o parte) 1,5 mm.

Capacitatea calorică efectivă a arcului la încărcare cu vibroarc, se determină prin metoda calorimetrică. Corectura datei întreruperilor în arderea arcului intră în valoarea randamentului efectiv de încălzire a epruvetei, care pentru regimurile de încărcare cu care s-a lucrat, a fost luat de 0,6. Restul condițiilor și date sunt cuprinse în lucrarea /2/. Încărcarea se face de punind cîte o singură cusătură și fără lichidul de răcire.-

Rezultatele măsurătorilor și a calculului ciclului ter-

mic, sănt prezentate în fig. 1.6, și anume sub forma distribuirii temperaturii în lungul dreptei paralele cu axa de deplasare a arcului la distanță de 0,5 cm. de la axa cusăturii depuse (încărcate).-

Calculele au fost făcute în baza schemei unui corp semiinfinite, pe suprafața căruia se mișcă cu o viteză constantă o sursă concentrată de căldură. Alegerea acestei scheme se justifică prin raportul între dimensiunile geometrice ale epruvetei și a sîrmei-electrod precum și de puterea mică a arcului în cazul procesului vibroarc și comparativ viteză mare de deplasare a sursei de căldură.-

In concluzie, calculele făcute conform teoriei profesorului N.N.Rikalin /146/ și/150/ pentru procesele termice la sudare și încărcare cu arc electric coincid suficient de bine cu rezultatele experimentale prezentate.-

Caracterul intermitent de ardere a arcului, în cazul procesului vibroarc, nu introduce schimbări esențiale în distribuirea temperaturii.-

Schema de calcul a corpului semiinfinite, pe suprafața căruia se mișcă o sursă de căldură punctiformă poate fi aplicată pentru calculul temperaturii în zona apropiată cusăturii, la încărcare cu vibroarc a pieselor, dimensiunile căror depășesc dimensiunile epruvetei folosite pentru cercetare.-

In fig. 1.7. sănt reprezentate curbele dependenței dimensiunilor zonei de influență termică a cusăturilor izolate pe epruvetele necălite și călitate în funcție de energia termică liniară totală (determinată ca un raport între puterea termică totală a arcului și viteză de încărcare) pentru valorile randamentului efectiv de încălzire a metalului cu arcul  $\eta_{in} = 0,45 - 0,60$ . Limitele zonelor de temperaturi sănt luate pentru epruvete necălitate  $723-1400^{\circ}\text{C}$ , iar pentru cele călitate  $300-1400^{\circ}\text{C}$ , căldura specifică volumetrică a metalului  $C_g = 1,15 \text{ cal/cm}^3 \text{ }^{\circ}\text{C}$ .-

Din această figură rezultă, că dimensiunile zonei de influență termică pe epruvetele călitate sănt de aproximativ trei ori mai mari decât pe cele necălitate. In intervalul valorilor mai mari de influență termică pe epruvetele necălitate este de aproximativ



tiv 0,6 - 1,3 mm, iar pe cele călite aproximativ 1,9 - 3,8 mm.

Materialul documentar /100/ arată, că zona de influență termică, la încărcare cu vibroarc, este de cîteva ori mai mică față de alte procedee de încărcare cu arc electric. Acest fapt reprezintă unul din cele mai importante avantaje de încărcare cu vibroarc, care permite utilizarea lui cu succes pentru recondiționarea pieselor tratate termic, a pieselor cu diametre mici, a pieselor cu diametre mici și cu lungimi mari sau forme complicate, care în cazul folosirii altor procedee de încărcare sunt supuse unor importante deformări.-

In ce privește particularitățile modificărilor structurale ale metalului în zona de influență termică, la încărcarea cu vibroarc, ele se caracterizează în general prin următoarele. În condițiile vitezelor mari de încălzire valorile punctelor critice (de transformare) ale oțelului se ridică și se limitează creșterea grăunților austenitei. Aceasta contribuie la îngustarea zonei de influență termică și în particular, a zonei de supraîncălzire la încărcarea oțelurilor cu puțin carbon. Viteze mari de răcire favorizează formarea structurilor călite, iar încălzirea rapidă îngreunează egalizarea prin difuzie a concentrațiilor de carbon în austenită, ajutând prin aceasta formarea zonelor călite în regiunile unde începe formarea graunților de perlită a oțelurilor cu carbon puțin.-

Cercetările metalografice arată, că structurile martensitice pot fi observate la încărcarea pieselor din oțel, carbon, cu un conținut de carbon de 0,2% și mai puțin. În zona de influență termică a pieselor din oțeluri slab aliate, se observă clar structurile austenitice sau austenitomartensitice.-

## 2.7. Zona de influență termică.

Încărcarea cu vibroarc se deosebește de alte procedee de încărcare, în special printr-o acțiune termică mai mică a arcului asupra metalului și prin viteze mari de răcire a acestuia. Aceste deosebiri determină particularitățile esențiale ale structurii și proprietățile metalului la încărcare cu vibroarc.-

In procesul de încărcare a stratului se observă o des-

tul de complicată schemă de influență termică a arcului asupra metalului.-

Limitele de temperatură a zonei de influență termică la încărcare cu vibroarc depind de starea structurală a pieselor încărcate.-

Dimensiunile liniare ale zonei de influență termică depind de regimurile de încărcare (tensiunea arcului, intensitatea curentului, viteză de încărcare, debitul lichidului de lucru-răcire, de proprietățile termofizice ale materialului piesei, de dimensiunile piesei și de alți factori).

Utilizarea lichidului de lucru și viteze relativ mari ale încărcării, contribuie la reducerea dimensiunilor zonei de influență termică.-

Schemele de influență termică a arcului asupra metalului, pentru mai multe variante ale încărcării au fost studiate și detaliat cercetate de prof. I.Ia.Patchevici /loc/ și nu ne vom ocupa de ele.-

Unele rezultate sunt prezentate în sub capitolul 1.4, le considerăm valabile și nu se va mai insista asupra acestei probleme.-

## 2.8. Rolul caracteristicii externe a sursei de alimentare cu curent la încărcare cu vibroarc

In concluziile unui amplu studiu prezentat în lucrarea /97/, rezultă că: generatoare de sudură cu caracteristica externă brusc coboritoare, fie că nu pot asigura regimurile stable de încărcare, fie că îl asigură într-un interval îngust al regimurilor.-

Este rațională utilizarea, pentru alimentarea instalațiilor vibroarc, a generatoarelor cu caracteristicile externe rigide, ce au curenți mari de scurtcircuit la tensiuni de mers în gol relativ joase (10 - 30 V). In cazul caracteristicilor rigide a generator deranjarea stabilității, ce ar putea duce la un scurtcircuit complet, practic nu este posibil, deoarece chiar și o mică micșorare a spațiului arcului mediu duce la o creștere bruscă a curentului, puterii și vitezei de topire a sîrmei-electrod.-

In consecință, generatoare cu caracteristicile externe rigide, asigură regimurile de încărcare stabile într-un interval destul de larg (punctele a, a', a'', a''' fig.2.8, c). Figura 2.8.b - reprezintă determinarea regimurilor de încărcare stabilă în cazul caracteristicilor externe coborîtoare (fig.2.8,a) și rigide (fig.2.8.c) /44/.- Curbele l, l', l'', l''', reprezentă caracteristicile externe ale generatorului pentru diferite tensiuni de mers în gol. Introducind rezistență în circuitul infășurării de excitație a generatorului, printr-un reostat, sau acolo unde acest lucru este posibil, prin mutarea periilor pe colecto-rul generatorului de sudare, se poate micșora tensiunea de mers în gol și deci a tensiunii punctului de funcționare  $U_1$ . Dar cu reducerea tensiunii de mers în gol se reduce, într-o mai mare măsură, curentul de scurtcircuit, iar caracteristicile externe ale generatorului capătă forma reprezentată în fig. 2.8., c - prin curbele l, l', l'', l'''. Începînd cu o carecare urcare a tensiunii de mers în gol, puterea maximă pe care o poate asigura genera-torul, devine mai mică decît cea necesară, adică caracteristi-cile externe ale generatorului nu interesează curba regimurilor puterii constante date (curba 4 fig.2.8, b). În acest caz, viteza de topire a sîrmei-electrod va fi mai mică decît viteza de avans, ceea ce inevitabil duce la un scurtcircuit continuu și oprirea procesului de încărcare.- Dacă tensiunea  $u_1'$ , ce corespunde punc-tului de tangentă cu curba 4, vizează mai mare decît tensiunea normală a arcului  $U_a$ , atunci procesul stabilit de încărcare nu poate fi obținut de la acest generator de alimentare.-

In felul acesta, ajungem la ceea ce am afirmat mai sus, că generatoarele de sudură, cu caracteristicile externe brusc co-borîtoare, fie că nu pot asigura regimurile stabile de încărcare, fie că îl asigură într-un interval foarte îngust al regimurilor. In consecință sursele de curent pentru instalațiile de încărcare cu vibroarc vor avea caracteristica externă rigidă.-

La fiecare caracteristică externă a sursei de curent, corespunde o dependență a puterii ce dă sursa (generator) funcție de intensitatea curentului (curba 2, fig. 2.8, a). Într-un regim staționar, cînd viteza de topire este egală cu viteza de avans a sîrmei-electrod, din partea sursei (generatorului) se cere o a-nume putere, practic independentă de regimul de încărcare (curba 3, fig. 2.8,a). Dependența tensiunii funcție de intensitatea de

curent la o putere dată invariabilă este reprezentată prin curba 4 (fig.2.8).-

Această curbă este locul geometric al punctelor, ce reprezintă regimurile posibile pentru încărcare, corespunzătoare vitezei de avans constante date a sîrmei-electrod. Puterea necesară la o caracteristică externă dată generatorul poate da numai cu două regimuri, determinate de punctele a și b, corespunzător punctelor a' și b' (fig.2.8, a).-

Cu toate că în ambele cazuri, determinate de punctele a și b, este asigurată puterea necesară pentru un proces staționar și viteza de topire a sîrmei-electrod, din punct de vedere al stabilității aceste două regimuri principal diferă. Regimul corespunzător punctului b ( $U_2$  și  $I_2$ ) este instabil. Orice micșorare, chiar întâmplătoare, a spațiului arcului duce la micșorarea valoarei mediei a tensiunii, intensitatea curentului va crește în circuit, însă puterea va scădea producând o micșorare a vitezei de topire a sîrmei-electrod și prin urmare, o reducere în continuare a spațiului arcului pînă la un scurtcircuit complet. Procesul de încărcare se va opri.-

Dacă însă se va produce o creștere întâmplătoare a spațiului arcului, atunci valoarea medie a tensiunii va crește și va provoca micșorarea intensității curentului. Dar puterea și viteza de topire a sîrmei-electrod în acest caz vor crește, producînd lungirea în continuare pînă cînd intensitatea de curent va scădea la valoarea  $I_1$ , la care viteza de topire a sîrmei-electrod va ~~egală~~ cu viteza de avans a sîrmei-electrod.-

Acste rezultate le folosim și la determinarea curbei  $v_e = (L)$ .

#### 2.9. - Rolul inductanței, a amplitudinii și formei vibratiei sîrmei-electrod.

Cercetările arată, că încărcarea cu vibroarc se caracterizează printr-un număr mare de parametri principali electrici și cinematici variabili interdependenți. Pentru obținerea unui proces stabil, a unui strat încărocat de buna calitate și a unor pierderi cît mai mici din materialul sîrmei-electrod trebuie să corespundă vitezei de topire a ei. Pentru îndeplinirea acestei condiții este necesar, ca pentru fiecare regim de lucru concret

să fie asigurată valoarea strict determinată a inductanței.-

De fapt, existența inductanței în circuitul principal îndeplinește un dublu rol. Pe de o parte, inductanța trebuie să fie mai mare decât o anumită valoare minimă ce asigură anihilarea perioadelor de mers în gol (din fiecare ciclu), atât pentru îmbunătățirea calității depunerii, cît și pentru îmbunătățirea eficienței procesului. Pe de altă parte, existența inductanței influențează negativ asupra procesului de autoreglare, reținîndu-l. Ea poate să lucreze chiar în sens opus.-

Spre exemplu, la o scurtare întâmplătoare a spațiului arcului se reduce durata perioadelor de ardere a arcului și crește durata perioadelor de scurtcircuit, adică scade tensiunea medie  $U_s$ . În cazul caracteristicii externe rigide al sursei de curent, aceasta trebuie să provoace creșterea bruscă a curentului, puterii și a vitezei de topire a sîrmei-electrod. Însă, la o valoare importantă a inductanței în circuit curentul va crește încet. Această reducere a duratei perioadelor de ardere a arcului și corespunzător cu aceasta, a tensiunii medii la un curent aproape neschimbat, duce la reducerea puterii și vitezei de topire a sîrmei-electrod, adică la o scurtare în continuare a spațiului arcului.-

Durata acestei dezvoltări anormale a procesului, este determinată de valoarea inductanței. La o inductanță mare, dezechvartarea procesului va fi atât de lungă, încât poate să ducă fie la un scurtcircuit continuu în cazul scurtării întâmplătoare a spațiului arcului, fie la o completă eliminare a atingerilor de către sîrma-electrod a piesei și, posibil, la stingerea arcului la o lungire întâmplătoare (accidentală) a spațiului arcului.-

Astfel, procesul de încărcare poate să devină instabil și în cazul sursei de curent cu caracteristica externă rigidă, dacă inductanța circuitului este prea mare. De aceea, este de dorit, ca valoarea inductanței circuitului să fie cît mai mică, dar mai mare decât o valoare minimă pe care o vom determina ulterior.-

Amplitudinea și forma vibrației la fel influențează sensibil asupra stabilității procesului. Cu reducerea amplitudinii vibrățiilor, cele descrise mai sus, în legătura cu existența in-

ductanței în circuit, dezvoltarea anormală a procesului de autoreglare, duce la un scurtcircuit continuu sau la o eliminare a atingerilor de către sîrma-electrod a piesei și la stingerea arcului. De aceea, este de dorit mărirea <sup>m</sup> amplitudinii vibrațiilor. Totuși mărirea importantă a amplitudinii este limitată de factorii tehnologici (înrăutățirea formării stratului încărcat, creșterea pierderilor de metal prin stropire, arderea elementelor componente din sîrma-electrod și altele).-

Este necesar de subliniat, că vibratoarele electromagnetice și cele mecanice cu excentric, practic realizează forma sinusoidală a vibrației sîrmei-electrod. Această formă nu nuantăzează stabilitatea procesului la tensiunii medii finale și joase /97/. Încărcarea la tensiuni finale, apropiate de valoarea tensiunii arcului  $U_a$ , corespunde unei durate a perioadelor de scurtcircuit. În acest caz o mică alungire a spațiului arcului poate să ducă la neatingerea de către sîrma-electrod a piesei /97/.

Desfășurarea anormală a procesului de autoreglare, în cazul unei inductanțe mai mari a circuitului, favorizează lungirea spațiului arcului și dereglerea procesului. Studiindu-se oscilogramele /97/ a mai multor experimentări, se constată, că regimurile de încărcare, mai stabile, se obțin cu tensiuni medii de 15-20 V, adică aproximativ jumătate din valoarea tensiunii arcului  $U_a$ , la care durata de ardere a arcului este aproape egală cu durata scurtcircuitului. În această privință autorul are cercetări ale căror rezultate sunt redate în continuare.-

În felul acesta, legătura reciprocă a parametrilor procesului de încărcare cu vibroarc ~~se dozează~~ este sensibil de legătura reciprocă ce există în cazul unui proces de sudare cu arc obișnuit.-

Cum s-a văzut, stabilitatea procesului se obține prin folosirea unor surse de curent cu caracteristicile externe rigide și printr-o alegere corespunzătoare ainductanței circuitului. De dorit o inductanță minimă, care asigură eliminarea măsurilor în gol în fiecare ciclu. Rezultă, că pentru fiecare regim concret de lucru trebuie asigurată strict o valoare determinată a inductanței.-

In afara de aceasta, fiecăruia regim de încărcare corespund amplitudinea și forma vibrației sîrmei-electrod optime.-

In capitolul care se ocupă cu determinarea parametrilor ciclului procesului de încărcare cu vibroarc, se va arăta relația prin care se calculează valoarea minimă a inductanței circuitului de sudare, care asigură eliminarea mersului în gol în ciclurile procesului.-

2.10. - Reducerea stropirii metalului și stabilitatea procesului de încărcare cu vibroarc

Reducerea stropirii metalului formează o problemă de bază în perfeționarea procesului de sudare și încărcare cu vibroarc.-

In cazul sudării cu arc scurt-vibroarc, scurtcircuitările dese ale spațiului arcului, printr-o alegere corectă a parametrilor electrici ai circuitului de sudare, se poate reduce stropirea pînă la anumite limite admisibile. La sudarea cu sîrma-electrod cu diametru de 1,2 - 2 mm, este recomandabil a se folosi diferite sisteme de comandă și conducere a procesului, în vederea ridicării stabilității lui și reducerea stropirii.-

Intrucît, în problema stropirii metalului la sudare sau încărcare cu procedeul vibroarc, nu s-au făcut încă cercetări sistematice, se redau mai jos rezultatele unor cercetări ce în multe privințe pot servi ca o orientare pentru viitoarele cercetări.-

Conform celor stabilite în lucrările /41,194/, rezultă drept cauza principală a stropirii la sudare cu arc scurt, explozia electrică în momentul excitării arcului după scurtcircuit.-

In lucrarea /42/, s-a exprimat părerea asupra posibilității reducerii stropirii și ridicării stabilității procesului de sudare cu arc scurt, pe calea reducerii pe timp foarte scurt a puterii exploziei în perioada de început a arderii arcului, după producerea scurtcircuitului.-

Autorul lucrării /23/, arată complexitatea acestui sistem, dar și căile de rezolvare, propunând trei scheme:  
1. Cu două surse de alimentare, avînd tensiuni diferen-

te. Pe timpul scurtcircuitului se conectează sursa cu tensiunea mai mare, iar după ruperea punții metalice la sfîrșitul scurtcircuitului, se deconectează sursa cu tensiunea mai mare și se conectează sursa de alimentare cu tensiunea mai mică. Cea din urmă se introduce pe un timp determinat dinainte și stabilit printr-un bloc de comandă a timpului. Sursa de curent se conectează după program, determinat de desfășurarea procesului.-

2. Prin ajutorul a două surse de curent, una de bază, iar cea de-a doua contribuie cu o tensiune suplimentară. În perioada scurtcircuitului, sunt conectate în serie ambele surse. La începutul perioadei de excitare a arcului, sursa cu tensiunea suplimentară se deconectează pe un timp determinat, stabilit dinainte.

3. De la o singură sursă de alimentare cu un rezistor în circuitul de sudare.- În momentul de repere al punții de metal la sfîrșitul scurtcircuitului, un comutator introduce în circuit un rezistor și puterea arcului scade. Timpul căt este conectat rezistorul, stabilit la numai cîteva milisecunde, este dirijat de un bloc de comandă, iar momentul conectării se determină de mersul procesului de sudare, ca și în schemele de mai sus. Drept comutator, fără contacte, se folosesc teristoare.-

La sudare, folosind unul din sistemele de dirijare a procesului arătate mai sus, curentul minim în perioada de ardere a arcului, care premerge scurtcircuitului, crește, ceea ce mărește stabilitatea procesului.-

În felul acesta, pe timpul de ardere a arcului în limitele ciclului, energia se redistribuie: micșorarea curentului imediat după excitarea arcului se compensează prin creșterea lui către sfîrșitul ciclului (fig.2.9) /23/-

Cercetările efectuate au arătat că, curbele  $\gamma = f(R)$  au un minim, care corespunde valorii lui  $R = 0,05 - 0,1$  ohmi și  $\gamma = 4\%$  (fig. 2.10, a).

Caracteristic este faptul că și cu creșterea rezistenței frecvența scurtcircuitelor într-o oarecare măsură crește (Fig.2.10, b) ceea ce are explicația prin reducerea tensiunii arcului, cind celelalte condiții sunt egale.-

CAP. 3 - CARACTERISTICILE STATICE IN PROCESUL VIBROARC

3.1. - Caracteristicile statice ale sistemului de autoreglare  
a arcului

Fenomenul de autoreglare la sudare cu scurtcircuitările sistematice ale spațiului arcului, este specific în întregime sistemului și nu numai descărcărilor arcului și se determină prin variația valorilor medii și nu celor instantanee ale lungimii arcului, tensiunii și intensității curentului /42, 121/. În baza aceasta se face studiul și analiza cantitativă a stabilității regimului încărcării cu vibroarc.-

Sistemele de autoreglare a arcului sunt determinate în primul rînd prin caracteristicile sale statice, care exprimă dependența  $I_a = f(U_a)$  la  $v_e = \text{const.}$  numite curbe de funcționare stabile a capului automat cu viteza de avans constantă a sîrmei-electrod /91/. Aceste caracteristici se determină experimental.-

Însă, în baza lucrărilor /25,111,91/ se stabilește metoda analitică de determinare a caracteristicii statice de autoreglare a arcului.-

Particularitățile de autoreglare a lungimii arcului și a altor parametri a sudării cu arc electric, se determină în principal prin caracterul dependenței vitezei de topire a sîrmei-electrod în funcție de valoarea intensității curentului și a tensiunii arcului.-

Cele de mai sus, se referă însă la cazul autoreglării arcului lung. În acest caz ecuația caracteristicii statice a sistemului de autoreglare este conform /139/:-

$$U_a = \frac{k_{ai}}{k_{au}} I_a - \frac{v_t}{k_{au}} \quad (3.1.)$$

unde  $k_{ai}$ ,  $k_{au}$  - coeficienți de autoreglare a arcului după intensitatea de curent în  $\text{cm}/\text{A.s}$  și după tensiune în  $\text{cm}/\text{V.s}$  acești coeficienți se determină experimental pentru diferite diametre ale sîrmei-electrod și densității de curent.-

Se consideră că viteza de avans a sîrmei-electrod  $v_e$

este egală cu viteza de topire a ei  $v_t$ .

In lucrările /111, 133, 139/ se arată, că sistemul de autoreglare se poate considera ca un sistem de reglare automată a curentului arcului. De aceea, ecuația caracteristicii statice a sistemului de autoreglare /91/ poate fi scrisă sub forma  $I_a = f(U_a)$ .-

Relația (3.1.) arată, că la sudarea fără scurtcircuitări a spațiului arcului, caracteristicile statice de autoreglare au forma lineară, iar valoarea derivatiei  $\frac{\partial U_a}{\partial I_a}$  este totdeauna pozitivă, adică înclinarea caracteristicii este spre dreapta. Aceasta condiționează o creștere bruscă a puterii arcului cu creșterea curentului. Cele afirmate mai sus, de fapt se confirmă prin caracteristicile statice obținute pe cale experimentală de cercetările publicate în lucrarea /139/.-

In lucrarea /113/ se arată, că la sudarea cu scurtcircuitări sistematice ale spațiului arcului, independent de cum se produc ele "de la sine" sau sunt un rezultat al vibrației sîrmei-electrod (vibroarc), viteza de topire a sîrmei-electrod este proporțională cu puterea necesitătă de proces, adică produsul între intensitatea medie de curent și tensiunea medie între sîrma-electrod și piesă /121/. Din lucrarea /110/ rezultă, că această particularitate de topire a sîrmei-electrod, condiționează diferențele esențiale a "mecanismului" de autoreglare și a condițiilor de stabilitate a procesului de sudare și încărcare cu scurtcircuitări spațiului arcului, în comparație cu sudarea cu arc electric lung. Natural, trebuie să difere și caracteristicile statice de autoreglare.-

In literatura tehnică de specialitate, nu sunt comunicate cercetările asupra caracteristicilor de autoreglare a procesului de sudare cu scurtcircuitări sistematice ale spațiului arcului. Forma acestor caracteristici este cunoscută de fapt numai <sup>cum</sup> în baza unor experiențe ce urmăreau rezolvarea cu total altor probleme /111/.-

In lucrarea /25/ se demonstrează analitic și se trasează grafic forma caracteristicii statice a sistemului de autoreglare a arcului pentru cazul arcului lung (fig.3.1). Inclinarea caracteristicii de autoreglare este condiționată, așa cum este a-

rătat în lucrarea amintită, în principal de coeficientul  $k_{au}$ . La un  $k_{au} = 0$  aceste caracteristici devin verticale, și sistemul de autoreglare se transformă într-un sistem astatic de stabilizare a curentului arcului.-

Inclinarea caracteristicilor statice de autoreglare, arată că, cu creșterea tensiunii intensitatea curentului arcului, crește, asigurînd egalitatea vitezelor de avans și de topire a sîrmei-electrod (fig.3.1).-

Rezultatele obținute, au fost verificate experimental pentru trei medii de protecție: argon, binoxid de carbon și amestec între argon și binoxid de carbon.-

Problemele prezentate mai sus, se referă la sudarea cu arc lung, adică, atunci cînd are loc o autoreglare ideală, ele servesc nouă drept orientare pentru cazul procesului vibroarc (cu arc scurt).-

La sudarea cu scurtcircuitările dese periodice ale spațiului arcului, nu se produce o autoreglare a arcului, ci o autoreglare a topirii sîrmei-electrod, sau aşa numita autoreglare integrală - noțiunea introdusă la subcapitolul (2.4).-

In acest caz, funcția  $I_a = f(U_a)$  la  $v_t = \text{const.}$  poate fi numită curba de reglare și nu caracteristica statică, întrucît procesul este cvasistaționar. Cercetările au arătat /25/ că, curbele  $I_a = f(U_a)$  au înclinație opusă în comparație cu caracteristicile analoge, construite pentru cazul arderii nefîntrerupte a arcului.-

Acest fenomen se explică prin aceea, că sîrma-electrod se topesc numai în timpul arderii arcului. Cu creșterea tensiunii se mărește durata de ardere a arcului, în limitele ciclului și scade timpul de scurtcircuit, ceea ce duce la mărirea vitezei de topire a sîrmei-electrod la  $I_a = I_s = \text{const.}$  și la reducerea intensității de curent la  $v_t = \text{const.}$

x            x  
x            x

Automatele cu viteza constantă de avans a sîrmei-electrod, care sănătățe pe principiul autoreglării arcului au astăzi o largă utilizare.-

3.2. - Determinarea caracteristicilor statice ale sistemelor cu autoreglare a procesului de sudare cu vibroarc.

Caracteristicile statice ale sistemelor de autoreglare a proceselor de sudare cu arc (numite și caracteristicile de funcționare stabilă a sistemului) și caracteristicile statice ale arcului la viteza de avans constantă a sîrmei-electrod /95/ reprezintă curbele de dependență între tensiunea arcului și intensitatea curentului la valorile constante ale tuturor parametrilor regimului, afară de tensiunea de mers în gol a sursei de alimentare cu curent și a rezistenței circuitului de sudare /139/.

In fig. 3.2, a, sunt prezentate caracteristicile statice de autoreglare la încărcare cu vibroarc, determinate pe cale experimentală și publicate în lucrarea /111/. Datele au fost obținute cu ocazia studierii parametrilor ciclurilor procesului vibroarc. Încărcarea se execută cu sîrma-electrod de 2 mm. diametru din oțel 1 H 18 N 9 T, iar mediul protector era  $\text{CO}_2$ , viteza de avans a sîrmei-electrod a fost 1,79 cm/s, frecvența de vibrație 47,5 Hz, încărcarea cu polaritatea inversă.-

In fig. 3.2<sup>b</sup>, sunt reprezentate caracteristicile statice de autoreglare la sudare automată cu scurtcircuitările sistematice ale spațiului arcului tot în mediul de  $\text{CO}_2$ . Curbele din fig. 3.2.b, sunt trasate în baza datelor publicate în /156/ și /111/, cercetătorii însă au urmărit rezolvarea altor probleme.- S-a lucrat cu polaritatea inversă. Caracteristicile statice de autoreglare sunt construite luând în considerare valorile medii ale tensiunii între electrod și piesă și intensitatea medie de curent, aceste valori le numim de lucru, respectiv  $U_s$  și  $I_s$ , decarece încărcarea cu vibroarc este însotită de variațiile tensiunii și intensității curentului.-

Relațiile ce pot fi folosite la calcularea și analiza valorilor  $U_s$  și  $I_s$  sunt cele deduse în lucrarea /113/ și anume:

$$U_s = \frac{1}{2} \left[ U_o + \sqrt{U_o^2 - 4000 k_r r_e U_o^{3/4} d_e^{5/3} (k_v + k_c v_e)} \right] \quad (3.2)$$

și

$$I_s = \frac{U_o - U_s}{r_e} \quad (3.3)$$

semnificația literelor este aceeași cu cele arătate și explicate

în sub capitolul "Caracteristicile de topire ale sîrmei-electrod la încărcarea cu vibroarc".-

Cele de mai sus arată clar că, caracteristicile statice de autoreglare a procesului de sudare cu scurtcircuitările sistematice ale spațiului arcului, se deosebesc cu totul evident de caracteristicile de autoreglare a procesului de sudare cu arc lung. Particularitățile de bază, ale celor dintâi, constau în aceea că ele au forma aproximativ hiperbolică cu derivata  $\frac{dU}{dr} < 0$ . Totodată valoarea absolută a derivatei scade (inclinarea  $\frac{dU}{dr}$  a caracteristicii spre stînga se mărește) cu creșterea curentului.-

In fig. 3.3, sănt reprezentate caracteristicile statice de autoreglare la încărcarea cu vibroarc în jet de lichid (apa) cu sîrma - electrod marca S<sub>v</sub> - 08 (compoziția chimică: C=0,10% max; Mn = 0,35 - 0,60%; Si = 0,03%; Cr≤0,15%; Ni = 0,30%; S=0,04% max; P = 0,04% max), d<sub>e</sub> = 2 mm; l = 1,0 cm; f = 47 Hz, cantitatea de lichid Q<sub>a</sub> = 1,0 l/min. Caracteristicile statice de autoreglare la sudarea cu curent cu polaritate directă au aceiași formă ca și la sudarea cu polaritate inversă (fig.3.3).

Astfel de formă a caracteristicilor determină particulatatea schimbărilor a intensității de curent și tensiunii de sudare odată cu schimbarea parametrilor sursei de curent și a circuitului de sudare.- Astfel, de exemplu, reducerea tensiunii de mers în gol a sursei de alimentare cu curent, cu caracteristica exterñă alungită, trecind punctul de funcționare de regim din A în B (fig. 3.4), duce în cazul sudării cu arc lung, la reducerea tensiunii și intensității de curent a arcului (fig. 3.4, a), iar la sudarea cu scurtcircuitările sistematice ale spațiului arcului, duce la reducerea tensiunii de sudare (de lucru) și la creșterea intensității curentului de lucru (fig. 3.4, b). Cu creșterea rezistenței circuitului, punctele de funcționare trec din A în C, ca urmare, în primul caz scade intensitatea de curent și tensiunea, iar în cel de-al doilea - tensiunea scade, iar intensitatea de curent crește.-

In concluzie, sudarea (încărcarea) cu vibroarc cînd vițeza de topire a sîrmei-electrod crește cu creșterea și a intensității de curent și a tensiunii de lucru, caracteristicile sta-

tice de autoreglare, sînt inclinate spre stînga în raport cu axa curenților. Inclinarea lor crește cu creșterea curentului.-

### 3.3. Caracteristicile statice și rapiditatea acțiunii sistemului de autoreglare la sudarea cu arc instabil

Relația (3.1.) s-a dedus pornind de la formula stabilită în lucrarea /139/:-

$$v_t = k_{ai} I_a - k_{au} U_a \quad (3.4)$$

unde  $k_{ai}$  - coeficient de autoreglare a procesului după intensitatea de curent;

$k_{au}$  - coeficient de autoreglare a procesului după tensiune;

$I_s$  - intensitatea curentului de sudare;  $U_s$  - tensiunea la sudare;

$U_a$  - tensiunea arcului;  $\alpha = \frac{t_a}{t_c}$  - durata relativă a ciclului

$v_t$  - viteza de topire a sîrmei-electrod;  $v_e$  - viteza de avans a sîrmei-electrod;

valabilă pentru sudare cu arc lung. Pentru sudare cu scurtircuitările sistematice ale spațiului arcului (și fără suprapunerea impulsurilor de curent peste arc), relația devine:

$$v_t = k_{ai} I_a + k_{au} U_a \quad (3.5)$$

Inlocuind  $U_a$  respectiv  $I_a$  prin valorile lor la sudare (adică  $I_a = I_s$  și  $U_a = U_s \cdot \frac{t_a}{t_c} = U_s \cdot \alpha$ ) obținem:

$$v_t = k_{ai} I_s + k_{au} U_s \quad (3.6)$$

Tinînd cont, că la stabilitatea statică a sistemului, viteza de topire a sîrmei-electrod ( $v_t$ ) este egală cu viteza ei de avans ( $v_e$ ) putem scrie:

$$I_s = \frac{v_e}{k_{ai}} - \frac{k_{au}}{k_{ai}} \cdot U_s \quad (3.7)$$

sau notînd cu  $I_d = \frac{v_e}{k_{ai}}$ , obținem:

$$I_s = I_d - \frac{k_{au}}{k_{ai}} U_s \quad (3.8)$$

In ecuația (3.8)  $I_d$  - curentul, ce depinde de  $v_e$ , iar

$\frac{k_{au}}{k_{ai}} U_s$  - mărimea, ce caracterizează abaterea lui  $I_s$  ca rezultat

al influenței  $U_s$  asupra lui  $v_t$ . -

In urma experimentărilor efectuate /133/ a rezultat, că cu creșterea densității de curent  $k_{ai}$  și  $k_{au}$  cresc, iar raportul  $\frac{k_{ai}}{k_{au}}$  scade. -

Analizînd ecuația (3.8), rezultă, că la creșterea tensiunii de lucru a procesului, curentul de sudare scade. Prin urmare, caracteristica statică (tensiune-curent) a sistemului de autoreglare a procesului de sudare cu scurtcircuitările spațiului arcului (fig.3.5) va avea derivata negativă, adică  $\frac{\partial U_s}{\partial I_s} < 0$ . Tocmai

aceasta formă a caracteristicilor a fost obținută și în lucrările /111, 25/. -

Din /140/ se știe, că abaterea intensității de curent este legată de schimbarea lungimii arcului, adică  $\Delta I_a = \frac{l_a}{K_s} \cdot E_c$ , iar abaterea tensiunii este  $\Delta U_{al} = \Delta l_a \cdot E_c$ . Aceste relații, evident, sunt valabile și pentru procesul de sudare cu scurtcircuitările sistematice ale spațiului arcului, dacă luăm în considerare valoările medii pe ciclu ale mărimilor (din relații). -

In cazul nostru, avem:

$$I_s = - \frac{l_{a,md}}{K_s} \cdot E_c, \quad (3.9)$$

$$U_{s,l} = l_{a,md} \cdot E_c \quad (3.10)$$

unde  $l_{a,md}$  - lungimea medie a arcului;  $E_c$  - intensitatea cîmpului electric în coloana arcului;  $K_s$  - coeficientul de stabilitate a sistemului. -

Schimbarea lungimii mediei a arcului  $l_{a,md}$  este posibilă prin deranjarea egalității  $v_e = v_t$ . Însă la  $v_e = \text{const.}$  schimbarea lungimii mediei a arcului este legată, evident, de schimbarea lui  $v_t$  cu valoarea

$$\Delta v_t = k_{ai} \Delta I_s + k_{au} \Delta U_s \quad (3.11)$$

Tinînd cont de relațiile (3.9) și (3.10), precum și de cele stabilite în lucrările /134, 140/ efectuînd transformările necesare se obține:

$$\Delta v_t = - \Delta l_{a,md} E_c \cdot \frac{k_{au}}{K_s} \cdot \left( \frac{k_{ai}}{k_{au}} + \frac{\partial U_s}{\partial I_s} \right) \quad (3.12).$$

Semnele lui  $v_t$  și ale lui  $I_{am}$  vor fi diferite, adică sistemul va acționa asupra acelor abateri ce sunt legate de schimbarea lungimii arcului și va menține egalitatea  $v_a = v_t$ , dacă:

$$\frac{k_{ai}}{k_{au}} + \frac{\partial U_s}{\partial I_s} > 0 \quad (3.13)$$

Din datele experimentale obținute rezultă că, cu creșterea densității de curent, raportul  $\frac{k_{ai}}{k_{au}}$  scade. De aceea panta de coborâre a caracteristicii externe  $\frac{k_{au}}{k_{ai}}$  a sursei de alimentare cu curent a arcului de sudare în acest caz, este necesar să fie micșorată. Iată, încă o constatare importantă pentru alegerea sursei de alimentare cu curent.-

Rapiditatea (sensibilitatea) restabilirii echilibrului în sistem (intensitatea autoreglării) se evaluează prin raportul /12, 13/,

$$K_{ra} = \frac{\Delta v_t}{\Delta I_a} \quad (3.14)$$

In cazul sudării cu scurtcircuitările sistematice ale spațiului arcului (vibroarc), obținem:

$$K_{ra} = - E_c \cdot \frac{k_{au}}{k_s} \left( \frac{k_{ai}}{k_{au}} + \frac{\partial U_s}{\partial I_s} \right), \quad (3.15)$$

adică, coeficientul de rapiditatea acționării sistemului  $K_{ra}$  crește cu creșterea intensității cîmpului electric în colană arcului ( $E_c$ ) și a densității de curent în sîrma-electrod, precum și cu micșorarea pantei de cădere a caracteristicii externe a sursei de alimentare cu curent și a coeficientului de stabilitate.-

In concluzie, putem spune că intensitatea de autoreglare a procesului de sudare cu scurtcircuitările sistematice ale spațiului arcului, crește cu creșterea densității de curent în sîrma-electrod și cu scăderea pantei de cădere a caracteristicii externe a sursei de curent.-

### 3.4 - Mentinerea staționară a procesului la sudare cu autoreglare a regimului

Problema menținerii staționare a procesului de sudare cu arc electric cu autoreglare, de obicei se leagă de stabilitatea structurală a sistemului : arc - sursa de alimentare cu curent și

de caracterul perturbărilor ce acționează. Totuși, stabilitatea structurală a sistemului de autoreglare nu reprezintă condiția suficientă de menținere staționară a procesului de sudare cu arc electric, chiar și în lipsa a oricărora perturbări /24/.-

Conform celor arătate în lucrarea /24/, se recomandă ca analiza staționării procesului să fie făcută fără a ține cont de procedeul de sudare cu arc electric (manual, sub flux, vibroarc, etc), ci varietatea ce caracterizează procedeul sudării cu arc electric. În acest sens se propun variantele: sudarea cu arc scurt (proces cu scurtcircuitările periodice dese ale spațiului arcului) deci este cazul procesului vibroarc, sudarea cu arc lung, (scurtcircuitările și întreruperile arcului lipsesc), și sudarea cu întreruperile periodice nesistematice ale arcului.-

Funcționarea instabilă a sistemului cu autoreglare la sudare cu arc scurt este provocată de necorespondență între tensiunea sistemului de alimentare a parametrului prescris a sistemului cu autoreglare și viteza de avans a sîrmei-electrod /41, 24/.

Decurgerea stabilă a procesului cu arc scurt, este posibilă îndeplinind următoarele condiții, care asigură trecerea nefărăruptă a curentului /27/.-

- Tensiunea arcului trebuie să fie astfel, ca valoarea curentului ce se stabilește în arc să fie mai mică decât curentul necesar pentru topirea sîrmei-electrod cu o viteză egală vitezei ei de avans.-

- Este necesară existența unei anumite inductanțe în circuitul de sudare.-

- Valoarea maximă (de vîrf) a curentului, trebuie să fie mai mică decât curentul de scurtcircuit stabilizat.-

Prima condiție, rezultă din lucrarea /41/, de fapt această condiție determină existența procesului de sudare cu arc scurt.-

Din lucrările /27, 41/ se pot trage concluzii asupra caracteristicilor surselor de alimentare cu curent.-

Astfel, la deranjarea corelației între tensiunea arcului și viteza de avans a sîrmei-electrod, cînd sistemul de auto-

reglare funcționează în regim instabil, proprietățile dinamice ale surselor de curent joacă un rol important. Acest lucru este confirmat de practica sudării cu arc scurt.-

De altfel, s-a mai precizat, că la sudarea cu arc scurt sursa de alimentare cu curent trebuie să aibă caracteristica externă rigidă sau alungită.-

După părerea exprimată în lucrarea /24/, această caracteristică rigidă este necesară nu pentru intensificarea autoreglării, ci pentru ruperea sigură a punții metalului lichid la sfîrșitul scurtcircuitului. Practica arată, că sursele de alimentare cu curent cu caracteristicile externe brusc coborîtoare, adică cu un curent de scurtcircuit stabilizat nu prea mare, nu asigură ruperea punții, ca urmare se observă perturbarea în funcționare staționară provocată de "înghețarea" sîrmei-electrod.-

Din acest punct de vedere, se poate explica rolul vibrațiilor sîrmei-electrod ca pe un factor, ce ridică stabilitatea procesului de sudare (încărcare)..-

Se poate deci afirma, că rolul principal al vibrării sîrmei-electrod constă în a facilita ruperea punctării de metal topit și limitarea timpului de scurtcircuit, ceea ce este extrem de important la tensiuni mici ale arcului (vibroarc).-

CAP. 4 - PARAMETRII DE BAZA SI INTERDEPENDENTA GENERALA INTRE  
=====  
PARAMETRII PROCESULUI LA INCARCARE CU VIBROARC  
=====

4.1. - Interdependenta generală între parametrii procesului la încărcare cu vibroarc

Particularitatea principală a procesului la încărcare cu procedeul vibroarc, condiționată de vibrarea impusă a sîrmei-electrod, este alternarea perioadelor de ardere a arcului cu perioadele de scurtcircuitare cînd sîrmei-electrod atinge piesa. Durata acestor perioade de ardere, respectiv de scurtcircuitare a arcului, este mică, atunci cînd frecvența de vibrare a sîrmei-electrod este mare (de obicei între 25-100 Hz). În aceste condiții, circuitul electric principal fig.1.1. se află mereu în regim transitoriu, iar caracterul acestuia în mare măsură se determină prin inductanța sa.-

In perioadele de scurtcircuit, curentul în circuit crește. Viteza de creștere a curentului este cu atât mai mare, cu cît este mai mare f.e.m.a generatorului și mai mică inductanța circuitului.-

La un regim dat, în perioada scurtcircuitării spațiului arcului capătul sîrmei-electrod se află în metalul topit al băii de sudare.-

La îndepărtarea sîrmei-electrod de baia metalică (piesa), se produce arcul electric. Arcul se produce în toate cazurile, independent de valoarea f.e.m.a generatorului. Dacă f.e.m. a generatorului este mai mică decît tensiunea arcului (aceasta este regim normal de încărcare cu vibroarc), atunci curentul în circuit scade. F.e.m. de autoinducție ce se produce în acest caz se adună cu f.e.m. de bază și acoperă astfel tensiunea necesară pentru arc (în limitele de circa 15-35 V).-

In cazul cînd inductanța circuitului este insuficientă, curentul scade pînă la valoarea zero, arcul se stinge înainte de a se produce următorul scurtcircuit. În acest caz, ciclul constă din trei perioade: scurtcircuit, arderea arcului și mersul în gol. Existența perioadei de mers în gol cauzează, în acest regim, o

foarte slabă calitate a stratului încărcat. Dacă inductanța circuitului de sudare este suficientă, în momentul scurtcircuitului curentul nu reușește să scadă la zero, arcul arde pînă la următorul scurtcircuit, cînd curentul crește din nou (fig.4.1, a) /97/, iar fig. 4.1.,b. reprezintă procesul instabil de încărcare.-

Dacă în prima aproximatie se admite că tensiunea în perioada de ardere a arcului  $U_a$  este constantă, iar în perioada de scurtcircuit egală cu zero, atunci conform relației din /177/, avem:

$$\frac{t_a}{t_c} = \frac{U_s}{U_a} \text{ sau } U_s = U_a \cdot \frac{t_a}{t_c} \quad (4.1.)$$

adică, tensiunea medie  $U$ , indicată de voltmetru este proporțională cu raportul între  $\frac{t_a}{t_c}$  ( $t_a$  - durata perioadei de ardere a arcui și  $t_c$  - durata totală a ciclului).

Raportul între durata de ardere a arcului și cea de scurtcircuit la o amplitudine și forma vibrăției sîrmei-electrod date, depinde de lungimea medie a spațiului arcului, cu creșterea căruia crește durata de ardere a arcului, iar durata scurtcircuitului scade /97/.-

La încărcare cu vibroarc, dependența între tensiunea medie funcție de lungimea medie a spațiului arcului se explică, în principal, prin modificarea duratei relative de ardere a arcui  $t_a$  și nu prin modificarea tensiunii arcului  $U_a$ .

$\frac{t_a}{t_c}$  La variațiile spațiului arcului, în limitele amplitudinii de vibrăție a sîrmei-electrod (1,5 - 3 mm), cînd se produc încă atingerile piesei de către capătul sîrmei-electrod, se poate admite că tensiunea arcului nu depinde de lungimea spațiului arcului.-

Dacă lipsesc rezistența de suțare  $R_s$  (vezi schema fig.1.1) și perioadele de mers în gol, valoarea medie a intensității de curent pe perioada de ardere a arcului, se poate arăta că este egală cu valoarea medie pe perioada de scurtcircuit, și egală cu valoarea medie pe ciclu, indicată de ampermetru /97/. Valoarea medie a intensității curentului  $I$  la o tensiune medie dată  $U_s$  se determină din caracteristica externă a generatorului de alimentare cu curent.-

Topirea sîrmei-electrod, practic se produce numai în

perioada de ardere a arcului. Viteza instantanea de topire este proportională cu intensitatea curentului prin arc. Viteza medie de topire pe durata unui ciclu este proportională cu valoarea medie a curentului, precum și cu timpul relativ de ardere al arcului  $\frac{t_a}{t_c}$ , și ca urmare și cu valoarea medie a tensiunii  $U_s$  /97/.

Urmare celor de mai sus, se poate admite, că viteza medie de topire a sîrmei-electrod, în condițiile egale de încărcare, este proporțională cu produsul între tensiunea medie și intensitatea medie de curent care la valoarea admisă de  $U_s = \text{const.}$  reprezintă de fapt puterea medie consumată,

$$P = U_s \cdot I_s$$

Viteza medie de topire a sîrmei-electrod, determină variația (schimbările) spațiului arcului. Cu alte cuvinte, dacă viteza de topire este mai mare decât viteza de avans a sîrmei-electrod, atunci spațiul arcului se lungeste și invers.-

In felul acesta, conform celor de mai sus, intre mărimele de bază ce caracterizează procesul de încărcare cu ~~—~~ vibroarc, adică: valorile medii ale tensiunii, intensității de curent, puterii, vitezei de topire, lungimile spațiului arcului și raportul timpilor de ardere a arcului și cel al scurtcircuitului, există o anume dependență. Modificarea uneia din ele duce la modificarea celorlalte.-

Pentru o încărcare de calitate este necesar ca procesul să fie staționar, adică mărimele amintite să rămână neschimbate în procesul de încărcare.-

Totuși, în condițiile reale de lucru, a obține un proces perfect staționar nu este posibil din cauza unor factori perturbatori ocazionali, cum ar fi de exemplu: alimentarea neuniformă cu lichidul de lucru, variațiile tensiunii în rețea de alimentare cu curent și altele.- Dacă regimul de lucru este stabil, atunci aceste abateri ocazionale, chiar și cele foarte mici duc la perturbații de durată a procesului de încărcare sau chiar la oprirea sau întreruperea acestuia.-

Stabilitatea regimului de încărcare este determinată de mai mulți factori și mai ales de: caracteristica externă a

sursei de curent, amplitudinea și forma vibrației sîrmei-electrod.

Sub forma disparată, unele interdependențe au fost arătate și în alte capitole, însă nu sub forma unui principiu general, care este valabil la procedeul vibroarc.-

4.2. - Sistemul de ecuații ce reprezintă interdependența între parametrii de bază ai procesului vibroarc

Procesul de sudare (încărcare) cu scurtcircuitările sistematice ale spațiului arcului - vibroarc - se caracterizează printr-un sir de parametri, ce pot fi divizati în două grupe: inițiale (de plecare) și de lucru. Cele inițiale sunt: tensiunea de mers în gol a sursei de curent  $U_0$ ; rezistența echivalentă  $r_e$ ; inductanța circuitului de sudare  $L$ ; diametrul sîrmei-electrod  $d_e$ ; viteza de avans a sîrmei-electrod  $v_e$ ; compoziția chimică a sîrmei-electrod; lungimea capătului liber al sîrmei-electrod  $H$  și altele.

Cele de lucru sunt: valorile medii ale intensității curentului  $I_s$  și ale tensiunii  $U_s$  ale procesului; tensiunea arcului  $U_a$ ; durata de ardere a arcului  $t_a$  și lungimea medie a spațiului arcului  $l_{md}$ ; valorile maximă  $I_{max}$  și minimă  $I_{min}$  ale intensității curentului în circuit; frecvența scurtcircuitelor  $f$  și durata unui scurtcircuit  $t_k$ ; durata unui ciclu  $t_c$  a procesului și altele.-

S-a arătat mai înainte, existența unor legături reciproce între parametrii făcind parte din aceste două grupe.-

Mai jos sunt prezentate expresiile matematice ale interdependenței între parametrii enumerate mai sus ale procesului la sudarea cu curent de polaritate inversă, ținând cont de următoarele aproximări admisibile:

- parametrii luati separat ai ciclurilor procesului coincid între ei. În același timp, la fiecare ciclu de variație a intensității curentului și a tensiunii lipsește mersul în gol, iar derivata  $\frac{dI}{dt}$  pe perioada de ardere a arcului este mai mică de zero;

- Caracterul real de variație a intensității curentului și a tensiunii procesului (fig.2.2, a) - se înlocuiește printr-o schemă simplificată (fig. 2.2,b);

- suprafața băii de sudare și picătura metalului topit la capătul sîrmiei-electrod nu sînt în mișcare, ceea ce permite ca lungimea arcului să fie determinată în baza schemei din fig. 4.2.;

- sursa de alimentare cu curent de putere limitată, are rezistență echivalentă independentă de sarcină.-

Admitînd cele de mai sus se poate alcătui prin deducere folosindu-ne de figurile 2.2. și 4.2., următoarele ecuații:

$$l_{md} = \frac{v_e}{2} \cdot t_a \quad (4.2)$$

$$t_c = t_a + t_k \quad (4.3.)$$

$$\frac{t_a}{t_c} = \frac{U_s}{U_a} \quad (4.4.)$$

$$I_s = \frac{U_o - U_s}{r_e} \quad (4.5.)$$

$$f = \frac{1}{t_c} \quad (4.6.)$$

care împreună cu cele ce urmează și sunt cunoscute în literatură /9o/:

$$U_a = a + b l_{md} + c I_s \quad (4.7)$$

$$U_s = \frac{1}{2} \left[ U_o + \sqrt{U_o^2 - 4000 k_r r_e U_o^{0,75} d_e^{1,7} (k_v + k_e v_e)} \right] \quad (4.8.)$$

$$t_k = \frac{2J}{U_s} (I_{max} - I_s) \quad (4.9.)$$

$$I_{max} = (1,2 - 550 L) (115 + 1,33 I_s) \quad (4.10)$$

rezolvînd expresiile matematice de interdependență între parametrii de bază de pornire și de lucru ai procesului.

In expresiile de mai sus: a - este suma căderilor de tensiune anodică și catodică; b - este intensitatea cîmpului electric în coloana arcului; c - coeficientul ce caracterizează pantăa caracteristicii statice a arcului față de axa curenților;  $k_r$ ,  $k_v$ ,  $k_e$  - coeficienții ce depind de rezistență echivalentă a circuitului de sudare, lungimea capătului liber și analiza chimică a sîrmiei-electrod, valorile lor sunt date în literatura de specialitate.-

In ceea ce privește relația(4.9) se precizează, ca la bază este luată în considerare (fig.2.2., b,)adică schema simplificată, a oscilogramei intensității de curent și a tensiunii. Pornim de la ecuația diferențială ce exprimă regim nestaționar a circuitului electric în perioada de scurtcircuit:

$$U_o = i_k \cdot r_e + L \cdot \frac{d i_k}{d t}$$

Pentru cazul cînd  $i_k = I_s$  și ținînd cont că:

$$\frac{d i_k}{d t} = \frac{I_{\max} - I_{\min}}{t_k}$$

obținem:

$$U_o = I_s \cdot r_e + L \cdot \frac{I_{\max} - I_{\min}}{t_k}$$

Rezolvînd această relație în funcție de  $t_k$  și ținînd cont de relația (4.5) și că  $I_s = \frac{I_{\max} + I_{\min}}{2}$  obținem formula (4.9)

Relația(4.10) este obținută ca rezultat al studierii unui număr important de oscilograme ale intensității de curent și tensiunii executate cu ocazia încărcărilor cu vibroarc și publicate în lucrările/100, 105/.

Condițiile de lucru asigură precizia de calcul în limite de  $\pm 15\%$ .

Conform sistemului de ecuații (4.2-4.10) se poate pornind de la parametrii inițiali ai regimului - determină parametrii de lucru ai procesului.-

Din sistemul de relații prezentat mai sus, se observă că este simplu de calculat următoarele valori:  $U_s$ ,  $I_s$ ,  $I_{\max}$  și  $t_k$  din relațiile (4.8, 4.5, 4.10, 4.9). După aceea, rezolvînd ecuațiile (4.2, 4.3, 4.4, 4.7) în funcție de  $t_c$  se obține o ecuație de gradul doi, al cărei rădăcină reală este:

$$t_c = \frac{-(a+cI_s - U_s - bv_e t_K) + (a+cI_s)^2 - 2U_s(a+cI_s - bv_e t_k - \frac{1}{2} U_s)}{b \cdot v_e} \quad (4.11)$$

După ce se calculează  $t_c$ , folosind ecuațiile (4.3, 4.2, 4.6, 4.7) este ușor de determinat valorile lui  $t_{md}$ ,  $t_a$ ,  $f$  și  $U_a$ .

Trasind curbele de dependență între  $f$  și  $v_e$  (fig. 4.3,) și  $b$  și  $f$  funcție de  $d_e$  și  $r_e$  (fig. 4.4, a și b) observăm că acestea au cîte un maximum. Valoarea frecvenței maxime a scurtcircuitărilor crește cu scăderea diametrului sîrmei-electrod. Calculele executate de /112/ la fel arată că în mod analog există dependență între  $f$  și  $U_0$ . În toate cazurile frecvența maximă scade cu creșterea inductanței circuitului. După cum se vede din fig. 4.4., asupra valorii maxime a lui  $f$  influențează compoziția chimică, precum și viteza de avans a sîrmei-electrod. Cu creșterea inductanței circuitului frecvența scurtcircuitelor scade (fig. 4.5).

Caracterul dependenței stabilit în baza calculelor matematice, se confirmă experimental. Astfel, unele din date experimentale sunt redate în lucrările /109, 156, 193/ din care se reproduc sub formă de tabel.

Tabela: 4.1.

Parametrii regimului de sudare					Frecvența sc.circ.	
$v_e$ cm/s	$d_e$ mm.	$U_s$ V	$I_s$ A	$L$ mH	calculată	experimentată
3,17	2,0	18,5	195	0,32	43	39 /109/
7,00	0,8	20,0	95	-	125	100 /193/
4,24	1,2	18,5	120	-	94	90 /156/

Din aceste cifre se poate face aprecierea preciziei cu care se calculează parametrii regimului de sudare, care după cum se vede, este acceptabilă.-

In fig. 4.6 sunt trasate curbele determinate prin calcul, precum și cele obținute pe cale experimentală, exprimînd dependența între durata relativă a descărcărilor și tensiunea arcului funcție de viteza de avans a sîrmei-electrod. De aici, rezultă că, cu creșterea vitezei de avans a sîrmei-electrod durata relativă a descărcărilor scade, iar tensiunea lor crește.-

In concluzie, se poate spune, că sistema de ecuații stabilită exprimă calitativ just interdependența parametrilor procesului vibroarc și asigură suficientă precizie la calcularea lor.

CAP. 5 - CERCETARI SI STUDII ASUPRA STABILITATII PROCESULUI DE SUDARE CU VIBROARC

5.1. - Stabilitatea de ardere a arcului de sudare.

Stabilitatea de ardere a arcului se determină de un șir de factori, care pot fi grupați în două categorii:

- prima categorie cuprinde condițiile de desfășurare a proceselor electrice și termice în zonele în preajma electrozilor și în coloana arcului;
- cea de a doua categorie se referă la caracteristicile circuitului electric ce cuprinde sursa de curent și arcul;

Condiția stabilității statice, ce se bazează pe factorii din categoria a doua se exprimă după cum se știe sub forma:

$$K_s = \frac{\partial U_a}{\partial I} - \frac{\partial U_s}{\partial I} > 0 \quad (5.1)$$

unde  $K_s$  - coeficientul de stabilitate statică în V/A;

$\frac{\partial U_a}{\partial I}$  - rezistența dinamică (diferențială) a arcului, în ohmi;

$\frac{\partial U_s}{\partial I}$  - rezistența dinamică (diferențială) a sursei de alimentare cu curent, corespunzătoare punctului de funcționare a caracteristicii externe a sursei de curent, în ohmi;

$I = I_a = I_s$  - curentul arcului și a sursei de curent în A.

Arcul poate să fie stabil chiar dacă condiția (5.1.) nu se îndeplinește. Astfel, în lucrările /214/ sunt arătate posibilitățile obținerii arcului stabil în cazul unei caracteristici externe a sursei de curent crescătoare cind  $K_s < 0$ . Mai mult decât atât, elasticitatea care de obicei se apreciază prin valoarea întinderii arcului pînă la rupere, crește sensibil, dacă caracteristica externă a sursei de curent este crescătoare. Folosirea unor astfel de caracteristici a surSELOR de curent, pentru alimentarea arcului,

mai ales de putere mică, la sudare cu impulsuri (vibroarc) rezultă a fi recomandabilă.-

Cele de mai sus, sănt arătate pentru a scoate în evidență, că unele teorii în această privință trebuie să suferă corecturile necesare, în sensul că:

Criteriul stabilității statice de ardere a arcului ( $K_s > 0$ ), nu totdeauna apare ca necesar și suficient pentru a aprecia stabilitatea sistemului sursă de curent-arc electric de sudare. Adică unul din criteriile exprimate de relația (5,1) și condiția  $L > 0$  stabilite de Acad. Prof. V.P.Nikitin, trebuie completat în cazul general, prin cele de mai sus.-

In continuare autorul tezei stabilește forma generală a stabilității sistemului sursă de curent-arc electric, care să cuprindă și procedeul vibroarc.-

## 5.2. Studiul stabilității procesului de sudare (încărcare) cu vibroarc

### 5.2.1. - Generalități

Calitatea stratului încărcat, prin procedeul vibroarc, în esență depinde, de stabilitatea procesului de încărcare /121/.

In scopul eliminării unor confuzii ce apar în literatură, se precizează, că sub stabilitatea procesului, în cazul nostru, se înțelege proprietatea sau capacitatea sistemului complex sau a mecanismului de acționare, ca în mod automat să restabilească starea sa staționară, atunci cind este scos din această stare, de un factor exterior sau interior, printr-o acțiune de scurtă durată (brusc).-

In literatura de specialitate, pe plan mondial, problemele stabilității procesului vibroarc nu sunt precis rezolvate și nici oglindite. Studiile apărute, sunt încă în fază incipientă pe felii, nelegate între ele și desigur fără o sistematizare unitară a întregii teorii.-

In consecință, sănt încă greutăți mari atât la alegerea surselor de alimentare cu curent, a parametrilor circuitului de sudare, precum și la alegerea regimurilor de lucru.-

In această lucrare se face o încercare de sistematizare a studiilor apărute, în acest domeniu și se prezintă rezultatele și concluziile studiilor și cercetărilor proprii (ale autorului tezei).-

#### 5.2.2. - Continuitatea procesului vibroarc.

Schema de principiu a procesului de încărcare cu vibroarc este prezentată în fig. 2.1. Încărcarea se execută cu sîrma-electrod de 1,2 - 2,0 mm. diametru, care este avansată mecanic continuu spre piesă.- Prin ajutorul unui mecanism special capătul sîrmei-electrod este supus vibrațiilor cu o frecvență de la cîteva zeci pînă la 120 Hz.-

In aceste condiții (descrise în cap.2), schema electrică echivalentă admitînd o sursă de curent cea mai simplă este reprezentată în fig. 5.1., iar în fig. 5.2. sănt reprezentate sub forma simplificată curbele intensității de curent și a tensiunii la încărcare cu vibroarc. Tensiunea arcului este considerată constantă, cu toate că lungimea spațiului arcului se schimbă continuu. Aceasta aproximare se admite, avînd în vedere că amplitudinile vibrațiilor sănt mici. Din schema fig. 5.1. rezultă, că trecerea fără întrerupere a curentului prin circuit, este posibilă dacă parametrii circuitului de sudare sănt aleși în mod corespunzător. Fenomenele ce sănt reprezentate în fig. 5.2,a, se caracterizează printr-o trecere continuă a curentului electric în circuitul de sudare. In timpul scurtcircuitului curentul crește de la valoarea sa minimă  $I_{min}$  pînă la valoarea maximă  $I_{max}$ . In timpul ardării arcului, curentul scade pînă la valoarea  $I_{min}$ , apoi crește din nou și.a.m.d. Curbele reprezentate în fig. 5.2 ,b, corespund unei treceri discontinue a curentului în circuitul de sudare. Cercetările tehnologice au arătat, că regimul cu un curent discontinuu nu este recomandat din cauza înrăutățirii alierii aderenței metalului încărcat cu cel de bază /94/-

Determinarea condiției de trecere neîntreruptă a curentului, se face pornind de la studiile și cercetările publicate în /103, 107/-

Circuitul de sudare se află mereu în regim tranzitoriu, ceea ce permite folosirea ecuațiilor ce exprimă această stare a circuitului electric.-

La scurtcircuitarea circuitului de sudare, avem:

$$U_o = I_k \cdot R + L \frac{di_k}{dt} \quad (5.2)$$

In timpul arderii arcului:

$$U_o = U_a + i_a R + L \frac{di_a}{dt} \quad (5.3)$$

Rezolvînd ecuațiile (5.2) și (5.3) în funcție de  $i_k$  și  $i_a$  și înlocuind și notînd cu:

$$I_k = \frac{U_o}{R};$$

$$I' = \frac{U_a}{R};$$

$$T = \frac{L}{R};$$

unde  $U_o$  – tensiunea de mers în gol în V;  $U_a$  – tensiunea arcului în V;  $i_k$  și  $i_a$  – sunt respectiv valorile instantanee ale curentilor în perioadele de scurtcircuit și de descărcare a arcului în A; R – rezistență ohmică a circuitului de sudare în ohmi; L – inducțanță circuitului în Henry.

valorile instantanee ale curentilor capătă forma:

$$i_k = I_k (1 - e^{-\frac{t}{T}}) + I_{min} \cdot e^{-\frac{t}{T}} \quad (5.4)$$

$$i_a = (I_k - I_s) (1 - e^{-\frac{t}{T}}) + I_{max} \cdot e^{-\frac{t}{T}} \quad (5.5)$$

din expresiile curentilor, deducem durata perioadelor de scurtcircuit  $t_k$  și de ardere a arcului  $t_a$ :

$$t_k = T \cdot \ln \frac{I_k - I_{min}}{I_k - I_{max}} \quad (5.6)$$

$$t_a = T \cdot \ln \frac{I_{max} + I_s - I_k}{I_{min} + I_s - I_k} \quad (5.7)$$

în care:  $I_{min}$  – intensitatea de curent la începutul scurtcircuitului, în A;

- $I_{max}$  - intensitatea curentului la sfîrșitul scurtcircuitului în A;  
 $I_k$  - intensitatea curentului la scurtcircuit în A;  $I_s$  - intensitatea medie de curent la sudare, în A;  
 $T$  - Constanta de timp a circuitului de sudare.-

La trecerea neîntreruptă a curentului, durata ciclului este:

$$t_c = t_k + t_a$$

din relațiile (5.6) și (5.7) se determină valoarea lui  $t_c$ .

Valoarea minimă a constantei de timp cînd procesul se petrece la limita ( $I_{min} = 0$ ), avem:

$$t_c = T_{min} \left( \ln \frac{I_k}{I_k - I_{max}} + \ln \frac{I_{max} + I_s - I_k}{I_s - I_k} \right) \quad (5.8)$$

de unde:

$$\frac{T_{min}}{t_c} = \frac{1}{\ln \frac{I_k}{I_k - I_{max}} \left( 1 - \frac{I_{max}}{I_k - I_s} \right)} \quad (5.9)$$

Dacă în prima aproximatie admitem  $I_{max} = 2 \cdot I_s$  /lo7/, realția poate fi scrisă sub forma:

$$\frac{T_{min}}{t_c} = \frac{1}{\ln \frac{\beta - 1 + \alpha \cdot (1 - 2\beta)}{(1 - 2\alpha)(\alpha + \beta - 1)}} \quad (5.10)$$

unde:  $\alpha = \frac{I_s}{I_k}$  și  $\frac{t_a}{t_c} = \beta$

Caracterul funcției obținute este ilustrat de curbele, reprezentate în fig. 5.3. La creșterea lui  $\frac{t_a}{t_c}$  raportul  $\frac{T_{min}}{t_c}$  scade. Timpul relativ de ardere al arcului  $\beta = \frac{t_a}{t_c}$  influențează mult asupra valorii  $\frac{T_{min}}{t_c}$ .

Conform experimentărilor redate în lucrările /lo3, lo7/ timpul relativ de ardere al arcului depinde de un mare număr de factori. El scade pe măsura scăderii tensiunii de mers în gol, cu creșterea vitezei de avans a sîrmei-electrod, cu intensificarea răcirei arcului și.a.m.d. Experiențele au arătat, că această mărimă practic nu depinde de frecvența vibrației sîrmei-electrod și de inductanța circuitului de sudare și simplifică alegerea parametrilor circuitului de sudare pe calea calculului prin ajutorul formu-

lelor redate mai sus.-

O oarecare creștere a constantei de timp a circuitului de sudare peste valoarea lui  $T_{min}$  nu duce la efecte negative, ci tocmai invers, deoarece prin aceasta se realizează reducerea străpăriri de metal.-

In majoritatea cazurilor, caracterul proceselor transitorii în circuitul de sudare este determinat în principal de inducțanță și nu de rezistență ohmică a circuitului. In consecință ne-ghijind valoarea lui R, putem obține expresia pentru inductanță minimă la care currentul, în circuitul de sudare, trece fără între-rupere:

$$L_{min} = \frac{t_c U_o}{2 \cdot I_s} (1 - \beta) \quad (5.11)$$

Se precizează că  $U_a = \frac{U_o}{\beta}$ ; întrucât însă  $\beta$  este totdeauna subunitar, valoarea medie a tensiunii în arc este totdeauna mai mare decât tensiunea de mers în gol.-

Relația (5.11) nu poate fi folosită în practică deoarece la stabilirea unui regim, în anumite condiții concrete nu se cunoaște nici  $t_c$  și nici  $U_a$ . Aceste date pot fi cunoscute din oscilograme, deci necesitatea unui oscilograf și instalații complexe de laborator plus experimentări ceea ce nu poate fi făcut în condițiile unei uzine.-

Autorul va reveni, în continuare, la stabilirea unei relații practic acceptabile.-

### 5.3. - Condiția stabilității procesului de sudare cu scurtcircuitările sistematice ale spațiului arcului

Procesul de sudare cu scurtcircuitările sistematice ale spațiului arcului, constă din două faze:

- aprinderea și arderea arcului, faza în care se topește electrodul și se formează picătura de metal;
- scurtcircuitul, faza în care se efectuează trecerea metalului de pe sîrma-electrod de piesă.-

Instabilitatea procesului poate să se producă în orice fază. Pentru proiectarea și alegerea surselor de alimentare cu cu-

rent, deosebit de important este cunoașterea stabilității în faza scurtcircuit.-

Din punct de vedere al stabilității, rolul important îl joacă următoarele fenomene în timpul scurtcircuitului: apropierea cu viteza constantă a sîrmei-electrod de baia de metal topit (în prezent, în acest scop, aproape exclusiv se utilizează mecanisme cu viteza constantă de avans a sîrmei-electrod); acumularea energiei în puntea cu metal lichid între sîrma-electrod și baie; reducerea secțiunii și evaporarea punții metalice ce are caracterul unei explozii electrice. Momentul de evaporare a punții determină stabilitatea procesului în faza de scurtcircuit.- Se consideră, că stabilitatea se va deranja în acest moment, cînd capătul sîrmei-electrod netopit va atinge oglinda băii și puntea de metal topit va fi lichidată.-

Dacă pentru asigurarea stabilității procesului de sudare, în faza de scurtcircuit timpul  $t$ , în decursul căruia se va acumula suficientă energie pentru a putea evapora puntea lichidă de metal, acest timp trebuie să fie mai mic decît timpul  $t_{at}$  necesar atingerii oglinzii băii de către capătul netopit al sîrmei-electrod, adică:

$$t < t_{at}$$

Făcînd o serie de considerații de natură fizică, transformări și simplificări matematice<sup>/191/</sup>, se obține relația:

$$I_{k\min} > \frac{6,54 \cdot \varrho_{ev} \cdot \delta_e \cdot E_c}{\varrho \cdot j \cdot (U_a - U_{ka})} \cdot v_e \quad (5.12)$$

unde:  $I_{k\min}$  - curentul de scurtcircuit minim (A);  $j$  - densitatea de curent ( $\text{Am}^{-2}$ );  $U_a$  - tensiunea arcului (V);  $U_{ka}$  - suma căderilor de tensiune pe catod și anod (V);  $d_e$  - diametrul sîrmei-electrod (mm);  $v_e$  - viteza de avans a sîrmei-electrod ( $\text{m/s}$ );  $\varrho$  - rezistența metalului punții topite ( $\text{m}^3 \cdot \text{kg} \cdot \text{s}^{-3} \cdot \text{A}^{-2}$ );  $\varrho_{ev}$  - cîldaura de evaporare a metalului ( $\text{m}^2 \cdot \text{s}^{-2}$ );  $\delta_e$  - densitatea metalului topit ( $\text{kg} \cdot \text{m}^{-3}$ );  $E_c$  - intensitatea cîmpului electric ( $\text{V/m}$ ).-

Relația (5.12) de mai sus, reprezintă condiția de stabilitate a procesului de sudare cu scurtcircuitările spațiului arcului. Acest proces, este stabil numai în cazul cînd curentul de scurtcircuit va fi mai mare decît o anumită valoare, invers pro-

portională tensiunii coloanei arcului ( $U_c = U_a - U_{ka}$ ). Această valoare, va fi cu atît mai mare, cu cît diametrul și viteza de avans a sîrmei-electrod este mai mare. Condiția stabilită permite să se prescrie anumite cerințe față de caracteristicile sursei de alimentare cu curent, în funcție de regimul de sudare.

Relația de mai sus, conține o serie de constante fizice ce caracterizează proprietățile materialului ( $q_{ev}, g, \rho$ ) precum și valoarea lui  $j$ . Valoarea lui  $E_c$  este dată în literatura de specialitate de exemplu în /41, 42/.-

Ceea ce trebuie remarcat, și considerăm de o deosebită importanță, este că relația dedusă nu conține nici un fel de coeficienti de corecție, ce ar trebui folosiți pentru ca rezultatele calculelor teoretice să corespundă cu cele determinate pe cale experimentală, aceasta atestă că, condiția stabilită este universal valabilă.-

Exemplu, pentru un oțel obișnuit cu carbon puțin, avem:

$$\frac{q_{ev} \cdot g}{\rho \cdot j} = 2,72 \cdot 10^5 \frac{A_s}{m^2} \quad (5.13)$$

In sistem SI de unități:  $q_{ev} = 1,45 \text{ kcal/g} = 6,1 \cdot 10^6 \text{ m}^2 \text{ s}^{-2}$ ;  $g = 7 \cdot 10^3 \text{ kgf} \cdot \text{m}^{-3}$ ;  $\rho = 1,12 \cdot 10^{-6} \text{ m}^3 \text{ kgf} \cdot \text{s}^{-3} \text{ A}^{-2}$ ;  $j = 1,4 \cdot 10^{11} \text{ A} \cdot \text{m}^{-2}$ .

In calcul s-a luat:  $E_c = 3 \cdot 10^3 \text{ V/m}$ ;  $U_{ka} = 16,5 \text{ V}$ ;  $U_c$  - se determină cu oscilograf.-

In aceste condiții relația (pentru sîrma-electrod din oțel cu carbon puțin) capătă forma:

$$I_{k_{min}} > \frac{1,78 \cdot 10^6 \cdot E_c \cdot d_e}{U_a - U_{ka}} \cdot v_e \quad (5.14)$$

Fig. 5.4, reprezintă rezultatele obținute pe cale experimentală și exprimă dependența  $I_k = f(v_e)$ . Rezultă, că datele determinate prin calcul coincid suficient de bine cu cele experimentale.-

Relația obținută pentru stabilitate (5.12) /196/, permite prestatiblarea prescripțiilor în vederea calculării și proiectării surselor noi de alimentare cu curent, precum și la alegerea

lor în cazul sudării cu scurtcircuitările spațiului arcului.-

In concluzie, se poate spune:

- Stabilitatea procesului de sudare cu scurtcircuitările spațiului arcului poate fi deranjată fie în faza de scurtcircuit, fie în momentul de reaprindere și ardere a arcului.-

- Procesul este stabil, dacă curentul de scurtcircuit depășește o anumită valoare invers proporțională cu tensiunea spațiului arcului și cu atât mai mare cu cât este mai mare diametrul și viteza de avans a sîrmei-electrod (relația 5.14).-

- Relațiile matematice de stabilitate obținute (5.12) sau (5.14) permit ca prin ajutorul lor, să putem prevedea prescripțiile științifice justificate, la calcularea (proiectarea) noilor surse de alimentare cu curent, sau la alegerea acestor surse, pentru a fi folosite la sudare cu scurtcircuitările sistematice ale spațiului arcului.-

#### 5.4. Exprimarea cantitativă a stabilității și stării stationare în procesul de încărcare cu vibroarc

Sînt apărute extrem de puține lucrări ce se ocupă cu stabilitatea procesului de încărcare cu vibroarc, cît și de menținerea lui staționară /107, 68/. De cele mai multe ori însă, interpretarea noțiunilor este numai aproape aceeași. În ceea ce privește aprecierea, respectiv evaluarea cantitativă a acestora, fie că nu este suficient fundamentată, fie că ea lipsește complet.-

Procesul de încărcare cu vibroarc constă dintr-un sir de cicluri ce se repetă, care însă la un moment dat poate să se deosebească între ele, atât prin durată cît și prin valoarea intensității de curent cît și a tensiunii. O astfelde diferență între cicluri, este provocată de schimbările ce se produc în însăși procesul de încărcare la parametrii lui neschimbați (oscilațiile picăturii de metal topit, rătăcirile petei anodice și.a.m.d.). Variabilitatea procesului sau staționabilitatea lui, trebuie să caracterizeze precizia de repetare a ciclurilor. Cu cît este mai precisă această repetare (reproducere) a ciclurilor cu atât procesul este mai staționar.-

Din punct de vedere practic, procesul staționar de încărcare trebuie să asigure trecerea uniformă a elementelor chimice ale sîrmei-electrod în stratul încărcat, o structură cît mai uniformă a lui, reducerea pierderilor metalului sîrmei-electrod și.a.m.d. Aplicarea sau introducerea în practică se face numai a acelor regimuri de încărcare, care (indiferent de natura perturbărilor ce apar la încărcare) asigură stratul de metal încărcat de bună calitate.-

Intrucît, asupra calității picăturii metalului topit a sîrmei-electrod influențează durata perioadelor, se introduce noțiunea de durată medie a ciclului și a abaterii lui medii /17, 111, 31/.-

Durata medie a ciclului, poate fi calculată ca fiind raportul între durata procesului și numărul de cicluri. Diferența între durata ciclului și valoarea lui medie reprezintă abaterea duratei. Media aritmetică a acestei mărimi fără a ține cont de semn, este tocmai abaterea medie a duratei ciclului. Totuși, această mărime nu poate fi luată drept indicator al stării staționare de încărcare, întrucât la o durată mică a ciclului o abdere mică schimbă cursul procesului, în timp ce o aceeași abdere în cazul duratei mari nu va influența procesul. De aceea, se consideră că procesul de încărcare staționar este corect evaluat în baza raportului:

$$K_{st} = \frac{t_{cmd}}{\Delta t_{cmd}} \quad (5.15)$$

în care  $K_{st}$  - coeficientul de stare staționară a procesului;  $t_{cmd}$  - durata medie a ciclului;  $\Delta t_{cmd}$  - abaterea medie a duratei ciclului. Cu cît este mai mare  $K_{st}$  cu atît procesul de încărcare este mai staționar, cu cît este mai precisă reproducerea ciclurilor în timp. În unele cazuri poate să apară mai convenabil ca reproducerea ciclurilor să fie determinată în baza puterii medii sau intensității de curent mediu.-

După cum au arătat cercetările /17, 111/ carbonul se consumă în principal în perioada de ardere a arcului. În consecință, durata de ardere a arcului trebuie să fie strict determinată; se poate să fie luată drept criteriu de bază pentru aprecierea stabilității procesului de încărcare în cazul scurtcircuitărilor sistematice.

tematicice ale spațiului arcului.-

In acest caz, drept indicele stabilității procesului de încărcare poate fi considerat raportul între timpul mediu de ardere a arcului față de abaterea duratei acestei perioade la o perturbare mică

$$K_s = \frac{t_{a_{md}}}{\Delta t_{a_{md}}} \quad (5.16)$$

în care:  $K_s$  - coeficientul de stabilitate a procesului;  $t_{a_{md}}$  - durata medie a perioadei de ardere a arcului;  $\Delta t_{a_{md}}$  - abaterea medie a duratei perioadei de ardere a arcului.-

Pentru să putea determina influența regimului de încărcare asupra funcționării staționare și a stabilității procesului au fost executate o serie de experimentări /18/. Sursa de curent era formată din două redresoare legate în serie cu un regulator de tensiune primară.-

S-a folosit sîrma-electrod cu  $\varnothing 1,6$  mm cu un conținut de 0,69% C și 0,43% Mn. Variatiile curentului și a tensiunii au fost controlate printr-un oscilograf.-

Durata de ardere a arcului se determină începînd cu momentul terminării scurtcircuitului între electrozi și pînă la începerea scurtcircuitului următor sau mersului în gol. Începutul scurtcircuitării spațiului arcului se fixează începînd cu momentul scăderii brusă a tensiunii și pînă la valoarea apropiată de zero, iar sfîrșitul scurtcircuitării la începutul creșterii brusă a tensiunii. Frecvența scurtcircuitelor se calculează din raportul între numărul ciclurilor și durata de fotografiere (oscilograma).

Drept durată medie a ciclurilor se lua valoarea inversă a frecvenței scurtcircuitărilor, spațiului arcului. Abaterea medie a duratei perioadelor se determină în baza oscilogramei dintr-un astfel de număr de cicluri, care asigură exactitatea datelor experimentale egală cu 0,95 la o eroare admisă de 3% stabilitatea procesului se calculează conform formulei (5.15).-

Stabilitatea încărcării se determină prin schimbarea tensiunii sursei de curent și prin introducerea în circuit în serie cu ea a inductantei bobinei de self cu un miez magnetic cu circuit închis.-

Experimental s-a stabilit, că stabilitatea procesului depinde de tensiunea sursei de curent. Cu creșterea tensiunii, stabilitatea scade pentru toate vitezele de avans a sîrmei-electrod. Cu cît viteza de avans a ei este mai mare, cu atît procesul este mai puțin stabil (fig. 5.5).-

Cu creșterea numărului de spire introduse în circuit ale inductanței, stabilitatea procesului crește lin (se îmbunătățește) fig. 5.6.

Astfel, pentru mărirea stabilității procesului este recomandabil ca în serie cu sursa de curent să fie legată bobina de inductanță. În cazul încărcării de la un generator cu caracteristica externă rigidă, necesitatea introducerii inductanței suplimentare cade.-

Variațiile tensiunii din rețea, formează una din perturările esențiale în cazul încărcării de la un redresor drept sursă de curent. De aceea, a fost dedusă dependența duratei de ardere a arcului în funcție de tensiunea sursei de curent (fig.5.7). Cu schimbarea tensiunii la o viteză de avans a sîrmei-electrod  $v_e = 370 \text{ m/h}$  durata de ardere a arcului se schimbă mult mai rapid, decât la un  $v_e = 200 \text{ m/h}$ . În mod corespunzător, stabilitatea procesului de încărcare la creșterea vitezei de avans a sîrmei-electrod scade. Astfel, la  $U_0 = 26 \text{ V}$  și  $v_e = 200 \text{ m/h}$  la o creștere a tensiunii în rețea cu 10% durata de ardere a arcului crește cu 1,5  $\mu\text{s}$ . În acest caz  $K_s = 3,1$ . La  $U_0 = 32 \text{ V}$  și  $v_e = 262 \text{ m/h}$  la creșterea tensiunii în rețea cu 10% durata de ardere a arcului crește pînă la 3,8  $\mu\text{s}$ . Coeficientul de stabilitate variază foarte puțin, la fel se schimbă acest coeficient și la  $v_e = 300 \text{ m/h}$ . Si, în sfîrșit, la  $v_e = 370 \text{ m/h}$  coeficientul de stabilitate scade pînă la 2,3.-

Aplicarea practică a încărcării cu  $v_e = 300 \text{ m/h}$  este greu de realizat, din cauza unei stabilități reduse a procesului.-

Se consideră important faptul, că în cele de mai sus s-a sărit o metodă și un criteriu de apreciere cantitativă a stabilității și a stării staționare a procesului de încărcare cu vibroarc.

Desigur, important este și faptul stabilirii influenței tensiunii sursei de curent și a inductanței suplimentare asupra stării staționare a procesului de încărcare cu arc deschis, precum

și influența vitezei de avans a sîrmei-electrod asupra stabilității procesului de încărcare cu vibroarc.-

### 5.5. Analiza în ansamblu a stabilității regimului de încărcare cu procedeul vibroarc.

#### 5.5.1. - Generalități

Productivitatea sudării, respectiv a încărcării cu arc electric, calitatea cusăturilor și a straturilor încărcate, pierderile metalelor electrodului prin stropire în mare măsură depind de stabilitatea proceselor de sudare. În această privință au apărut unele lucrări, însă problema stabilității și în particular a autoreglării arcului au fost cercetate mai mult cu referire la sudarea arcului "lung", cînd nu se produc scurtcircuitările periodice și sistematic ale circuitului de sudare.-

Autoreglarea proceselor de sudare cu scurtcircuiteările sistematice ale spațiului arcului-pînă acum- nu a fost cercetată de către foarte multă măsură. Concluziile esențiale la care se ajunge, pot fi exprimate sub forma că sistema de autoreglare nu reacționează la astfel de perturbări cum sunt cele provenite din variațiile rapide ale lungimii arcului în timpul formării scurtcircuitului sau la producerea descărcării arcului de îndată după ruperea circuitului de sudare /41/.

Practic, toate instalațiile automate de încărcare cu vibroarc, ce sunt azi în funcțiune, lucrează bazîndu-se pe principiul de autoreglare.

Fenomenul de autoreglare la încărcare cu vibroarc, se determină prin variația valorilor medii pe ciclu /121/ (și nu a celor instantane) ale lungimii arcului, tensiunii și intensității de curent. La aceeași concluzie au ajuns și autorii lucrărilor /105, 107/.

Pornind de la rezultatele cercetărilor obținute și publicate în /106/ se efectuează mai jos o analiză cantitativă a stabilității regimului de încărcare cu vibroarc. Toate cercetările și experimentările au fost executate cu un cap automat de încărcare cu viteza constantă de avans a sîrmei electrod, adică când stabilitatea procesului este asigurată prin fenomenul

de autoreglare a regimului de la sursele de alimentare cu curent avind caracteristicile externe rectilinii.-

Din oscilogramele ridicate cu ocazia cercetărilor (fig. 5.8.) rezultă că în funcție de corelație între parametrii inițiali și regimului de încărcare, caracterul variației tensiunii și intensității de curent în circuit, poate fi diferit. Fig. 5.8., reprezintă formele de bază ale oscilogramelor tensiunii între electrod și piesă și a intensității de curent, pentru o stare stabilizată a circuitului. Variind un oarecare parametru de pornire sau mai mulți, forma oscilogramelor poate fi modificată. Astfel, spre exemplu, cu creșterea inductanței circuitului oscilogramelor din figură sănăcorespunzător formelor a,b și c. Cu creșterea vitezei de avans a sîrmei-electrod, forma oscilogramelor se va schimba corespunzător cu pozițiile din fig. 5.8,d și e.-

Din punct de vedere al productivității încărcării, a finetăii suprafetei stratului încărcat, calității de îmbinare a metalului de bază cu cel de adaos (încărcat), cantitatea de metal de adaos pierdut și a majorității altor indicatori tehnico-economici ai procesului, este de dorit procedeul de încărcare ce se caracterizează prin oscilogramele de forma b. În acest caz, durata ciclului procesului  $t_c$  aproximativ este egală cu durata perioadei de vibrație a sîrmei-electrod  $t_v$ . Procesul decurge fără să se formeze perioade de mers în gol pe durata ciclului procesului. Lipsesc, la fel și mersurile în gol lungi (de durată) sistematice precum și scurtcircuitările.-

Un astfel de proces trebuie considerat ca normal. Corespunzător celor de mai sus, sub stabilitatea regimului, se înțelege capacitatea sistemului de autoreglare, cu parametrii de pornire determinați ale regimului, se asigură caracterul de variație prevăzut al tensiunii și intensității de curent în circuit (corespunzător fig. 5.8, b) și să anihileze influențele perturbărilor asupra sistemului.-

In baza considerațiunilor despre esența autoreglării regimului de încărcare cu vibroarc, așa cum ele rezultă și din lucrările /42, 121/ toate cálculurile ce urmează se vor baza pe valori medii ale parametrilor procesului.

5.52. Studiul condițiilor de stabilitate a procesului viațării în baza ecuației diferențiale de mișcare a sistemului.

Drept bază pentru metoda de cercetare a stabilității, luăm analiza ecuației diferențiale de mișcare a sistemului cercetat. Pentru alcătuirea ecuației diferențiale amintite, se adoptă următoarele ecuații de bază:

1. Ecuațiile ce exprimă variația medie lungimii circuitului  $l_{md}$  pe perioada descărcării arcului și a mediei lungimii arcului pe un ciclu al procesului  $l_{md}$ ;

$$l_{md} = \frac{\lambda}{2} \left( \frac{1}{\frac{t_a}{t_c} \pi} \cdot \sin \frac{t_a}{t_c} \pi \cdot \cos \frac{t_a - 2nt_a}{t_c} \pi - \cos \frac{2nt_a}{t_c} \pi \right) - \frac{1}{2} v_e \cdot t_a \quad (5.17)$$

$$l_{md_c} = l_{md} \cdot \frac{t_a}{t_c} \quad (5.18)$$

în care  $\lambda$  - amplitudinea vibrației sîrmei-electrod;

$v_e$  - viteza de avans a sîrmei-electrod;

$t_a$  - durata descărcării arcului;

Ecuatia (5.17) este publicată în lucrarea /106/, în care:

$$n = 0,5 + \frac{1}{\frac{t_a}{t_c} \cdot 2\pi} \cdot \arcsin \frac{v_e \cdot t_a}{\lambda \sin \frac{t_a}{t_c} \pi}$$

2. Ecuația ce exprimă dependența valorii mediei a tensiunii de descărcare a arcului  $U_a$ , funcție de media lungimii arcului  $l_{md}$  pe perioada de descărcare a arcului și de intensitatea medie de curent I:  $U_a = a + b \cdot l_{md} + c \cdot I$  . (5.19)

unde a, b, c - sunt coeficienții ale căror valori pentru simplitate se consideră a fi constante, ale reprezentă: a - suma căderilor de tensiune anodică și catodică; b - intensitatea cîmpului electric în coloana arcului; c - coeficientul ce caracterizează înclinarea caracteristicii statice a arcului.-

3. Ecuația ce determină puterea medie, ce se deținează în zona de lucru:  $W = U \cdot I$

unde  $U$  = tensiunea medie pe ciclu.  
Înfiind cont că  $U = U_a \cdot \frac{t_a}{t_c}$  rezultă că:  $W = U_a \cdot I \cdot \frac{t_a}{t_c}$  (5.20)

4. Ecuatia starii circuitului electric, in conditiile enunțate, adică scurtcircuitările sistematice ale circuitului crează condițiile la care circuitul electric tot timpul se află în regim tranzitoriu. Aceasta permite, ca pentru relațiile de dependență a parametrilor ciclului în funcție de diferiți factori, să fie aplicate ecuațiile de stare nestaționară a circuitului electric, care pentru perioada de descărcare a arcului are forma:

$$E - U_a \cdot \frac{t_a}{t_c} = I \cdot r + L \frac{dI}{dt}$$

unde  $E$  - f. e. m. a sursei de curent;

$r$  - rezistența sursei de curent și a circuitului.

Dacă în locul lui  $r$  se introduce  $r_e$ , care reprezintă suma rezistenței echivalente a sursei de curent și rezistenței circuitului (simbolic această rezistență s-o numim rezistență echivalentă a circuitului), atunci în locul lui  $E$  putem introduce tensiunea de mers în gol a sursei de curent  $U_o$  (cu alte cuvinte folosind metoda rezistențelor echivalente) avem:

$$U_o = U_a \cdot \frac{t_a}{t_c} = I \cdot r_e + L \frac{dI}{dt} \quad (5.21)$$

5. Ecuatia, care determină creșterea vitezei medii de topire a sîrmei-electrod  $v_t$  (după cum se știe egală cu  $\frac{dl_{md}}{dt} c$ ), la o abatere pe un ciclu a lungimii medii a arcului față de valoarea lui stabilizată. Conform rezultatelor obținute de /113/, viteza medie de topire asîrmei-electrod este proporțională cu puterea medie degajată în zona de lucru. În consecință putem scrie:

$$\frac{dl_{md}}{dt} c = k_w (W_t - W) \quad (5.22)$$

unde  $W_t$  - puterea medie "instantane" (prin abaterea mediei pe ciclu a lungimii arcului față de valoarea de regim), corespunzătoare vitezei medii "instantane" de topire a sîrmei-electrod  $v_t$ ;

$W$  - puterea medie de regim (stabilizată) care se degajă în zona de lucru, corespunzătoare vitezei medii de topire a sîrmei-electrod  $v_e$ .

Conform relației (2.6) la topire, putem scrie:

$$W_t = 1000 k_A \cdot k_r \cdot U_o^{3/4} \cdot d_e^{5/3} (k_v + k_c \cdot v_t) \quad (5.23)$$

Valorile coeficienților  $k_A$ ,  $k_r$ ,  $k_v$  și  $k_c$  se determină conform relațiilor (2.7). Coeficientul  $k_w$  poate fi exprimat sub forma:

$$k_w = \frac{v_t}{w_t} \text{ sau cînd } \Delta l_{mdc} \rightarrow 0$$

$$k_w = \frac{dv_t}{dw_t}$$

Determinînd derivata  $\frac{dv_t}{dw_t}$  din ecuația (5.23), obținem:

$$k_w = \frac{1}{1000 k_A k_r k_c U_o^{3/4} I_e^{5/3}} \quad (5.24)$$

In ecuațiile alese (5.17 - 5.22) pentru alcătuirea ecuației diferențiale, mărimele variabile sunt  $l_{md}$ ,  $l_{mdc}$ ,  $t_a$ ,  $U_a$ ,  $I$  și  $w_t$ . Numărul variabililor este egal cu numărul ecuațiilor, deci sistema de ecuații este determinată. Ecuatiile (5.17 - 5.21) la  $\frac{dI}{dt} = 0$ , exprimă suficient de precis, starea de regim a circuitului (acest lucru rezultă și din lucrările /105, 121/-).

Ecuatiile (5.17; 5.18; 5.20 și 5.21) sunt neliniare. Pentru simplificarea analizei se efectuează linearizarea lor după metoda Leapunov și se scrie întregul sistem de ecuații sub forma creșterilor mici, obținem:

$$l_{md} = M \cdot \Delta t_a ;$$

$$l_{mdc} = \frac{1}{t_c} (l_{md} \cdot \Delta t_a + t_a \cdot \Delta l_{md}) ;$$

$$\Delta U_a = b \cdot \Delta l_{md} + c \cdot \Delta I ;$$

$$\begin{aligned} \Delta w_t &= \frac{1}{t_c} (U_a \cdot I \cdot \Delta t_a + U_a \cdot t_a \Delta I + I \cdot t_a \cdot \Delta U_a) ; \\ &- \frac{1}{t_c} (U_a \cdot \Delta t_a + t_a \cdot \Delta U_a) = r \cdot \Delta I + L \cdot \frac{d \Delta I}{dt} ; \end{aligned}$$

$$\frac{d \Delta l_{md}}{dt} = k_w \cdot \Delta w_t$$

Aici:  $M = \frac{\lambda}{2 \cdot t_a} \left[ \cos \frac{2(1-n)t_a}{t_c} \pi + 2n \sin \frac{t_a}{t_c} \pi \cdot \frac{\sin(1-2n)t_a}{t_c} \pi + 2n \pi \frac{t_a}{t_c} x \right.$

$x \sin \frac{2nt_a}{t_c} \pi - \frac{t_c}{t_a} \sin \frac{t_a}{t_c} \pi \cdot \cos \frac{(1-2n)t_a}{t_c} \pi \left. \right] - \frac{1}{2} \cdot v_e . \quad (5.24)$

Ecuatia diferențială a mișcării sistemului poate fi formată în raport cu oricare variabilă. Mai comod este ca rezolvarea să se facă în raport cu creșterea intensității curentului, deoarece  $I$  și  $\Delta I$  pot fi destul de precis determinați pe cale experimentală prin ajutorul oscilogramelor, ca rezultat al rezolvării sistemului de ecuații în raport cu  $\Delta I$  astfel să obține o ecuație diferențială liniară de ordinul doi /106/:

$$\frac{L}{k_w b \left( U_a \cdot \frac{t_a}{t_c} - r_e I \right)} \left( 1 - \frac{a + c \cdot I}{U_a + M \cdot b \cdot t_a} \right) \cdot \frac{d^2 \Delta I}{dt^2} + \frac{1}{U_a \cdot \frac{t_a}{t_c} - r_e I} \times \\ \left[ \frac{r_e + c \cdot \frac{t_a}{t_c}}{k_w b} \left( 1 - \frac{a + c \cdot I}{U_a + M \cdot b \cdot t_a} \right) - IL \right] \frac{d \Delta I}{dt} + 1 = 0 \quad (5.25)$$

unde  $L$ ,  $U$ ,  $U_a$ ,  $t_a$  și  $I$  reprezintă valorile parametrilor la starea de regim staționară.-

Pentru simplificarea expresiei introducem următoarele înlocuiri:

$$I = \frac{U - U_a \cdot \frac{t_a}{t_c}}{r_e} \quad \left. \begin{array}{l} \\ \end{array} \right\} \quad 1 - \frac{a + c \cdot I}{U_a + M \cdot b \cdot t_a} = \gamma \quad (5.26)$$

Astfel, obținem ecuația diferențială caracteristică, ca urmare a înlocuirilor în ecuația (5.25) cu cele stabilite în (5.26).

$$\frac{+ L \cdot \gamma}{k_w b \left( 2U_a + \frac{t_a}{t_c} - U \right)} \cdot p^2 + \frac{1}{2U_a + \frac{t_a}{t_c} - U} \times \\ \left[ \frac{\left( r_e + c \frac{t_a}{t_c} \right) \gamma}{k_w b} - \frac{L}{r_e} \left( U - U_a \frac{t_a}{t_c} \right) \right] \cdot p + 1 = 0 \quad (5.27)$$

unde  $p$  - este operatorul ecuației caracteristice.

Introducem următoarele notătii pentru coeficienții ecuației caracteristice:

$$\frac{L \cdot \gamma}{k_w b \cdot \left( 2U_a + \frac{t_a}{t_c} - U \right)} = T_2^2 \quad (5.28)$$

$$\frac{1}{2U_a \cdot \frac{t_a}{t_c} - U} \cdot \left[ \frac{g_e(r_e + c \cdot \frac{t_a}{t_c})}{k_w \cdot b} - \frac{L}{r_e} (U - U_a \cdot \frac{t_a}{t_c}) \right] = T_1 \quad (5.2e)$$

Deci relația (5.27) capătă forma:

$$T_2^2 \cdot p^2 + T_1 \cdot p + 1 = 0 \quad (5.3o)$$

Ecuția (5.27) permite determinarea caracterului proceselor tranzistorii în circuit, analizarea condițiilor stabilității regimului, evaluarea cantitativă a eficacității autoreglării parametrilor procesului și să se determine limitele stabilității regimului pentru un sir de parametri ai acestuia în cazul perturbărilor mici.-

Stabilitatea sistemului de reglare cercetat, al cărui stare este dată prin parametrii determinați ai scurtcircuitului, se asigură dacă toți coeficienții ecuației diferențiale formate sunt pozitivi.-

După cum se știe, caracterul proceselor tranzistorii în sistem exprimat de ecuația diferențială liniară de gradul doi, se determină de raportul între constantele de timp  $T_1$  și  $T_2$ . Dacă  $\frac{T_1}{2T_2} < 1$ , atunci în sistem se observă procese tranzistorii oscilațioare. Dacă  $\frac{T_1}{2T_2} > 1$  atunci procesele tranzistorii devin aperiodice.

Calculele practice efectuate de Prof. Pațchevici I.Ia. /106/ pentru un larg domeniu de parametri ai regimului, au arătat, că în toate cazurile reale de încărcare cu vibroarc, procesele tranzistorii în circuit au caracter oscilatoriu.-

Această concluzie, a fost confirmată pe cale experimentală prin oscilogramele ridicate pentru tensiune și intensitate de curent după o scurtă intrerupere a circuitului (mai puțin de 0,1 s), adică în timpul unei creșteri brusă a tensiunii de la zero pînă la valoarea ei de lucru.-

Analizînd coeficienții ecuației (5.27), se pot obține următoarele condiții de stabilitate ale sistemului, (de fapt scopul urmărit de autor, în acest subcapitol):

1. Inegalitatea  $2U_a \cdot \frac{t_a}{t_c} - U_o > 0$ , poate fi scrisă sub

forma  $U > \frac{1}{2} U_o$ . După cum se știe, la sursele de curent cu caracteristicile externe în linie dreaptă, dependența puterii sursei funcție de intensitatea curentului în circuit, are un maximum. Această maximum în cazul curentului de sudare egal cu jumătate din valoarea curentului de scurtcircuit, sau ceea ce este același lucru la tensiunea de lucru, egală cu jumătatea tensiunii de mers în gol. De aceea, în condiția obținută, rezultă că stabilitatea regimului este asigurată numai atunci când acesta se află pe ramura urcătoare a curbei ce reprezintă dependența puterii sursei de alimentare funcție de intensitatea de curent (vezi fig. 2.a).-

Această condiție nu este obligatorie în cazul sudării cu arc lung (fără scurtcircuitări sistematice). Ea este o condiție specifică pentru încărcarea cu procedeul vibroarc.

Trebuie subliniat, că de obicei tensiunea minimă de lucru  $U_{min}$  este sensibil mai mare decât jumătate din tensiunea de mers în gol. Valoarea raportului  $\frac{0,5 U_o}{U_{min}}$ , care caracterizează gradul de apropiere a limitei către puterea maximă a sursei de curent (regimul maxim după putere), depinde de un șir de factori.-

Din inegalitatea analizată rezultă și o altă condiție, care determină valoarea minimă admisă a duratei relative a descărcărilor arcului:

$$\frac{t_a}{t_c} > \frac{U_o}{2 U_a} \quad (5.31)$$

2. Din  $\frac{t_a}{t_c} > 0$ , obținem condiția:

$$M > -\frac{l_{md}}{t_a} \quad (5.32)$$

Acestei condiții răspund toate valorile lui M ce se află în fig. 5.9. la stînga punctului C, care determină valoarea maximă a duratei relative a descărcării arcului  $t_a$ . Condiția obținută explică cazurile ce cîteodată se observă în practică, cînd la încărcarea cu vibroarc de la o sursă de curent cu tensiunea de mers în gol mai ridicată, aducerea jetului de apă în zona de lucru îmbunătățește stabilitatea regimului de încărcare. Explicația este, că tensiunea medie de descărcare a arcului la încărcare sub jet de apă, este cu mult mai mare decât în aer. De aceea

aducerea apei reduce valoarea lui  $\frac{t_a}{t_c}$ , trecindu-l din zona nes-  
tabilă în zona stabilă.

Astfel, inegalitățile (5.31) și (5.32) determină întregul  
cimp (zona) valorilor  $\frac{t_a}{t_c}$ , ce asigură stabilitatea sistemului.

### 3. Din inegalitatea:

$$\frac{(r_e + c \frac{t_a}{t_c})}{k_w \cdot b} - \frac{L}{r_e} (U_o - U_a \frac{t_a}{t_c}) > 0$$

obținem condițiile:

$$r_e + c \frac{t_a}{t_c} > \frac{k_w \cdot b \cdot I \cdot L}{r_e} \quad (5.33)$$

$$L < \frac{r_e (r_e + c \frac{t_a}{t_c})}{k_w \cdot b (U_o - U_a \frac{t_a}{t_c})} \quad (5.34)$$

Conform condiției (5.33) rezistența dinamică a circuitu-  
lui, egală în cazul nostru cu  $r_e + c \frac{t_a}{t_c}$ , trebuie să depășească  
o anume valoare, în particular, proporțională cu inductanța cir-  
cuitului. Relația (5.34) determină inductanța maximă admisibilă  
a circuitului care asigură funcționare stabilă a regimului de  
încărcare.

Este important de scos în evidență, că această condiție  
(5.33) corectează teoria stabilită de prof. V.P.Nikitin<sup>+)</sup> că aceas-  
tă valoare să fie simplu mai mare de zero. Vom reveni la această  
simplă constatare în capitolul (7).

La analiza astabilității sistemelor de sudare cu autore-  
glare, de obicei drept criteriu a stabilității sistemului se ia  
timpul procesului tranzitoriu (timpul de reglare) sau coeficientul  
de stabilitate /140/, care reprezintă mărimea inversă constantă  
de timp a procesului tranzitoriu. Se consideră mai potrivit, să  
se folosească coeficientul de stabilitate, deoarece între această  
și stabilitate există dependență directă. Metoda analogă poate  
fi aplicată în cazul nostru pentru aprecierea cantitativă a sta-  
bilității.

<sup>+) V.P.Nikitin - Electriceștie și generatori și transformatori de  
dugovoi svarchi. CNT I 1937 și /194/.</sup>

Intr-un sistem cu procese tranzitorii oscilatorii, constanta de timp  $T_c$  este intr-un raport de:

$$T_c = \frac{2 \cdot T_2}{T_1}$$

sau dacă ținem cont de (5.28) și (5.29), după formula:

$$T_c = \frac{2 \cdot L \cdot g_e}{(r_e + c \frac{t_a}{T_c}) - \frac{L \cdot k_w \cdot b}{r_e} \cdot (U_o - U_a \frac{t_a}{T_c})}$$

Mărimea inversă constantei de timp ( $\frac{1}{T_c}$ ) va fi:

$$K_{ra} = \frac{r_e + c \frac{t_a}{T_c}}{2 \cdot L} - \frac{k_w \cdot b (U_o - U_a \frac{t_a}{T_c})}{2 \cdot r_e \cdot g_e} \quad (5.35)$$

Coefficientul  $K_{ra}$  are o mare asemănare cu coefficientul de stabilitate amintit, și la fel cu ultimul, caracterizează rapiditatea de acțiune a sistemului.-

De aceea, putem numi acest coefficient de rapiditate a acțiunii și pe viitor este folosit pentru determinarea stabilității.-

In fig. 5.10. sînt reprezentate curbele de variație ale coefficientului de rapiditate a acțiunii  $K_{ra}$  funcție de diametrul sîrmei-electrod (a) și de frecvența vibrației (b).

In fig. 5.11, sînt reprezentate curbele variației coefficientului  $K_{ra}$  în raport de viteza de avans a sîrmei-electrod (a) și a tensiunii de mers în gol a sursei de curent (b).-

In fig. 5.12 sînt prezentate curbele de variație ale lui  $K_{ra}$  funcție de rezistență echivalentă a circuitului.

Figurile 5.10 - 5.12, reprezintă curbele calculate exprimînd dependența coefficientului de rapiditate a acțiunii funcție de parametrii de bază, de pornire, a regimului la inducțanță diferită a circuitului. Calculele au fost executate pe mașina electronică de calcul.-

Toate graficele cuprind și curbele valorilor lui  $K_{ra}$  ce corespund inductanței minime a circuitului. Aceste curbe împart întregul cîmp de valori a lui  $K_{ra}$  în două zone: superioară

ce corespunde procesului de încărcare cu formarea mersului în gol în fiecare ciclu al procesului (fig.5.8 ,a) și inferioară - corespunzătoare procesului adaptat la aceste cercetări (fig.5.8.b)

Punctul de intersecție al curbei valorilor lui  $K_{ra}$ , traseate pentru o anume inductanță a circuitului, cu curba  $K_{ra}$  corespunzătoare inductanței  $I_{min}$ , determină una din limitele stabilității pentru parametrul analizat. O altă limită ne dă punctul de intersecție a curbei  $K_{ra}$  cu axa abciselor. Într-o serie de cazuri, cind regimul nu trece în regiunea cu mersurile în gol, ambele limite ale stabilității se determină de punctele de intersecție ale curbei corespunzătoare cu axa abciselor.-

Că o regulă generală ce se observă pe toate figurile, este creșterea coeficientului de acțiune rapidă - cu scăderea inductanței circuitului. În legătură cu aceasta, trebuie subliniată convenția stabilită asupra divizării cîmpului valorilor  $K_{ra}$  în două regiuni. Din punct de vedere energetic, regimurile regiunii superioare (avînd mersurile în gol în ciclurile procesului) sunt de o mai înaltă stabilitate. De aceea, în unele cazuri de încărcare a straturilor subțiri (pînă la 1,5 mm. grosime), cînd alinierarea necesară între metalul de bază și cel de adaos este asigurată și la existența mersului în gol, iar productivitatea procesului și cantitatea pierderilor prin stropire nu are importanță esențială, sau pur și simplu ele sunt neglijate, aceste regimuri au aplicabilitate practică.-

\* Curbele din fig. 5.10, a, arată că, coeficientul de acțiune rapidă scade cu creșterea diametrului sîrmei-electrod. Valorile diametrelor maximale (din condiția stabilității regimului) scad cu creșterea inductanței.-

Coefficientul de acțiune rapidă scade cu reducerea vibrației sîrmei-electrod, mai ales în regiunea valorilor mici ale frecvenței (fig. 5.10,b). Pentru fiecare valoare a inductanței (cînd sunt date toți parametrii ai regimului) există valoarea minimă a frecvenței de vibrație, mai jos de către regimul devine instabil.-

Coefficientul de acțiune rapidă scade cu creșterea vitezei de avans a sîrmei-electrod, iar vîtea de avans maximă scăde cu creșterea inductanței circuitului (fig.5.11,a).-

5.5.3. Determinarea curbei de variație a vitezei maxime de avans a sîrmei-electrod funcție de inductanță circuitului de sudare

Problema vitezei maxime de avans a sîrmei-electrod prezintă interes deosebit, înainte de toate din punct de vedere al productivității procesului și apoi din punct de vedere al stabilității regimului.-

Datele publicate în literatura de specialitate, în ce privește influența parametrilor regimului procesului asupra topirii sîrmei-electrod la încărcare cu vibroarc, sunt contradictorii/lo5/.-

In regim staționar, precum și pentru respectarea condițiilor de stabilitate a regimului, viteză de avans a sîrmei-electrod trebuie să fie egală cu viteză de topire a ei  $v_e = v_t$ , cunoșcind că  $v_t$  este viteză medie de topire a sîrmei-electrod. Viteză de topire a sîrmei-electrod depinde și ea de mai mulți factori puterea arcului, analiza chimică a metalului și de diametrul ei.

Găsirea unei dependențe directe între viteză maximă de avans a sîrmei-electrod și inductanță circuitului, prezintă un important avantaj practic și teoretic.-

Fără indoială, că atunci când stabilim viteză maximă de avans a sîrmei-electrod, pentru un regim și în anumite condiții, valoarea ei este de fapt viteză optimă de avans a sîrmei-electrod.-

Se amintește și aici, că pe principiul egalității celor două viteză  $v_e = v_t$ , se bazează întregul procedeu, sistemul instalatiei și în primul rînd capul automat.-

Determinăm curba de variație  $v_{e \max} = f(L)$  pentru sîrma-electrod de 2 mm diametru folosindu-ne de curbele ce reprezintă dependența coeficientului de acționare rapidă a sistemului  $K_{ra}$  funcție de viteză de avans a sîrmei-electrod  $v_e$  din fig.5.11. Aceste curbe sunt traseate în baza calculelor analitice, folosind relațiile de dependență cunoscute. Urmărind fig.5.11., vedem că în abscisă sunt date vitezele de avans ale sîrmei-electrod, iar în ordinată coeficientul de acționare rapidă  $K_{ra}$ . Din grafice rezultă că, coeficientul  $K_{ra}$  scade cu creșterea lui  $v_e$  și  $L$ ,

todată valoarea maximă a vitezei de avans a sîrmei-electrod  $v_e$  la care procesul este încă stabil ( $K_{ra} > 0$ ), scade cu creșterea inductanței circuitului. Deci, din aceste curbe putem avea  $v_e$  max. Vitezele maxime din ordonate (fig.5.13) sunt determinate deci din condiția de stabilitate a regimului (preluate direct din fig.5.1) și din condiția puterii maxime a sursei de alimentare cu curent prin ajutorul relației cunoscute:

$W = 1000 k_A \cdot k_r \cdot U_0^{3/4} \cdot d_e^{5/3} (k_b + k_c \cdot v_e)$ , - curba 2 din fig.5.13. Pe fig. 5.13, sunt prezentate dependențele între viteza maximă de avans a sîrmei electrod  $v_e$  max în funcție de inductanță circuitului în condițiile stabilității minime a procesului ( $K_{ra} = 0$ ) și mai mului puterii sursei de curent (fără a ține cont de influența inductanței).-

Punctele determinate pe cale experimentală de /106/ confirmă caracterul variației determinate prin calcul și indică o precizie acceptabilă a calculelor analitice. Cu creșterea inductanței, diferența între viteza maximă, calculată fără a ține cont de inductanță (curba 1, fig.5.13) și viteza maximă, determinată condiția de stabilitate, crește, ea devine apreciabilă pentru valori mari ale inductanței.-

Parametrii intrați în calcul sunt:  $U_0 = 25$  V;  $d_e = 2$  mm;  $\lambda = 2,0$  mm, și  $f = 50$  Hz.-

Pentru o altă valoare a diametrului sîrmei-electrod trebuie trasată altă curbă.-

Curbă 1, rezultă pentru  $v_e$  max. din condiția puterii maxime, iar curba 2 din condiția  $K_{ra} = 0$  al cărui expresie este dată în (5.35).-

Figura 5.11, luată după /106/ are curbele coeficientului de acțiune rapidă  $K_{ra}$  ce corespund inductanței minime a circuitului, determinată conform relației date de autorul lucrării /106/ în studiu /107/, relația destul de incomodă pentru practică, de aceea se va reveni asupra determinării valorilor  $L_{min}$ .

$$L_{min} = \frac{R}{f \cdot I_a} \sqrt{\frac{E}{E - RI_{max}} \left( 1 + \frac{RI_{max}}{U_a - E} \right)}$$

unde:  $I_{max} = 2 \cdot I_s$ ;  $E$  - f.c.m. a sursei de alimentare cu curent în V;  $U_a$  - tensiunea arcului în V;  $R$  - rezistența circuitului de

sudare în ohmi;  $L_{min}$  - inductanță minimă, în H; f-frecvență de vibrație a sîrmei-electrod în Hz.

Se consideră necesar de a reaminti, că sub stabilitate se înțelege aptitudinea sistemului de a menține caracterul comandat (prescris) de variație a tensiunii și intensității curentului în circuit (fără formarea perioadelor de mers în gol în fiecare ciclu al procesului), trecerea regimului în zona ce este caracterizată prin apariția mersurilor în gol în cicluri de procesului, trebuie să fie privită convențional, ca dispariția stabilității regimului.-

De aceea, punctul de intersecție a curbei valorilor lui  $K_{ra}$ , construită pentru o anumită inductanță a circuitului, cu curba  $K_{ra}$ , corespunzătoare inductanței  $L_{min}$ , determină una din limitele a stabilității după parametrul analizat. Cealaltă limită este dată de punctul de intersecție a curbei analizate cu axa absciselor.-

Din acest subcapitol rezultă, cu caracter de lege generală, ceea ce de altfel confirmă toate figurile prezentate, creșterea coeficientului de acționare rapidă cu scăderea inductanței circuitului de sudare.-

Fig. 5.10, a, arată că, coeficientii de acționare rapidă scade cu creșterea diametrului sîrmei-electrod. Valorile diametrelor maxime se reduc cu creșterea inductanței (din punct de vedere al condițiilor de stabilitate al regimului).-

Coeficientul de acționare rapidă se micșorează cu scăderea frecvenței de vibrație a sîrmei-electrod, mai ales în regiunea valorilor mici ale frecvenței (fig.5.10,b). Pentru fiecare valoare a inductanței există valoarea minimă a frecvenței de vibrație, mai jos de care regimul devine instabil.-

Dependența coeficientului de acționare rapidă funcție de tensiunea de mers în gol are un maxim (fig.5.11,b). Valoarea maximului depinde de parametrii regimului. Valorile parametrilor pentru care sunt construite curbele lui  $K_{ra}$  ( $U_0$ ), tensiunea de mers în gol corespunzător valoiei maxime a lui  $K_{ra}$ , este egala aproximativ cu 25 V. Această valoare a tensiunii coincide bine cu datele ce rezultă din practica încărcării cu vibroarc. La fel are un maximum dependența lui  $K_{ra}$ , funcție de rezistență

circuitului (fig.5.12). Acest maximum, se mută spre valorile mai mici ale valorilor rezistenței cu creșterea inductanței. Poziția pe grafic și valoarea lui  $K_{ra}$  ( $r_e$ ) depinde de alți parametri ai regimului.-

Existența punctelor maxime pe curbele lui  $K_{ra}$  ( $U_o$ ) și  $K_{ra}$  ( $r_e$ ) pretinde de la sursele de curent și circuit posibilitatea de reglare a lui  $U_o$  și  $r_e$ , pentru asigurarea unei mai bune stabilități ai regimului. În practică, pare că, este suficient să fie reglată una din aceste mărimi. Recomandabil este să fie reglată tensiunea de mers în gol.

Analiza stabilității, prin ajutorul graficelor de dependență a coeficientului de rapiditate a acțiunii funcție de diferiți parametri ai regimului, reprezentate parțial în fig. 5.10-5.12, permite să se determine valorile de pornire ale parametrilor, care asigură eliminarea perioadelor de mers în gol în ciclurile procesului și finală eficacitate de autoreglare a regimului.-

O mare importanță practică au graficele dependenței limitelor stabilității după unul sau altul din parametrii. Curba  $v_{max}$  ( $L$ ) pe fig. 5.13 în esență reprezintă granița superioară a stabilității în funcție de parametrii  $v_e$  și  $L$ . Cu ajutorul relației (5.35) sau a graficelor coeficientului de rapiditate, calculate pentru un interval suficient de larg a regimului de încărcare, se poate construi graficele stabilității în funcție de oricare alți parametri, de ex.  $v_e$  și  $U_o$ ,  $d_e$  și  $U_o$  s.a.m.d.-

#### 5.5.4. Concluzii

Sunt redate pe scurt concluziile stabilite.

- S-a stabilit ecuația diferențială de mișcare a sistemului, legat de stabilitatea regimului de încărcare cu vibroatunci cind în sistem acționează perturbări mici. Pentru simplificare nu s-a ținut cont de nelinearitatea sistemului.-

- Conform celor stabilite, rezultă că în circuitul de sudare la încărcare cu vibroarcă, procesele tranzistorii au caracter oscilant.-

- O importantă condiție de stabilitate a regimului de încărcare cu vibroarcă constă în aceea, că regimul de încărcare

trebuie să se afle pe ramura crescătoare a curbei de dependență a puterii sursei de curent funcție de intensitatea curentului. De aici, în cazul folosirii surselor de curent cu caracteristicile externe în linie dreaptă, tensiunea de lucru trebuie să fie totdeauna mai mare decât jumătatea tensiunii de mers în gol.-

- Rezistența dinamică a circuitului, în baza condițiilor de stabilitate a regimului, trebuie să fie mai mare de o anumită valoare pozitivă, proporțională, în particular cu inducțanța circuitului.-

- Coeficientul de acționare rapidă a sistemului, crește cu micșorarea inductanței circuitului, diametrul sîrmei-electrod, viteza de avans a sîrmei-electrod, și cu creșterea frecvenței de vibrare a sîrmei-electrod. Dependența coeficientului de acțiune rapidă funcție de tensiunea de mers în gol a sursei de curent și de rezistența echivalentă a circuitului au valori maxime. De aceea valorile optime pentru  $U_o$  și  $v_e$  depind de valorile altor parametri ai regimului.-

CAP. 6 - FUNDAMENTAREA ALEGERII SI REALIZAREA INSTALATIEI

EXPERIMENTALE PENTRU INCARCARE CU VIBROARC

- 6.1. - Schemele electrice ale instalațiilor folosite pentru încărcarea prin procedeul vibroarc.

6.1.1. - Generalități

In principiu, așa cum rezultă din literatura de specialitate /97,98,104/ încărcarea cu vibroarc poate fi realizată folosind schemele electrice cu surse de curent: continuu, redresat, alternativ și combinat (continuu și alternativ).-

Pentru a ne putea orienta, se analizăm oscilogramele din fig. 1.2, care reprezintă variațiile tensiunii (I) și a intensității de curent (II) pentru cazurile cînd schemele electrice săn alimentate cu curent: continuu (a), alternativ (b) și combinat (c) în jet de lichid, din care rezultă pentru toate felurile de curent:

- durata perioadelor de descărcare electrică este de  $6,5 \cdot 10^{-4}$  -  $2,3 \cdot 10^{-3}$  și ocupă 7-21% din timpul unui ciclu (perioada de vibrație);
- durata mersului în gol este de 29,5 - 64% dintr-un ciclu;
- durata scurtcircuitelor este de 35-50% dintr-un ciclu;

Cantitatea de căldură ce se degajă în diferite perioade s-a determinat prin ajutorul curbelor de variație a puterii construite folosindu-se oscilogramele intensității de curent și a tensiunii din fig.1.2. Suprafața cuprinsă între curba puterii astfel rezultată și axa de timp, este proporțională cu căldura ce se degajă.-

Rezultatele calculelor care țin cont de rapoartele între suprafețele cuprinse de curba puterii și duratele perioadelor amintite mai sus, sunt cuprinse în tabela 6.1 /208/

Degajarea căldurii în perioadele de descărcare a arcului și de scurtcircuit

Tabela 6.1.

Nr.crt.al experien- ței.	Sursa de alimentare cu current a instalării	Distribuirea căldurii degajate în %	
		Perioada de des- cărc. a arcului	Perioada de scurtcircuit
1.	Generator de curent continuu	86,0	14,0
2.	Transformator	94,0	6,0
3.	Generator de curent continuu și transformator (curent combinat).	82,0	12,0

Din tabela 6.1 rezultă, că cea mai mare parte din căldură (82-94,0%) se degajează în perioadele de descărcare ale arcului.

Atunci cînd perioadele de mers în gol lipsesc, cînd sursa de curent este un generator de sudură de curent continuu, în acest caz, cantitatea de căldură ce se degaja în perioadele descărcării arcului, formează 98-99,5% (fig.1.3). Figura 1.3. prezintă oscilogramele pentru frecvențele de vibrație de 100 Hz (a) și 50 Hz (b).-

6.1.2. - Schema electrică cu sursa de curent combinat (alternativ - continuu)

Experiențele executate pînă acum, folosind sursa de curent combinat pentru încărcare cu procedeul vibroarc n-au dat rezultate bune din cauza instalațiilor prea complicate.

6.1.3. - Schema electrică cu sursă de curent alternativ

In aceste cazuri drept surse de curent se folosesc transformatoarele cu tensiunea secundară mică(12-28 V). Aceste surse de curent sunt mai ieftine, mai ușoare în greutate și mai simple în exploatare, însă din cauza formării unor scurtcircuit de durată prea mare, de către sîrma-electrod pe piesă, în momentele de scădere a tensiunii în rețea electrică, nu asigură calitatea stratului încărcat.-

Problema poate fi rezolvată prin introducerea în circuitul de sudare a unui stabilizator de tensiune, care elimină influența variației tensiunii din rețea în limitele de pînă la circa  $\pm 10\%$ , ceea ce complică instalatia și nu satisface întotdeauna.-

#### 6.1.4. - Schema electrică cu sursa de curent continuu

In cazul folosirii schemelor electrice cu surse de curent continuu, inductanța circuitului de sudare se alege astfel încât să se prevină formarea perioadelor de mers în gol.-

Respectarea acestei condiții impune, ca în momentul scurtcircuitelor curentul din circuitul de sudare să nu scadă pînă la zero...-

Sistemul de alimentare cu curent continuu, reprezintă avantaje deoarece permite încărcări într-un interval larg de tensiuni. Schema electrică este simplă și dă rezultate bune în practică. Tensiunea la bornele generatorului practic nu depinde de variațiile tensiunii rețelei, asigurînd o bună stabilitate a regimului de lucru. Inductanța folosită trebuie să fie reglabilă.

#### 6.1.5. - Schema electrică cu sursa de curent redresat

Cercetări recente /68,126/ arată, că prin ajutorul curentului redresat, încărcările cu vibroarc se fac în mod rațional și la tensiuni mai ridicate (15 - 30 V), iar sîrma-electrod folosită poate fi mai groasă (2-3mm), deci și o productivitate mai mare.-

Instalațiile de acest fel se folosesc astăzi pe scară mare la recondiționări de piese de automobile, tractoare, mașini unelte și altele.-

In cazul curentului redresat, ca și în cazul curentului continuu se lucrează cu polaritatea inversă, asigurîndu-se o mai bună calitate a stratului de metal încărcat.-

In cazul când inductanța circuitului de sudare sau încărcare cu vibroarc este mică (insuficientă), se produce o stropire abundantă a metalului sîrmei-electrod (pînă la 35-40%)/97/ și brusc se înrăutățește stabilitatea procesului. Din acest punct de vedere redresoare cu germaniu dau rezultate mai bune

(pierderi prin ardere și stropire 11 - 15%).

Pentru toate cazurile se recomandă, să se introducă în circuitul de sudare, drept inductanță suplimentară, o bobină cu inductanță variabilă.-

#### 6.1.6. - Fundamentarea teoretică a alegerii sursei de curent

La alegerea sursei de curent, trebuie ținut cont de influența deosebită ce o au vibrațiile electrodului asupra procesului de ardere a arcului. Pe de altă parte, alegerea corespunzătoare a sursei de curent este unul din factorii ce determină arderea stabilă a arcului:-

Deci, sursei de curent i se impun anumite condiții deosebite, pe care trebuie să le îndeplinească. Aceste condiții sunt dictate de căracterul descărcării arcului, ceea ce se limitează la cunoașterea formei caracteristicii statice a arcului  $U_a = f(I_a)$ , pentru o anumită lungime a arcului constantă ( $l_a = \text{const.}$ ) (vezi sub cap. 2.8. și 5.1). .

#### 6.1.7. - Considerații practice asupra alegerii sursei de alimentare cu curent.

Sursa de curent trebuie să satisfacă condițiile arătate mai sus,

Forma caracteristicilor statice ale arcului în cazul procedeului vibroarc se asemănă adesea cu forma general cunoscută a arcului electric de sudare, însă parametrii celor trei zone sunt mult diferiți.-

In zona de mijloc a caracteristicilor, cea rigidă pentru care  $\text{tg. } \alpha_a = 0$  (fig.6.1), permite să se lucreze cu curenți de circa 100-200 A și pot fi folosite surse de curent cu caracteristicile coborîtoare intinse, dar rezultate mai bune dau cele rigide. Aceste limite de curent corespund cel mai bine parametrilor încărcării cu vibroarc, deoarece curenții între aceste limite asigură pe deplin o aderență (aliere) între metalul depus și cel de bază la o adâncime mică de pătrundere respectiv de topire a metalului de bază /177/. Aceasta corespunde atât din punct de vedere economic cît și din punct de vedere al tehniciei moderne.ș

Rezultă, că unul din criteriile importante la alegera sursei de curent, este coeficientul de stabilitate  $K_s$ , definit la Cap.5.-

In studiul /177/ sunt reprezentate grafic dependențele între coeficienții de stabilitate  $K_s$  și curenții "I" pentru un număr de patru surse de curent (generatoare de curent) (fig.6.2). Urbele sunt determinate experimental. Cele patru generatoare sunt de tipuri diferite. Din fig. 6.2. se vede clar că, caracteristica I reprezintă sursa de curent cu cea mai mare stabilitate.

Rezultatele cercetărilor efectuate /177/, duc la concluzia că pentru alimentarea instalațiilor cu vibroarc, sursele de curent - se recomandă - să aibă caracteristica externă rigidă, adică cu, curenții mari de scurtcircuit la tensiuni de mers în gol relativ mici (10-30V). Ele asigură regimurile de lucru la încărcare ce poate fi variat în limitele destul de largi.-

In ultimul timp se realizează instalații pentru încărcarea cu vibroarc, având surse de curent redresoare cu germaniu, siliciu sau seleniu.-

**6.2. - Cîteva condiții ce trebuie să îndeplinească capul automat de încărcare cu vibroarc.**

Pentru automatizarea procesului de sudare cu arc, este foarte important crearea unui automat cît mai simplu și comod și căre ar putea cu succes să execute operația de avans a sîrmei-electrod cu o schemă cinematică acceptabilă.-

Mecanismele de avans ale sîrmei-electrod cunoscute astăzi pot fi împărtite, în mare, în trei tipuri:

1. Mecanisme pentru avans, la care viteza de avans a sîrmei-electrod depinde de numărul de rotații a transmisiei, fie de la electromotor, pneumotor sau hidromotor.-

2. Mecanisme pentru avans, la care schimbarea vitezei de avans a sîrmei-electrod depinde de raportul de transmisie a mecanismului. In acest caz de obicei sunt folosite transmisiiile cu roți dințate și șurub fără fine, roți dințate schimbabile, variatoare de viteză, frictiune s.a.-

3. Mecanismele pentru avans, de tip mixt. În acest caz



reglarea vitezei de avans a sîrmei - electrod se produce ca urmare a variației turăției motorului, precum și schimbării rapoartelor de transmisie la mecanismele de transmisie. Acest sistem a apărut ca urmare a necesității de a mări limitele de reglare a vitezei de avans a sîrmei-electrod.-

Studii importante, în ce privește alegerea unui sistem și chiar de principii noi pentru capetele automate, respectiv mecanismele de avans și reglarea avansului sîrmei-electrod, au fost efectuate de A.M.Naidenoff și publicate în /81,82,83,84,191 192/.-

Lucrarea /81/, sintetizează schemele cinematice ale mecanismelor de avans ale sîrmei -electrod ce funcționează în baza unei legi de mișcare stabilă prin ajutorul cărora se poate realiza o conducere mecanică a trecerii metalului topit /83/.-

Cercetări științifice asupra capetelor automate pentru încărcarea cu vibroarc, se referă în primul rînd la influența lor asupra stabilității procesului și calității stratului încărcat.- Factorii de luat în considerare sunt: menținerea constantă a vitezei de avans a sîrmei-electrod, stabilitatea procesului de vibrație, protejarea sigură a zonei de ardere a arcului și în fine posibilitatea menținerii în decursul unei lungi perioade de timp, a parametrilor de reglare proprie a capului automat.-

S-au cercetat diferite mecanisme de avans ale sîrmei-electrod: sub forma de avans cu mecanism tip clește cu role gimboidale sau zimțuite. Viteza de avans în prima variantă se schimbă prin ajutorul unui variator (fără trepte), iar în cel de al doilea caz - prin ajutorul roțiilor dințate schimbabile.-

Toate aceste forme de avans realizate cu diferite tipuri de capete automate au arătat, că în circuitul cinematic începînd cu motorul electric și pînă la mecanismele de propulsie nu trebuie să existe transmisiuni ce ar permite lunecarea sîrmei-electrod.

Altfel, procesul devine instabil, încărcarea din loc în loc se întrerupe, iar calitatea metalului încărcat devine slabă. Resultatele mai bune se obțin la utilizarea concomitantă a mecanismului cu role zimțuite și cu roți dințate schimbabile.- O importantă influență asupra stabilității încărcării

are menținerea stabilă a procesului de vibrare. Unele capete automate pentru încărcare cu vibroarc sunt prevăzute cu vibra-toare electromagnetice. Experiența de lucru cu astfel de capete /166/ arată, că vibratorul electromagnetic nu asigură o stabilitate preținșă de procesul vibroarc. Funcționarea unor astfel de vibratoare, depinde de reglarea și dispoziția reciprocă a ansamblelor și posibilitatea ca timp mai îndelungat să se păstreze reglarea staționară neschimbată. O cît de mică deranjare a regla-rii, duce la o completă intrerupere a vibrațiilor. În cazul unei activități intense este necesar ca reglarea vibratorului să fie refăcută des.-

Ca un neajuns esențial al vibratorului electromagnetic, este faptul că există posibilitatea de oprire a vibrațiilor în procesul de funcționare. Aceasta se poate întâmpla la scurtcircuitarea sîrmei-electrod, deoarece în această fază armătura se găsește la cea mai mare distanță de electromagnetic; o mărire suplimentară a acestei distanțe poate să ducă la oprirea procesului de vibrare. Cauza ce poate provoca mărirea distanței între armătură și electromagnetic, este creșterea amplitudinii de vibrare, care depinde de existența neregularităților pe suprafața încărcată, de viteză de topire, iar cea din urmă, la rîndul său, depinde de fluctuațiile inevitabile ale puterii arcului, de analiza chimică și dimensiunile sectiunii transversale ale sîrmei-electrod.

Oprirea vibrațiilor poate să se producă și din cauza uzurilor în articulațiile sistemului.-

Toate observațiile de mai sus, au dus la crearea unor construcții de vibrare mecanice. De toate aceste observații s-a ținut cont la crearea capului automat experimental care a dat rezultate bune.-

O influență determinantă asupra calității stratului încărcat este protejarea sigură a zonei de ardere a arcului de mediul înconjurător. Ajutajul prin care se aduce fluidul de protecție trebuie să asigure o astfel de scurgere a fluidului căre asigurănd o protecție cît mai perfectă a arcului de aerul înconjurător, să nu provoace stingerea lui. Fluidul adus trebuie să realizeze o bună răcire a ajutajului și a piesei ce se încarcă, însă trebuie să asigure garantat și o pojghiță neîntre-

ruptă a fluidului de protecție.-

Totuși, în ultimii circa 3-4 ani au apărut cîteva brevete, pe plan mondial, care încearcă să eliminate neajunsurile amintite ale vibratoarelor electromagnetice. Astfel, în scopul ridicării calității stratului încărcat, se adoptă un sistem de menținere a tensiunii medii a arcului (tensiunea fiind cea prescrisă), în acest scop sistemul de oscilare este înzestrat cu un regulator de oprire la vibrații care este executat sub forma unui demper hidraulic fixat rigid de ajutaj, cu o supapă diferențială legată de miezul electromagnetului. În felul acesta înfășurarea electromagnetului este supusă diferenței de tensiuni între tensiunea dată și tensiunea spațiului arcului.-

Construcția, cum este spre exemplu capul automat tip VG.- 2 (URSS), aplică un vibrator mecanic cu came, care permite să stabilească un raport optim între durata perioadelor ciclului de încărcare pe calea profilării corespunzătoare a camei. Vibrațiile nu se transmit ajutajului ci direct sîrmei-electrod, ceea ce asigură valoarea constantă a amplitudinii și stabilitatea procesului de vibrare. Linia de desfășurare a sîrmei-electrod, este lipsită de curbe putind astfel folosi fără greutăți sîrma-electrod din oțel inoxidabil pînă la 2,5 mm. diametru.-

Lichidul de lucru (răcire), este adus în capul de ghidare și se scurge sub presiune printr-un ajutaj special, formînd un con de protecție, care, ca urmare a imobilității capului de ghidare protejează sigur zona de încărcare de acțiunea aerului înconjurător.-

Construcția capului de ghidare este astfel făcută, în cît permite să fie folosit ca mediu protector fie lichid, fie gaz.-

Acest model de cap automat, este recomandat pentru suprafețe de încărcare pînă la circa  $400 \text{ cm}^2$ .

Important de scos în evidență, că neajunsul capelor automate realizate este că ansamblul de producere a vibrațiilor, posedă o masă destul de mare. Urmare inertiei maselor în vibrare, frecvența vibrațiilor nu poate depăși  $30-40 \text{ Hz}$ ., cît că frecvența ce poate fi realizată de vibrator electromagnetic sau mecanic poate fi mult mai mare.- În afara de aceasta, mișcările

vibratorii și masselor mari, sunt urmate de trepidățiile întregii instalații, ceea ce cum s-a mai amintit, deregleză întregul sistem. De aceea, se elimină sistemul vibrator cunoscut transmițind vibrăriile direct sîrmei-electrod printr-o camă cu excentric.- Condiția principală ce trebuie să-o îndeplinească un cap automat, din punct de vedere constructiv, este durata de viață căt mai mare și posibilitatea să asigure stabilitatea procesului de încărcare, la o funcționare de durată fără întreruperi.-

Realizările și patentele amintite, sunt de cele mai multe ori numai realizări încă de laborator.-

Important este de a menține raportul optim, între viteza de topire a sîrmei-electrod și aceea de avans a ei. Viteza de topire a sîrmei-electrod depinde de puterea arcului, de analiza ei chimică și de diametrul ei.-

Reducind valoarea tensiunii de mers în gol și puterea arcului, se reduce cantitatea de căldură, ce se degajă în zona de încărcare în unitate de timp, se reduce adâncimea de topire și zona de influență termică.-

Pentru lărgirea posibilităților tehnologice a procedeu lui, s-au executat modele de capete automate ce pot încărca piese cilindrice în exterior și în interior, precum și suprafețe conice sau curbilinii carecăre, conducindu-se sîrma - electrod după un calibră special de copiat.-

Prin măsurile și metodele arătate mai sus, s-a putut realiza capul automat de încărcare ce poate varia frecvența de vibrație în intervalul de circa 20-100 Hz, asigurînd condițiiile stabilă de încărcare. În acest caz s-a înălțat influența nefavorabilă a inertiei ansamblului producător de oscilații, s-a realizat un mecanism de vibrație mult ușurat.-

Lucrarea /84/ studiază sincronizarea impulsurilor electrice și mecanice, precum și forțelor electromagnetice și de inerie, care joacă un rol hotărîtor în desprinderea și trecerea metalului topit de pe sîrma-electrod în cazul încărcării cu vibroarc

x

x x

Rezultă de fapt, că tipul cel mai potrivit în cazul no-

tru este cel de sub trei care a fost realizat prin modificările și completările făcute de autor capului NVE - 301 de construcție cehoslovacă.-

Actionarea suportului cu capul automat, ceea ce stabilește și pasul încărcării, care este variabil și prin intermediul unei perechi de roți dințate amplasate la capătul din dreapta al batialui putind astfel să varieze pasul între 1,5 - 4 mm.(pentru o turăție a fluxului principal.)

Pasul spiralei pentru o rotație a fusului principal este dat de formula:

$$S = 2,53 \frac{d_1}{d_4}$$

unde: S - pasul în mm;

$d_1$  - diametrul teoretic al roții dințate de pe fusul principal al mașinii;

$d_4$  - diametrul teoretic al roții dințate pe fusul păpușii fixe.

In cazul necesității creării unei trepte noi, se pun încă două roți dințate intermediare  $d_2$  și  $d_3$ , iar pasul se va calcula cu formula:

$$S = 2,53 \frac{d_2}{d_1} \cdot \frac{d_4}{d_3}$$

Cu ajutorul roților dințate cu care s-a înzestrat instalația experimentală, se pot realiza următoarele avansuri, longitudinale (pași): 1,50; 1,80; 2,07; 2,27; 2,50; 2,80; 3,10; 3,60 și 4,22 mm.

Schema de angrenare este prezentată în fig. 6.3.

Capetele automate pentru încărcarea cu vibroarc constau în principal din: ansamblul pentru avansul sîrmei-electrod, ansamblul pentru vibrarea sîrmei-electrod, ansamblul de alimentare cu lichidul de lucru, ansamblul de sprijin și fixare a capului, precum și caseta pentru sîrma-electrod.-

Astăzi nu există utilaj unificat sau tipizat pentru încărcarea cu vibroarc.-

Există cîteva capete automate realizate mai ales în URSS și Cehoslovacia, dar nu s-a ajuns la o soluție ce să permită o

bricătie de serie.-

Caracteristicile tehnice ale cîtorva capete automate  
pentru încărcarea cu vibroarc fabricate în U.R.S.S-

Tabel: 6.2

Caracteristica	Tipul capului automat				
	CTZ	KM-5	kUMA-5	CPRZ- CTZ	UANJ 5
Puterea motorului de acționare în W.			-		85
	150	250	-max.300A	125	max. 250 A
Aducerea sîrmei-electrod față de piesă.	later.	deasu- pra	deasu- pra	deasu- pra	later- pra
Tipul vibratorului	electro- magnet.	electro- magnet.	mișc. circ.	electro- magnet.	elec- mag.
Limitele de reglare a vitezei de avans a sîrmei-electrod mm/s.	12,5-22	6,7-50	3,3-25	15,2-24	5-25
Diametrul sîrmei-electrod mm.	pînă la 2,2	0,7- 2,5	0,5-2	pînă la 1,2- 3	

Au mai apărut cîteva modele pe care le prezentăm mai jos.

6.2.1. - Capul automat al instalatiei experimentale

Baza instalăției experimentale, folosită de autor la cercetările pentru procedeul vibroarc, a fost automatul de construcție cehoslovacă tip NVE-301 în cadrul unui ansamblu tip KP NVE-301. Atât automatul cît și întreaga instalăție au suferit o serie de modificări constructive în sensul perfecționării funcționale și în scopul asigurării performanțelor mai ridicate a instalăției, precum și a unei mai bune calități a stratului încărdat.-

Modificările constau în următoarele:

- Toată instalăția a fost adaptată constructiv și funcțional pentru sîrma-electrod pînă inclusiv 2 mm. diametru în loc de normal 1,6 mm și maximum de 1,8 mm. Modificarea importantă din punct de vedere al performanțelor cunoșind că scopul final al instalăției este folosirea ei industrială.-

Cu creșterea diametrului sîrmei-electrod cantitatea de metal topit, în unitatea de timp, crește lățărat.-

- Pentru mărirea duratei de viață a diuzelor ajutajelor, acestea, după o îndelungată observație, au fost înlocuite cu diuze din material dur T 15 K 6 care au dat rezultate bune fig. 6.4.

Fig. 6.5, arată capătul ajutajului cu diuza (bucă) din metal dur.-

In continuare este redat studiul efectuat în legătură cu uzura diuzelor.-

6.2.2. - Studiul și cercetările asupra uzurii diuzelor de ghidare legat de stabilitatea procesului la încărcare cu vibroarc.

Stabilitatea procesului la încărcare cu procedeul vibroarc, este una din temele centrale ale studiului de față.-

In afară de factorii analizați pînă acum, ce influențează asupra stabilității procesului vibroarc, mai sunt și alți factori destul de importanți care contribuie în bună măsură la stabilitatea procesului cît și la o bună funcționare a instalației de încărcare cu vibroarc. Ne referim la uzura ajutajelor respectiv a diuzelor de ghidare de care depinde și siguranța de funcționare a instalației.-

Experiența cîștigată cu ocazia executării lucrărilor, legate de cercetările și studiile din teză, confirmate de altfel și de lucrările /lo, 195/ arată, că se produce o eroziune destul de pronunțată a diuzelor-ajutajelor, de obicei executate din aliaje de cupru, alumă sau chiar din oțel.-

Din cauza uzurii rapide a canalelor diuzelor ajutajelor, cum arată fig. 6.6.a și b durata de funcționare a lor nu depășește 10 ore. Prin rotirea lor cu  $180^{\circ}$ , acestea mai pot fi folosite încă circa 10 ore, total deci 20 ore.-

La începutul experiențelor, în prima variantă a automatului de încărcare am avut diuzele ajutajelor executate din bronz, care se uzau așa cum este arătat în fig. 6.6.a și b.-

Autorii studiului publicat în /195/ arată că, dacă diuzele ajutajelor sunt executate din oțel tratat termic, în condițiile geometrice și tehnologice aproape identice cu cele din instalația experimentală, realizată, ele rezistă pînă la circa 40 ore (fig. 6.6 c.) -

Această uzură mare, se explică în principal prin aceea, că efortul necesar pentru fimpingerea respectiv trecerea sîrmei-electrod prin diuză, la mersul în gol, este de circa 6-10 kgf, iar presiunea sîrmei-electrod asupra peretelui găurii ajutajului poate ajunge la 2,7 - 3 kgf. care în procesul de sudare se schimbă foarte puțin. Datele de mai sus, sunt obținute în condițiile de lucru (diametrul sîrmei-electrod și analiza ei chimică, poziția geometrică a ajutajului: față de rolele de avans a sîrmei-electrod) similare celor de la instalația experimentală.-

Cantitatea de sîrmă-electrod ce trece prin ajutaj într-un schimb de lucru, considerind o viteză medie de 20 mm/s, diametrul sîrmei-electrod în medie de 1,5 mm, și la un timp efectiv de lucru, în medie de circa 6 ore pe schimb, ajunge la peste 430 m.-

La o uzură unilaterală a diuzei cu 2-3 mm. capătul liber al sîrmei-electrod, se abate foarte mult într-o parte sau alta, față de axa geometrică a ajutajului, respectiv față de suprafață piesei ce se încarcă. Această influențează negativ asupra calității stratului încărcat, contribuie la formarea suprafăcetelor foarte neregulate, aderența slăbită a metalului depus cu cel de bază și în mod sensibil cresc pierderile de metal prin stropire.-

Dacă uzura ajutajului crește peste 1,5 mm, se produc destul de des lipiri (înghețări) ale sîrmei-electrod de ajutaj și întreruperi în arderea arcului. În concluzie, toate acestea reduc sensibil calitatea stratului de metal încărcat.-

Diuzele executate dintr-un aliaj dur, folosit în mare măsură în industria noastră pentru scule așchietoare BK 8, posedă o înaltă rezistență la uzură, însă au dezavantajul că se sfărâmă în partea frontală. (fig. 6.6 d). Astfel de diuze, funcționează 150-200 ore. Însă, ajutajele executate din aliajul dur și durabil, are o mare rezistență la uzură a găurii. Ele lucrează

în bune condițiuni fără înlocuire 450-500 ore.-

Figura 6.6, reprezintă formele de uzură ale ajutajelor, executate din: a - aliaj de cupru; b - oțel tratat termic; c - aliaj dur T 15 K 6 și d - aliaj dur Bk 8 /lo/.-

Pentru studierea influenței uzurii diuzelor ajutajului asupra stabilității procesului de încărcare cu vibroarc, desigur și asupra calității stratului încărcat, au fost executate oscilogramele tensiunii și intensității de curent ale arcului.-

Analiza acestor oscilograme (fig.6.7) executate lucrind cu diuze ce aveau uzura de 0,7 mm (fig. 6.7, a) și 0,1 mm. (fig. 6.7, b), a arătat, că în primul caz stabilitatea procesului de încărcare este evident deteriorată, nu există o periodicitate a ciclurilor în procesul vibroarc. În cel de al doilea caz, procesul a decurs stabil, iar indicele ce reprezintă gradul de umplere al curbei impulsurilor tensiunii, corespunde cifrei recomandate de studiul /143/, adică aproape egal cu 2.-

Coefficientul de pierderi a metalului prin stropire, în cazul uzurii de 0,7 mm. a fost de 25-30%, iar la uzura de 0,1 mm 10-15%, ceea ce corespunde cu cele stabilite în studiul /143/.-

Din punct de vedere al duratei de viață al ajutajului, rezultă că ajutajele executate din aliaj dur T 15 k6, corespund cel mai bine.-

Uzura găurii diuzei ajutajului mai mult de 0,5 mm, față de diametru nominal, influențează în mod sensibil asupra stabilității procesului de încărcare. Uzura de 0,5 mm. a ajutajului reprezintă limita cînd trebuie să fie schimbat ajutajul.-

Aceste cercetări /143/ precum și propriile constatări la efectuarea lucrărilor de încărcare a epruveelor și pieselor diferite au dus la modificarea constructivă a ajutajului și diuzei inițial existentă, cu cele conform descrierii (din T 15 k6) îmbunătățind astfel performanțele instalației, în ansamblu mărynd durata de funcționare cu peste 22 ori, cunoscînd că acesta este punctul cel mai slab al instalației.-

#### 6.3. Componenta instalației cuprinzînd și capul automat, pentru încărcarea cu vibroarc

Fig. 2.1. reprezintă o schema desfășurată de principiu a insta-

lației pentru încărcare cu vibroarc, tot acolo este și descrierea

Pentru încărcarea pieselor din oțeluri finalt aliate, inoxidabile, rapide se adaugă instalația pentru protejarea zonei de încărcare cu  $\text{CO}_2$ , argon sau amestecurile lor.-

Figura 6.8, reprezintă schema de principiu a ansamblului instalației.-

Figura 6.9, reprezintă schema electrică de principiu a instalației experimentale folosite pentru încărcare cu vibroarc

#### 6.3.1. Ansamblurile instalației experimentale, fig.6.10.

1. Cap universal de prinderea pieselor rotunde (cu păpușă fixă).
2. Cap automat de alimentare și vibrare a sîrmei-electrod.
3. Tabloul de comandă.
4. Dulapul de comandă.
5. Sursa de alimentare cu curent (un redresor de curent tip KV200)
6. Tablou de distribuție.
7. Alimentarea cu gaz de protecție ( $\text{CO}_2$  sau argon, etc).
8. Instalația de absorție a gazelor arse din zona de lucru.

Instalația este reprezentată în fotografiile fig.6.11 și

#### 6.1.2.

#### 6.4.- Caracteristicile tehnice principale ale instalației

- Tensiunea rețelei	3 x 380 V la 50 Hz
- Curent nominal în cablul de alimentare	9,3 A
- Tensiunea de sudare (încărcare)	22 V
- Curențul de sudare (încărcare) la DRS-100%	50-200 A
- Tensiunea de mers în gol (reglare fină)	13-26 V
- Puterea absorbită la tensiunea nominală	6,1 kVA
- Puterea absorbită la mers în gol	290 W
- Rândamentul redresorului de curent (tip KV 200)	86 %
- Factor de putere	0,83
- Diametrul pieselor ce pot fi încărcate	8 - 600 mm.
- Lungimea maximă a piesei de încărcat	1000 mm.

6.4.1. - Caracteristicile capului automat de încărcare cu tip experimental

- Curentul de sudare c.c. 300 A max.
- Tensiunea de sudare 22 V max.
- Viteza de avans a sîrmei-electrod 0,3 - 2,0 m/min.
- Frecvența de vibrare 25 - 100 Hz.
- Diametrele sîrmelor 1,2; 1,4; 1,6; max.2 mm.
- Tensiunea rețelei 3x330 V la 50 Hz.
- Puterea maximă a automatului cca. 300 VA.
- Greutatea capului cca. 100 kg.

Vezi fotografiile fig. 6.16 și 6.17.

Prin schimbarea angrenajelor se poate schimba treptele vitezei de avans.-

Instalația are turată reglabilă continuă (fără trepte) de la 0,15 - 30 rot./min.-

Poate fi folosită pentru oțeluri carbon (nealist) oțeluri inoxidabile și metale neferoase.-

La încărcări normale pe oțeluri cu carbon, puțin și mai puțin pretențioase, arcul se protejează cu lichid de lucru, la oțeluri inoxidabile cu binoxid de carbon, iar pentru materiale neferoase cu argon.-

Instalația este prevăzută cu ventile speciale de reducere a presiunii (pentru CO<sub>2</sub> și Ar) și cu măsurători de debit și elemente de încălzire pentru uscarea gazului. Debitul maxim al gazului 25 l/min.-

6.5. - Descrierea funcționării părții electrice a automatului experimental

Funcționarea părții electrice poate fi urmărită în schema fig. 6.18. Curentul de la rețea de 220 V, 50 Hz. se conectează la placa de borne D<sub>1</sub> și prin întrerupătorul principal V<sub>1</sub>, iar lampa de control H<sub>1</sub> semnalizează dacă instalația se află sub tensiune.-

Prin întrerupătorul principal se alimentează transformatorul cu trei infășurări secundare T<sub>1</sub>. Infășurarea de 35 V este recordată la redresorul cu siliciu U<sub>1</sub>. Prin acest redresor este alimentată excitarea motorului pentru realizarea avansului sîrmei-electrod M<sub>1</sub> și circuitul bobinei releului auxiliar R<sub>1</sub>, în

în al cărui circuit se găsește întrerupatorul  $A_1$  notat pe tabloul de comandă (fig. 6.19) cu inscripția "tensiunea arcului".-

Înfășurarea de 150 V la derivațiile în intervalele 70 - 150 V și 0 - 130 V alimentează prin comutatorul  $V_4$ , redresorul  $U_5$  al electromotorului vibratorului  $M_2$ . Acesta este conectat de întrerupatorul  $V_3$  (pe tabloul de comandă scris "Vibrator" (fig. 6.19)). Tensiunea de ramificație 0-150 V se transmite trădutorului  $T_3$  care prin redresoarele  $U_2$  și  $U_3$  alimentează prin întrerupatorul  $V_2$ , indisul micromotorului electric  $M_1$ , pentru avansul sîrmei-electrod. Tensiunea de 220 V este stabilizată cu un element normal de curent al trădutorului  $T_2$  și redresate de redresorul  $U_4$ . Rezistența  $R_1$ , reglează valoarea tensiunii redresate.- De la redresorul  $U_4$  tensiunea curentului continuu este transmisă potențiometrului  $R_2$ . Tensiunea reglată cu potențiometru se compară cu tensiunea de la bornele rezistenței  $R_4$ . Tensiunea de la rezistență  $R_4$  este transmisă, după redresare prin  $U_6$ , la tachogeneratorul montat pe arborele micromotorului electric  $M_1$ , pentru avansul sîrmei-electrod.-

Diferența dintre tensiunea stabilizată, reglată de potențiometrul  $R_2$ , și tensiunea de la tachogenerator se aduce la înfășurarea de comandă a trădutorului  $T_3$ . În funcție de tensiunea de comandă adusă, trădutorul lasă să treacă prin înfășurarea lui, o cantitate de energie electrică mai mare sau mai mică în indisul motorului  $M_1$ , care se va rota astfel mai repede sau mai încet. Prin aceasta comparație permanentă a tensiunii tachogeneratorului cu tensiunea reglată stabilizată, se menține constantă turăția reglată a micromotorului electric, pentru avansul sîrmei - electrod.-

Partea electrică a automatului (fig. 6.18) asigură următoarele funcții:

- reglarea continuă a avansului sîrmei-electrod;
- reglarea continuă a frecvenței vibrațiilor;
- întreruperea (deconectarea) tensiunii de la sîrmă-electrod, astfel ca în timpul manipulării piesei încărcate să nu se poată forma un surcircuit;
- legătura dintre comanda electromagnetului și stabilirea conexiunii cu sursa de curent;

- legătura dintre pornirea dispozitivului de așezare a automatului în poziție și conectarea sursei de curent;
- legătura cu pompa pentru lichidul de lucru, și conectarea tensiunii sursei de curent.

x                    x

Automatul are două subansamble independente

- tablou de comandă (fig. 6.19)
- dulap de comandă (fig. 6.20)

Automatul se asamblează cu dispozitivul de așezare respectiv orientarea în poziție de lucru (dorită), fig. 6.21.

#### 6.5.1. - Dulapul de comandă (poz. 4, fig. 6.10).

Toate elementele funcționale sunt repartizate pe dulapul vertical. Pe dulapul vertical, este amplasat releul  $B_1$ , pentru comanda sursei de curent în vederea încărcării și a dispozitivului de așezare. În poziție, redresoarele cu siliciu  $U_1 - U_5$ , comutatorul pentru frecvența vibrațiilor  $V_4$  și rezistența  $R_1$ .

In afara de elementele amintite, se mai găsesc transformatorul de alimentare  $T_1$ , transformatorul  $T_3$  și stabilizatorul de curent  $T_2$ . Pe peretele exterior al dulapului se află intreruptorul cu pîrghie  $V_1$  pentru cuplare la rețea de alimentare cu curent.

#### 6.5.2 - Tabloul de comandă fig. 6.19

In tabloul (cutia) de comandă sunt concentrate toate elementele pentru controlul și comanda procesului de încărcare cu vibroarc - de fapt totul este într-o cutie. Pe partea din stînga a cutiei de comandă sunt fixate aparatelor de măsură (pentru frecvența vibrațiilor ajutajului  $Q_3$ ). Prin intreruptorul  $V_3$  se conectează motorul electric al vibratorului, iar cu maneta  $R_3$  (rezistență de reglare) se face reglarea frecvenței ajutajului. Intreruptorul  $A_1$  conectează sursa de curent pentru încărcare, iar cu butonul potențiometrului  $R_3$  se reglează viteza de avans a sîrmei-electrod. Comutatorul  $V_2$  servește pentru stabilirea sensului de avans a sîrmei-electrod.  $D_6$ , respectiv  $D_5$  sunt două prize multipolare pentru racordarea capului automat cu

[REDACTAT] cu cablu de încărcare și respectiv cu cutia de reglare.-

In cutia de comandă este amplasat și un redresor trifazat pentru redresarea tensiunii tahogeneratorului, precum și rezistențele suplimentare pentru diferite apărăte de măsură.-

#### 6.5.3. - Sursa de alimentare cu curent (fig.6.10.poz.5)

Drept sursă de alimentare cu curent a instalației este un redresor de curent tip KV - 200 de construcție cehoslovacă fig. 6.13. foto. fig. 6.14. Curent nominal de sudare 200 A (funcționare continuă), tensiunea rețelei  $3 \times 380$  V la 50 Hz., răcire cu ventilație forțată.-

#### 6.5.4. - Date tehnice.

- Curentul de alimentare de la rețea	9,3 A
- Tensiunea nominală pentru sudare	22 V
- Curentul nominal pentru sudare la DRS - 100% 200 A	
- Reglarea fină a tensiunii (la mersul în gol) 13-26 V.	
- Puterea nominală	6100 VA
- Randament	86%
- Factorul de putere	0,83
- Greutateacca.	190 Kg.

Redresorul are un comutator cu 16 poziții putind obține astfel 16 tensiuni în intervalul de 13 - 26 V.

In circuitul de sudare se află și o bobină de inductanță pentru reglarea și diminuarea la minimum a stropirii metalului.

Redresorul este insensibil la variația tensiunii rețelei în limitele de  $\pm 7,5\%$ .

Bobina de reactanță este reglată prin variația întreținerii miezului bobinei 2 (2,5-30 mm) și prin variația numărului de spire (printr-un comutator).-

Caracteristice externe ale redresorului sunt reprezentate în fig. 6.15. Inclinarea caracteristicelor externe; 1,2 V pe 100 A.

#### 6.5.5. - Tablou de distribuție (fig.6.10. poz.6)

Se compune din 7 cutii standardizate cuprinzând un întreruptor tripolar de 100 A, siguranțe, lămpi de control,

cordul la o priză bipolară a panoului de comandă, iar sursa de curent la priza cu patru poli de 60 A și pentru o lampă de iluminat (a locului de muncă) transportabilă. Cutia este pusă la pămînt.-

#### 6.6. - Profilul și posibilitățile tehnice ale automatului experimental

Automatul tip experimental, adaptat nevoilor cercetărilor urmărite, poate fi folosit pentru încărcarea prin procedeul vibroarc atât sub jet de lichid, cît și în atmosferă cu gaze de protecție ( $\text{CO}_2$ , argon sau combinații de diferite gaze și cu oxigen). Pot fi încărcate materialele de diferite calități pe suprafețele cilindrice în exterior și în interior, precum și pe suprafețele plane.-

Deci se fac încărcări în funcție de protecția arcului:

- încărcare sub jet de lichid (de lucru);
- încărcare sub gaze de protecție (pentru uscarea gazelor folosite instalația are un dispozitiv de uscare);

In funcție de calitatea sîrmei-electrod se pot încărca piesele:

- cu sîrma-electrod din oțel cu conținut mic de carbon;
- cu sîrma-electrod din oțel cu conținut ridicat de carbon;
- cu sîrma-electrod din oțel inoxidabil;
- cu sîrma-electrod din metale neferoase;

In funcție de calitatea materialului de bază:

- încărcarea pe oțel și fontă oțelite;
- încărcare pe fontă cenușie;
- încărcare pe oțel inoxidabil;
- încărcare pe metale neferoase;

In funcție de forma și poziția suprafetei de încărcare:

- suprafețe cilindrice exterioare;
- suprafețe cilindrice interioare;
- suprafețe plane
- unele cazuri speciale

CAP. 7 - CERCETARI CU PRIVIRE LA FORMA GENERALA A CONDITIILOR  
DE STABILITATE ALE SISTEMULUI SURSA DE CURENT-ARCUL  
ELECTRIC CU APPLICABILITATE LA PROCEDEUL DE SUDARE VI-

BROARC

Funcționarea stabilă a sistemului energetic format din sursa de alimentare cu curent - arcul electric de sudare, este o problemă de o deosebită importanță, atât din punct de vedere al menținerii regimului stabil de sudare cît și pentru alegera și conceperea utilajului rațional de sudare.-

Intre timp finsă, condițiile clasice de stabilitate nu mai sunt valabile decât în parte, ceea ce se va cerceta în acest capitol.-

In ce privește stabilitatea arderii arcului, există două categorii de factori care determină această stabilitate. Prima din ele, cuprinde condițiile în care se desfășoară procesele electrice și termice în spațiul arcului. Cea de a doua categorie se referă la caracteristicile circuitului electric format din sursa de curent și arcul electric (de sudare). Ne vom preocupa de cea de a doua categorie de factori.-

Din teoria arcului electric, se cunoaște forma generală clasică a condițiilor de stabilitate a sistemului energetic amintit. Aceste condiții determină corelația ce trebuie să existe între forma caracteristicii externe a sursei de alimentare cu curent cu forma caracteristicii statice a arcului de sudare.-

Pornind de la relația echilibrului dinamic al sistemului sursă de curent-arcul electric, integrând-o și analizând, rezultă, că pentru ca sistemul să fie stabil, este necesar să fie îndeplinite următoarele condiții /88/, clasice cunoscute:

(7.1)

$$L_s > 0$$

$$\frac{\partial U_a}{\partial I} - \frac{\partial U_s}{\partial I} > 0 \quad (7.2)$$

Unde.  $U_a$  - tensiunea arcului electric în V;

$U_s$  - tensiunea sursei de curent în V;

$L_s$  - inductanța sursei de alimentare cu curent în H;

$I_a$  - intensitatea curentului prin arcul electric, în A;

$\frac{\partial U_s}{\partial I_a} = R_a$  - rezistența dinamică a arcului electric în ohmi;

$\frac{\partial U_s}{\partial I_a} = -R_s$  - rezistența dinamică a sursei de alimentare cu curent, în ohmi.

Condiția de sub (7.1), în cazul surselor de curent de tip electromagnetic (cu inerție magnetică), de obicei - totdeauna este satisfăcută.-

Pentru un regim dat, relația (7.2) poate fi scrisă sub forma:  $k_s = \frac{\partial U_a}{\partial I_a} - \frac{\partial U_s}{\partial I_a} > 0$  (7.3)

este condiția stabilității statice,

unde  $k_s$  - este numit coeficientul de stabilitate;

$I_a$  - intensitatea curentului prin arc la regimul dat, în A.

Dacă ne referim la fig. 6.1, relația (7.3) poate fi scrisă sub forma:

$$k_s = t_g \alpha_a - t_g \alpha_s > 0 \quad (7.4)$$

mai ușor aplicabilă în practică.

Deci, sistemul este stabil, dacă diferența derivatelor (7.3) caracteristicii statice externe a arcului electric și a caracteristicii externe a sursei de alimentare cu curent, în punctul de funcționare analizat, numită coeficientul de stabilitate  $k_s$ , este pozitivă.-

In limitele posibile de variație a parametrilor, care determină formă caracteristicii statice a obiectului energetic, acesta posedă o familie de caracteristici statice. Piescare din ele corespunde diferitelor valori ale aceluia parametru.-

In cazul existenței unui regulator, acesta acționează asupra obiectului reglat și realizează astfel formarea caracteristicii lui statice, înlocuind familia de caracteristici statice posibile ale parametrului, printr-o caracteristică statică complexă, pentru valori programate (impuse) de regulator pentru

acel parametru.-

Astfel, regimurile posibile de funcționare, la obiectul ce se reglează automat, în regim static se determină, - spre deosebire de cele ce nu se reglează-, de către o singură caracteristică statică, ce se conturează sub acțiunea regulatorului automat. Aceasta caracteristică statică "automată" /141/ a obiectului ce se reglează, sau a sistemului, de fapt este curba regimurilor statice stabile, menținute automat în sistem.-

Coefficientul de stabilitate  $k_s$ , de fapt reprezintă rezistența dinamică a întregului sistem, alcătuit din sursa de alimentare cu curent și arcul de sudare, iar condiția stabilității poate fi enunțată astfel: "sistemul va fi static stabil, dacă rezistența dinamică exprimată prin  $k_s$ , numit coefficientul de stabilitate, va fi pozitiv" /140/-.

Se precizează, că fenomenul de autoreglare, amintit mai sus, în cazul încărcării cu procedeul vibroarc, aparține sistemului în ansamblu și nu numai descărcărilor arcului de sudare.-

Conform studiului /141/ rezultă că, condițiile de stabilitate pentru surse de alimentare cu curent cu inertie de gradul unu - pentru orice valori ale coefficientului de stabilitate  $k_s$  - sunt analoge condițiilor de stabilitate pentru surse de alimentare cu curent considerate fără inertie pentru un  $k_s > 0$ .

Sursele de alimentare cu curent cu inertie de gradul unu, sunt considerate în primul rînd generatoarele de curent continuu cu excităția independentă. Tot aici aparțin și redresoare de sudură având în circuitul redresat o inductanță adică cazul studiat.-

Practic, sursele de curent fără inertie sunt considerate surse ce sunt folosite în cazul sudării cu curent alternativ precum și în cazul sudării cu curent continuu cu redresare de sudare ce nu au inductanță în circuitul de sudare (circuitul curentului redresat).-

La sudare cu scurcircuitorile periodice-sistematice (vibroarc) topirea sîrmei-electrod se produce fără trecerea metalului în perioada de timp cînd arde arcul, această tredere a metalului se realizează în timpul scurtcircuitelor, cînd sîrma

electrod se produce fără trecerea metalului în perioada de timp cînd arde arcul, această trecere a metalului se realizează în timpul scurtcircuitelor, cînd sîrmei-electrod practic nu se topesc. Prin urmare în acest caz, viteza de lungire a arcului  $v_a = 0$  în timpul arderii arcului. Conform cercetărilor /141/, procesul de formare a picăturii pe capătul sîrmei-electrod, poate provoca o oarecare lungire a arcului, dar acest fenomen numai foarte puțin reduce viteza de avans rezultantă a sîrmei-electrod, care la sudare cu scurtcircuitările periodice totdeauna este mai mare decît viteza de lungire a arcului. Variatiile regimului de sudare au caracterul ciclic tranzitoriu ce se repetă. Deoarece nu există dependență directă între viteza de topire a sîrmei-electrod și viteza de lungire a arcului la sudare cu scurtcircuitările periodice, la vibroarc, fenomenul de autoreglare sub forma sa pură nu se observă (nu există).-

Totuși, analizînd un ciclu al procesului de topire și de trecere a metalului în ansamblu, se poate adapta noțiunea de autoreglare "integrală", la care viteza medie de topire și de trecere a metalului la un proces stabil ce se repetă, este egală cu viteza de avans a sîrmei-electrod.-

Condițiile de mai sus (7.1 și 7.2) stabilite de /88/ au fost reproduse în manuale, studii și articole din reviste /93, 94, 140, 141 și alții/.-

Între timp însă, au apărut mai multe procedee noi de sudare și încărcare a pieselor, care au ciclurile de sudare cu totul deosebite. În funcție de piesa de sudat se alege și procedeul de aplicat. Vorbind în general, sunt posibile variațiile lungimii arcului în trepte, periodice cu variații brusă și lente sau cum sunt cele ce ne interesează în mod deosebit procedele pulsatorii și în special procedeul vibroarc.-

Procedeul vibroarc, în esență, este un procedeu mecanizat de sudare (încărcare) cu arc electric pulsator, cu oată periodicitate într-un mediu protejat și în ansamblu procedeul este automatizat.-

Evident, asupra alegerii formei caracteristicii sursei de alimentare cu curent, o mare influență au proprietățile dispozitivului care realizează avansul sîrmei-electrod în zona de

ardere a arcului, precum și particularitățile tehnologice ale procesului de sudare.-

Deci, condiția clasică  $k_s > 0$  este necesară dar insuficientă pentru asigurarea stabilității sistemului în condiții reale.-

In cazul procedeului vibroarc oscilogramele într-un caz general, pentru curent continuu și redresat sunt prezentate în fig. 1.2,a.-

Conform cu /107/ rezultă că, creșterea inductanței circuitului de sudare L, duce la mărirea lui  $t_a$  și  $t_k$ . Prin urmare, asupra sumei  $t_a + t_k$  influențează într-o mai mare măsură inductanța circuitului.-

La valorile inductanței L, mai mici de o carecare valoare minimă  $L_{min}$ , suma  $t_a + t_k$  va fi mai mică decât  $t_c$ . In aceste condiții, în fiecare ciclu al procesului vibroarc, se constată apariția perioadelor de mers în gol (fig.1.2,a), iar durata lor se exprimă prin:

$$t_o = t_c - (t_a + t_k) \quad (7.4)$$

In aceste perioade de mers în gol, căldura nu se degajă, ci numai se conduce de la locul încărcării și de la vîrful sîrmei-electrod. De aceea, la momentul trecerii metalului de pe sîrma-electrod, piesa în locul de încărcare poate să nu fie încălzită suficient pentru ca să asigure o bună aliere respectiv, aderență între metalul de adaos și cel de bază și o bună inter-pătrundere a metalelor.-

Existența perioadelor de mers în gol, însemnează între-ruperea trecerii curentului electric în acea perioadă. Deci, formarea perioadelor de mers în gol nu este dorită atât din punct de vedere al productivității încărcării cît și din punct de vedere al finetiei suprafetei stratului încărcat, al cantității pierderilor metalului sîrmei-electrod și cum s-a mai amintit al calității slabe de aliere între metalul depus și cel de bază. Este de dorit, ca procesul de încărcare să devurgă conform oscilogramei reprezentată în fig. 5.8. In acest caz, durata ciclului procesului  $t_c$  este aproximativ egală cu durata perioadei de vibratie  $t_v$  a sîrmei electrod.-

Un astfel de proces, se consideră a fi normal, și în felul acesta este luat în considerare în teză. În astfel de condiții, indicii tehnico-economiici ai încărcării, sunt mult mai buni, de aici și interesul practic deosebit, pentru determinarea inductanței minime necesare care asigură, pentru parametrii date ai ciclului și ai circuitului de sudare, eliminarea, perioadelor de mers în gol, asigurând trecerea continuă a curentului prin circuit.-

O altă precizare necesară de făcut este, că relațiile stabilite mai jos, se referă la cazurile când încărcarea se execută cu capete automate ce asigură viteza de avans constantă a sîrmei-electrod, de altfel aşa cum se procedează în practică. În aceste cazuri, stabilitatea procesului este asigurată prin fenomenul de autoreglare a regimului cu surse de alimentare cu curent de tip electromagnetic, cu inertie de gradul unu cu caracteristicile externe liniare.-

Trecerea neîntreruptă a curentului în procesul vibroarc este posibilă, dacă parametrii circuitului de sudare sunt stabiliți în mod corespunzător.-

La trecerea neîntreruptă a curentului condiția este că  $t_0 = 0$ , deci:

$$t_c = t_a + t_k \quad (7.4)$$

și rezolvînd ecuațiile ce exprimă starea de scurtcircuit (5.2.) și pe aceea de ardere a arcului (5.3) și rezolvînd sistemul conform celor stabilite în sub. cap. 5.2., obținem relația pentru inductanță minimă (5.11), care însă practic nu convine.

Adică:  $L_{min} = \frac{t_c U_0}{2 \cdot I_s} \cdot (1 - \beta)$

unde:

$$\beta = \frac{t_a}{t_c} = \frac{U_s}{U_a}$$

Relația obținută sub (5.11) o transformăm după cum urmează:

ținem cont că:  $\frac{U_s}{U_0} = 0,750 - 0,850$

ceea ce se va demonstra în continuare la Cap. 9, putem admite

astfel că:

$$U_0 \approx 1,18 \cdot U_s$$

$$f = \frac{1}{t_c}$$

obținem:

$$L_{min} = \frac{1,18 \cdot U_s}{2 \cdot I_s \cdot f} \left(1 - \frac{U_s}{U_a}\right) \text{ sau}$$

$$L_{min} = \frac{0,6 \cdot U_s}{f \cdot I_s} \left(1 - \frac{U_s}{U_a}\right) \quad (7.5)$$

adică valori ce pot fi ușor predeterminate în condiții practice.  
unde:  $U_o$  - tensiunea de mers în gol a sursei de alimentare cu  
current în V;  $U_a$  - tensiunea arcului electric în V;  $U_s$  - tensiunea medie de sudare în V;  $I_s$  - intensitatea medie a curentului  
în A.;  $t_a/t_c$  - timpul relativ de ardere a arcului și  $f$  - frecvența de vibrație în Hz.

Relația (7.5), reprezintă condiția ce asigură trecearea continuă a curentului prin circuitul de sudare, eliminând perioadele de mers în gol. Este valoarea minimă a inductanței ce asigură ca procesul vibroarc să devurgă stabil.

Din analiza stabilității regimului de încărcare cu procedeul vibroarc (sub.cap.5.5)a. rezultat condiția prin care se determină valoarea rezistenței dinamice a circuitului de sudare, dedusă din ecuația diferențială de mișcare a sistemului (relația 5.33), din care se determină condiția extrem de importantă pentru determinarea valorii maxime admisibile a inductanței circuitului de sudare, ce asigură stabilitatea regimului de lucru cu procedeul vibroarc.

$$R_e \left( R_e + c \frac{t_a}{t_c} \right) \quad (7.6)$$

$$L_{max} < \frac{R_e \left( R_e + c \frac{t_a}{t_c} \right)}{k_w \cdot b \left( U_o - U_a \cdot \frac{t_a}{t_c} \right)}$$

unde:  $\xi = 1 - \frac{a + c \cdot I_s}{U_a + b \cdot t_a \cdot M} > 0$

$$k_w = \frac{1}{1000 \cdot k_A \cdot k_r \cdot K_c \cdot U_o^{3/4} \cdot d_e^{5/3}}$$

$M$  - este o funcție trigonometrică complexă dată în (5.24) care însă pentru  $\xi > 0$  trebuie să îndeplinească condiția:

$$M > - \frac{l_a \cdot m_d}{t_a}$$

care, cu o anumită aproximare poate fi admisă

$$M > - \frac{v_e}{2} \quad - // -$$

Valorile coeficientilor  $k_w$ ,  $k_A$ ,  $k_r$  și  $k_c$  sunt date în cap.2.

Prin acești coeficienți se ține cont de influența: amplitudinii de vibrație a sîrmei-electrod, rezistența echivalentă a circuitului de sudare, lungimea capătului liber a sîrmei-electrod, frecvența vibrațiilor și compoziția chimică a sîrmei-electrod..-

Valorile acestor coeficienți sunt date în literatura de specialitate /213, 105, 134, 156/-.

Pentru regimurile de lucru și materialele sîrmelor-electrod curent folosite în cercetările și experimentările efectuate, cu aplicabilitate la: supape și tije ventil pentru turbine cu abur, și alte piese asemănătoare, și pentru cîteva piese pentru locomotive diesel-electrice ca: bulon tijă de distribuție, diferite axe, bulon pentru culbotor, ventil de admisie, boltul tachețului etc, valorile medii ale acestor coeficienți pot fi acceptate (în cadrul erorilor practic admise);  $a = 20$  V;  $b = 30$  V/cm;  $c = 0,0055$  V/A;  $k_A = 1,90$ ;  $k_r \approx 1,10$ ;  $k_c \approx 1,20$ ;  $\lambda \approx 0,2$  cm.

In aceste condiții și făcind unele înlocuiri, relația (7.6) capătă forma mai simplă și mai ușor aplicabilă în practică:  $L_{max} < \frac{(Re + 17 \frac{U_s}{U_a}) \cdot \delta}{30 \cdot k_w \cdot I_s}$  (7.8)

In consecință, condițiile clasice stabilite în /88/ exprimate prin relațiile /71/ și /7.2/ și considerate ca universal valabile, de fapt sunt necesare dar insuficiente. In ce privește relația (7.1),  $L > 0$ , în cazul procedeului vibroarc este fără sens, deoarece s-a văzut că inductanța circuitului de sudare trebuie să aibă o valoare strict în intervalul a două valori limită  $L_{min}$  și  $L_{max}$ , trebuind să îndeplinească un dublu rol: să asigure continuitatea trecerii curentului prin circuitul de sudare, eliminând perioadele de mers în gol și să asigure stabilitatea regimului de încărcare, respectiv a sistemului.-

Practic, aceste condiții pot fi realizate printr-o inductanță variabilă (reglabilă), așa cum este prevăzută în instalatia experimentală de la Intreprinderea de Mașini Grele din București, unde s-au executat cercetările, ale căror rezultate sunt prezentate în teză.-

In concluzie, forma generală a condițiilor de stabilitate ce cuprinde o largă gamă de procedee inclusiv procedeul de sudare (încărcare) cu vibroarc, cuprinde grupul de trei relații fundamentale (7.2), (7.5) și (7.6) sau (7.8).-

Se precizează, că specific procedeului vibroarc, mai trebuie să satisfăcute unele condiții preliminare, în vederea asigurării stabilității regimului de lucru și anume:

$$U_s > \frac{1}{2} U_o \text{ și } \frac{t_a}{t_c} > \frac{U_o}{2U_a} \quad (7.8)$$

În baza lucrării /106/ și respectiv a relației (7.8) dedusă, s-a trasat curba valorilor maxime ale inductanței  $L_{max}$ , funcție de frecvență de vibrație a sîrmei-electrod (fig. 7.1, curba 1), iar în baza rezultatelor cercetărilor și experimentărilor proprii (tabelele nr. 7.1 și 7.2), s-au trasat curbele pentru valorile minime ale inductanței  $L_{min}$  funcție de frecvență (fig. 7.1, curbele 2 și 3) suprapunindu-le în acelaș grafic cu  $L_{max}$ .

Pentru a putea face o comparație și corelarea cît mai concludentă între rezultatele obținute în lucrarea /106/ pentru valorile lui  $L_{max}$  (fig. 7.1 curba 1), cu rezultatele cercetărilor proprii la determinarea valorilor lui  $L_{min}$  (fig. 7.1, curbele 2 și 3), au fost folosite atât materialele (cel de bază și sîrma-electrod) cît și regimurile de lucru cît mai apropiate cu cele folosite în lucrarea /106/ indicate în tabelele 7.1 și 7.2, iar materialul de bază OLC45.-

Din figura 7.1, se vede, că domeniul valorilor inductanțelor ce asigură funcționarea stabilă a sistemului este destul de mare. Rezultă, că valoarea inductanței trebuie să satisfacă cele două limite respectiv intervalele  $L_{max}$  și  $L_{min}$  la o anumită frecvență.-

In afara de aceasta, se constată că inductanța  $L_{min}$  pentru un acelaș diametru de sîrma-electrod și aceiași frecvență este cu atît mai mare cu cît puterea medie a arcului este mai mică ( $W_{md} = U_s \cdot I_s$ ). Astfel, dacă calculăm această putere pentru fiecare punct din tabelele 7.1 și 7.2, constatăm, că în casul sîrmei-electrod S lo NC 180 cu Cr = 19,7% și Ni = 9,26% (tabela 7.2) puterea medie pentru toate 6 puncte este de 2450 W, inductanțele  $L_{min}$  se așeză pe curba 2 fig. 7.1, iar

punctele din-tabela 7.1, care au puterea medie de 3480 W se așează cu inductanță  $L_{min}$  pe o curbă 3 fig. 7.1, dedesubtul curbei 2. Sîrma-electrod în experimentările prezentate în tabela 7.1, este de marca 15124 (cehoslovacă) normal aliată.-

Din forma curbelor 2 și 3 rezultă, că valorile minime ale inductanței  $L_{min}$ , au și o valoare maximă a sa pentru fiecare sîrme-electrod, în intervalul de circa 60-70 Hz.-

Din relația (7.5) și fig. 7.1 se poate trage concluzia importantă, că valoarea minimă necesară a inductanței este determinată în principal de frecvența vibratiei sîrmei-electrod și de puterea medie a arcului, care la rîndul său depinde de diametrul și viteza de avans a sîrmei electrod.-

Mărirea frecvenței de vibrație, a diametrului sîrmei-electrod și a vitezei ei de avans, impun reducerea inductanței circuitului de lucru.-

Din fig. 7.1 - rezultă, că inductanța minimă practic variază foarte puțin și este aproape constantă în intervalul frecvențelor 50 - 75 Hz.

Mai departe rezultă, că variind în anumite limite puterea medie a arcului, se poate influența asupra procesului de încărcare putind astfel să se obțină o structură dorită și deci și duritatea metalului încărcat.-

In fig. 7.2 - este reprezentată grafic, în baza datelor obținute experimental (tabelele 7.1 și 7.2), dependența frecvenței de vibrație a sîrmei-electrod funcție de inductanță minimă  $L_{min}$ .

Rezultă evident, că frecvențele mici însemnează necesitatea unor inductanțe mari, ceea ce din mai multe puncte de vedere nu este recomandabil, și în special din punct de vedere economic. Frecvențele recomandabile rezultă a fi în jurul valorilor 50 - 75 Hz.-

In fig. 7.3, este prezentată grafic, în baza datelor experimentale (tabelele 7.3 și 7.4) funcția  $L_{min} = f(U_0)$ , care asigură stabilitatea regimului de lucru cu procedeul vibroarc.

O primă concluzie ce se poate trage din aceste curbe, este că, cu cît diametrul sîrmei-electrod este mai mic inductanță

Tabelor: 142

$U$ V	$U_s$ v	$I_s$ A	$U_a$ v	de mm.	f Hz.	$C_02$ l/min.	$\frac{W_{ind}}{I_s \cdot U_s}$ W	$L_{min.}$ m/H
25,0	21,4	165	24,5	2,0	40	14	3500	0,244
25,0	20,0	165	24,2	2,0	50	14	3300	0,235
25,0	20,0	170	25,0	2,0	60	14	3300	0,242
25,0	20,0	165	24,2	2,0	80	14	3300	0,163
25,0	20,0	160	24,0	2,0	100	14	3360	0,023

Sirma-electrod: marca 15124 (Cehoslovacă), cu analiza chimică  
 $C = 0,17 \div 0,24\%$ ;  $Mn = 0,4 \div 0,7\%$ ;  $Si = 0,17 \div 0,37\%$ ;  $Cr = 0,8 \div 1,1\%$ ;  $Ni = \text{max. } 0,4\%$ ;  
 $P = \text{max. } 0,035\%$ ;  $S = \text{max. } 0,03\%$ ;  $Cu = \text{max. } 0,25\%$ ;  $Mo = 0,15 \div 0,25\%$ ;  
 (otel aliat Cr-Ni)

$I_s/U_s$  sunt valori medii cîtite pe aparat;

Puterea medie a arcului pentru 5 poziții este: 3480 W;

$l_{md} \approx 1,1$  lungimea medie a arcului;

$\lambda = 1,5$  mm; încărcarea se face cu polaritate inversă.

$v_s = 16$  mm/s.

Curba: 3

$$\frac{U_s}{U_a} = 0,873; 0,827; 0,800; 0,828; 0,834.$$



Tabel 2:

$\frac{U_0}{V}$	$\frac{U_s}{V}$	$I_s$	$\frac{U_a}{V}$	$d_0$ mm	f Hz.	$C_{O_2}$ l/min.	$W_{md} =$ $= I_s \cdot U_s$ J	$L_{min}$ mH
22,5	19,0	195	25,6	2,0	40	14	3750	0,292
18,3	15,5	155	23,6	2,0	50	14	2190	0,325
23,6	20,0	130	25,9	2,0	60	14	2600	0,325
21,3	18,0	100	23,4	2,0	70	14	1800	0,330
23,6	20,0	95	25,8	2,0	95	14	1500	0,281
21,8	18,5	120	24,0	2,0	100	14	2220	0,193

Sirma-electrod: marca S10NC180 cu analiza chimica:  
 Cr=0,08%; Mn=0,52%; Si=0,30%; Cr=19,7%; Ni=9,26%;  
 Cu=0,13%; P=0,019%; S=0,008%;

S-a lucrat cu polaritate inversă;

$l_{md} \approx 1,1$  mm;  $\lambda = 1,5$  mm.

Poterea medie a arcului pentru 6 pozitii este 2450 W.

$v_0 \approx 25$  mm/s.

Curba 2

$$\frac{U_0}{U_a} = 0,743; 0,658; 0,775; 0,775; 0,775.$$

-82/3-

Tabelor: 7.3

Nr. crt.	$U_o$ v	$U_s$ v	$I_o$ A	$U_a$ v	de mm.	f Hz.	$CO_2$ l/min.	$L_{min}$ ml.
1	13,8	11,5	110	22,5	1,2	70	18	0,4440
2	15,0	12,0	120	23,0	1,2	60	18	0,5000
3	15,2	12,2	115	23,0	1,2	65	18	0,4533
4	18,0	15,8	100	23,5	1,2	65	18	0,4577

Sirma-electrod: marca S11M2S, analiza chimică:

C = max 0,11%; Mn = 1,8÷2,1%; Si = 0,7÷0,95%; Cr = max 0,2%;  
Ni = max 0,25%; P = 0,03%; S = 0,03%.

Curba: 2

Tabelor: 7.3

Nr. crt.	$U_o$ v	$U_s$ v	$I_o$ A	$U_a$ v	de mm	f Hz.	$CO_2$ l/min.	$L_{min}$ ml.
1	14,50	12,5	180	22,8	2,0	70	18	0,258
2	18,50	15,8	160	23,5	2,0	70	18	0,272
3	22,50	19,2	140	24,6	2,0	70	18	0,253
4	25,20	21,5	130	25,8	2,0	70	18	0,223

Sirma-electrod: marca S10NC180, cu analiza chimică:

C = 0,08%; Mn = 0,52%; Si = 0,30%; Cr = 19,7%; Ni = 9,25%; Cu = 0,13%; S = 0,005%; P = 0,019%.

$l_{end} \approx 1,1\text{ mm}$ ;  $\lambda = 1,5\text{ mm}$ .

Curba: 1.

minimă a circuitului crește. La cele două grupe de încercări experimentale, frecvența vibrațiilor s-a menținut în limitele de 60-70 Hz. În intervalul tensiunilor de mers în gol de 16-22 V, inductanța minimă are valoare aproape constantă.-

O concluzie importantă, este și aceea, că sîrmele-electrod aliate, mai ales cu Cr, Ni și Mn, au rezistență electrică mai mare și în consecință cantitatea de căldură ce se dezvoltă în porțiunea între contacte și capătul sîrmei-electrod este mai mare, ceea ce se confirmă și prin caracteristicile de topire ale sîrmei-electrod în cazul încărcării cu vibroarc. Cercetările noastre confirmă și dezvoltă cercetările cuprinse în /loc/. Aceste cercetări arată, că, coeficienții de topire  $\alpha_x$  ale sîrmei-electrod cu Cr, Ni, și Mn este cu mult mai mare decât la cele nealiate. În ambele cazuri  $\alpha_x$  este mai mare, cînd se sudorează cu polaritatea directă decât cu polaritatea inversă (fig.2.7).

Este deci de mare importanță, ca la stabilirea inductanței minime necesare, să se cunoască analiza chimică a sîrmei-electrod.-

Pentru o aceeași frecvență de vibrație, inductanța minimă  $L_{min}$ , este cu atît mai mare cu cît sîrma-electrod este mai aliată (fig.7.2) și la o aceeași tensiune de mers în gol, inductanța este cu atît mai mare cu cît sîrma-electrod este mai puțin aliată (fig. 7.3).-

Revenind asupra fig. 7.1., rezultă, că pentru asigurarea unei stabilități a procesului vibroarc valoarea inductanței circuitului de sudare (încărcare) trebuie să satisfacă cele două limite, adică una maximă (relația 7.8) și una minimă (relația 7.5). Fiecare din aceste valori  $L_{max}$  sau  $L_{min}$  determinate conform relațiilor amintite, satisfac condițiile impuse și în special eliminarea mersului în gol. Din acest punct de vedere ambele valori ar putea fi în felul lor valori optime ale inductanței. Dacă privim ansamblul factorilor principali, ce intră în joc la asigurarea unei încărcări de bună calitate și instalația să fie economică, atunci inductanța optimă ar putea fi prezentată astfel:

$$L_{min} < L_{opt} < L_{max} \quad (7.9)$$

Se recomandă ca această valoare optimă a inductanței

să fie determinată pe cale experimentală, mai ales dacă este vorba de un număr important de piese de acelaș fel sau asemănătoare între ele. Experiența demonstrează, că unele valori numite "optimale" ale inductanței date în literatură /93/ nu corespund realității, deoarece nu țin cont de condițiile fundamentale care stau la baza determinării inductanței ce asigură stabilitatea procesului vibroarc.-

După cum am văzut, pentru fiecare diametru al sîrmei-electrod, analiza ei chimică și regim de lucru (adică centru condiții concrete de încărcare), există o valoare bine determinată a inductanței circuitului de lucru.-

Ca o indicație practică, ce rezultă, este că sursele de alimentare cu curent trebuie să fie construite cu o inductanță reglabilă, având trepte ce corespund diametrelor sîrmelor - electrod utilizate curent. În prezent, în majoritatea țărilor, aceste sîrme-electrod cîște folosesc curent, au diametre de: 1,0; 1,2; 1,4; 1,6; 1,8; 2; 2,2; 2,5; și 3 mm., diametrul de 0,8 mm se folosește mai rar. Sîrmele-electrod cu diametre mai mari 3,5 și 4 mm încă se folosesc mai rar, ele reprezentînd perspectiva apropiată, aceasta din lipsa capetelor automate pentru care trebuie să fie căutate soluții constructive corespunzătoare. În această categorie intră și sîrmele-electrod bandă. O dată construite aceste capete automate pentru sîrme-electrod de diametre mai mari de 3 mm, respectiv pentru electrozi sub formă de bandă, productivitatea încărcărilor prin procedeul vibroarc se va mări considerabil. Amintim aici numai atât că, cu creșterea diametrului sîrmei-electrod cantitatea de metal topit în unitatea de timp-al sîrmei-electrod crește la pătrat (de fapt la puterea 5/3 din cauza unor fenomene colaterale).-

In vederea predeterminării rapide orientative a valoarii inductanței minime necesare, în fig. 7.4 este trasată curba  $L_{min} = f(U_0)$  reprezentînd valoarea medie ale inductanțelor minime, drept rezultat a 14 probe (tabelc 7.5, 7.6 și 7.7) grupate după trei calități diferite ale sîrmelor-electrod. Diametrul sîrmelor-electrod la toate probele 1,6 mm, frecvența de vibrare 60-70 Hz, iar mediu protector  $CO_2 + Ar$ .  $CO_2 = (2,5 - 9) l/min.$  Argon = (10 - 15) l/min. Un singur caz (tabela 7.5 noz.3) mediu

- R<sup>2</sup>, S<sup>2</sup> -

Tabel 1/a:

Nr. ct.	U <sub>o</sub> v	U <sub>s</sub> v	I <sub>s</sub> A	U <sub>a</sub> v	d <sub>e</sub> mm	f Hz.	Gaz brojat		L <sub>min.</sub> ml.
							CO <sub>2</sub> l/min.	Argon l/min.	
1	13,8	10,5	150	22,5	1,6	65	8	15	0,373
2	13,8	10,5	150	22,5	1,6	70	9	15	0,354
3	13,8	10,5	150	22,5	1,6	60	-	20	0,141?

- Sirma-electrod: marca „Chromenar 410”, analiza chimică:  
C=0,10%; Mn=0,50%; Si=0,30%; Cr=13,0%.

Punctul 1 de pe curbă.

Tabel 1/c: T.6

Nr. ct.	U <sub>o</sub> v	U <sub>s</sub> v	I <sub>s</sub> A	U <sub>a</sub> v	d <sub>e</sub> mm	f Hz.	Gaz brojat		L <sub>min.</sub> ml.
							CO <sub>2</sub> l/min.	Argon l/min.	
1	14,9	13,2	100	23	1,6	70	8	10	0,455
2	14,9	13,2	100	23	1,6	70	8	10	0,455
3	14,9	13,2	100	23	1,6	70	8	10	0,455
4	14,9	13,2	100	23	1,6	70	8	10	0,455
5	14,9	13,2	100	23	1,6	70	8	10	0,455

- Sirma-electrod: marca S800Cr1 analiza chimică:  
C=0,73%; Mn=0,73%; Si=0,27%; Cr=0,86%; Ni=0,12%; Cu=0,13%;  
S=0,009%; P=0,018%.

Punctul 2 de pe curbă:

Tabelor:

Nr. sf.	$U_o$ v	$U_b$ v	$I_s$ A	$U_a$ v	d <sub>e</sub> mm.	f Hz.	Gaz prelucrat		L/min. m <sup>3</sup>
							CO <sub>2</sub> l/min.	Argon l/min.	
1	17,0	15,0	120	24	1,6	70	2,5	15	0,300
2	17,0	15,0	120	24	1,6	70	2,5	15	0,300
3	17,0	15,0	120	24	1,6	70	2,5	15	0,300
4	17,0	15,0	120	24	1,6	70	2,5	15	0,300
5	17,0	15,0	120	24	1,6	70	2,5	15	0,300
6	15,6	13,8	110	22,8	1,6	70	2,5	15	0,3

- Sîrma-electrod: marca S10NC180, analiza chimică:

C = 0,08%; Mn = 0,52%; Si = 0,30%; Cr = 19,7%; Ni = 9,26%.

- Punctul 3 de pe curbă.

protector a fost numai Argon cu 20 l/min.

Și cu fig. 7.4, se confirmă influența importantă a elementelor de aliere din sîrmele-electrod Cr, Ni, Si și Mn, în ce privește valorile inductanței minime necesare, pentru asigurarea unei bune stabilități a procesului de încărcare cu vibroarc.-

Punctele 1 și 3 (fig.7.4) reprezintă sîrmele-electrod cu un conținut ridicat de Cr și cu aproape același conținut de Mn, Si și C. Punctul 2 - reprezintă o sîrmă-electrod din oțel slab aliat, cu conținutul de carbon mai ridicat.-

Analizele chimice ale sîrmele-electrod sunt indicate în tabele.

In concluzie:

Forma generală a condițiilor de stabilitate, ce cuprinde o gamă largă de procedee inclusiv cele cu impulsuri, deci și proceful vibroarc, constau din următoarele relații:

$$\left. \begin{aligned} \frac{\partial U_a}{\partial I} - \frac{\partial U_s}{\partial I} &> 0, \\ L_{min} = \frac{0,6 \cdot U_s}{f \cdot I_s} \cdot \left(1 - \frac{U_s}{U_a}\right), \\ L_{max} < \frac{8(R_e + 17 \cdot \frac{U_o}{U_a})}{30 \cdot k_w \cdot I_s} \end{aligned} \right\} \quad (7.10)$$

x  
x      x

In afară de rezultatele generale obținute și prezentate mai sus, sau stabilite relațiile pentru calculul valorilor inductanțelor maxime și minime, care verificate pe cale experimentală dă rezultate foarte apropiate de cele reale (în toleranțe admise).-

In felul acesta, unele formule prezentate în literatură, cărora se afecteză diferenții coeficienți pentru a obține valoarea cât mai aproape de cea reală a inductanței, se pot scoate din circulație.-

Astfel, formula inductanței dată în lucrarea '98/ este.

$$L = \frac{2 \cdot U_a^2 \cdot t_e}{27 \cdot p} \quad (7.11)$$

(semnificația literelor este cunoscută, iar  $P = I_s \cdot U_s$ ), autorul formulei recomandă ca inductanța calculată cu relația (7.11) să fie mărită cu (50-100)%, determinând astfel valoarea inductanței reale necesare. După cum se vede un domeniu foarte larg de incertitudini.-

Prin cercetările prezentate mai sus, precizarea formulelor pentru  $L_{\min}$  și  $L_{\max}$  această incertitudine se elimină.-

CAP. 8 - CERCETAREA INFLUENȚEI VITEZELOR DE AVANS A SIRMEI-ELECTROD  
SI LINIARA A PIESEI, ASUPRA PARAMETRILOR  
DE INCARCARE SI CALITATII STRATULUI INCARCAT

- 8.1. - Stabilirea relațiilor de lucru pentru  $v_p$ ,  $h$ ,  $v_e$  și  $n$ ,  
aducerea lor la nivelul cunoștințelor actuale și practic accesibile.

Regimurile de încărcare a pieselor cu procedeul vibro-arc, au o deosebită influență asupra calității stratului încărcat. În afară de parametrii ce au fost analizați în alte capitole, aci se va cerceta influența celor două viteze, adică viteză de avans a sîrmei-electrod  $v_e$  și viteză de încărcare  $v_p$ .

Se constată, că grosimea stratului încărcat, intensitatea curentului de sudare și tensiunea, depind de viteză de avans a sîrmei-electrod și de raportul între viteză de încărcare a piesei și a vitezei de avans a sîrmei-electrod  $\left(\frac{v_p}{v_e}\right)$ , ceea ce rezultă din următoarea relație matematică pe care o deducem:

In baza notațiilor prezentate mai jos, putem calcula volumul de metal încărcat într-o secundă  $q$  exprimat prin dimensiunile stratului încărcat:

$$q = h \cdot s \cdot v_p \cdot a$$

Pe de altă parte,  $q$  poate fi determinat în baza cantității de metal ce trece în stratul încărcat de pe sîrma-electrod

$$q = \frac{\pi \cdot d_e^2}{4} \cdot v_e \cdot k$$

sau prin egalarea celor două relații, avem:

Viteză de încărcare a piesei:

$$V_p = \frac{0,785 \cdot d_e^2 \cdot v_e \cdot k}{h \cdot s \cdot a}$$

iar grosimea stratului încărcat rezultă..

$$h = \frac{\pi \cdot d_e^2}{4 \cdot s} \cdot \frac{v_e}{v_p} \cdot k = 0,785 \frac{0,8 \cdot d_e^2}{\left(\frac{v_p}{v_e}\right) \cdot s} \quad (8.1)$$

unde  $d_e$  - diametrul sîrmei electrod în mm.

$h$  - grosimea stratului încărcat în mm;  
 $s$  - avansul longitudinal al capului;  
 $\frac{V_p}{V_e}$  - raportul între vitezele de rotație a piesei și de avans a sîrmei-electrod.

- $k$  - coeficientul de trecere a metalului sîrmei-electrod în metalul încărcat apreciat după un sir întreg de experiențe egal aproximativ cu 0,8 ( $k = 1-p$ , unde  $p$  - rezonanță pierderile metalului topit al sîrmei-electrod prin ardere și stropire);
- $a$  - coeficientul prin care se ține cont de abaterea la secțiunea faptică a cusăturii depuse, față de dreptunghiul cu înălțimea egală grosimii încărcate. Practic, admitem  $a=1$  deoarece se tratează problema strurilor subțiri... ‘

Iar viteza de avans a sîrmei-electrod poate fi exprimată prin relația:

$$v_e = \frac{4 \cdot I_s \cdot \alpha_t}{\pi \cdot d_e^2 \cdot \rho} \quad (8.2)$$

unde:  $I_s$  - intensitatea curentului de sudare în A;

$\alpha_t$  - coeficientul de topire a sîrmei-electrod în g/As;

$d_e$  - diametrul sîrmei-electrod în mm;

$\rho$  - densitatea metalului sîrmei-electrod în g/mm<sup>3</sup>

Pentru regimurile normale de lucru coeficientul de topire admitem egal cu  $2,0 \cdot 10^{-3} \div 3,3 \cdot 10^{-3}$  g/As.

Dependența grosimii metalului (stratului) încărcat  $h$ , de raportul vitezelor  $(\frac{V_p}{V_e})$  este deosebit de importantă din punct de vedere practic.

Relația obținută pentru calculul grosimii stratului încărcat, reprezintă ecuația unei hiperbolice.

Pentru sîrmele-electrod de 2; 1,6 și 1,2 mm diametru putem admite  $s = 1,5 \cdot d_e$  și  $k = 0,8$ .

In acest caz relația (8.1) pentru  $d_e = 2$  mm. capătă forma:

$$h_2 = \frac{0,84}{\left(\frac{V_p}{V_e}\right)} \quad (8.3)$$

- // -

iar pentru  $d_e = 1,6$  și respectiv  $d_e = 1,2$  mm. relațiile sunt:

$$h_{1,6} = \frac{0,67}{\left(\frac{v_p}{V_e}\right)} \text{ și } h_{1,2} = \frac{0,50}{\left(\frac{v_p}{V_e}\right)} \quad (8.4)$$

Viteza de rotație a piesei de încărcat în funcție de viteza de avans a sîrmei-electrod, diametrul ei, grosimea stratului și pasul încărcării, se poate calcula din relația:

$$n = \frac{12 \cdot d_e^2 \cdot v_e}{D \cdot h \cdot s} \quad (8.5)$$

În locul relației clasice cunoscută stabilită de /98/ sub forma

$$n = \frac{15 \cdot d_e^2 \cdot v_e \cdot k}{(D+h) \cdot h \cdot s.a} \quad (8.6)$$

Simplificarea formulei (8.6), respectiv aducerea ei în formă practic mai accesibilă, constă în: acceptarea coeficiențului  $a = 1$  deoarece în general straturile sunt (foarte subțiri);  $k = 0,8$  ceea ce corespunde valorii medii a acestui coefficient în condiții normale de încărcare; mărimea  $D + h \approx D$  deoarece  $h$  are valori mici, iar  $D$  este mult mai mare decât  $h$ . De altfel semnificația lui  $k$  și a este dată mai sus.- .

În formulele (8.5) și (8.6), avem:

$n$  - numărul de ture, al piesei de încărcat pe minut;

$d_e$  - diametrul sîrmei-electrod în mm;

$v_e$  - viteza de avans a sîrmei-electrod în mm/s;

$D$  - diametrul piesei de încărcat în mm;

$h$  - grosimea stratului de încărcat în mm;

$s$  - avansul longitudinal al capului automat mm/rot.

În tabela 8.1. sunt redate rezultatele experimentale pentru verificarea practică a relației  $h = f\left(\frac{v_p}{V_e}\right)$ . Din analiza rea datelor obținute, rezultă importanța raportului  $\frac{v_p}{V_e}$ , care devine astfel un parametru hotărîtor la alegerea respectiv fixarea grosimii stratului încărcat. Astfel, funcția  $h = f\left(\frac{v_p}{V_e}\right)$  devine un criteriu.-

3.2. - Dependenta grosimii stratului incarcat functie de raportul vitezelor  $\frac{v_p}{v_e}$  rezultatele experimentale.

Conditii teoretice si practice de experimentare au fost: materialul piesei (materialul de baza) OLC 45, sarma-electrod din acelasi material cu diametrul 2 mm, incarcarea sa executat sub jet de lichid de lucru circa 2,5 - 3 l/min, amplitudinea de vibrare  $A \approx 1,5$  mm, pasul incarcarii  $s = 3$  mm,  $k = 0,8$ . Viteza piesei in timpul incarcarii s-a menținut constantă.-

Tabela: 3.1

Influenta vitezelor sirmei-electrod si a piesei asupra parametrelor de incarcare

Nr.problemei	Vitezele sirmei-electrod și a piesei în m/h.	$\frac{v_p}{v_e}$	Grosimea stratului în mm.	Intensitatea rentului în VA		Tensiunea arcului în V	
				Frecvența vibrațiilor, în Hz			
				25	50	25	50
1.	38,7	20,8	0,54	1,85	1,76	100	100
2.	50,2	20,8	0,415	2,42	2,35	115	120
3.	64,2	20,8	0,325	2,81	2,66	120	150
4.	82,5	20,8	0,254	3,40	3,12	150	180

- Incarcarea s-a facut sub jet de lichid de lucru de circa 2,5-3 l/min;  $d_e = 2$  mm;
- Prin ajutorul central se trimitea circa 0,1 l/min. din lichidul de lucru.

Probele au fost continuate, schimbind conditiile si parametrii. Astfel, au fost executate 10 probe, dintre care 5 cu sarma-electrod marca S 11M2S cu diametrul de 1,2 mm. si 5 cu sarma-electrod marca "CROMENAR 4lo" cu diametrul de 1,6 mm. Restul parametriilor regimului de lucru sunt dati in tabela 8.2.

De scos in evidenta si schimbarea mediului protector respectiv  $CO_2$  si Ar.

Analiza sirmelor - electrod folosite:

S 11 M 2 S: C = max 0,11%; Mn = 1,8 - 2,1%; Si = 0,7-0,95%;  
Cr.=max 0,2%; Ni=max 0,25%; P = 0,03%; S = 0,03%.

"CROMENAR 4lo" C=0,10%; Mn = 0,50%; Si = 0,30%;  
Cr=13%.

8.3. Prelucrarea datelor experimentale prin metoda abaterilor medii pătratice, stabilirea ecuațiilor dreptelor de regresie pentru  $d_e = 1,2; 1,6$  și  $2 \text{ mm}$ , precum și a formei generale empirice a ecuației. Construirea graficelor  $h = f(\frac{V_p}{V_e})$  în sistemul dublu logaritmic.

Analiza structurală a relației de calcul (8.1), stabilită pe considerente teoretice, a condus pe autor la utilizarea în cadrul prelucrării datelor experimentale de măsurători a sistemului de coordonate dublu logaritmic. Prelucrarea datelor de măsurători referitoare la grosimea  $h$  a stratului încărcat și la raportul  $\frac{V_p}{V_e}$  a fost efectuată cu ajutorul relațiilor puse la

dispoziție de către statistică matematică și anume de metoda abaterilor medii pătratice, rezultând în final o corelare a parametrilor studiați de următoarea formă generală:

$$\frac{V_p}{V_e} = b \cdot h^a$$

unde a și b sunt constantele caracteristice dreptelor de regresie și a căror valoare se va determina pentru fiecare caz particular în parte.-'

Calculul valorilor a și b, bazat pe metoda mai sus menționată, referitor la sirul valorilor experimentale prezentate în tabelele 8.1 și 8.2. se conduce astfel:

- Se calculează valorile medii cu relațiile:

$$\log \bar{h} = \frac{1}{n} \sum_{i=1}^n (\log h)_i$$

$$\log \left( \frac{V_p}{V_e} \right) = \frac{1}{n} \sum_{i=1}^n \left( \log \frac{V_p}{V_e} \right)_i .$$

- Se calculează abaterile medii pătratice cu relațiile:

$$\sigma_h^2 = \sqrt{\frac{1}{n-1} \sum_{i=1}^n \Delta (\log h)_i^2}$$

Ufholzsponten für oxyso Sauerstoffmangel

Tabelle 8.

Nr.	Typus-molare sizmico-electro	d	1/5	1/5	1/5	f	n	Mastix proteector	Grasines abstand h mm		
		mm	mm/s	mm/s	Hz.	eff/min/sec	Ar.	CO <sub>2</sub>			
1	8.11.25	1,2	1,34	1,7	0,790	10	3	-	10	0,64	
2	-	1,2	1,02	1,9	0,520	60	5,3	3	-	18	0,67
3	-	1,2	0,67	1,8	0,370	65	3,5	3	-	19	1,36
4	-	1,2	0,56	1,5	0,560	65	3,0	3	-	18	0,895
5	-	1,2	0,47	1,5	0,315	65	2,5	3	-	18	1,59
6	Chromenar 3:10°	1,6	0,61	1,65	0,370	10	3,2	1,5	15	8	1,81
7	-	1,6	0,67	1,7	0,325	60	3,5	1,5	15	9	1,7
8	-	1,6	0,67	1,65	0,407	60	3,5	2,5	20	-	1,65
9	-	1,6	0,524	1,00	0,565	65	3,0	1,7	20	-	1,19
10	-	1,6	0,524	1,00	0,565	65	3,0	2,5	20	-	1,19

- Diagonal parallel Linien: 60 mm.

- Auf die höchste dienten durchgeführte Spalte der Tabelle ist ein Abstand von 60 mm.

- Sens. invers. der Membran & exz. aufgebracht.

- Puls. kontin. am unteren circ. off. am höchsten am hor.

$$\sigma_{\frac{V_p}{V_e}} = \sqrt{\frac{1}{n-1} \sum_{i=1}^n \Delta(\log \frac{V_p}{V_e})_i^2}$$

unde  $n$  = numărul de măsurători experimentale,

$$\Delta(\log h)_i = (\log h)_i - \bar{\log h};$$

$$(\log \frac{V_p}{V_e})_i = (\log \frac{V_p}{V_e})_i - \log (\frac{\bar{V}_p}{\bar{V}_e})$$

- se calculează coeficientul de corelare al regresiei cu relație:

$$r = \frac{1}{n-1} \cdot \frac{\sum_{i=1}^n \Delta(\log h)_i \cdot \Delta(\log \frac{V_p}{V_e})_i}{\sigma_h \cdot \sigma_{\frac{V_p}{V_e}}}$$

- se calculează parametrii dreptei de regresie cu relațiile:

$$a = r \cdot \sigma_{\frac{V_p}{V_e}} / \sigma_h$$

$$\log b = \log \left( \frac{V_p}{V_e} \right) - a \cdot \log \bar{h}$$

Calculele astfel conduse se prezintă rezumativ în tabelele 8.3. și 8.4, conducând în final la următoarele ecuații ale dreptelor de regresie:

- pentru  $d_e = 1,2$  mm  $\frac{V_p}{V_e} = 0,51 h^{-1,01}$ ;

- pentru  $d_e = 1,6$  mm  $\frac{V_p}{V_e} = 0,67 h^{-1,01}$ ;

- pentru  $d_e = 2,0$  mm  $\frac{V_p}{V_e} = 0,85 h^{-1,02}$

Acstea ecuații, reprezentate grafic în fig. 8.1, generalizate au forma:

$$\frac{V_p}{V_e} = b h^{-1}$$

formă care concordă foarte bine cu forma teoretică neprezentată prin relația 8.1, fapt care arată că analiza statistică a rezultatelor experimentale confirmă justitatea relației teoretice.-

Adoptând aceeași cale de rezolvare pentru determinarea valorii coeficientului  $b$  în funcție de diametrul  $d_e$  al sîrmei-electrod utilizată, rezultă următoarea corelare:

$$b = 0,33 d_e^{1,10}$$

relație care se prezintă grafic în fig. 8.2.

TABELA PENTRU CALCULUL COEFICIENTILOR STATISTICI

Tabelul 2

coef.	$\sum_{i=1}^n (\log h_i)$	$\sum_{i=1}^n (\log \frac{v_i}{V_c})$	$\log \left( \frac{v_c}{V_c} \right)$	$\sum_{i=1}^n A(\log h_i)^2$	$\sum_{i=1}^n A(\log \frac{v_i}{V_c})^2$	$\bar{G}_h$	$\bar{G}_{\frac{v_c}{V_c}}$	$r$	a.	b.	Ecuatia dreptei de regresie
I	0,10977	2,422833	0,02154	0,192729	0,09729	0,05372	-0,05177	0,15539	0,157	-0,839	$V_c = 0,51h - 1,01$
II	0,77115	2,52615	0,01583	0,022027	-0,02009	0,0812	0,0321	-0,589	-1,01	0,653	$V_c = 0,67h - 1,01$
III	1,20187	2,644910	0,140262	0,54023	0,04120	0,03330	-0,04517	0,161	-0,829	-1,02	$V_c = 0,67h - 1,02$

## RELATII DE CALCUL

$$\log \bar{h} = \frac{1}{n} \sum_{i=1}^n (\log h)_i$$

$$\log \left( \frac{\bar{v}_c}{V_c} \right) = \frac{1}{n} \sum_{i=1}^n \left( \log \frac{v_i}{V_c} \right)_i$$

$$r = \frac{\sum_{i=1}^n A(\log h)_i A(\log \frac{v_i}{V_c})_i}{(n-1) \bar{G}_h \bar{G}_{\frac{v_c}{V_c}}}$$

$$\bar{G}_h = \sqrt{\frac{\sum_{i=1}^n A(\log h)_i^2}{n-1}}$$

$$\bar{G}_{\frac{v_c}{V_c}} = \sqrt{\frac{\sum_{i=1}^n A(\log \frac{v_i}{V_c})_i^2}{n-1}}$$

$$a = r \frac{\bar{G}_{\frac{v_c}{V_c}}}{\bar{G}_h}$$

$$b = \left( \frac{\bar{v}_c}{V_c} \right) - a \bar{h}$$

coefficient  
de  
corelație

ecuație

TABELA PENTRU CALCULUL CORELATIEI

$\Sigma \log h = f(\frac{V_0}{V_c})$

X	y	Tabelul de calcul					
Nr. nr.	$\log h$	$\log \frac{V_0}{V_c}$	$\Delta (\log h)$	$\Delta (\log \frac{V_0}{V_c})$	$\Delta (\log h)^2$	$\Delta (\log \frac{V_0}{V_c})^2$	$\Delta (\log \frac{V_0}{V_c}) \cdot \Delta (\log h)$
<b>I</b>							
Electrod S11M2S, $d_c = 1,2\text{ mm}$ .							
1	1,80618	1,89763	-0,21576	0,21197	0,04610	0,01509	-0,01651
2	1,98677	1,71600	-0,03517	0,03034	0,00124	0,00089	-0,001365
3	0,13354	1,56820	0,11160	-0,11746	0,01245	0,01320	-0,01313
4	1,95182	1,74819	-0,07012	0,03253	0,00450	0,00359	-0,00437
5	0,20110	1,49831	0,17346	-0,19735	0,02230	0,00510	-0,05553
$\Sigma$	0,10971	2,42833			0,09729	0,09372	-0,09177
<b>I</b>							
Electrod „CHROMENAR 410”, $d_c = 1,6\text{ mm}$ .							
1	0,25768	1,56820	0,06489	-0,0634	0,00120	0,00401	-0,00411
2	0,23045	1,59660	0,03766	-0,035	0,00142	0,00122	-0,00132
3	0,21748	1,60959	0,02469	-0,022	0,00061	0,00049	-0,00057
4	0,07553	1,75205	-0,11724	0,12044	0,01376	0,01453	-0,01412
$\Sigma$	0,77116	2,52644			0,01999	0,02027	-0,02009

Se menționează că corelațiile matematice stabilite pe baza metodei abaterilor medii pătratice, au un caracter empiric, deși concordă foarte bine cu formele teoretice.-

8.3.1. - Concluziile asupra cercetărilor efectuate  $h = f \left( \frac{v_p}{v_e} \right)$ .

Analizînd graficele fig.8.1. obținute, respectiv tabelele 8.1. și 8.2 cuprînzînd rezultatele experimentale se trag următoarele concluzii mai importante:

- Relația  $h = f \left( \frac{v_p}{v_e} \right)$  nu este nuamî o relație matematică

ci un principiu, ce în cazul proceșului vibroarc poate să formeze drept un criteriu tehnologic.-

- Se demonstrează dependența grosimii stratului încărcat funcție de raportul vitezelor  $\left( \frac{v_p}{v_e} \right)$ , deci o interdependență logică.

- Pentru un același raport al vitezelor  $\left( \frac{v_p}{v_e} \right)$  se poate obține diferite grosimi ale straturilor încărcate în funcție de diametrul și de analiza chimică a sîrmei-electrod;

- Cu cît diametrul sîrmei-electrod este mai mic, cu atât grosimea stratului pentru un același raport al vitezelor, este mai mică.-

La acest punct se poate adăuga, în conformitate cu studiul /86/, că încărcarea cu sîrma-electrod cu diametru mai mic de 1,4 mm și pentru un raport al vitezelor  $\left( \frac{v_p}{v_e} \right)$  (invers raportului analizat  $\left( \frac{v_p}{v_e} \right)$ ) mai mic de 2, procesul de încărcare devine instabil,  $\left( \frac{v_p}{v_e} \right)$  iar aderența între stratul încărcat și pasă este nesatisfăcătoare.-

- O altă concluzie importantă, ce decurge din graficul stabilit, aplicînd statistica matematică este că, cu cît sîrma-electrod este mai bogat aliată sau cu conținut de carbon mai ridicat, cu atât pentru o aceeași grosime a stratului încărcat raportul vitezelor  $\left( \frac{v_p}{v_e} \right)$  crește, deci viteza de avans a sîrmei-electrod poate să crească.-

Crescerea raportului vitezelor  $\left( \frac{v_p}{v_e} \right)$  în limitele de 1,5-1,7 - 1,8 reduce pronunțat grosimea stratului încărcat. Aceste impre-

tant pentru cazurile cînd se cere obținerea unor structuri subțiri și foarte subțiri.-

- Grosimea stratului de încărcat, intensitatea curentului și tensiunea arcului depind de viteza de avans a sîrmei-electrod.

- Diferențele de valori determinate teoretic și cele obținute experimental practic sunt acceptabile.-

Din curbele 2 și 3 se constată că aceste diferențe se reduc aproape la zero cînd încărcarea se face într-un mediu protecțor gazos ( $\text{CO}_2$ , Ar,  $\text{CO}_2 + \text{Ar}$ ), tabela. 8.2.

- Cu creșterea vitezei de avans a sîrmei-electrod, crește grosimea stratului încărcat și intensitatea curentului, iar tensiunea arcului scade (tabela 8.1).

- Cu creșterea frecvenței de vibrație domeniul regimurilor de încărcare, care asigură straturile compacte calitativ bune, crește. După cum rezultă din tabela 8.1, frecvența de vibrație nu are influență notabilă asupra grosimii stratului încărcat.

#### 8.4. - Calitatea strukturilor încărcate.

In cazul nostru, calitatea strukturilor încărcate a fost apreciată vizual, și prin procedee metalografice. În continuare se vor prezenta rezultatele metalografice.-

In concluzie, rezultă, că încărcarea de bună calitate presupune alegerea unui raport corespunzător între viteza de încărcare și viteza de avans a sîrmei-electrod, și deci viteza ei de topire.-

Mărind viteza de avans a sîrmei-electrod, trebuie să crește și viteza de topire a ei. Aceasta, se poate face fie pe calea măririi puterii arcului fie la novoie, pe calea creșterii puterii sursei alimentare cu curent. Dacă însă, a fost folosită toată puterea sursei de alimentare cu curent, o creștere în continuare a vitezei de avans a sîrmei-electrod nu este posibilă. În acest caz, pentru o viteză constantă de avans a sîrmei-electrod, grosimea stratului încărcat poate fi reglată - în anumite limite - pe calea variației vitezei periferice a piesei.-

Problema ce se mai pune în continuare, este determinarea,

în fiecare caz în parte, a vitezei de avans optime a sîrmei-electrod.-

Cercetările efectuate /86/ au stabilit, că unii din indicatorii principali ai încărcării precum sunt: coeficientul de pierderi a metalului, coeficientul de încărcare, productivitatea, alierea între materialul de adaos cu cel de bază, aderența, sunt cele mai bune cînd raportul vitezelor  $\frac{v_e}{v_p} = 1,75 - 2,2$ . Pasul de încărcare trebuie să asigure o bună aliere a cusăturilor între ele și cu metalul de bază, și pentru o cît mai uniformă duritate a stratului pasul trebuie să fie în limitele  $d_e = (1,0 - 1,3)$ .

La schimbarea raportului  $\frac{v_e}{v_p}$  în sensul reducerii lui, față de limitele amintite, se deranjează stabilitatea procesului, iar aderența între stratul încărcat și cel de bază devine nesatisfăcătoare.-

Procedeul de urmat este simplu, cunoscînd piesa și proprietățile stratului de încărcat se alege calitatea sîrmei-electrod; după grosimea stratului  $h$ , se alege raportul  $(\frac{v_p}{v_e})$ , apoi cunoscînd că  $\frac{v_e}{v_p} = 1,75 - 2,2$  se alege  $v_e$  viteza de avans a sîrmiei-electrod. În calcule intervin relațiile enunțate mai înainte (8.1), (8.2) și (8.5).-

Conform acelueiași studiu /86/ rezultă, că la încărcarea cu sîrmă-electrod cu un diametru mai mic de 2 mm, aderența stratului încărcat este nesatisfăcătoare dacă grosimea stratului crește în contul unei reduceri peste măsură a pasului înălțării la  $(0,7 - 1,2)d_e$  și mărirea raportului vitezelor  $(\frac{v_e}{v_p})$  peste 2,5. Desprinderea stratului încărcat, în aceste condiții, poate să se producă chiar la prelucrarea mecanică a stratului.-

In toate celelalte cazuri, la schimbarea grosimii stratului încărcat, atât prin variația diametrului sîrmiei-electrod cît și prin raportul  $(\frac{v_p}{v_e})$ ; rezistența la aderență a stratului încărcat cu materialul de bază trebuie să fie cel puțin  $30 \text{ kgf/mm}^2$ , ceea ce asigură funcționalitatea stratului încărcat.-

Una din caracteristicile de bază ale calității stratului încărcat, este gradul de aderență a metalului încărcat cu cel

de bază. Calitatea aderenței se înrăutățește cu scăderea tensiunii arcului, cu creșterea grosimii stratului încărcat și cu creșterea grosimii stratului încărcat și cu creșterea consumului lichidului de lucru. Asupra calității de aliere (aderare) influență la fel și viteza de avans a sîrmei-electrod amplitudinea de vibrație și o serie de alți factori, care sunt studiați în anumită măsură în lucrarea /86/.-

In procesul de încărcare, lichidul de lucru se trimite pe piesă prin ajutajul de ghidare și pentru răcire direct prin-tr-un alt ajutaj special în acest scop. Este necesar să se observe că intrarea lichidului în zona de încărcare face ca arcul să se stingă și preia o parte din căldură și în consecință se înrăutățește calitatea aderării. Din această cauză, prin ajutajul de ghidare este necesar să treacă cantitatea minimă de lichid, cît este necesar ionizării spațiului arcului suficientă pentru prevenirea "înghețării" sîrmei-electrod de peretii canalului ajutajului.-

Cantitatea importantă de lichid, în cazul încărcării sub jet de lichid de lucru, se trimite pe piesă lateral la o distanță suficientă de zona de încărcare.-

Constatarea precizată mai sus, avertizează că trimiterea lichidului de lucru (răcire) nu trebuie făcută prin ajutajul (de ghidaj vibrat. Vibrarea ghidajului strică (deranjează) continuitatea peliculei de lichid, și prin aceasta nu dă posibilitatea protejării sigure a zonei de încărcare de sub influența aerului înconjurător și formarea porozităților. O protejare eficientă și sigură, contra aerului înconjurător este extrem de importantă la încărcarea cu sîrme-electrod final aliate.-

Tinând cont de aceste constatări, capul automat experimental a fost executat în consecință.-

Din tabelele cu rezultatele obținute (tabelele: 8.1. și 8.2) se mai confirmă, că procesul de încărcare cu vibroarc se face cu o intensitate de curent destul de mare, iar tensiunea arcului este mică, în comparație cu încărcările obișnuite cunoscute.- Această se explică prin aceea, că procesul de încărcare cu vibroarc decurge la o lungime mult mai mică a spațiului arcului.-

Este stabilit /166/, că o bună calitate a stratului în-

cărcat se asigură la o frecvență de vibrare mai mare ( de la 30-100 Hz). Experimentările în cadrul lucrării arată că frecvența cea mai potrivită în general este în intervalul de 50-75 Hz, afară de câteva cazuri speciale. Se subliniază, că asupra calității stratului încărcat, în afară de frecvență, o importantă influență are stabilitatea procesului de vibrație.-

Pentru îndeplinirea condiției de stabilitate un rol important îl joacă capul automat cu care se face încărcarea și numai o construcție cu totul specială ar putea să coboare frecvența sub 30 Hz. Dar și aceasta, numai la o anumită viteză de avans a sîrmei-electrod și așa cum s-a stabilit la un anumit raport  $\left(\frac{v_p}{v_e}\right)$  și o anumită tensiune de mers în gol a sursei de curent.-

De aci, rezultă, că pentru scopuri practice industriale, frecvențele ce se recomandă în vederea asigurării unei bune calități a stratului încărcat se află în intervalul 30-100 Hz. Iar amplitudinea vibrațiilor, depinde în primul rînd de diametrul sîrmei-electrod și de valoarea tensiunii arcului.-

Cu creșterea acestora ( $d_e$  și  $U_a$ ) crește și amplitudinea vibrațiilor și viceversa. Valoarea amplitudinii se alege practic în limitele de  $(0,75 - 1).d_e$  cunoscind că pentru valorile mai mici ale tensiunii corespund amplitudinile mai mici și invers.-

CAP. 9 - CERCETARI CU APLICAREA STATISTICII MATEMATICA SI A  
 MIJLOACELOR AUTOMATE DE CALCUL PENTRU DETERMINAREA  
 RAPOARTELOR  $\frac{U_s}{U_o}$  și  $\frac{U_s}{U_a}$  SI INTERDEPENDENTA CU ALTI  
 PARAMETRI

- 9.1. - Cercetări pentru determinarea valorii raportului  $\frac{U_s}{U_o}$  ce asigură stabilitatea procesului vibroarc.

La determinarea valorilor inductanței minime  $L_{min}$ , cît și a celei maxime  $L_{max}$ , valori ce condiționează stabilitatea și în mare măsură economicitatea procesului vibroarc, este necesar să se cunoască valoarea duratei relative a descărcărilor arcului electric  $\frac{t_a}{t_c}$ . Acest raport poate fi determinat în condiții de laborator în prezența unui oscilograf înregistrator, sau indirect aplicînd relația cunoscută  $\frac{t_a}{t_c} = \frac{U_s}{U_a}$ .

Însă, pentru aceasta este necesar să fie determinate fie valorile lui  $t_a$  și  $t_c$  separat, fie valoarea raportului  $\frac{t_a}{t_c}$ .

Raportul  $\frac{t_a}{t_c}$  este dat în lucrarea /107/ sub forma:

$$\frac{t_a}{t_c} = \frac{\ln \frac{U_a - E + R \cdot I_{max}}{U_a - E + R \cdot I_{min}}}{\ln \frac{(E - R \cdot I_{min})(U_a - E + R \cdot I_{max})}{(E - R \cdot I_{max})(U_a - E + R \cdot I_{min})}} \quad (9.1.)$$

sau în lucrarea /94/, sub forma:

$$\frac{t_a}{-t_c} = \frac{T \cdot \ln \frac{I_{max} + I' - I_k}{I_{min} + I' - I_k}}{T \cdot \ln \frac{I_k}{I_k - I_{max}} + \ln \frac{I_{max} + I' - I_k}{I' - I_k}} \quad (9.2)$$

după cum se vede, sunt relații complicate, ce necesită cunoașterea unui sir de valori ai parametrilor regimului de lucru, ceea ce în condițiile de uzină este greu de obținut. La conceperea regimului de lucru respectiv a tehnologiei. Scopul este să ocolim nevoie de acestor calcule (în consecință nici nu se dau semnificația literelor).-

In cadrul cercetărilor efectuate la cap.7, s-a dedus formula pentru inductanță minimă fără a cunoaște valoarea raportului  $\frac{t_a}{t_c}$ , ceea ce prezintă, printre altele, avantajul de a putea calcula inductanță fără a avea oscilograma regimului de lucru ridicată.-

Din ecuația generală diferențială de mișcare a sistemului ce realizează procesul vibroarc /84/, rezultă că în vederea asigurării stabilității regimului de lucru, trebuie să fie satisfăcute și unele condiții numite "preliminare".-

Printre aceste condiții, este și:

$$U_s > \frac{1}{2} U_o \quad (9.3)$$

Această condiție este satisfăcută în cadrul experimentărilor pentru teză (vezi spre exemplu tabela experimentărilor preliminare sau tabela 9.1) cu rezultatele încercărilor executate special în acest scop.-

La calcularea inductanței minime și a celei maxime, ce asigură stabilitatea regimului de lucru este necesară cunoașterea în prealabil a raportului  $\frac{U_s}{U_o}$ .-

Analizând rezultatele obținute de autorul tezei (tabela 9.1, poz. 1 și 2), precum și o serie de rezultate ale altor cercetători /103, 107/, care au executat experimentări, urmărind rezolvarea cu totul altor probleme, însă prin datele lor permit determinarea raportului  $\frac{U_s}{U_o}$  (poz. 3, 4, 5 și 6 din tabela 9.1) se constată că:

- valorile rapoartelor  $\frac{U_s}{U_o}$  obținute, se înscriu în anumite limite restrînse și nu prea mult diferite între ele;

- valorile acestor rapoarte, practic nu sunt afectate de felul mediului de protecție.

Valori ale raportului  $\frac{U_s}{U_0}$  determinate pe cale experimentală

Tabola: 9.1.

Nr. crt	Valorile experimentale ale rapor- tului $\frac{U_s}{U_0}$						Val.me- die a $\frac{U_s}{U_0}$ rap.	Mediu protec- tor	Cursa bio- oliogra- fică
- 1	2	3	4	5	6	7	8	9	
1.	0,762	-	-	-	-	0,762	$\text{CO}_2 +$ $\text{Ar}^2\text{on}$	- " -	
2.	0,835	0,804	-	-	-	0,818	$\text{CO}_2$	Propriile cercetări	
3.	0,765	0,730	-	-	-	0,750	Argon	/103/	
4.	0,820	0,800	0,825	0,700	-	0,782	$\text{CO}_2$	/103/	
5.	0,785	0,668	0,735	0,840	0,810	0,768	Lichid de lucru	/103, 107/	
6.	0,785	0,750	0,668	0,418	0,826	0,760	-fără-	/107/	

- Autorul din /107/ numai la o singură experiență a lucrat cu re-  
gimul instabil  $\frac{U_s}{U_0} = 0,418 < 0,5$ .

Din tabela 9.1., coloana 7 al valorilor medii a rapoartelor  
se poate observa, că regimurile stabile ale procesului vibroare  
care îndeplinesc condițiile de a fi mai mari de 0,5, se înscriu  
într-un interval de valori cu limite foarte restrânse, deci, con-  
diția preliminară  $\frac{U_s}{U_0} > 0,5$ , practic capătă forma:

$$\frac{U_s}{U_0}, \frac{U_s}{U_0} = 0,750 - 0,850 \quad (9.4)$$

Se precizează, că cercetările autorilor /103 și 107/ din  
care s-au extras rapoartele  $\frac{U_s}{U_0}$  (poz. 3-6 incl.) pentru a lărgi pro-  
blemele rezultate a cercetărilor au fost efectuate cînd condiția  
preliminară  $\frac{U_s}{U_0} > 0,5$  nu era stabilită teoretic și deci nu era încă  
cunoscută. Lucrarea /103/ a apărut în anul 1963, și /107/ în  
anul 1964, iar ecuația generală diferențială a sistemului vibroare  
a apărut pentru prima dată în anul 1966 cînd s-a adăugat condiția  
preliminară  $\frac{U_s}{U_0} > \frac{1}{2}$ .

Considerăm, ca o contribuție de importanță deosebită stabilirea limitelor pentru valorile raportului  $\frac{U_s}{U_a}$ , eliminind astfel necesitatea efectuării unor calcule greoai și de cele mai multe ori inaccesibile din lipsa datelor.-

9.2.- Cercetări cu privire la determinarea valorii raportului  $\frac{U_s}{U_a}$  ce asigură stabilitatea procesului vibroarc.

Analizînd în continuare sirul relațiilor teoretice care condiționează funcționarea stabilă a sistemului, respectiv a regimului de încărcare cu procedeul vibroarc, care exprimă legătura între anumiți parametri ai regimului de lucru printre care este și relația:

$$\frac{t_a}{t_c} = \frac{U_s}{U_a} \quad (9.5)$$

S-a mai amintit, că raportul  $\frac{t_a}{t_c}$  este greu de determinat analitic. Este evident, că pentru condiția de stabilitate este necesar ca  $\frac{t_a}{t_c} < 1$  sau această condiție conduce la  $U_a > U_s$  conform relației (9.5).

Este evident, că  $\frac{U_s}{U_a} < 1$ , iar după unii autori, pentru valori maxime ale inductanței  $\frac{U_s}{U_a} = \frac{2}{3} = 0,67$  /lo7/

Conform cercetărilor /lo3/ la valori mari ale rapoartului  $\frac{t_a}{t_c}$  adică în limitele de 0,65 - 1, lungimea medie a arcului  $l_{m6}$  variază relativ puțin, iar la  $\frac{t_a}{t_c} = 0,85$  această lungime are valoarea maximă.-

Din condiția de trecere neîntreruptă a curentului electric prin circuitul de sudare rezultă relația /94/:

$$\frac{T_{\min}}{t_c} = \frac{1}{\ln \frac{I_k}{I_k - I_{\max}} \left(1 - \frac{I_{\max}}{I_k - I'}\right)} \quad (9.6)$$

(a se urmări fig.5.2) unde, în prima aproximatie avem  $I_{\max} = 2 \cdot I_s$ ;  $I_s$  - intensitatea medie a curentului de sudare;  $I' = \frac{U_a}{R}$ ;  $T_{\min}$  - constanta de timp

minima pentru  $I_{\min} = 0$  și  $t_c = t_k + t_a$

notînd cu:  $\alpha = \frac{I_s}{I_k}$  și  $\beta = \frac{t_a}{t_c}$

obținem relația:

$$\frac{T_{\min}}{t_c} = \frac{1}{\ln \beta - 1 + \alpha \cdot (1-2)} \quad (9.7)$$

$(1-2\alpha) (\alpha+\beta-1)$

Reprezentînd grafic relația  $\frac{T_{\min}}{t_c} = f\left(\frac{I_s}{I_k}\right)$ , obținem valorile limită pentru  $\beta = \frac{t_a}{t_c}$ , care asigură trecerea continuă a curentului prin circuitul de sudare (fig. 9.1) și stabilitatea regimului de funcționare.-

După cum se vede clar, aceste valori sînt:

$$\frac{t_a}{t_c} = 0,5 - 0,7 \quad (9,8)$$

In cele de mai sus s-au conturat limitele de variație pentru raportul  $\frac{t_a}{t_c}$  stabilite pe diferite considerente teoretice.

In (5.5.2), este dată condiția preliminară pentru stabilitatea procesului vibroarc, reesită din ecuația diferențială la mișcare a sistemului  $\frac{t_a}{t_c} > \frac{U_o}{2 U_a}$ ,

relația ce determină valoarea minimă admisibilă a duratei relativ de ardere a arcului. Si de aci rezultă că raportul  $\frac{t_a}{t_c}$  variază între anumite limite restrînse.-

Analizînd rezultatele experimentărilor proprii, executate pe epruvete din oțel OLC 45, cu sîrmele-electrod arătate în tabelul 7.1 și 7.2, centralizate și așezute corespunzător în tabela 9.2 pozițiile 1 - 9 incl. asociindu-le cu rezultatele publicate în /103, 107 și 113/ în tabela 9.2. poz. 10-38 inclusiv, putem trage următoarele concluzii (observăm, că autorii cercetărilor /103, 107 și 113/ au urmărit determinarea raportului  $\frac{t_a}{t_c}$  pentru procesul vibroarc stabil):

- Cu creșterea tensiunii de mers în gol  $U_o$  a sursei de alimentare cu curent, se produce creșterea duratei relative de ardere a arcului  $\frac{t_a}{t_c}$ . Practic se poate aprecia că această variație este proporțională cu valoarea lui  $U_o$ ;

Măsurători pentru determinarea  
raportului  $\frac{U_s}{U_a}$

Tabel: S.2

$U_o$ V	$U_s$ V	$I_s$ A	f Hz	$U_a$ V	d mm.	$t_a$ $t_e$	$\frac{U_s}{U_a}$ calculat	Mediu proto- ctor	Sursa
25,0	21,4	165	40	24,5	2,0	-	0,880	C02	Corectări proprii
25,0	20,0	165	50	24,0	2,0	-	0,824	--	--
22,5	19,0	195	40	25,6	2,0	-	0,743	--	--
18,3	15,5	155	50	23,6	2,0	-	0,636	--	--
21,8	18,5	120	100	24,0	2,0	-	0,770	--	--
14,5	12,5	180	70	22,8	2,0	-	0,548	--	--
13,8	11,5	110	70	22,5	1,2	-	0,511	--	--
13,8	10,5	150	65	22,5	1,6	-	0,467	C02+ Ac.	--
14,9	13,2	100	70	23,0	1,6	-	0,574	--	--
14,75	11,5	180	70	22,95	2,0	0,502	0,502	C02	[113]
13,75	15,5	155	70	23,65	2,0	0,643	0,653	--	--
22,75	20,0	140	70	24,74	2,0	0,805	0,814	--	--
25,25	23,0	135	70	25,94	2,0	0,883	0,890	--	--
25,5	20,0	180	60	29,5	2,2	0,771	0,680	fără	[107]
25,5	20,0	180	60	25,7	2,2	0,791	0,780	--	--
25,5	20,0	180	60	25,5	2,2	0,788	0,788	--	--
25,5	20,0	180	60	25,9	2,2	0,755	0,775	--	--
24,0	18,0	200	60	25,8	2,2	0,675	0,698	--	--
24,0	16,0	300	60	26,1	2,2	0,555	0,614	--	--
24,0	18,0	200	80	27,4	2,2	0,625	0,660	--	--
24,0	10,0	250	60	25,4	2,2	0,368	0,394	--	--
25,5	20,0	180	60	32,9	2,2	0,577	0,611	lichid	--

continuare vezi pagina următoare.

Continuare tabelă: 3.2.

$U_o$ V	$U_s$ V	$I_s$ A	f Hz	$U_a$ V	de mm.	$\frac{t_a}{t_c}$	$\frac{U_s}{U_a}$ calculat	Mediu proto- ctor	Sursă
25,5	21,0	170	87	26,5	2,2	0,65	0,794	fără	[103]
13,5	9,0	240	87	26,7	2,2	0,29	0,338	lichid	--
17,0	12,5	210	87	27,9	2,2	0,42	0,450	--	--
26,0	21,5	170	87	29,0	2,2	0,70	0,742	--	--
26,0	21,0	180	87	33,5	2,2	0,61	0,628	--	--
25,0	20,5	165	87	25,0	2,2	0,76	0,820	CO <sub>2</sub>	--
25,0	20,0	165	87	25,8	2,2	0,71	0,776	--	--
25,0	20,0	170	87	25,9	2,2	0,71	0,774	--	--
25,0	20,0	165	87	26,8	2,2	0,70	0,747	--	--
25,5	21,0	160	87	29,0	2,2	0,69	0,724	--	--
16,5	11,5	215	87	25,6	2,2	0,43	0,450	--	--
17,0	13,0	230	87	22,0	2,2	0,59	0,532	Argon	--
16,5	12,0	230	87	21,8	2,2	0,51	0,550	--	--
16,5	12,0	240	87	23,3	2,2	0,48	0,515	--	--
16,5	12,0	230	87	23,0	2,2	0,49	0,522	--	--
16,5	12,0	240	87	22,8	2,2	0,49	0,527	--	--

- se verifică justitatea simplificărilor făcute în /lo7/, în vederea obținerii unei formule simple  $\frac{t_a}{t_c} = \frac{U_s}{U_a}$ . Aceasta rezultă din comparația valorilor (din tabela 9.2)  $\frac{t_a}{t_c}$  și valorilor  $\frac{U_s}{U_a}$  calculate.

- durata relativă de ardere a arcului scade cu creșterea intensității curentului de sudare, iar ca urmare crește viteza de avans a sîrmei-electrod (poz. 1.6 și 19 din tabela 9.2); viteza de avans a sîrmei-electrod crește de la 16,5 mm/s la 25,0 mm/s /lo7/;

- în baza rezultatelor obținute cu ocazia probelor pentru determinarea inductanțelor minime funcție de frecvență (tabelele 7.1 și 7.2), la care dacă calculăm valorile rapoartelor  $\frac{U_s^3}{U_a}$  se constată că ele sunt aproape constante și nu variază cu frecvența. Rezultă din tabele că frecvența a variat în limitele de 40 - 100 Hz.

In consecință, durata relativă de ardere a arcului  $\frac{t_a}{t_c}$  practic nu depinde de frecvența de vibrație a sîrmei-electrod.

- din numărul de 38 probe prezentate în tabela 9.2 și 11 probe prezentate în tabelele 7.1 și 7.2 rezultă că raportul  $\frac{U_s}{U_a}$  practic variază între limitele de 0,50 - 0,85, adică corespund valorilor obținute teoretic și expuse mai înainte.-

Din tabela 9.2, rezultă că unele valori sunt mai mici de 0,50 și altele mai mari de 0,85. Astfel, la poz.21, raportul este de 0,394, iar la poz. 24 raportul este de 0,338. Aceste probe iese din competiție, deoarece nu satisfac condiția preliminară de stabilitate  $\frac{U_s}{U_a^0}$  (relația 9.4) care rezultă respectiv de 0,417 și 0,666, deci valori mai mici de 0,750 (valoarea minimă ce asigură stabilitatea).-

Analizând celelalte două cazuri poz.1 cu  $\frac{U_s}{U_a} = 0,880$  și poz.13 cu  $\frac{U_s}{U_a} = 0,890$  se constată că tensiunea arcului la experimentare este prea mică față de restul parametrilor de lucru.

Pe de altă parte condiția preliminară de statilitate nu este satisfăcută, adică pentru poz. 1  $\frac{U_s}{U_0} = 0,855$  este deci chiar la limită, iar pentru poz. 13,  $\frac{U_s}{U_0} = 0,91$  depășește cu mult limita superioară.-

In concluzie, practic raportul între tensiunea de sudare și cea a arcului pentru funcționare stabilă a sistemului între limitele de:

$$\frac{U_s}{U_a} = 0,50 - 0,85 \quad (9.6)$$

#### 9.3. - Cu privire la frecvența de vibrație a sîrmei-electrod

Conform datelor a mai multor cercetători, precum și a autorului tezei, s-a stabilit, că buna calitate a stratului încărcat se asigură la o mai mare frecvență de vibrare a sîrmei-electrod (de la 30 pînă la 100 Hz). Dar totuși trebuie subliniat, că un factor deosebit de important al calității stratului încărcat este stabilitatea procesului vibroarc. Capetele automate în funcție, în țările ce au aplicat procedeul vibroarc, nu sănt în măsură să asigure stabilitatea procesului /166/ din cauze constructive.

Sînt cîteva tipuri de capete automate care asigură stabilitatea procesului la frecvențe mici, cum este de exemplu tipul VG - 1 (URSS) care asigură o bună stabilitate a procesului de vibrație și un strat încărcat de bună calitate la frecvențele de 17-34 Hz. Aceasta se explică și este valabil pentru oțeluri carbon și numai pentru anumite valori ale vitezelor de avans a sîrmei-electrod, și de încărcare, adică la un anumit raport  $\frac{v_p}{v}$  și a tensiunii de mers în gol. Deci capul automat VG-1, este un caz excepțional și servește numai pentru anumite condiții de lucru.

In consecință, frecvențele vibrațiilor cu bune rezultate calitative, rămîn cele precizate mai sus, adică 30-100 Hz urmare celor de mai sus, experimentările efectuate de autor, au fost executate folosind frecvențele în limitele de 50-75 Hz.

#### 9.4. - Cercetări prin metoda statistică matematică și a mijloacelor automate de calcul a interdependenței între raportul $\frac{U_s}{U_a}$ și alți parametri ai procesului vibroarc.

Sirurile valorilor obținute pe cale experimentală de către autorul tezei, și cele obținute de către alți cercetători și publicate în /103, 107, 117/ se consideră ca necesară o analiză a acestora din punct de vedere matematic.-

Această analiză, efectuată cu mijloace ale statisticii matematice, urmărește stabilirea pe cale pur matematică a "domeniului de încredere", în care are loc variația diverselor parametrii urmăriți, respectiv depistarea anumitor valori eventual ieșite din normal "grosolane", apărute ca urmare a unor erori în experimentare și eliminarea lor.-

În acest sens autorul a apelat la "Criteriul Chauvenet", aplicat în cazul sirului valorilor raportului dintre tensiunea de sudură și tensiunea arcului  $\frac{U_s}{U_a}$ . Calculul se conduce etapizat, după cum urmează:

1. Se calculează media sirului de valori:

$$\left( \frac{\bar{U}_s}{U_a} \right) = \frac{1}{n} \sum_{i=1}^n \left( \frac{U_s}{U_a} \right)_i = \frac{1}{38} \cdot 24,781 = 0,652$$

2. Se calculează suma abaterilor medii pătratice:

$$S = \sum_{i=1}^n \left[ \left( \frac{\bar{U}_s}{U_a} \right) - \left( \frac{U_s}{U_a} \right)_i \right]^2 = 0,707222$$

3. Se calculează modulul de precizie:

$$h = \sqrt{\frac{n}{2S}} = \sqrt{\frac{38}{2 \times 0,707222}} = 5,184$$

4. Se determină din tabele /151/ produsul ( $hx$ ) pentru  $n = 38$ :

$$(hx) = 1,754$$

5. Se calculează abaterea maxim admisă:

$$\bar{x} = \frac{(hx)}{h} = \frac{1,754}{5,184} = 0,338$$

6. Extremele teoretice ale sirului sănt:

$$\left( \frac{U_s}{U_a} \right)_{\max} = \left( \frac{\bar{U}_s}{U_a} \right) + \bar{x} = 0,652 + 0,338 = 0,990$$

$$\left( \frac{U_s}{U_a} \right)_{\min} = \left( \frac{\bar{U}_s}{U_a} \right) - \bar{x} = 0,652 - 0,338 = 0,314.$$

7. Deoarece nici o valoare nu se elimină, toate fiind cuprinse în domeniul teoretic de "valori normale" (0,990 - 0,314), rezultă că acestea sănt valorile extremele teoretice definitive.

- // -



//

Din analiza statistică efectuată (aplicarea criteriului Chauvenet) asupra valorilor experimentale obținute pentru raportul  $U_s/U_a$ , rezultă că în cadrul procesului experimental nu au fost efectuate manevrări eronate și nici nu au intervenit factori secundari perturbatori care să conducă la valori "grosolane". Deci, din punct de vedere teoretic (statistic matematic) absolut toate valorile sunt "de încredere" și ele sunt utilizabile integral în cadrul procesului de prelucrare a datelor.-

Totuși, din punct de vedere practic, anumite valori nu se vor lua în considerare și anume: poz.1, 13, 21 și 24 din tabelă 9.2, asupra căror au fost date explicațiile necesare.-

Problema prelucrării analitice a rezultatelor experimentărilor realizate cu scopul stabilirii legăturilor corelaționale semiempirice între parametrii caracteristicii regimului de funcționare al procesului de încărcare cu vibroarc, a fost soluționată cu ajutorul mijloacelor automate de calcul, aşa după cum se va prezenta în cele ce urmează.-

Următorii parametrii ce determină regimul de funcționare a procesului de încărcare cu vibroarc au fost considerați ca principali:

- raportul  $U_s/U_a$ , unde  $U_s$  este tensiunea de lucru la sudare, iar  $U_a$  este tensiunea arcului;
- tensiunea de mers în gol a sursei de alimentare cu curent  $U_o$ ;
- Diametrul sîrmei-electrod  $d_e$ ;
- Frevența devibrăție a sîrmei-electrod  $f$ ;
- Mediul protector al zonei de încărcare, experimentat cu gaz  $CO_2$ , argon, lichid de lucru și fără mediu de protecție, parametri prezențați în tabela 9.2.

Legăturile corelaționale între parametrii mai sus menționați au fost stabilite pe baza relațiilor statistice matematice prin aplicarea metodei celor mai mici pătrate. Avînd în vedere numărul mare al corelațiilor, și al datelor măsurătorilor experimentale, calculul pentru determinarea analitică al acestor legături a fost efectuat automat, cu ajutorul calculatorului electronic.-

- // -

In acest sens, a fost conceput și realizat un algoritm și un program de calcul, scris în limbaj FORTRAN IV aplicabil pentru calculatorul I.B.M. 360 (de la Academia de Științe Economice București), precum și pentru calculatorul FELIX C 256 (de la Institutul Politehnic București), ambele calculatoare de mare capacitate și viteză de compilare și execuție.-

Programul, denumit convențional JOB TARA 5001, se prezintă în anexa 1, sub forma imprimantei originale, iar datele de bază (rezultatele experimentărilor) se prezintă în anexa 2, sub forma fișelor - instrucțiuni FORTRAN.-

Programul constă dintr-un număr de 106 instrucțiuni (cărțele), pentru compilarea căruia sunt necesare 135 secunde.-

Algoritmul de calcul, bazat așa după cum s-a menționat mai sus, pe metoda celor mai mici pătrate, are un caracter iterativ în scopul obținerii celor mai buni coeficienți de corelare posibili, adică pentru obținerea relațiilor analitice ce caracterizează procesul studiat cu probabilitatea cea mai mare posibilă.-

Principalele etape de calcul pe care le comportă algoritmul adoptat sunt:

a. - Alegera parametrilor între care se dorește stabilirea de corelație, și anume:

$$\frac{U_s}{U_a} = F(d_e); \quad \frac{U_s}{U_o} = F(f); \quad \frac{U_s}{U_a} = F(U_o).$$

Corelații care au fost determinate pentru diverse valori ale diametrului  $d_e$  al sîrmei-electrod (2 și 2,2 mm) precum și pentru diverse tipuri de medii protectoare a zonei de încărcare.-

b. - Odată aleși parametrii în perechi, (de ex.  $\frac{U_s}{U_a}$  și  $U_o$ ) se determină mediile lor aritmetice (după logaritmarea lor prealabilă, considerindu-se că între parametrii există o legătură de tip exponential) cu relațiile:

$$\log \left( \frac{\bar{U}_s}{U_a} \right) = \frac{1}{n} \sum_{i=1}^n \left( \log \frac{U_s}{U_o} \right)_i$$

$$\log (\bar{U}_o) = \frac{1}{n} \sum_{i=1}^n (\log U_o)_i,$$

unde  $n$  este numărul șirului de date experimentale.

c.- Se calculează abaterile medii pătratice cu relațiile:

$$\tilde{\sigma}_{u_s/u_a} = \left[ \frac{1}{n-1} \sum_{i=1}^n (\Delta \log \frac{U_s}{U_a})_i^2 \right]^{1/2}$$

$$\tilde{\sigma}_{U_o} = \left[ \frac{1}{n-1} \sum_{i=1}^n (\Delta \log U_o)_i^2 \right]^{1/2}$$

unde:  $(\Delta \log \frac{U_s}{U_a})_i = (\log \frac{U_s}{U_a})_i - \log \left( \frac{\bar{U}_s}{U_a} \right)$

$$(\Delta \log U_o)_i = (\log U_o)_i - \log (\bar{U}_o)$$

d. - Se calculează coeficientul de corelație cu relația:

$$r = \frac{1}{n-1} \frac{\sum_{i=1}^n (\Delta \log \frac{U_s}{U_a})_i (\Delta \log U_o)_i}{\tilde{\sigma}_{u_s/u_a} \cdot \tilde{\sigma}_{U_o}}$$

e.- Se calculează parametri dreptei de regresie cu relația:

$$a = r \frac{\tilde{\sigma}_{U_o}}{\tilde{\sigma}_{u_s}} ; b = \log \left( \frac{\bar{U}_s}{U_a} \right) - a \cdot \log (\bar{U}_o)$$

f. - Se scrie ecuația dreptei de regresie sub forma:

$$\frac{U_s}{U_a} = b \cdot U_o^a$$

adică tocmai legătura corelațională de tip exponential căutată.-

g.- Calculul de la punctele b.c.d.e și f. reprezintă prima etapă a procedeului iterativ. Dacă după efectuarea acestei prime etape rezultă un coeficient de corelare  $r \geq \pm 0,97$  atunci calculul se consideră încheiat, deoarece o astfel de valoare a coeficientului de corelație corespunde unei legități perfecte.-

h.- În caz contrar, deci dacă  $r < \pm 0,97$ , calculul se reia în etapa corespunzătoare a lui r, considerindu-se că în sirul datelor de bază au apărut valori care sunt perturbate și care de ci trebuie eliminate.-

Pentru eliminarea valorilor care depășesc domeniul de confidență, se calculează distanța  $(g_e)_i$  de la fiecare punct de coordonate  $\log \frac{U_s}{U_a}$ ,  $\log U_o$  pînă la dreapta de regresie determinată în cadrul primei etape de calcul și se determină valoarea medie a acestor distanțe, notată în program cu  $(G_e)_j$ , unde j este numărul etapei de aproximare.-

Se stabilește domeniul datelor corecte (fără erori grosolană sau întâmplătoare detectabile imediat) sub forma  $\pm 1,20$ . (Ge); și se elimină toate punctele a căror distanță (ge)j >  $\pm 1,20$  (Ge).

- i. - Pe baza noii distribuții de puncte (astfel corectate ca la punctul h) se reia calculul de la punctul b și se determină noua poziție a dreptei de regresie, respectiv noua ecuație a acesteia. Dacă se îndeplinește condiția de la punctul g-calcular se întrerupe automat.-
- j. - Calculul iterativ se conduce pentru un număr maxim de 9(nouă) pași, deoarece s-a observat că în această limită procesul de aproximății succesive se stabilizează la valoarea optimă a coeficientului de corelare..-
- k. - Odată calculul fincheiat la punctul j (sau g) se trece la următoarea legătură corelațională.-

Calculele conduse pe baza algoritmului mai sus prezentat au condus în final, așa după cum se vede din imprimanta originală, atașată în anexa 1, la următoarele rezultate finale:

1. - Variația generală a raportului  $U_s/U_a$  în funcție de diametrul sîrmei-electrod, independent de mediul de protecție:  
$$\frac{U_s}{U_a} = 0,4216 \cdot d_e^{0,681}$$
 cu  $r = 0,6156$  (acceptabil).
2. - Variația generală a raportului  $U_s/U_a$  în funcție de frecvența de vibrație a sîrmei-electrod, independent de mediul de protecție și de diametrul  $d_e$ :  
$$\frac{U_s}{U_a} = 7,7732 \cdot f^{-0,601}$$
 cu  $r = -0,7674$  (bun)
3. - Variația generală a raportului  $U_s/U_a$  în funcție de tensiunea de mers în gol, independent de mediul de protecție și de diametrul  $d_e$ :  
$$\frac{U_s}{U_a} = 0,0764 \cdot U_0^{0,713}$$
 cu  $r = 0,9316$  (foarte bun)
4. - Corelații pentru cazul utilizării  $\text{CO}_2$  ca mediu de protecție:
  - a. Variația raportului  $\frac{U_s}{U_a}$  în funcție de frecvența de vibrație a sîrmei-electrod cu diametrul  $d_e = 2,0$  mm.  
$$\frac{U_s}{U_a} = 0,8484 \cdot f^{-0,023}$$
 cu  $r = -0,0605$  (foarte slab)  
- // -

b. Idem cu diametrul oarecare al sîrmei-electrod

$$\frac{U_s}{U_a} = 0,8463 \cdot f^{-0,022} \quad \text{cu } r = -0,0729 \text{ (foarte slab)}$$

c. Variația raportului  $\frac{U_s}{U_a}$  în funcție de tensiunea de mers în gol, pentru diametrul  $d_e = 2,0$  mm.

$$\frac{U_s}{U_a} = 0,0445 \cdot U_o^{0,920} \quad \text{cu } r = 0,982 \text{ (excellent)}$$

d. Idem cu diametrul  $d_e = 2,2$  mm.

$$\frac{U_s}{U_a} = 0,0130 \cdot U_o^{1,265} \quad \text{cu } r = 0,9764 \text{ (excellent)}$$

e. Idem cu diametrul oarecare al sîrmei-electrod:

$$\frac{U_s}{U_a} = 0,0585 \cdot U_o^{0,817} \quad \text{cu } r = 0,9785 \text{ (excellent)}$$

5. - Corelații pentru cazul utilizării lichidului de lucru (carbonat de sodiu 6% + rest apa), ca mediu de protecție:

a. Variația raportului  $\frac{U_s}{U_a}$  în funcție de frecvența de vibrație a sîrmei electrod cu diametrul  $d_e = 2,2$  mm.

$$\frac{U_s}{U_a} = 2,8328 \cdot f^{-0,375} \quad \text{cu } r = -0,4344 \text{ (slab)}$$

b. Variația raportului  $\frac{U_s}{U_a}$  în funcție de tensiunea de mers în gol, pentru diametrul sîrmei-electrod  $d_e = 2,2$  mm.

$$\frac{U_s}{U_a} = 0,0254 \cdot U_o^{1,002} \quad \text{cu } r = 0,9726 \text{ (excellent)}$$

6. - Corelații pentru cazul utilizării argonului ca mediu de protecție:

a. Variația raportului  $\frac{U_s}{U_a}$  în funcție de tensiunea de mers în gol, pentru  $d_e = 2,2$  mm.

$$\frac{U_s}{U_a} = 0,000006 U_o^{4,056} \quad \text{cu } r = 0,9977 \text{ (excellent)}$$

7. - Corelații pentru cazul cînd nu se utilizează mediu de protecție:

a. Variația raportului  $\frac{U_s}{U_a}$  în funcție de frecvența de vibrație a sîrmei-electrod cu diametrul  $d_e = 2,2$  mm.

$$\frac{U_s}{U_a} = 0,0897 \cdot f^{0,488} \quad \text{cu } r = 0,8609 \text{ (foarte bun)}$$

b. Variația raportului  $\frac{U_s}{U_a}$  în funcție de tensiunea de mers în gol, pentru  $d_e = 2,2 \text{ mm}$ .

$$\frac{U_s}{U_a} = 0,00026 \cdot U_o^{2,4635} \quad \text{cu } r = 0,7919 \text{ (bun)}$$

Se menționează faptul că relațiile de calcul obținute și prezentate mai sus, au fost stabilite pe baza rezultatelor experimentale proprii, efectuate în cadrul Intreprinderii de Mașini Grele din București și asociate cu rezultatele experimentale publicate în literatura /103, 107,113/, cum s-a mai amintit.-

Se precizează, că atât experimentările proprii, cât și cele preluate din literatură au fost executate în aceleași condiții (același material de bază, dimensiunile exterioare a epruvetelor, sursa de curent un redresor cu aceleași caracteristici externe, principiul de funcționare al capului automat, polaritate inversă etc. restul se vede în tabela 9.2.).

In fig. (9.2-9.6) se reprezintă grafic relațiile corelaționale astfel obținute, împreună cu împrăștierile corespunzătoare a valorilor determinate experimental. Studierea relațiilor analitice și a diagramelor permite să se tragă concluziile expuse mai jos.-

a. Din fig.9.2., rezultă, că indiferent de mediul de protecție a zonei arcului, raportul  $\frac{U_s}{U_a}$  are o variație exponențială direct proporțională cu diametrul sîrmei-electrod ( $\frac{U_s}{U_a} = 0,4216 \cdot d_e^{0,681}$ ).

Aria de împrăștiere a punctelor rezultate din experimentări este aceea cuprinsă de o linie combinată (linie punctată și punct linie).-

Se observă, că ponderea diametrelor ce satisfac raportul  $\frac{U_s}{U_a}$ , în condiții bune de stabilitate, cade asupra diametrului sîrmei-electrod de 2 mm. în tot intervalul raportului 0,50-0,85.

Diametrele sîrmelor-electrod ce corespund mai bine decurgerii stabile a procesului vibroarcă, variază între 1,30-2,80 mm, adică practic 1,20 - 3,00 mm.

b. Indiferent de mediul de protecție utilizat și de diametrul sîrmei-electrod, raportul  $\frac{U_s}{U_a}$  variază exponențial direct proporțional cu tensiunea de mers  $\frac{U_s}{U_a}$  în gol a sursei de alimentare cu curent ( $U_s = 0,0764 \cdot U_o^{0,713}$ ) și invers proporțional cu frecvența de vibrație a sîrmei-electrod ( $\frac{U_s}{U_a} = 7,7732 \cdot f^{-0,601}$ ) așa cum rezultă din fig. 9.3.

După cum se vede, în fig. 9.3, partea  $\frac{U_s}{U_a} = f(U_o)$  există trasă curba 3 (cu punct linie) paralelă cu curba 1. Această curbă 3 reprezintă exclusiv rezultatele experimentărilor proprii, în timp ce curba 1 reprezintă rezultatul tuturor cercetărilor (ale autorului împreună cu cele preluate din literatură). Această diferență, scoasă în evidență intenționat, se datorează lichidului adus direct în zona arcului, care în cazul experimentărilor proprii s-a dovedit a fi mai ionizant iar experimentările s-au efectuat cu un raport  $\frac{U_s}{U_a}$  în medie mai mare decât cercetătorii de la care au fost preluate unele date.-

c. Din fig. 9.2 și 9.3 se observă, că pentru valorile limită rezultate ale raportului ( $\frac{U_s}{U_a} = 0,5 - 0,85$ ), astfel că procesul să fie stabil, rezultă următoarele domenii de variație practic recomandate pentru: tensiunea de mers în gol, frecvența de vibrație și diametrul sîrmei-electrod (valorile sunt rotunjite în sens admisibil). Limitele acestor valori sunt centralizate în tabelă 9.3.

Tabela: 9.3

$\frac{U_s}{U_a}$	$U_o$ (V)	f (Hz)	$d_e$ (mm)	Observaț.
	2	3	4	
0,85	50	15	1,20	
	0,85	29-30	3,0	

Acstea valori prealabile, împreună cu alte condiții determinate în capitolele anterioare, asigură procesul vibro-determinatec, respectiv sistemul să decurgă în condiții de stabilitate.

te.

Unele din date, cuprinse în tabela 9.3, confirmă sau se suprapun cu recomandările disparate din literatură.-

d. În cazul utilizării ca mediu de protecție a gazului CO<sub>2</sub>, influența diametrului sîrmei-electrod utilizate, asupra variației exponentiale  $\frac{U_s}{U_a} \rightarrow U_o$  este reprezentată în fig. 9.4. Din analiza acestei diagrame rezultă că, creșterea diametrului sîrmei-electrod de la 2,0 la 2,2 mm (10%) influențează tensiunea de mers în gol astfel:

- pentru limita superioară a raportului  $\frac{U_s}{U_a} = 0,85$  (ce asigură procesul stabil), U<sub>o</sub> crește cu 10% față de creșterea secțiunii de 21% a sîrmei-electrod; - pentru limita inferioară a raportului  $\frac{U_s}{U_a} = 0,50$  se constată o creștere a tensiunii U<sub>o</sub> cu 28% față a de același creștere a secțiunii sîrmei-electrod (21%).-

Limita inferioară a tensiunii de mers în gol corespunzînd raportului  $\frac{U_s}{U_a} = 0,50$  este de (14,2 - 18,0)V, iar pentru 0,85 este de cca (24,5 - 27,5)V. Valorile mai mici ale tensiunii de mers în gol între (10-14)V corespund unor rapoarte U<sub>s</sub> mai mici de 0,5 ceea ce nu asigură condiții prealabile de desfășurare stabilă a procesului vibroarc. De altfel, aceste valori sunt mai puțin utilizate în practica curentă.-

e. În fig. 9.5, se prezintă influența generală a mediului de protecție utilizat curent în cadrul procedeului de încărcare cu vibroarc (CO<sub>2</sub>, Argon, lichid de lucru sau fără mediu de protecție), asupra variației exponentiale a raportului  $\frac{U_s}{U_a}$  în funcție de tensiunea de mers în gol U<sub>o</sub> a sursei de curent, în cazul experimentărilor efectuate cu sîrma-electrod de 2,2 mm. diametru.-

Din analiza curbelor și relațiilor analitice stabilite, rezultă:

- se observă o oarecare similitudine (destul de accentuată) a variației  $\frac{U_s}{U_a} - U_o$ , pe de o parte în cazul utilizării gazului CO<sub>2</sub> și a lichidului de lucru, iar pe de altă parte în

cazul argonului și a cazului cînd nu se utilizează mediu de protecție.-

In primul caz  $\text{CO}_2$  - lichid de lucru pentru  $\frac{U_s}{U_a} = 0,50$ ,  $U_o$  scade cu 10% la  $\text{CO}_2$  față de lichid de lucru și la  $\frac{U_s}{U_o} = 0,85$   $U_o$  scade cu 15% la  $\text{CO}_2$  față de lichid de lucru.-

In cazul al doilea adică argon-fără mediu protector, respectiv cînd  $\frac{U_s}{U_a} = 0,5$ ,  $U_o$  scade cu 22% la argon față de cazul fără mediu de protecție și cînd  $\frac{U_s}{U_a} = 0,85$ ,  $U_o$  scade cu 34% la argon față de cazul fără mediu de protecție.- Aceste rezultate conduc la concluzia că alegerea mediului de protecție la încărcarea cu vibroarc, trebuie făcută pe considerente ce sunt legate mai mult de calitatea materialului de bază și respectiv de calitatea stratului încărcat ce trebuie obținut.-

O constatare importantă ce se remarcă este că, curbele celor trei medii de protecție (argon,  $\text{CO}_2$  și lichid) au un punct practic comun, ce corespunde coordonatelor  $\frac{U_s}{U_a} = 0,4$  și  $U_o = 15 \text{ V}$ , în care fenomenele cercetate au comportare identică, indiferent de mediul de protecție utilizat.-

Dacă nu se utilizează mediul de protecție valoarea  $\frac{U_s}{U_a} = 0,4$  se regăsește la  $U_o = 20 \text{ V}$ .-

In concluzie, indiferent de mediul folosit pentru sîrma-electrod de 2,2 mm diametru, procesul vibroarc la  $\frac{U_s}{U_a} = 0,4$  este instabil. Ideea ce reconfiră concluzia anterioară, că stabilitatea procesului vibroarc are loc la un raport minim  $\frac{U_s}{U_a} = 0,5$ .

O constatare generală este, că pe măsura ce scade  $\frac{U_s}{U_a}$  scade și tensiunea de mers în gol.-

Cu creșterea tensiunii arcului  $U_a$  scade  $\frac{U_s}{U_a}$  cînd se adaugă lichid în arc (scade  $\frac{t_a}{t_c}$ ).

f. In fig. 9.6, se prezintă relația funcțională dintre raportul  $\frac{U_s}{U_a}$  și frecvența de vibrație a sîrmei-electrod.

g. Din analiza acestui grafic rezultă că indiferent de mediul de protecție utilizat, raportul  $\frac{U_s}{U_a}$  practic nu depinde de

frecvența de vibrație a sîrmei-electrod dreptele verticale I și II.

Liniile drepte III și IV constituie rezultatul luării în considerare în calcul (cu mașina electronică de calcul) a absolut tuturor punctelor, respectiv și a punctelor notate cu 1 și 1' precum și a punctului notat cu 2 care de fapt ies din competiție ca ne concludente (reprezentând o abatere "grosolană"). Aceste puncte totuși au fost prezentate în grafic datorită modului cel mai general în care a fost alcătuit algoritmul de calcul. Ele nu au fost eliminate de calculatorul electronic tocmai din cauza erorii exagerate.-

x  
x      x

Astfel de cercetări complexe de interdependentă a parametrilor procesului vibroarc s-au efectuat de autor, pentru prima dată pe plan internațional.-

Rezultatele obținute, stabilesc și rezolvă, fie pornind de la concluzii pur teoretice la verificări experimentale, fie invers de la constatări stabilite pe cale experimentală la relații teoretice.-

In cadrul acestui procedeu, ce se caracterizează printr-un număr mare de parametri cu o largă interdependentă, stabilirea unor relații precise sau domenii de valabilitate a parametrilor ce au fost cercetați reduce mult din cîmpul larg al incertitudinilor, dînd posibilitatea predeterminării parametrilor procesului vibroarc.

#### 9.5. - Nomograma pentru determinarea unor parametri în vederea stabilirii regimului de încărcare cu vibroarc.

Procedul vibroarc, cum s-a mai amintit, se deosebește și printr-un număr mare de parametri electrici și cineticici interdependent, ceea ce prezintă unele greutăți în stabilirea regimului de lucru.-

In baza cercetărilor și rezultatelor obținute pe parcursul tezei, a fost arătată o anume interdependentă între parametrii principali ai procesului vibroarc. In multe cazuri, aceea interdependentă are caracter logic.-

| - // -

Pentru a ușura și mai ales pentru predeterminarea celor mai principali parametri ai procesului vibroarc s-a trasat nomogramă complexă - fig. 9. Nomograma reprezintă dependența între:

- diametrul piesei și turăția ei;
- viteza de încărcare și viteza de avans a sîrmei electrod și raportul între aceste viteze  $\frac{v_e}{v_p}$  ;
- diametrul sîrmei-electrod și viteza ei<sup>p</sup> de avans  $v_e$  ;
- diametrul sîrmei-electrod și grosimea stratului încărcat;
- diametrul sîrmei-electrod și puterea arcului electric;
- diametrul sîrmei-electrod și raportul între viteza de avans a sîrmei-electrod și viteza de încărcare  $\frac{v_e}{v_p}$  ;

Premizele, construirii nomogramamei sunt:

$$v_e = \frac{I_s \cdot U_s}{1000 \cdot d_e} \text{ /m/min/};$$

$$h = \frac{\pi d_e^2}{4 \cdot s} \cdot \frac{v_e}{v_p} \cdot k \text{ /mm/};$$

$$\frac{v_e}{v_p} = 1,70 - 2,2;$$

$$\frac{U_s}{U_o} \approx 0,80;$$

$$s = 1,5 \cdot d_e \text{ (mm);}$$

$$I_{max} = 2 \cdot I_s \text{ (A);}$$

Nu să se prezinte legătura cu inductanță, deoarece curbele de variație a inductanței au fost traseate (în funcție de diferiți parametri) în cap. 7.-

CAP. 10 - PROBE PRELIMINARE INCARCATE CU VIBROARC

Pentru cercetarea diferitilor factori ce influențează în special asupra calității straturilor încărcate, precum și pentru reglarea întregii instalații experimentale au fost executate o serie de probe preliminare.-

In acest scop s-au executat  $5 + 4 = 9$  probe preliminare cu măsurarea respectiv determinarea unui sir de parametri ai regimului de lucru conform tabelei 10.1.-

Materialul de bază un otel de largă întrebunțare în construcții de mașini OLC 45 cu diametru de 60 mm. Diametrul e-privetelor a fost ales de 60 mm. ce corespunde în medie pîscolor ce se încarcă mai des.- Primele cinci probe s-au încărcat cu sîrma-electrod marca S11M2S cu analiza chimică: C = 0,11%; Mn = 1,8 - 2,1%; Si = 0,7 - 0,95%; Cr = max 0,2%; Ni = max. 0,25%; P = 0,03% și S = 0,03%, diametrul sîrmei-electrod 1,2 mm, în mediul protector CO<sub>2</sub>. Restul de patru probe au fost încărcate pe același material de bază, cu sîrma-electrod marca "Chromenar 4lo" cu diametru de 1,6 mm, cu analiza chimică: C=0,10%; Mn= 0,50%; Si=0,30%, Cr = 13%, mediul protector CO<sub>2</sub> + Argon, iar poziția 8 din tabel a fost încărcată numai sub argon.-

Grosimea straturilor încărcate h, a fost determinată prin măsurători directe.-

Fig. 10.1; 10.2 și 10.3 - reprezintă fotografiile probelor încărcate cu sîrma-electrod marca S11M2S, respectiv poz. 1,2 și 3 din tabela 10.1 cu regimurile ale căror parametri electrii și cinematici sunt arătate în tabel.-

Figurile 10.4; 10.5 și 10.6, reprezintă fotografiile probelor încărcate cu sîrma-electrod "Chromenar 4lo", cu diametru de 1,6 mm, în mediul protector de CO<sub>2</sub> + Argon, respectiv sunt poz.6,7 și 8 din tabela 10.1.-

Fotografiile sunt cîte două de fiecare probă văzută diametral opus.-

Ca o primă constatare este, că încărcarea cu sîrma-electrod marca S11M2S, cu conținut mic de carbon și slab aliată, rea-

Rezultatul experimentărilor pe probe  
- preliminare industriale:

Tabelul: 10.1

Nr. de probă	Materialele etc.	Regim de lucru										$\frac{V_e}{V_p}$	$\frac{V_e}{V_c}$					
		$U_o$	$U_s$	$I_s$	$d_e$	$f$	$n$	$D$	$s$	$\lambda$	$C_{02}$	$A_r$	Licitătis lucru					
1	SUN25	13,8	11,5	10	1,2	70	7,0	60	1,5	1,0	18	-	0,1	0,64	1,70	1,34	1,27	0,79
2	S/N 25	15	12,0	120	1,2	60	5,3	60	1,8	1,0	18	-	0,1	0,97	1,50	1,02	1,90	0,52
3	S/N 25	15,2	12,2	115	1,2	6,5	3,5	60	1,8	1,0	18	-	0,1	1,36	1,80	0,69	2,69	0,37
4	S/N 25	15,2	12,2	115	1,2	6,5	3,0	60	1,8	1,0	18	-	0,1	0,835	1,30	0,58	2,67	0,56
5	S/N 25	15,2	12,2	115	1,2	6,5	2,5	60	1,8	1,0	18	-	0,1	1,59	1,50	0,47	3,18	0,35
6	Chromogen	13,8	10,5	150	1,6	6,5	3,2	60	2,07	1,0	8	15	0,1	1,81	1,65	0,61	2,70	0,37
7	-	13,8	10,5	150	1,6	9,0	3,5	60	2,07	1,2	9	15	0,1	1,70	1,67	0,67	2,54	0,395
8	-	13,8	10,5	150	1,6	6,0	3,5	60	2,07	1,2	-	20	0,1	1,65	1,65	0,69	2,47	0,407
9	-	13,8	10,5	150	1,6	6,5	3,0	60	2,07	1,2	8	15	0,1	1,19	1,00	0,524	1,99	0,565

- Grosimea stratului măsurat și determinat prin măsurători directe.

- Copiajul fizic al stratului - stratul 6-10 mm.

- Materialul de bază: OLCA 46

lizează o depunere mai netedă și mai uniformă. Acest factor de fapt este și în funcție de pasul încărcării.-

Încărcările cu sîrma-electrod marca "Chromenar 4lo" cu 13% Cr, are spirele depuse mult mai pronunțate, chiar dacă pasul încărcării este redus la valoarea sa minimă. Acest lucru impune ca adausurile pentru prelucrare mecanică să fie majorate, iar duritatea pe suprafață să distribuie în valuri. În consecință cusăturile vecine trebuie să aibă un grad mai mare de suprapunere (acoperire), adică coeficientul de formă a cusăturii a trebuie să se apropie cît mai mult de unu.-

Probele efectuate au confirmat regimurile predeterminate teoretic și au corespuns așteptărilor.-

O mare influență asupra calității stratului încărcat, o are valoarea tensiunii arcului asupra căreia s-a vorbit în cap.9.-

In fig. 1o.7, sînt reprezentate microstructurile pentru proba poz.1 din tabela 1o.1. După cum se vede în fig. 1o.7, în zona de trecere este subțire și cu structura fină. Materialul de bază are o structură ferito-perlitică foarte fină cu o granulație mai mică de 8, în zona de coalescență structura este de același tip dar mult mai fină. Stratul încărcat este o perlă orientată bainitică, apar și insule de ferită.-

In fig. 1o.8, proba 2, din tabel materialul de bază la fel ca la proba 1, în zona de coalescență la fel, stratul încărcat idem ca la 1, dar cu o orientare mai pronunțată a cristalelor care s-ar datora unei răciri mai intense, ceea ce poate avea explicația numai în faptul că turăția piesei (epruvetei) a fost cu circa 24% mai mică; proporția de ferită față de proba unu nu difere prea mult. Zona de aliere, respectiv pătrunderea între metalul sîrmei-electrod și cel de bază este bună.-

In fig. 1o.9., proba 3 din tabel, structura materialului de bază foarte fină (pozab) zona transformată are structura și mai fină. Poza e strat încărcat are structură feritică cu puțină perlă, granulație fină.-

Se constată lipsa aderenței, respectiv a interpătrunderii între metalul de bază cel de adaos.- Acest lucru apare ca evident deoarece raportul  $\left(\frac{v_e}{v_p}\right)$  este prea mare (2,69) cumulat și cu pasul

$s = 1,8 \text{ mm}$  (cam mare).-

Proba fig.10.10, poz.6 din tabel, structura materialului de bază ferită perlitică granulație <8, în zona de coalescență structura este mult mai fină, zona de legătură distinctă, materialul de adaos (sîrma-electrod) nu a fost atacat de reactivul folosit-mital (pozele 1 și 2) poza 3 - în zona de limită apare un strat decarburat cu o grosime de cca. 0,05 mm (ferită). Pe o grosime de circa 0,005 mm. se constată o difuzie a elementelor de aliere din stratul încărcat în metalul de bază în special de Cr. Sîrma-electrod în acest caz este "Cromenar 4lo" cu 13% Cr. La această probă se constată o zonă de difuzie a elementelor de alie-re, se poate considera ca cea mai reușită depunere.-

Fig. 10.11, proba 7 din tabel (pozele a,b, c și d). În poza a materialul de bază cu granulație 7-6 separată de stratul încărcat (poza.b), structura martensitică revenită ceea ce se explică prin pasul mare de încărcare  $s = 2,07 \text{ mm}$  ( $d_e = 1,6 \text{ mm}$ ). Poza c, materialul de adaos nu a fost atacat de reactivul folosit, în rest identic cu poza a. Poza d - aproape identică ca în poza c. Se constată goluri între materialul de bază și cel de adaos, ceea ce poate fi explicat prin lipsa de concordanță între grosimea stratului încărcat și raportul vitezelor  $\left(\frac{v_p}{v_e}\right)$ . Fig.8.1 confirmă această discordanță. Pe de altă parte raportul vitezelor  $\left(\frac{v_e}{v_p}\right)$  cu mult depășește limitele practic stabilite (1,70-2,2),  $\frac{v_e}{v_p}$  ceea ce nu asigură aderență între materialul de bază și cel al sîrmei-elec-trod.-

Fig.10.12, proba 8 din tabel, pozele a,b,c, și d. Situația la fel cu proba 7 (fig.10.11). Este normal să fie așa, dacă urmărim parametrii de încărcare din tabela 10.1.-

Prin probele numite aci "prealabile", la care s-au analizat rezultatele încărcărilor prin probe metalografice arătate mai sus, în primul rînd s-a confirmat justitatea relațiilor teoretice stabilite cum este:  $h = f \left( \frac{v_p}{v_e} \right)$ ; raportul  $\left( \frac{v_e}{v_p} \right) = 1,70 - 2,20$  valoarea pasului s funcție de diametrul sîrmei-electrod etc.-

Se dovedește importanța practică a acestor dependențe stabilite pe calea teoretică.-

La fel, se constată influența regimurilor de lucru asu-

pră structurii și proprietăților metalului stratului încărcat.

10.1 - Aplicarea proceșului de încărcare cu vibroarc pe piesele industriale

Pentru introducerea efectivă în industrie a proceșului de încărcare cu vibroarc, s-au executat încărcările unor piese uzate pentru locomotive diesel-electrice de 2300 CP. Motoarele diesel având regimurile de încărcare mecanică și termică a pieselor comparabile cu multe mașini și utilaje energetice, putind forma astfel punct de plecare și eventual comparație.-

Lista pieselor uzate supuse încărcării cu vibroarc a fost:

1. Bulon pentru culbutor, fig. 10.13;
2. Ax articulație, fig. 10.14;
3. Bolțul tachetului, fig. 10.15;
4. Ventil de admisie și evacuare, fig. 10.16;
5. Bulon fig. 10.17.

Pieselete au fost încărcate cu regimurile de lucru arătate în tabela 10.2.-

Regimurile de încărcare a pieselor pentru locomotive diesel-electrice de 2300 CP

Tabela: 10.2

Nr. Denumirea piesei	Materiale piesei	Marca sîrmei electrod	U V	I A	$v_p$ mm/s	$v_e$ mm/s	$\frac{v_p}{v_e}$	n rot/min	f Hz.	Durată HV
1.Bulon pt. culbutor 35	SloN Cl80	15	120	10,6	28,4	0,375		4,15	70	
2.Ax articulație	35HM SUA	"	15	120	11,7	28,4	0,415	10,1	70	
3.Bolțul tachetului	13CN 35	"	15	120	10,5	28,4	0,372	8,45	70	
4.Ventil de admisie 35		"	15	120	10,6	28,4	0,375	9,15	70	
5.Bulon	13GN35	"	15	120	10,5	28,4	0,372	9,15	70	

- Diametrul sîrmei-electrod  $d_e = 1,6 \text{ mm};$
- Mediu de protecție  $\text{CO}_2 (2,5 \text{ l/min}) + \text{Ar} (15 \text{ l/min});$
- $\lambda = 1,6 \text{ mm}; s = 1,5 \cdot d_e = 2,4 \text{ mm}.$

Pentru experimentare s-a pus la dispoziție o singură garnitură de piese reprezentative, care au fost încărcate conform regimurilor din tabela 10.2.-

Având în vedere calitatea materialelor pieselor (oțeluri aliate speciale), destinația lor, alegerea definitivă a parametrilor s-ar fi putut face cunoscîndu-se rezultatele comportării lor după circa 50-60.000 km. de parcurs a locomotivei. Piesele sunt în stadiu de probe în exploatare.-

In ce privește duritatea straturilor încărcate, aceasta poate fi realizată folosind sîrma-electrod potrivită.-

. Având în vedere, că în cazul analizat, toate piesele supuse recondiționării prin procedeul vibroarc sunt de formă cilindrică (fig. 10.13 - 10.17 inclusiv), cu diametre ce diferă puțin între ele, s-au executat o serie de epruvete de tip special (vezi capitolul următor), încărcate cu diverse sîrme-electrod și cu regimurile diferite, iar concluziile ce se trag vor deveni niște concluzii cu caracter mai general.-

In fotografiile anexate fig. (10.18 - 10.22) sunt reprezentate piesele încărcate pentru locomotivele diesel-electrice, corespunzătoare desenelor fig. (10.3 - 10.17). Piesele au fost fotografiate după încărcarea, înainte de prelucrare mecanică prin rectificare.-



CAP. 11 - REZISTENATA LA OBOSEALA CA MIJLOC DE APRECIERE A

INFLUENTEI CUMULATE A PARAMETRILOR PROCESULUI

VIBROARC

11.1. - Rezistența la oboseală a pieselor după încărcare cu procedeul vibroarc (unele constatări)

Cu toate că recondiționarea pieselor cu procedeul vibroarc, cîștigă tot mai multe domenii de utilizare, cu toate acestea, astfel de probleme ca influență compoziției chimice a sîrmei-electrod și regimurilor de încărcare asupra rezistenței la oboseală a pieselor sănătății năstudiate. Nu este studiată decît în mică măsură problema influenței situației locului de aducere a lichidului de lucru față de poziția și locul sîrmei-electrod.-

Se poate afirma, că în general, această problemă este foarte puțin cercetată. În articolele apărute pînă acum sănătății contradicții în ce privește concluziile finale /54,167/ asupra rezistenței la oboseală a pieselor încărcate cu vibroarc. Aceste contradicții, pot avea în unele cazuri explicații, fie datorită diferențelor dăierite în care se făceau aceste cercetări, fie că piesele supuse recondiționării prin încărcare aveau destinații cu totul deosebite, trebuind să îndeplinească și condiții speciale.-

Rezultatele cercetărilor prezentate în /167/, arată că încărcarea cu procedeul vibroarc sub jet de lichid de lucru a otelului 45 (echivalent OLC 45) pe același otel provoacă în straturile de suprafață formarea unor tensiuni de compresiune pînă la  $40-50 \text{ kgf/cm}^2$ . Pe linia de aliere se nasc tensiuni de întindere, ce ajung la  $40 \text{ kgf/mm}^2$ . Prin cercetări s-a stabilit, că rezistența acestor epruvete este mai mică cu 23% decît rezistența la oboseală a epruvetelor nefuncționate, ceea ce se explică prin existența unor crăpături, o distribuție nefavorabilă a tensiunilor rămase, neomogenitatea structurii și proprietăților mecanice a metalului încărcat.

In general, în literatură este cunoscut, că prin încărc-

carea straturilor pe piese ce se recondiționează, rezistența lor la oboseală de obicei scade.-

Totuși, cele expuse mai sus nu demonstrează, că toate metodele de încărcare, respectiv materialele de adas folosite, duc la reducerea rezistenței la oboseală a pieselor.-

In ce privește încărcarea cu procedeul vibroarc, concluzia de mai sus nu se confirmă în toate cazurile.-

Astfel, unele cercetări au stabilit /86/, că la încărcare cu vibroarc anumite regimuri nu reduc rezistența la oboseală a pieselor încărcate.-

O altă serie de încercări /167/ arată, că epruvetele încărcate în mediu de  $\text{CO}_2$  cu un oțel austenitic 1H18N9T (URSS) corespunzător sîrmei-electrod produsă la noi în țară marca SloNC 180, adică un oțel cu Cr = 17,0-20%; Ni=8,0 - 11,0% și Mn  $\leq$  2,0%, pe un oțel de tip OLC 45 nu reduce rezistența la oboseală a pieselor, ci, dimpotrivă o ridică.-

O deformare plastică a metalului încărcat, cu sîrma-electrod ca mai sus, mărește suplimentar rezistența la oboseală a pieselor din oțel OLC 45.-

Rezistența la oboseală a epruvetelor scruiate după încărcare, este cu 27-47% mai mare decât la cele nefîncărcate.-

Aceeași sursă arată, că reducerea rezistenței la oboseală a epruvetelor după încărcare, se explică - în primul rînd - prin existența unor defecte, fie sub forma unor pori, a incluziunilor mici, fie a fisurilor.-

Din diferitele studii și cercetări /54,167,215/ rezultă că, cu cât materialul este mai plastic, cu atât capacitatea lui de „netezire” a vîrfurilor tensiunilor nefavorabile rezistenței la oboseală, este mai mare.-

- Pieselete executate din oțeluri carbon și oțeluri aliate, tratate termic pînă la duritatea HRC 45 și mai mare, după ce sunt încărcate la recondiționare, pot redobîndi această duritate folosind pentru încărcare sîrma-electrod corespunzătoare, cum este folosită de la noi în țară și de autorul tezei, în cercetările executate (vezi tabelele cu rezultatele cercetărilor) sau sîrma-

electrod marca SloNC 180 cu C = 0,08% și Cr. = 19,7%, Ni = 9,26% Mn = 0,52% sau sîrma-electrod folosită în URSS-2H13 eventual 2H14 ce au crom între 12-15%.-

- La încărcarea unor straturi subțiri mai mici de 0,5-0,6 mm, dacă nu se cere ca piesă să aibă o rezistență la oboseală mare și diametrul ei este mic, pentru reducerea adausurilor la prelucrare prin șlefuire, se poate folosi sîrma-electrod de diametre mici, mai mici de 1,5 mm, menținind însă raportul vitezelor  $\frac{v_e}{v_p} \approx 2$  și pasul  $s = (1,6-1,9)d_e$ . Pentru asigurarea unei finale productivități, viteza de avans a sîrmei-electrod trebuie aleasă să fie maximum posibilă pentru diametrul ei /86/-

- La încărcarea unor straturi relativ subțiri, cînd se cere o finală rezistență la oboseală, trebuie folosită sîrma-electrod cu diametre mai mari de 2 mm. Pentru asigurarea unui adaus minim pentru prelucrarea mecanică este necesar să fie micșorat raportul vitezelor  $(\frac{v_e}{v_p})$ . Această nu reduce rezistență la oboseală a piesei, cît că  $v_p$  indicatorii de bază ale procesului întrucîtva se înrăutățesc /86/-

- La încărcarea straturilor groase, mai groase de 2-3 mm, este necesar să fie utilizată sîrma-electrod cu diametrul de 2,5-3 mm și mai groasă dacă este posibil. Însă, limita superioară este determinată de rigiditatea sîrmei electrod și de puterea sursei de alimentare cu curent. În acest caz duritatea stratului este mai mare decât în cazul unei încărcări în două straturi cu sîrma-electrod subțire, aderența în acest caz este mai sigură, iar productivitatea procesului mult mai mare.-

#### 11.2. - Cu privire la aderența între materialul încărcat și cel de bază.

Cercetările autorului nu s-au extins și asupra aderenței, deoarece ar însemna repetarea unor cercetări efectuate de /86/ și destul de detailat prezентate în articolul publicat, iar condițiile de încărcare ca: materialul sîrmei-electrod, diametrul ei, materialul de bază, pasul încărcării, raportul vitezelor  $(\frac{v_e}{v_p})$  etc. sunt aproape aceleasi cu care a lucrat autorul tezei.-

Concluziile la care s-a ajuns sunt următoarele: /86/:

a) O aceiasi grosime de strat incarcat poate fi obtinuta cu diferite regimuri de incarcare. Prin aceasta insa se schimb sensibil aderența metalului incarcat cu cel de bază. Cu creșterea diametrului sîrmei-electrod, valoarea aderenței crește, aderența scade cu creșterea diametrului epruvetei.-

b) Prin reduderea raportului  $\left(\frac{v_e}{v_p}\right)$  scade energia liniară.

Aceasta înrăutățește condițiile de topire a metalului de bază, ceea ce, la rîndul său, reduce într-o oarecare măsură aderența stratului.-

c) La încărcarea cu sîrma-electrod cu diametru mai mic de 1,4 mm, schimbarea grosimii stratului prin schimbarea raportului  $\left(\frac{v_e}{v_p}\right)$  nu este posibilă. Acesta trebuie să fie egal cu circa 2.

Schimbînd acest raport, mai ales în sensul micșorării lui, se strică stabilitatea procesului, iar aderența stratului devine insuficientă.-

d) La încărcare cu sîrma-electrod cu diametru mai mic de 2 mm. aderența stratului devine insuficientă, dacă grosimea lui se realizează pe seama unei reduceri pronunțate a pasului pînă la (0,7 - 1,2)  $d_e$  și creșterea raportului vitezelor mai mult de 2,5.-

In toate celelalte cazuri, prin schimbarea grosimii stratului încarcat, fie prin diametrul sîrmei-electrod, fie prin raportul  $\frac{v_e}{v_p}$ , aderența stratului încarcat cu metalul de bază trebuie să fie minimum 30 kgf/mm<sup>2</sup>, ceea ce asigură buna funcționalitate a stratului încarcat /86/-

### 11.3 - Cercetări proprii-condiții

Incercările la oboseală au fost executate pe o mașină specială VIBROFOR tip HFP lo AMSLER, de lo tf, cu ciclu de vibrații reglabil între 60-300 Hz, iar forma și dimensiunile geometrice a epruvetei sunt prezentate în fig. 11.1. Epruveta are un concentrator de tensiune.-

S-au executat patru diferite grupe de epruvete. Primele două grupe au cîte șase serii, fiecare serie este alcătuită din cîte cinci sau șase epruvete. Restul de două grupe sunt al-

cătuite din cîte opt serii a cîte cinci epruvete. Total sînt 146 epruvete.-

Prima grupă a fost încărcată cu sîrma-electrod marca S12M2 diametru 1,6 mm a doua cu S11M2S cu diametru 1,2 mm, a treia cu S10NC180 cu diametru 1,6 mm, și a patra cu S80Crl cu diametru 1,6 mm,-. Încărcarea în toate cazurile să fie executată cu polaritatea inversă.-

Diametrele epruvetelor variază din jumătate în jumătate milimetru, între 19 și 17 mm. Încărcarea se face cu mediul protecțor arătat în tabelul II.1 și II.2, variind distanța jetului de lichid față de sîrma-electrod cu 20 respectiv 10 mm. Restul parametrilor electrici și cinematici sunt indicați în tabele.-

O parte din epruvete, au servit pentru determinarea influenței asupra rezistenței la obosaleă a următorilor factori: calitatea sîrmei-electrod (conținutul de carbon și a altor elemente de aliere), grosimea stratului încărcat, felul mediului protecțor și distanța jetului de lichid de la locul sîrmei-electrod.-

Restul epruvetelor au servit pentru studierea influenței rapoartelor  $\left(\frac{V_e}{V_p}\right)$  și  $\left(\frac{V_p}{V_e}\right)$  care după cum rezultă din lucrările efectuate în cadrul tezei, sunt factori de o deosebită importanță teoretică și practică.-

Epruvetele sunt din OLC 45 normalizat, structura lor etalon (neîncărcate) este ferito-perlitică cu HB 175 - 185.-

După încărcare, epruvetele au fost prelucrate mecanic prin rectificare cu răcire abundantă. Determinarea grosimii stratului încărcat se făcea prin măsurători directe (înainte de încărcare și după prelucrarea lor).-

#### II.4. - Rezultatele încercărilor și concluziile asupra durității stratului încărcat și rezistenței la obosaleă.

Rezultatele încercărilor precum și regimurile de lucru sunt prezentate în tabelele II.1 și II.2, în graficele din fig. II.2 - II.7 inclusiv; precum și în micrografiile și fotografiile secțiunilor rupte și al șlifurilor (fig. II.8 - II.38).-

Tabela III

Nº	Nº cor.	Síntesis eficiente máximo	d <sub>e</sub> mm	U <sub>s</sub> V	I <sub>s</sub> A	f Hz	λ mm.	Velocidad media de rotación min. <sup>-1</sup>	n r/min	Velocidad media de rotación min. <sup>-1</sup>	Co <sub>2</sub> l/min	Velocidad media de rotación min. <sup>-1</sup>	Diametro obtenido mm.	Diametro de la fibra obtenida mm.	Velocidad media de rotación min. <sup>-1</sup>	Velocidad media de rotación min. <sup>-1</sup>	
1	211 - 245	51/2 1/2	1,6	13,2	100	1,2	1,8	15	10	8	0,1	19,0	20,0	0,835	0,50	2,01	
2	221 - 225	--	1,6	13,2	100	1,2	1,8	15	10	8	0,1	18,5	20,0	0,875	0,48	2,06	
3	231 - 235	--	1,6	13,2	100	1,2	1,8	15	10	8	0,1	18,0	20,0	0,855	0,475	2,10	
4	241 - 245	--	1,6	13,2	100	1,2	1,8	15	10	8	0,1	17,5	20,0	0,830	0,472	2,19	
5	251 - 255	--	1,6	13,2	100	1,2	1,8	15	10	8	0,1	17,0	20,0	0,805	0,448	2,24	
6	261 - 265	--	1,6	13,2	100	1,2	1,8	15	10	8	0,1	18,0	10,0	0,835	0,473	2,10	
7	311 - 316	311/228	1,2	13,2	90	1,0	1,7	13	-	14	0,1	19,0	20,0	0,780	0,458	2,19	
8	321 - 326	--	1,2	13,2	90	1,0	1,7	13	-	14	0,1	18,5	20,0	0,762	0,450	2,22	
9	331 - 336	--	1,2	13,2	90	1,0	1,7	13	-	14	0,1	18,0	20,0	0,740	0,435	2,30	
10	341 - 346	--	1,2	13,2	90	1,0	1,7	13	-	14	0,1	17,5	20,0	0,720	0,423	2,35	
11	351 - 356	--	1,2	13,2	90	1,0	1,7	13	-	14	0,1	17,0	20,0	0,695	0,408	2,44	
12	301 - 306	--	1,2	13,2	90	1,0	1,7	13	-	14	0,1	18,0	10,0	0,730	0,435	2,30	
13	411 - 415	510/NC180	1,6	15,0	120	90	1,6	1,7	13	15	2,5	0,1	19,0	20,0	1,14	0,670	1,42
14	421 - 425	--	1,6	15,0	120	90	1,6	1,7	13	15	2,5	0,1	18,5	20,0	1,111	0,653	1,53
15	431 - 435	--	1,6	15,0	120	90	1,6	1,7	13	15	2,5	0,1	18,0	20,0	1,050	0,634	1,58
16	441 - 445	--	1,6	15,0	120	90	1,6	1,7	13	15	2,5	0,1	17,0	20,0	1,020	0,602	1,67
17	451 - 455	--	1,6	15,0	120	90	1,6	1,7	13	15	2,5	0,1	17,5	20,0	1,040	0,612	1,64
18	461 - 465	--	1,6	15,0	120	90	1,6	1,7	13	15	2,5	0,1	18,0	10,0	1,080	0,636	1,58
19	471 - 475	--	1,6	13,2	110	90	1,6	1,5	16	15	2,5	0,1	18,0	20,0	0,630	0,602	2,18
20	481 - 485	--	1,6	13,2	110	90	1,6	1,5	16	15	2,5	0,1	18,0	20,0	0,630	0,602	2,18
21	511 - 515	580C/1	1,6	13,2	100	90	1,8	1,8	15	10	8	abund	19,0	20,0	0,685	0,520	2,01
22	521 - 525	--	1,6	13,2	100	90	1,8	1,8	15	10	8	--	18,5	20,0	0,675	0,488	2,05
23	531 - 535	--	1,6	13,2	100	90	1,8	1,8	15	10	8	--	18,0	20,0	0,652	0,473	2,10
24	541 - 545	--	1,6	13,2	100	90	1,8	1,8	15	10	8	--	17,0	20,0	0,670	0,448	2,23
25	551 - 555	--	1,6	13,2	100	90	1,8	1,8	15	10	8	--	17,5	20,0	0,630	0,462	2,19
26	561 - 565	--	1,6	13,2	100	90	1,8	1,8	15	10	8	--	18,0	10,0	0,652	0,473	2,10
27	571 - 575	--	1,6	13,2	100	90	1,8	1,8	15	10	8	--	18,0	20,0	0,680	0,520	2,39
28	581 - 585	--	1,6	13,2	100	90	1,8	1,8	15	10	8	--	18,0	20,0	0,680	0,520	2,39

- Corte de la fibra óptica 45°-cortado sobre el sombra-selängel 510mm.  
 - Total 146 unidades.

Nr. eines Spirals	Strom de magnet masse	$\lambda$	W. am grom. mm	Radius der spule mm	Diam. der spule mm	Distanz zwi. Spule und Gren. mm	Gren. Kap. mm	Nc. celeri (Nf.) $10^{12}$	f Hz.	Stareo pro bei drehä Nf.	Locum orrei		Microdurchflö M H.v.		
											sus spule	spule und Gren. mm	sus spule und Gren. mm	sus spule und Gren. mm	
1	341	52	1,0	1,9	-	14	0,1	110	20,0	0,2675	150	Ruptör	0,333	Record	386
2	342	52	1,0	1,9	-	14	0,1	110	20,0	0,0399	150	Ruptör	0,50	Zone calibrat.	317
3	344	51	1,0	1,9	-	14	0,1	110	20,0	0,0476	150	Ruptör	0,40	-	246
4	346	51	1,0	1,9	-	14	0,1	110	20,0	0,1244	150	Füründ. amors. ext.	0,50	Record	217
5	331	52	1,0	1,9	-	14	0,1	110	20,0	0,0851	150	Füründ.	0,50	Zone calibrat.	257
6	332	52	1,0	1,9	-	14	0,1	110	20,0	0,0494	150	Nervöös	0,33	-	246
7	333	52	1,0	1,9	=	14	0,1	18,0	20,0	22,5	150	Füründ. am. exten.	0,44	Record	231
8	334	52	1,0	1,9	=	14	0,1	18,0	20,0	22,5	150	Füründ.	0,44	Zone calibrat.	241
9	335	52	1,0	1,9	-	14	0,1	18,0	20,0	0,0692	150	Füründ. am. ext.	0,44	-	280
10	336	52	1,0	1,9	-	14	0,1	18,0	20,0	0,0166	150	Füründ. am. ext.	0,44	-	225
11	302	52	1,0	1,9	-	14	0,1	18,0	20,0	0,0469	150	Füründ. am. ext.	0,457	-	280
12	303	52	1,0	1,9	-	14	0,1	18,0	20,0	0,9976	150	Infras.	0,333	-	283
13	305	52	1,0	1,9	-	14	0,1	18,0	20,0	1,0002	150	Nervöös	0,50	-	246
14	306	52	1,0	1,9	-	14	0,1	18,0	20,0	1,0202	150	Ruptör	0,324	Zone calibrat.	229
15	561	52	1,0	1,9	-	14	0,1	18,0	20,0	1,0273	150	Infras.	0,450	-	221
16	562	52	1,0	1,9	-	14	0,1	18,0	20,0	1,0446	150	Nervöös	0,513	-	229
17	563	52	1,0	1,9	-	14	0,1	18,0	20,0	1,0644	150	Füründ. am. exten.	0,50	Zone calibrat.	229
18	564	52	1,0	1,9	-	14	0,1	18,0	20,0	1,0730	150	Infras.	0,50	-	229
19	565	52	1,0	1,9	-	14	0,1	18,0	20,0	1,0975	150	Ruptör	0,333	Zone calibrat.	219
20	231	52	1,0	1,9	-	14	0,1	18,0	20,0	1,0166	150	Nervöös	0,333	-	221
21	233	52	1,0	1,9	-	14	0,1	18,0	20,0	1,0475	194	Infras. hochf.	0,600	-	229
22	MAT.B1	52	1,0	1,9	-	14	0,1	18,0	20,0	0,0629	150	Füründ.	0,226	-	229
23	MAT.B2	52	1,0	1,9	-	14	0,1	18,0	20,0	1,0038	150	Nervöös	0,56	-	229
24	MAT.B3	52	1,0	1,9	-	14	0,1	18,0	20,0	0,0257	116	Prob. am.	0,111	-	229
25	MAT.B4	52	1,0	1,9	-	14	0,1	18,0	20,0	0,0026	150	Prob. area	0,600	-	229

Magnet der Maschine: Vierpoliger Motor AMLER

frequenz 50 Hz, feste 80 Hz.

Param. Akten: similia + 5%  
Prax. präparat 0 ± 10%.

Eprouvets au concentrator de tonisme. (Fig. 11.1.)

S - zone sudomotoria  
 ZL - zone de l'activité  
 ZI - zone influente  
 AB - matériau de base

#### 11.4.1. - Duritatea straturilor încărcate.

Ca o constatare generală, ce poate fi observată din fig. 11.2, este existența unei variații brusă a microdurității, în zona de legătură între metalul încărcat și cel de bază. Această scădere bruscă a microdurității la granița de aliere, poate fi explicată printr-o mare diferență de structură a metalului de bază (OLC 45 normalizat) și metalul încărcat, precum și existenței unei zone de influență termică, care constă din grăunțe destul de mari de metal încălzit (vezi micrografiile cu explicațiile fig. 11.8; 11.29, 11.30 și 11.31).-

Analizând toate tabelele și graficele, rezultă o influență sensibilă asupra stratului încărcat a conținutului de carbon din sîrma-electrod, precum și distanța de aducere a lichidului pe piesă față de locul sîrmei-electrod.-

In toate cazurile straturile sunt încărcate cu sîrme-electrod normal aliate, elementul clar diferențiat fiind carbonul (0,11 respectiv 0,73%) rezultă că duritatea stratului încărcat corespunde între un otel îmbunătățit pînă la un otel călit, adică între (225-325)HV.

Imprăștierea valorilor practic bună.-

Cu reducerea distanței între sîrma-electrod și jetul de lichid, duritatea maximă a stratului încărcat se deplasează între zona de legătură și cea de influență (fig.11.2).

Se observă un număr mare de factori ce influențează asupra durității stratului încărcat.-

#### 11.4.2. Încercările la oboseală.

Așa cum s-a amintit mai sus, încercările la oboseală sau efectuat cu mașina specială VIBROFOR.-

Gradul de asimetrie a solicitării a fost impus de dimensiunile epruvei (fig.11.1) și  $\max = 26-30 \text{ kgf/mm}^2$ , adică circa 5600 kgf.-

- Probele 342 și 344 (fig.11.32 și 11.32 s-au rupt în zona încărcată. Proba 342 avînd un por pronunțat (vezi fig.11.28). La fel se constată și la ruperea probei 344 (fig.11.34). Proba

346 (fig.11.35), s-a rupt avind o fisură în exterior, direcția de rupere în stratul de sudură are unghi de cca.  $45^{\circ}$  față de suprafața exterioară.-

- Aspectul general al straturilor încărcate este bun, aşa cum se vede în macrofotografiile anexate cît și în analiza șlifurilor și secțiunilor rupte. Grosimea lor este uniformă, iar zona de influență în adâncime este foarte redusă, (fig.11.11, 11.16, 11.14, etc).-

Din diagramele de oboseală (fig. 11.3 - 11.7) se constată, că rezultatele obținute pe probele ce au răcirea cu jetul de lichid la distanță de 10 mm. de la sîrma-electrod, conduc la rezultate mai bune, din punct de vedere al rezistenței la oboseală față de probele ce au această distanță egală cu 20 mm.-

Din micrografiile făcute la probele cu mediu de protecție  $\text{CO}_2$  amestecat cu argon se constată că, cantitatea de oxizi microscopici în secțiunile rupte, este mai mică decit în straturile încărcate în atmosferă de  $\text{CO}_2$ , spre exemplu probele: 306, 334, față de 562 și 563 (vezi fig. 11.13; 11.19; 11.30; 11.9 și 11.31).

Legătura între straturile încărcate și materialul de bază, rezultă a fi bună la toate epruvetele. Supuse la ciclurile alternante tensiune-compresiune, straturile nu s-au desprins la nici o probă. Nu se observă ruperi în afară de zona concentratorului, decit la două probe (342, 344) și o probă (564) s-a rupt la începutul cusăturii (încărcare la raccordări nu s-a făcut - fig. 11.11).-

Analizând șlifurile epruvetelor secționate constatăm, că straturile încărcate (fig.11.11, 11.16, 11.14, 11.17, 11.20; 11.27) se disting printr-o pătrundere în materialul de bază, sub forma unor dinți de fierăstrău. Această formă de pătrundere, este aproape ideală din punct de vedere al aderenței, creând o suprafață mare de contact între cele două suprafete (vezi și fig.11.29).

- O altă concluzie de ordin general este, că pentru creșterea limitei de elasticitate este bine ca sîrma-electrod să contină nichel.-

- În cazul cînd piesele trebuie să aibă rezistență mare la oboseală, un tratament de detensionare a stratului încărcat ar produce un efect de imbunătățire al rezistenței la oboseală,-

s-ar produce o omogenizare mai bună a zonei de influență reducind fragilitatea.-

In acest scop unii autori /167/ recomandă o rolare a stratului încărcat (cu rolă) uniformizând astfel distribuirea tensiunilor interne ce se nasc.-

Se mai constată necesitatea ca suprafața încărcată să fie foarte fin șlefuită, lipsită de rizuri.-

- Cu creșterea conținutului de carbon în sîrma-electrod, rezistența la obuzeală se mărește, aceasta ca urmare a creșterii durității metalului (probele: 344, 334, 336, și 564.).

- Printre parametrii principali ce influențează asupra rezistenței la obuzeală este distanța de aducere a lichidului de răcire de la sîrma-electrod.-

Cercetările /38/ constată aceeași influență și mai precisează că rezistența la obuzeală este maximă cînd debitul jetului de răcire este de 1,5 l/min; la o creștere a debitului rezistența la obuzeală, brusc scade. Încărcările noastre s-au făcut sub un jet de 0,4 - 1,5 l/min.-

- Din cercetările efectuate se constată că rezistența la obuzeală este determinată nu numai de materialul sîrmei electrod ci și de regimul de încărcare (adică parametrii electrici și cinetici ai regimului).-

Încercările executate de autorul tezei, confirmă unele constatări făcute de /215/. Autorul acestei lucrări, după un număr de nouă serii de probe încărcate cu diferite procedee, printre ele și cu procedeul vibroarcă, constată că în cazurile cînd prin încărcare epruveta a obținut reducerea limitei rezistenței la obuzeală, aceasta se datorează defectelor din stratul încărcat.-

In această privință, adăugăm în baza cercetărilor proprii efectuate, că se mai produc cîte o dată și fisuri în zona de trecere (legătură) care poate produce o reducere a rezistenței la obuzeală.-

In general, în stratul încărcat se formează o structură rezistență și durată, de cele mai multe ori este formată din cristale columnare cu structură fină (distanță 10-15 mm.) între jet de lime și sîrma-electrod.-

Georgescu G. /168/ în cercetările sale constată că rezistența la obuzeală este proporțională cu rezistența la obuz.

chid și sîrma-electrod - proba 564).-

La proba 336, fig. 11.36, structura stratului încărcat este fină, cu dendrite scurte, perlită și ferită, perlită sorbită.-

In zonele transformate apare trostită, trostită martensită-sorbită.-

La proba 306, fig. 11.30, încărcarea s-a făcut tot cu distanță de 10 mm. între jetul de lichid și sîrma-electrod. Se constată o structură ferito-perlitică, cristale columnare ce interpătrund de la un strat la altul.-

In general, se formează, în stratul încărcat structura trostito-martensitică.-

Conform unei analize /215/, asupra influenței cumulate a diferitilor factori asupra rezistenței la obuzeală a metalului după ce aceasta a fost încărcat cu procedeul vibroarc, se constată, că o reducere a limitei rezistenței la obuzeală nu provine ca urmare a tensiunilor termice ca la alte procedee. Aceasta importată concluzie, se explică printr-o mai redusă sensibilitate la concentratori de tensiune a straturilor încărcate cu procedeul vibroarc.-

La acest capitol, în concluzie, se poate spune, că procedeul de încărcare cu vibroarc, este foarte bun pentru lucrările pe care le acoperă cu specificul său - cele precizate pe tot parcursul tezei. - Pieza unde este important ca rezistența la obuzeală să nu scadă (sau să fie mare) suprafața prelucrată a stratului încărcat să fie cît mai fină și lipsită de amorse.-

Adică: se vor încărca racordările, se va menține stric pasul de încărcare, zona arcului să fie bine și fără întrerupere protejată, adică regimul de încărcare să fie riguros stabil și staționar.-

Cercetările autorului tezei confirmă rezultatele altor cercetători /167/, că rezistența la obuzeală a pieselor după încărcare cu vibroarc este determinată de sîrma-electrod, precum și de regimul de încărcare (parametrii regimului).-

Incărcarea cu procedeul vibroarc cu sîrma-electrod de tip *S10NC180* cu conținut mare de crom și nichel în mediu protector de  $\text{CO}_2$ , pe un oțel cu conținut mediu de carbon, nu reduce rezistența la oboseală a piesei ci dincontră o ridică.-

CAP. 12 - PRACTICA POLOSIRII INSTALATIEI EXPERIMENTALE VIBROARC,  
DATE ORIENTATIVE PENTRU PREDETERMINAREA REGIMULUI DE  
LUCRU, PREGATIREA PROCESULUI DE INCARCARE

12.1. - Pregătirea suprafetei piesei înainte de încărcare.

Suprafetele piesei trebuie să fie curate, fără urme de coroziune și ulei. Suprafetele murdare cu unsori sau uleiuri, trebuie spălate cu un solvent, cel puțin cu benzină și ștersă până la uscare. Petele de rugină se înlătură cu hîrtie emeri.-

Dacă pe suprafață ce se încarcă sunt orificii sau canale utile, cum sunt șanțuri de ungere, lăcașuri de pană, etc, ele trebuie astupate fie cu material din cupru, fie din oțel, după caz, eventual se poate face încărcarea fără astuparea găurilor și a canalelor utile ce se găsesc pe suprafetele de îmbărcat.-

Dacă piesele au defecte de suprafață mai adânci de 2 mm, se recomandă ca înainte de încărcare aceste defecte să fie sudate manual, apoi îndepărțind plusul de metal depus.-

12.2. Sîrma-electrod pentru încărcare cu procedeul  
vibroarc

Calitățile sîrmei - electrod, respectiv analiza chimică ei se alege de la caz la caz, care este o funcție de funcție funcție de metal de bază, scop, mediu de protecție ) problema ce totdeauna trebuie să formeze o atență preocupație.-

Automatul experimental folosit poate întrebunța sîrma-electrod cu diametre de 1,1,2 pînă la 1,6 și adaptat prin restructurăție pentru 2 mm. și maximum 2,2 mm.-

In ce privește sîrma-electrod se mai precizează.-  
- Sîrma-electrod trebuie să fie curată, deoarece impuritățile de la suprafață provoacă trecerea necorespunzătoare a curentului prin ajutajele de alimentare cu sîrma-electrod și produce îmăscarea acesteia, putind cauza inclusiuni nemetalice. Sîrma-electrod nu se admite să fie ruginită sau acoperită cu ulei. Uleiul se

curăță prin degresare cu acetonă.-

Diferitele impurități de pe suprafața sîrmei-electrod, precum și petele de coroziune de pe suprafață provoacă formarea porozităților în stratul încărcat, stropirea mai intensă a metalului topit și în consecință îmbăcisarea (înfundarea) rapidă a ajutajului pentru gaze.-

Se va urmări ca sîrma să nu fie răsucită și ondulată, altfel asemenea defecte duc la întreruperea avansului uniform al sîrmei-electrod și deci la instabilitatea procesului de încărcare.

In funcție de grosimea stratului ce trebuie încărcat, diametrul sîrmei-electrod se alege în limitele de 1-3 mm, tabela 12.1.

Alegerea orientativă a diametrului sîrmei-electrod pentru încarcarea cu vibroarc /208/

Tabela: 12.1

Grosimea stratului de încărcat în mm.	Diametrul sîrmei electrod în mm.
Mai subțire de 1,0	1,0 - 1,5
1,0 - 2,0	1,5 - 2,5
2,0 și mai mult	2,0 - 3,0

Felul gazului de protecție influențează sensibil asupra stabilității de ardere a arcului, precum și prin compoziția sîrmei-electrod, prin elementele de aliere care sunt mai mult sau mai puțin ionizante.-

Pentru încărcarea în mediu de  $\text{CO}_2$ , trebuie să fim atenți la compoziția chimică a sîrmei-electrod, deoarece atmosfera de protecție ( $\text{CO}_2$ ) are un caracter oxidant și se produce arderea unor elemente chimice componente.-

Deci, marca sîrmei-electrod se alege în funcție de proprietățile ce dorim să aibă stratul de metal încărcat, și în principal ce duritate trebuie să aibă și în funcție de fisurile eventuale pot fi acceptate (în raport de funcțiile și importanța piesei ce se încarcă).-

Cu ocazia lucrărilor pentru teza de doctorat, instala-

ția experimentală modificată poate fi folosită ca instalația cu utilizări industriale. Pentru utilizarea ei frecvență la încărcarea pieselor, având suprafețe cilindrice cu diametre considerate mai uzuale și din materiale de calitate obișnuită, s-a elaborat o nomogramă (fig.12.1) care în condițiile descrise (sursa de curent un redresor și cu o bobină de inductanță variabilă) determină celelalte condiții tehnologice și în special viteza de încărcare  $v_p$  și viteza de avans a sărmăi-electrod  $v_e$  în funcție de grosimea stratului încărcat  $h_N$ .

Nomograma este valabilă pentru folosirea sărmăi-electrod de diametru 1,4 mm, având analiza chimică: C = 0,05 - 0,10%; Mn = 0,40-0,65%; P = max. 0,03%; S = 0,03%; P+S = 0,05%; Cr=0,15%; Ni = 0,15%; sărma obișnuită de sudare, pasul de încărcare 1,5 mm/rot., tensiunea arcului 11 V.-

In continuare folosim următoarele notății:

$v_p$  - viteza de încărcare în m/h;

$v_e$  - viteza de avans a sărmăi-electrod în m/min;

$h_n$  - grosimea medie a stratului ce trebuie depus în mm;

$h_N$  - grosimea maximă a stratului ce rămâne depus în mm;

$k_o$  - adăos pentru prelucrare în mm;

n - turăția piesei la încărcare în rot/min;

D - diametrul piesei de încărcat în mm;

f - frecvența vibrățiilor în Hz.;

$\lambda$  - amplitudinea oscilațiilor capătului sărmăi-electrod în mm;

Q - cantitatea de lichid (de lucru) în l/min.;

### 12.3. - Procedeul de determinare a condițiilor de încărcare conform nomogramei (fig. 12.1.)

a) Conform grosimii  $h_N$  necesare, se stabilește grosimea stratului de încărcat  $h_n$  ;

$$h_n = h_N + k_o \text{ (mm)}$$

în care:  $k_o \approx (1,0 - 1,5)$  mm.

b) Având valoarea lui  $h_n$  din nomograma se determină  $v_p$  și  $v_e$ .

c) În funcție de viteza  $v_p$  și diametrul piesei încărcate D se determină turăția piesei (fig.12.2.).

d) Celelalte condiții de încărcare se stabilesc practic astfel:

- pasul încărcării în funcție de diametrul sîrmei-electrod  $d_e$  pentru asigurarea unei bune alieri a cusăturilor între ele și cu materialul de bază, precum și pentru o cît mai uniformă duritate pe toată suprafața încărcată se ia:

$$s = (1,5 - 1,9) d_e$$

- frecvența vibrațiilor se ia 50 - 100 Hz (conform cercetărilor autorului tezei);
- coeficientul de formă al cusăturii se recomandă să fie cca. 0,6;
- amplitudinea oscilațiilor  $\lambda = 1,0 - 2,5$  mm;
- cantitatea de lichid de răcire  $Q_r = 0,4 - 1,5$  l/min; de protecție  $Q_p = 0,10$  l/min.
- lungimea capătului liber al electrodului  $H = 6-10$  mm;
- geometria de așezare a electrodului (vezi fig.12.3)

$$\alpha = 35 - 45^\circ$$

$$\beta = 60 - 80^\circ$$

Pentru încărcare în atmosfera de  $CO_2$ , se recomandă următorii parametri:

- tensiunea de încărcare	14 - 20 V
- Diametrul sîrmei-electrod	1,2 -(1,6) mm
- Pasul de încărcare	1,2 - 2,3 mm/rot
- Capătul liber al sîrmei-electrod	8 - 10 mm
- Frecvența vibrațiilor	70 -100 Hz
- Amplitudinea vibrațiilor	1,0 - 2,5 mm.
- Cantitatea de $CO_2$	cca. 15 litri/min.
- Cantitatea de lichid de răcire	0,4 - 1,5 l/min. eventual pînă la 21/ min

Diagrama  $v_p = f(h)$  (fig. 124)

In cazul diagramei din figură au fost luati parametri:

$$d_e = 1,4 \text{ mm.}$$

$$s = 1,5 \text{ mm/rot.}$$

$$U_s = 10,5 \text{ V.}$$

In cazul tensiunii de încărcare mai mari, curbele  $v_p = f(h)$  se deplasează spre valorile  $v_p$  și  $h_n$  mai mari.-

Diagrama ( $D - n - v_p$ ) fig. 12.5.

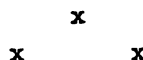
este trasată pentru vitezele de încărcare impare de:  
30; 50; 70; 90 și 110 m/h.

Diagrama ( $D - n - v_p$ ) fig. 12.6.

este trasată pentru vitezele de încărcare pare de:  
40; 60; 80; 100 și 120 m/h.

Diagrama  $v_e = f(v_p)$  . fig. 12.7

valabilă pentru  $U_s = 10,5$  V;  $d_e = (1,3 - 1,4)$  mm și  $s = 1,5$  mm/rot.



#### 12.4 - Instalația industrială pentru procedeul vibroarc

Automatul de încărcare, schimbătorul de viteze etc., sunt așezate pe un batiu de strung. Păpușă fixă prevăzută cu un universal, servește pentru prinderea piesei de încărcat, iar păpușă mobilă cu un vîrf servește pentru sprijinirea capului piesei de încărcat, exact ca la un strung. Pe suportul mobil al acestui "strung" se fixează coloana cu automatul.-

De altfel, schița de ansamblu este reprezentată în fig.6.8.

Batiul este utilizat cu toate mecanismele și accesorile, necesare realizării tehnologiei încărcării prin vibroarc. Se compune dintr-un cadru din profile laminate cu stativ cu păpușă fixă, suportul mobil și mecanismul de acționare. Acționarea întregii unități se realizează de un electro-motor asincron printr-un variator mecanic de viteze și o cutie de viteze cu trei trepte. Intregul sistem permite variația turăției axului de la 0,15 pînă la 30 rot/min. Acest interval de viteze a fost ales pentru a permite încărcarea pieselor cu o gamă largă de diametre de la 8 pînă la 600 mm, diametrul maxim fiind 800 mm, iar lungimea piesei este pînă la circa 1000 mm.-

Intervalul de diametre stabilit, s-a determinat adoptând gama vitezelor de încărcare între 30-80 m/h, iar la limită (cele mai mici și cele mai mari) între 20-120 m/h.

Turăția fusului se modifică prin variația, precum și

prin schimbarea roților dințate din cutia de transmisie. Cele trei trepte de turătii sînt: 0,16 - 0,9; 0,93-5 și 5,3 - 30 rot/min.

.Viteza de avans a suportului este variabilă, funcție de necesități, putîndu-se acționa prin ajutorul unei perechi de roți dințate interschimbabile. Intervalul de variație a pasului este de 1,4 - 4,2 mm. pentru o turătie a piesei (a fusului principal).-

Pasul spiralei pentru o rotătie a piesei este dat de relația:  $s = 2,53 \frac{d_1}{d_2}$

în care:  $s$  - pasul în mm;

$d_1$  și  $d_4$  - diametrele primitive ale roților dințate (fig. 6.3.).

Felul de angrenare a roților dințate, pentru avansul suportului (pentru determinarea pasului încărcării) este arătat în fig. 6.3.

1. - axul de acționare;
2. - axul antrenat;
3. - fusul roții intermediare.

Pentru cazul de schimbare a sensului (adică sensul de la păpușa mobilă spre păpușa fixă - care se consideră a fi sens normal) se folosesc roți dințate intermediare  $d_2$  și  $d_3$ , atunci relația de calcul a pasului este:

$$s = 2,53 \frac{d_2}{d_1} \cdot \frac{d_4}{d_3}$$

Suportul mai poate fi deplasat rapid manual, sau și mecanic, prin ajutorul motorului electric și a unor cuplaje electro-magnetice.

Pentru lichidul de lucru, este un rezervor și o pompă pentru transportul acestui lichid. Lichidul folosit se adună într-un rezervor de colectare, de unde trece prin filtre înainte la rezervorul de lichid.-

Din experiența autorului lichidul de lucru ce a dat rezultatele cele mai bune, în cadrul experimentărilor este soluția de 6%  $\text{CO}_3\text{Na}_2$  (soda calcinată).-

Regimul de încărcare - la încărcare tensiunea arcului poate varia între 10-13 V și 15 - 30 V.-

La tensiuni mici corespund viteze mai mici de avans ale sîrmei-electrod ( $v_e$ ) și deci productivitatea mai mică.-

Micșorarea tensiunii contribuie la reducerea pierderilor metalului de adăos prin ardere și stropire.-

Încărcarea se face cu polaritatea inversă. La încărcarea cu c.c. și cel redresat inductanța circuitului de sudare trebuie să fie minimă (vezi textul tezei), desigur suficientă pentru prevenirea formării perioadelor de mers în gol în fiecare ciclu de vibrare a sîrmei-electrod.-

Intensitatea curentului de sudare - se stabilește funcție de diametrul sîrmei-electrod, viteza ei de avans și tensiunea arcului. Orientativ, se poate recomanda regimurile de lucru prezентate în tabelul ce urmează (tabela 12.2).

Regimurile de lucru orientative pentru încărcarea cu vibroarc /208/

TABELA: 12.2

Parametri regimului	Încărcarea în jet de lichid			
	La tensiuni mici	La tensiuni de 15 V și mai mari	La c.c. de la gener. $U_g = 20$ V	
Diametrul sîrmei-electrod în mm.	1,8 - 2,2	1,8 - 2,2		2,0
Viteza de avans a sîrmei-electrod, mm/s	13 - 17	15 - 22	16	20
Intensitatea curentului de lucru A.	110 - 130	150 - 180	130	180
				210

De regulă regimurile se aleg pe baza experimentală funcție de sursa de alimentare cu curent și caracterul încărcării.

Partea teoretică la capituloale respective arată posibilitatea calculării tuturor parametrilor, cifrele din tabel reprezintă o primă aproximatie ce poate fi luată în considerare.

Proprietătile mecanice ale metalului încărcat. - În principal sunt determinate de regimul de încărcare și de compozitia sîrmei - electrod.- Structura lui depinde în primul rînd de conținutul în carbon și a altor elemente de aliere a sîrmei-electrod.

Unele date orientative asupra durității metalului încărcat folosind diferite sîrme-electrod (mărci sovietice) sunt date în tabelul 12.3.-

Duritatea orientativă a stratului încărcat  
și formarea fisurilor în funcție de marca sîrmei-electrod  
(U.R.S.S.) /208/

Tabelă: 12.3.

Marca sîrmei - electrod	Duritatea stratului încărcat	Fisurile
S <sub>v</sub> - 0,8	HV 180 - 350	nu sunt
S <sub>v</sub> - 20	HV 220 - 370	"
S <sub>v</sub> - 40	HRC 12 - 45	"
S <sub>v</sub> - 60	HRC 20 - 60	sunt
30 HGSA	HRC 15 - 50	"

La încărcare cu sîrma-electrod marca S<sub>v</sub> - 0,8 suprafața piesei se prelucrează ușor prin aschiere.-

Dacă sîrma-electrod este aliată, în vederea obținerii unor suprafete rezistente la uzura, stratul încărcat se prelucrează prin șlefuire.-

Productivitatea orientativă ce se obține la încărcare cu vibroarc (Tabelă: 12.4).

Tabelă: 12.4

Productivitatea la încărcare cu vibroarc  
/201/

Tensiunea sursei de current V	Diametrul sîrmei-e- lectrod mm	Intensit. curentului de sudare A	Viteza de avans a sîrmei-e- lectr. mm/s	Amplitudi- ne vibra- tiei. mm.	Productivi- tatea încă- cării kg/h.
12 - 15	1,8-2,2	90-100	13 - 17	1,3-2,2	0,9-1,1
15 - 18	2,0-2,5	110-130	15 - 20	1,5-2,5	1,2-1,3
18 - 20	2,5-3,0	130-180	16 - 22	1,6-3,0	1,5-1,6
20 - 22	2,5-3,0	180-210	16 - 23	1,6-3,0	1,8-2,2

In general coeficientul de încărcare se ia egal cu 8-10,0 g/Ah. Pierderile materialului de adăos prin ardere și stropire sunt circa 11-30%.-

Coefficientul de trecere a carbonului din sîrma-electrod în metalul încărcat 0,40-0,50, iar a manganului 0,50 - 0,60.-

In urma oxidării ard carbonul, manganul, siliciul și alte elemente, astfel cum este arătat în tabelul de mai jos (tabela 12.5).

- // -

Tabela: 12.5

Trecerea carbonului și a manganului din sîrma-electrod  
în cusătura de încărcare cu vibroarc (amplitudinea sîrmei-electrod)  
? 2 mm /201/.

Conținutul în sîrmă-electrod în %		Regimul de încărcare			Conținutul în me- talul încărcat în	
		Tensiunea arcului	Intensit. curent.	Consumul lichid. de lucru l/min.	C	Mn
C	Mn	V	A			
1	2	3	4	5	6	7
0,57	0,37	21	135	0	0,25	0,16
		31	115		0,08	0,13
		21	135	5	0,35	0,25
		31	115		0,23	0,23
0,39	0,69	21	135	5	0,22	0,37
0,13	0,35				0,07	0,18

Prin faptul vibrării sîrmei-electrod se crează posibilitatea realizării unei încărcări de bună calitate cu oțeluri carbon și finăt aliate la valori mici ale energiei, ce se degajă în procesul de ardere al arcului la fiecare ciclu de vibrație, care produce o mică încălzire a piesei. La reducerea duratei de ardere a arcului (descărcarea arcului) sensibil scade arderea elementelor de aliere. Un exemplu luat după /145/ la o încărcare cu procedeu normal (clasic) cu oțel inoxidabil de tip 1 H 18 N 9 T (1x18 H9T) în mediu de CO<sub>2</sub>, arderea titanului formează 60%. La încărcare cu procedeul vibroarc cu același oțel în mediu de CO<sub>2</sub>, arderea titanului formează numai 30%.-

Tabela de mai jos reproduce unele recomandări în alegerea regimurilor de încărcare cu procedeul vibroarc, stabilind legătura complexă între parametri încărcării.

Regimurile recomandate pentru încărcare cu vibroarc.

Tabela: 12.6.

Grosimea stratului încărcat în mm.	Diametrul sîrmei-electrod în mm.	Intensitatea curentului la încărcare în A.	Tensiunea pe electrod în V.	Viteza de încărcare în m/min.	Viteza de avans a sîrmei-electrod în m/min.	Consumul lichidului de lucru în l/min.	Pasul încărcării în mm/rot.	Amplitudinea capătului sîrmei-electrod în mm.	Unghiul sîrmei-electrod față de piesă în grade.
0,3	1,6	120-150	12-15	2,2	0,6	0,2	1,0	1,5	35
0,7	1,6	120-150	12-15	1,2	0,7	0,4	1,3	1,8	35
1,1	2,0	150-210	15-20 12-15	1,0	0,8	0,5	1,6	2,0	45
1,5	2,0	150-210	15-20 12-15	0,6	1,0	0,6	1,8	2,0	45
2,5	2,8	150-210	20-28 12-15	0,3	1,1	0,7	2,0	2,0	45

Pentru încărcarea pieselor din oțel OLC 45, sunt recomanăile valorile medii din tabl.-

In cazurile ce se întâlnesc cel mai des, cu regimurile dele obisnuite, pierderile metalului sîrmei-electrod prin ardere și topire formează 11-15%, coeficientul de topire 9-12 g/Ah, coeficientul de încărcare 8 -lo g/Ah.

CAP. 13 - CU PRIVIRE LA ECONOMICITATEA APLICARII PROCEDEULUI

VIBROARC

Efectul economic, de pe urma folosirii încărcării respectiv recondiționării pieselor prin proceful vibroarc, este în primul rînd, acela că permite recuperarea pieselor uzate sau fabricarea pieselor noi cu un strat de metal încărcat ce satisfac anumite condiții speciale (rezistență la uzură, la coroziune, eroziune, etc), fără ca materialul de bază să fie un material special. Deci, apare posibilitatea de utilizare repetată a unei cantități foarte mari de metal. Se știe, că pierderile de metal prin uzură, în general, nu depășesc 3-5% din greutatea lor. Acest fapt este cu atît mai valabil pentru piesele ce se recuperează prin proceful vibroarc.-

O largă introducere a recondiționării sau a fabricării pieselor noi, folosind proceful vibroarc, devine o problemă a economiei naționale.-

Spre deosebire de metalizare, acest proceful nu necesită nicio pregătire specială a suprafetei ce urmează să fie încărcată.

Alegînd parametrii de lucru conform celor stabilite în această lucrare, și îndeplinind condițiiile de stabilitate ale procesului respectiv ale sistemului, proceful asigură o bună adiere (aderență) a metalului de bază cu cel încărcat și o finală calitate a stratului încărcat.-

Încărcarea cu proceful vibroarc, dă posibilitatea ca printr-o singură trecere să se obțină straturi de grosimi de la 0,5 pînă la 3 mm., iar prin mai multe treceri și pînă la 10 mm. Proceful se deosebește printr-o productivitate finală. La o viteză de topire a sîrmei-electrod cu diametru de 2 mm., de 100 m/h, productivitatea încărcării prin vibroarc este de circa 2,6 kg/h /166/-

Cercetările arată, că în ce privește indicatorii specifici proceului vibroarc, există unele deosebiri între cifrele ce apar în literatură. Aceasta se datorează în primul rînd, regimilor cu care au lucrat autorii și mai ales nerespectarea corela-

rii riguroase a parametrilor regimului de lucru.-

Cifrele medii ce pot fi acceptate funcție de regimurile de lucru, cifrele ce în mare parte au fost verificate prin cercetările autorului, sunt:

- pierderile de metal prin  
ardere și stropire . . . . .      10-30% ;
- cantitatea de metal încărcat . . . . .      1,20-1,50 kg/l
- coeficientul de topire ( $\alpha_t$ ) /31/      9-12 g/Ah
- coeficientul de încărcare ( $\alpha_f$ ). . . . .      8-10 g/Ah
- coeficientul de trecere a carbonului în  
metalul încărcat /208/ . . . . .      0,40-0,50 %
- Idem a maganganului /208/ . . . . .      0,50-0,60 %

Încărcarea pieselor cu sîrma-electrod dintr-un material finalt aliat rezistent la uzură, în general mărește durata de serviciu a pieselor și permite ca acestea să fie recondiționate de mai multe ori. Din acest punct de vedere, procedeul vibroarc, pentru specificul său, corespunde în mod cu totul deosebit.-

Sîrma-electrod trebuie aleasă cu mult discernămînt și din punct de vedere riguros economic. Se întimplă foarte des, că unele și același piese, în uzini diferite, se încarcă cu materiale diferite și prin procedee diferite /64, 171/-.

La alegerea materialului rezistent la uzură, de cele mai multe ori suntem tentați să ne conducem numai după prețul de cost al materialului ce se încarcă și după cifra durității materialului încărcat. Acest fel de alegere a materialului de adaos, desigur, nu poate fi considerat ca just, deoarece el nu ține cont de durata de serviciu a pieselor încărcate, de prețul de cost al încărcării și de eficiența economică a aplicării procedeului.-

Practica demonstrează /64/, că majoritatea pieselor încărcate pierd din capacitatea lor de lucru din cauza insuficienței rezistențe la uzură a stratului încărcat și numai o mică parte din cauza reducerii rezistenței la obosale (în cazul sarcinilor alternante), cum este cazul arborilor cotiți recondiționați prin procedeul vibroarc.-

Trebuie precizat, că în prezent nu există o metodă unică de calcul a eficienței economice a încărcării pieselor, fie

pentru recondiționarea pieselor, fie pentru fabricarea pieselor noi.-

Nu este în intenția autorului de a stabili o metodologie general valabilă pentru stabilirea eficienței economice la încărcarea pieselor cu procedeul vibroarc, aceasta ar forma un subiect - o temă cu totul separată.-

Metodica existentă pentru calculul eficienței economice, pentru o producție curentă, care se bazează pe calculul prețului de cost, nu răspunde cerințelor și nu permite ca în mod just să se evalueze munca pentru recondiționarea pieselor utilajelor.- Problema rămîne de mare actualitate.-

Abia acum, după ce în industria noastră, în diferitele ei ramuri, urmează să fie introdus procedeul vibroarc, pentru recondiționare cît și pentru fabricația de piese noi (în scop de economisire a materialelor scumpe sau deficitare), se vor putea stabili o serie de indici verificăți pe cale tehnicoștiințifică. Urmărind ca după aceea să se procedeze la stabilirea unei metodologii valabile.-

In aceste condiții, vom prezenta unele rezultate din experiența altor țări.-

Costul pieselor recondiționate, în cele mai multe cazuri, este în - 30% din costul piesei noi /209/-

Reluînd cele afirmate anterior, că alegerea sîrmei-eletrod bazată numai pe considerente de preț minim, fără a ține cont de durata de uzură a piesei, poate să ducă la importante pierderi economice, cu toate că acest fel de a proceda se practică destul de des.-

Totodată, alegerea acestor materiale numai pe considerente de durată de uzură, la fel poate să ducă la mari pierderi economice.-

Din experiența întreprinderilor din China /182/, rezultă că productivitatea muncii a acestui procedeu crește de 2,5-3 ori față de procedeul de încărcare manuală, reduce consumul de material și energie electrică de 3-4 ori, reduce timpul și în general prelucrarea mecanică de finisare (ulterioră) de 1,5 ori.-

După o propunere /64/, verificată pe un număr important

de piese recondiționate, timpul necesar încărcării, în cazul cînd se cunoaște coeficientul de încărcare  $\alpha_f$  se poate calcula conform relației (specific pentru vibroarc) :

$$t_t = \frac{10^3 \cdot Q_f}{\alpha_f \cdot I_s} \cdot K_a \quad (13.1)$$

unde  $\alpha_f$  - coeficientul de încărcare în g/Ah;

$I_s$  - intensitatea curentului de sudare în A;

$Q_f$  - greutatea sîrmei-electrod încărcate pe o piesă, în kg.;

$K_a$  - coeficientul, prin care se ține cont de timpul auxiliar (deservirea tehnico-organizatorică și pentru odihnă). Pentru calcule se poate lua  $K_a = 1,3 - 1,5$ .

Cînd  $\alpha_f$  nu este cunoscut, atunci calculul timpului necesar se poate face cu relația:

$$t_t = \frac{10^3 \cdot K_p}{0,786 \cdot d_e^2 \cdot v_e \cdot g} \quad (13.2)$$

unde:  $d_e$  = diametrul sîrmei-electrod, în mm;

$v_e$  = viteza de avans a sîrmei-electrod în m/h;

$g$  = densitatea sîrmei-electrod, în g/cm<sup>3</sup>;

$K_p$  = coeficientul, prin care se ține cont de pierderile materialului de adaos prin ardere, stropire etc, pentru vibroarc cu jet de lichid de lucru  $K_p = 1,25$ .

In ce privește calculul prețului de cost al pieselor încărcate sau recondiționate cu procedeul vibroarc, în URSS s-a lansat o metodologie cu scop experimental în anul 1974 /171/. Deocamdată nu se cunosc încă rezultatele aplicării relațiilor stabilite se renunță la le prezenta..

Înreprinderile de reparații din agricultură, în principal recondiționează /69/ piesele cum sunt la tractoare: senilele și alte piese importante, iar la motoare de automobile arborii cotiți, axe de distribuție (fusurile), tacheții etc. Mai rar se recondiționează arborii (axe) cu canale de pană, roți dintate

te. Se recondiționează bolțurile de piston, ventile, came, bucse, cămăși de cilindru etc.-

Repartizarea pe procedee de recondiționare și  
si prețul mediu de recondiționare /69/

Tabela: 13.1

DENUMIREA PIESEI (pt. tract.)	Costul piesei noi în ruble	Incărcarea cu vibroarc în lichid		Incărcarea în CO <sub>2</sub>		Incărcarea manuală	
		% de piese	Pret de cost me- diu,ru- ble +)	% de piese	Pret de cost me- diu,ru- ble +)	Proc. de piese %	Pret de cost me- diu,ru- ble +)
Rola de sprijin	3,16	5,0	3,0	-	-	-	-
Axa ro- lei	3,35	3,10	1,7	5,0	1,2	2,0	1,5
Axa din spate.	6,90	25,0	7,0	15,0	5,0	5,0	4,0
Axa coti- tă	9,00	2,10	4,2	4,0	3,4	4,0	3,1
Axa osci- lantă	1,05	30,0	0,7	8,0	0,7	4,0	0,6
Axa mufei de cuplaj	4,48	50,0	3,7	8,0	2,7	9,0	2,0

+ ) Pret de cost mediu a recondiționării

Se constată, că prețul de cost de recondiționare, a unor și aceleași piese, cu procedeul vibroarc este puțin mai mare decât în CO<sub>2</sub> sau în cazul încărcării manuale. Acest lucru este explicabil prin: calificarea mînei de lucru folosite, costul sîrmei-electrod folosite, etc. Din procentul pieselor, astfel încărcate, rezultă alte avantaje că: înalta productivitate, buna calitate a suprafetelor încărcate, adausurile minime la prelucrare, straturile foarte subțiri ce pot fi depuse și ceea ce este foarte important, piesele aproape că nu se deformează. Încărcarea putindu-se face pe piese anterior tratate termic.-

Mai jos se face o altă comparație pentru piese de automobile, recondiționate cu procedeul vibroarc.-

Eficiența economică la recondiționarea pieselor uzate  
prin procedeul vibroarc /166/

Tabela: 13.2

Denumirea piesei (pentru automobile)	Pretul piesei noi în ru- ble.	Cheltuieli cu recondi- ționarea pieselor, ruble.	Economia pentru • singură piesă ruble.
Arbore cotit	23,0	3,02	19,98
Arbore cutiei de viteză	6,0	0,08	5,92
Semiaxă punții din spate.	9,0	0,15	8,85
Crucea cardanică	5,50	0,32	5,18
Axele pîrghiilor de jos	1,50	0,23	1,27
Bucșa roții din spate.	3,00	0,30	2,70

Rezultatele arătate în tabelul de mai sus, sunt edifica-  
toare. Mai ales, că autorul a cules datele direct din mai multe  
uzine ce folosesc procedeul vibroarc.-

La unele piese pentru utilaj petrolier, recondiționate  
cu procedeul vibroarc, prețul de cost al recondiționării nu de-  
pășește 35% din costul pieselor noi /166/.-

In literatură sunt arătate /135 și alți/multe exemple  
cu realizarea unor importante economii (la pompe centrifugale,  
ventilatoare,utilaj petrolier, motoare diesel, electromotoare  
etc).

In concluzie, se poate spune fără reticențe, că din  
punct de vedere economic incărcarea cu procedeul vibroarc este  
recomandabilă într-o serie de domenii industriale și scopuri.-

CAP. 14 - CONCLUZII FINALE, CONTRIBUȚII ORIGINALE SI PROBLEME  
DE VIITOR.

14.1 - Concluzii finale.

De la data apariției proceșului vibroarc, pe parcursul vremii i s-au adus o serie de perfecționări și s-au lărgit mult domeniile de utilizare. Procedeul a obținut o bază științifică suficient de consistentă. Se poate afirma, că i s-a definit profilul cu toate că esența fizică a fenomenelor încă mai are unele pete albe.-

Cu tot ce s-a prezentat în materialul sistematizat și cu contribuțiile din teză, proceșul devine ușor accesibil și aplicabil în industrie.-

Literatura de specialitate prezentată pe parcursul tezei, aduce la cunoștință un sir de rezultate foarte bune, atunci când proceșul a fost aplicat luând în considerare rezultatele științifice obținute.-

Însă, cercetările efectuate și date publicității pînă acum, sunt insuficiente și în multe cazuri contradictorii.-

Teza de doctorat și aduce contribuția la rezolvarea unor probleme noi, fie contribuie la stabilirea unei apropieri a proceșului de condițiile de lucru în practică, fie corelează un sir de teorii ce în literatură sunt prezentate disparat.-

Numărul important de probe de încărcare, cercetări teoretice, metalografice și corelări de rezultate, încercări de laborator au permis autorului să tragă unele concluzii cu totul noi.-

Prin perfecționarea instalației experimentale, mărininduși performanțele, siguranța ei de funcționare, industria obține un model verificat și modernizat pentru procesul vibroarc.-

Astfel, proceșul devine aplicabil defindată la întreprinderea de Mașini Grele, unde s-a experimentat cu posibilități de lărgire a utilizării.-

Procedeul vibroarc este unul din procedeele moderne-avansate de recondiționare a pieselor uzate și poate fi folosit cu succes pentru producția de bimetale precum și pentru durificarea suprafăcătorilor pieselor ce prin funcțiunile lor se uzează repe-de. În acest fel, crește durata de serviciu a mașinilor.

Incărcarea cu vibroarc se face atât cu sîrma-electrod din oțel carbon, cît și din oțeluri finale aliante cu proprietăți deosebit caracterizate fie printr-o rezistență mare la uzură, fie la coroziune sau eroziune, fie termorezistență. etc.

Incărcarea cu vibroarc, se poate face practic la orice grosimi de strat în limitele de la zecimi de milimetri pînă la 10 mm. La grosimea straturilor mai mari de 1,5 - 2 mm, încărcare poate fi realizată în două sau mai multe trecheri.-

Procedeul vibroarc asigură obținerea straturilor subțiri, uniforme, cu duritate ridicată (la nevoie). Zona de influență termică este foarte mică. Mică este și pătrunderea între metalul încărcat și cel de bază.-

Piesele cele mai mici ce se încarcă pot avea 8 mm. diametru fără ca să se deformeze sau aproape că nu se deformează.

La alegerea corespunzătoare a parametrilor regimului de lucru, aderența între metalul încărcat și cel de bază este foarte bună.-

O mare influență asupra calității stratului încărcat o are valoarea tensiunii arcului. Prin introducerea în circuitul de excitare a unui reostat (cînd este vorba de generator de co-drept sursă de curent), tensiunea arcului scade, intensitatea curentului crește, stratul de metal încărcat devine compact și uniform. Această dependență este însă valabilă în cadrul unei variații a tensiunii între 19 - 20 V.-

- Ca o altă particularitate specifică procesului vibro-arc este viteza mare de răcire, care cauzează producerea unor structuri caracteristice metalelor călite, cînd încărcarea se face cu oțeluri cu conținut de carbon de 0,4%. Metalul încărcat are o structură neuniformă, ceea ce este urmare influenței termice a cusăturilor ce încalcă peste cele încărcate mai înainte.-

- O anumită neomogenitate a structurii metalului încărat, cauzează existența unei duratări neuniforme a stratului încărat. Limitele acestei variații a duratării pe o aceeași epruve depind de analiza echimică a sîrmei-electrod, intensitatea răirii cu lichidul de lucru și de restul parametrilor de încărcare.

#### 4.2 - Contribuții originale

Mai jos sunt redate sintetic, unele contribuții originale realizate de autorul tezei, fără a le clasifica după importanță.-

- S-a efectuat un studiu și sistematizarea a celor mai importante probleme ce definesc procedeul de încărcare cu vibroarc, a nivelul celor mai noi cunoștințe teoretice și practice. Acestea sunt cuprinse în special în Cap.1,2, 3 și 4.-

Acest studiu, sistematizarea lui și în multe probleme corelarea (spre exemplu în ce privește interdependența generală între parametrii procesului vibroarc sau în ce privește stabilitatea arcului procesului, a sistemului etc) este rezultatul unui studiu bibliografic foarte voluminos.-

- Stabilirea pe calea experimentală și prin aplicarea metodelor statisticii matematice, a criteriului (teoretic și practic) de dependență între grosimea stratului încărat și raportul vitezelor de încărcare a piesei  $v_p$  și viteza de avans a sîrmei-electrod  $v_e$   $h = f \left( \frac{v_p}{v_e} \right)$ .

S-au trase curbele în sistemul coordonatelor dublu logaritmice ce pot fi folosite în practică sau în calcule teoretice.-

Prin aceste cercetări, se scoate clar în evidență influența diametrului sîrmei-electrod asupra grosimii stratului și importanța în general neglijată a raportului între cele două viteze  $\frac{v_p}{v_e}$ . Pentru fiecare caz în parte, s-au stabilit ecuațiile analitice pornite de la rezultatele obținute pe calea experimentală.-

- S-a stabilit forma generală a condițiilor de stabilitate ale sistemului, sursă de curent - arcul electric, cuprinzînd și procesul vibroarc. O contribuție teoretică cu consecințe practice deosebite, corecteză în felul acesta forma generală

clasic cunoscută, stabilită de Prof. V.P.Nikitin.

- S-a stabilit limitele valorilor rapoartelor  $\frac{U_s}{U_a}$  și mărimi ce intră în calculul inductanțelor și în re-

lațiile condițiilor preliminare de stabilitate a procesului vibroarc. Pe deosebire, în felul acesta se elimină necesitatea cunoașterii oscilogrammei de variație a tensiunii și intensității curentului, la stabilirea parametrilor regimului de lucru, pe de altă parte valorile celor trei tensiuni  $U_o$ ,  $U_a$  și  $U_s$  ce rezultă din relațiile astfel stabilite, îndeplinesc condițiile de stabilitate a regimului de funcționare a procesului vibroarc.-

Valorile acestor rapoarte, au fost stabilite pe calea studiului teoretic și pe calea experimentală aplicând metodele statisticii matematice.-

- S-a stabilit domeniul frecvențelor optime de vibrare a sîrmei-electrod.-

- S-au stabilit legături corelaționale între  $\frac{U_s}{U_a}$  funcție de: frecvență, mediu de protecție, diametrul sîrmei-electrod și tensiunea de mers în gol.-

- S-au făcut și studii comparative, între parametrii indicați mai sus, funcție de  $\frac{U_s}{U_a}$ , stabilind astfel noi relații, noi concluzii și ecuații analitice.-

Este un studiu complex de interdependentă a factorilor principali ce determină funcționarea stabilă a procesului vibroarc efectuat pentru prima dată. Pentru acest studiu, s-a aplicat metoda statisticii matematice, și calculul automat (mașina electronică de calcul).

- S-a trasat, pe baze teoretice și experimentale nomenclatura de corelare între parametrii mai principali ce determină regimul de lucru al procesului vibroarc, stabilind relația complexă între: diametrul sîrmei-electrod, viteza de avans a sîrmei-electrod și viteza de încărcare a piesei, diametrul piesei de încărcat, turatișul piesei, grosimea stratului încărcat, raportul  $\frac{v_e}{v_p}$  și puterea arcului.-

- Prin stabilirea limitelor pentru rapoartele  $\frac{U_s}{U_o}$  și

$\frac{U_s}{U_a}$  s-a simplificat sistemul de ecuații pentru procesul vibroarc, deoarece rapoartele amintite au trecut în sirul unor coeficienți experimentală (parametri practici) și nu mai reprezintă relații cu factori necunoscuți.-

- S-a stabilit graficul cîmpului de valori maxime și minime pentru inductanță din circuitul de sudare, ce asigură regimurile stabile ale procesului vibroarc. Cu alte cuvinte, cîmpul valorilor inductanțelor optime. Curbele pentru inductanță minimă s-au stabilit pe cale experimentală.- -

Valorile din cîmp, elimină perioadele de mers în gol ale procesului, mărindu-i astfel productivitatea și îmbunătățindu-i calitatea stratului de metal încărcat.-

Din grafic rezultă, că inductanță variază atât în funcție de frecvență de vibrație a sîrmei-electrod, cît și funcție de diametrul și analiza chimică a ei.-

- S-a stabilit graficul de dependență între inductanță minimă și tensiunea de mers în gol. Se constată, că inductanță variază atât funcție de diametrul sîrmei-electrod cît și în funcție de calitatea ei. Cu cît diametrul sîrmei-electrod este mai mic, inductanță crește.-.

- S-a trasat curba valorilor orientative pentru inductanță minimă funcție de tensiunea de mers în gol, pentru un grup de sîrme-electrod cu același diametru ( $d_p = 1,6$  mm) de diferite calități, diferite medii de protecție și aproximativ aceeași frecvență ( 70 Hz).-

- S-a stabilit curba de variație a vitezei de avans maximă a sîrmei-electrod funcție de inductanță circuitului de sudare, important pentru determinarea parametrilor optimi ai regimului de lucru vibroarc.-

- S-a studiat și cercetat uzura diuzelor ajutajelor de ghidare a sîrmei-electrod, factor al asigurării unui regim stabil de funcționare, precum și a siguranței de funcționare a instalației(a automatului), mărindu-i durata de funcționare prin înlocuirea diuzelor din materiale obișnuit folosite inițial (cupru, otel) prin material dur tip T15 K6.

- S-au îmbunătățit performanțele de exploatare a instalației experimentale prin largirea gamei sîrmelor-electrod ce pot fi folosite de la max. 1,8 mm. pînă la max. 2,2 mm, s-au trasat curbele(etalon) de utilizare a instalației experimentale vibroarc.-

- S-au stabilit condițiile ce trebuie să indeplinească un cap automat pentru proceful vibroarc, în special necesar de a avea greutăți cît mai mici în mișcare și echilibrarea cît mai precisă a forțelor de inertie. Ajutajul de aducere a lichidului nu trebuie supus vibrării - deci trebuie să fie separat față de ajutajul sîrmei-electrod, pentru a asigura o protejare a zonei de încărcare cît mai bună și fără intrerupere (ceea ce în construcțiile realizate pînă acum nu se aplică).-

- S-a stabilit că rezistența la oboseală a pieselor după încărcarea cu vibroarc devine un mijloc de apreciere a influenței cumulate a parametrilor procesului vibroarc, astfel s-a stabilit: influența sîrmei-electrod asupra rezistenței la oboseală, influența mediului de protecție, influența distanței jetului lichidului de răcire de la sîrma-electrod.-

In cadrul acestor studii și cercetări metalografice s-au tras concluzii, asupra calității straturilor încărcate, corelindu-le cu valorile rapoartelor  $\frac{v_p}{v_e}$  și  $\frac{v_e}{v_p}$  .-

#### 14.3. - Probleme de viitor

- Se consideră necesară continuarea cercetărilor în vederea perfecționării pe mai departe a proceului vibroarc, precum și a tehnologiei de încărcare.-

- Extinderea proceului vibroarc pentru încărcări cu sîrme-electrod cu pulberi metalice și electrod bandă.-

In acest scop trebuie studiate și executate capete automate corespunzătoare.-

- Continuarea cercetărilor, proiectarea și fabricarea capetelor automate (unei serii de capete automate), corespunzătoare celor mai actuale concluzii stabilite de cercetările pînă acum, în acest scop.-

- Continuarea cercetărilor asupra rezistenței la oboselă a pieselor după încărcare cu vibroarc, stabilind procedee și tehnologii prin care să se asigure că după încărcare rezistența la oboseală va crește.

- Necesar să se creeze instalații (utilaje) complete, pentru încărcare cu vibroarc.-

- În vederea răspândirii procedeului în cît mai multe uzine, să se procedeze la un larg schimb de experiență organizarea de simpozioane și publicarea unor broșuri pentru diferite niveluri de cunoștințe tehnice.

Realizarea celor arătate mai sus și eventual a altor probleme nearătate aici, va permite o largă răspândire a procedeului vibroarc în diferite ramuri industriale.-

Este o problemă a economiei naționale.-

Ing. Ivancenco Alexandru

